

Projektiranje i ocjena životnog cikula spregnute konstrukcije višekatne zgrade

Miljanić, Patricija

Master's thesis / Diplomski rad

2024

Degree Grantor / Ustanova koja je dodijelila akademski / stručni stupanj: **University of Zagreb, Faculty of Civil Engineering / Sveučilište u Zagrebu, Građevinski fakultet**

Permanent link / Trajna poveznica: <https://urn.nsk.hr/um:nbn:hr:237:534376>

Rights / Prava: [In copyright/Zaštićeno autorskim pravom.](#)

Download date / Datum preuzimanja: **2024-11-27**

Repository / Repozitorij:

[Repository of the Faculty of Civil Engineering,
University of Zagreb](#)





Sveučilište u Zagrebu

GRAĐEVINSKI FAKULTET

Patricija Miljanić

**PROJEKTIRANJE I OCJENA ŽIVOTNOG
CIKLUSA SPREGNUTE KONSTRUKCIJE
VIŠEKATNE ZGRADE**

DIPLOMSKI RAD

Zagreb, 2024.



Sveučilište u Zagrebu

GRAĐEVINSKI FAKULTET

Patricija Miljanić

**PROJEKTIRANJE I OCJENA ŽIVOTNOG
CIKLUSA SPREGNUTE KONSTRUKCIJE
VIŠEKATNE ZGRADE**

DIPLOMSKI RAD

Mentor: izv. prof. dr. sc. Ivan Lukačević

Zagreb, 2024.



University of Zagreb

FACULTY OF CIVIL ENGINEERING

Patricija Miljanić

**DESIGN AND LIFE CYCLE ASSESSMENT OF
COMPOSITE STEEL-CONCRETE MULTI-STORY
BUILDING**

MASTER THESIS

Supervisor: izv. prof. dr. sc. Ivan Lukačević

Zagreb, 2024.



OBRAZAC 3

POTVRDA O POZITIVNOJ OCJENI PISANOG DIJELA DIPLOMSKOG RADA

Student/ica :

--	--

(Ime i prezime)

(JMBAG)

zadovoljio/la je na pisanom dijelu diplomskog rada pod naslovom:

--

(Naslov teme diplomskog rada na hrvatskom jeziku)

--

(Naslov teme diplomskog rada na engleskom jeziku)

i predlaže se provođenje daljnog postupka u skladu s Pravilnikom o završnom ispit u diplomskom radu Sveučilišta u Zagrebu Građevinskog fakulteta.

Pisani dio diplomskog rada izrađen je u sklopu znanstvenog projekta: (upisati ako je primjenjivo)

--

(Naziv projekta, šifra projekta, voditelj projekta)

Pisani dio diplomskog rada izrađen je u sklopu stručne prakse na Fakultetu: (upisati ako je primjenjivo)

--

(Ime poslodavca, datum početka i kraja stručne prakse)

Datum:

--

Mentor:

--

Potpis mentora:

	Digitally signed by IVAN LUKAČEVIĆ Date: 2024.09.17 21:15:40 +02'00'
--	--

Komentor:

--



OBRAZAC 5

IZJAVA O IZVORNOSTI RADA

Ja:

(Ime i prezime, JMBAG)

student/ica Sveučilišta u Zagrebu Građevinskog fakulteta ovim putem izjavljujem da je moj pisani dio diplomskog rada pod naslovom:

(Naslov teme diplomskog rada na hrvatskom jeziku)

izvorni rezultat mojega rada te da se u izradi istoga nisam koristio/la drugim izvorima osim onih koji su u njemu navedeni.

Datum:

Potpis:



OBRAZAC 6

IZJAVA O ODOBRENJU ZA POHRANU I OBJAVU PISANOG DIJELA DIPLOMSKOG RADA

Ja :

(Ime i prezime, OIB)

ovom izjavom potvrđujem da sam autor/ica predanog pisanog dijela diplomskog rada i da sadržaj predane elektroničke datoteke u potpunosti odgovara sadržaju dovršenog i obranjenog pisanog dijela diplomskog rada pod naslovom:

(Naslov teme diplomskog rada na hrvatskom jeziku)

koji je izrađen na sveučilišnom diplomskom studiju Građevinarstvo Sveučilišta u Zagrebu Građevinskog fakulteta pod mentorstvom:

(Ime i prezime mentora)

i obranjen dana:

(Datum obrane)

Suglasan/suglasna sam da pisani dio diplomskog rada u cijelosti bude javno dostupan, te da se trajno pohrani u digitalnom repozitoriju Građevinskog fakulteta, repozitoriju Sveučilišta u Zagrebu te nacionalnom repozitoriju.

Datum:

Potpis:

SAŽETAK

Tema ovog rada je analiza višekatne spregnute zgrade, dimenzioniranje njenih elemenata te procjena životnog ciklusa građevine. Rad se može podijeliti u tri cjeline. Prvi dio obuhvaća teorijski pregled spregnutih konstrukcija, s analizom njihovih prednosti i nedostataka. Također, razrađena je važnost i metodologija provođenja analize životnog ciklusa (LCA), uz naglasak na održivo projektiranje. Obrađena su i temeljna načela i kriteriji koji su korišteni u proračunu konstrukcije. Drugi dio rada posvećen je praktičnoj primjeni proračuna. Uključuje analizu opterećenja, globalnu analizu konstrukcije te preliminarni izbor elemenata za numerički model. Posebna pažnja posvećena je proračunu konstrukcije na granična stanja nosivosti i uporabivosti, uz detaljnu analizu seizmičkih djelovanja. Uz to, proveden je proračun karakterističnih priključaka. Završni dio rada odnosi se na primjenu LCA analize. U ovoj fazi, uspoređene su tri različite konstrukcije istih tlocrtnih dimenzija, ali izrađene od različitih materijala. Analiza je usmjerena na kvantificiranje utjecaja konstrukcije na okoliš kroz njen cijeli životni ciklus, od faze proizvodnje materijala do krajnjeg zbrinjavanja, s posebnim naglaskom na ekološku održivost.

Ključne riječi:

sregnuta konstrukcija, višekatna zgrada, statička analiza, seizmička analiza, analiza životnog ciklusa (LCA), održivo projektiranje, GaBi softver

SUMMARY

The topic of this master thesis is the analysis of a multi-story structure building, the dimensioning of its elements, and the life cycle assessment (LCA) of the structure. The paper is divided into three sections. The first part provides a theoretical overview of composite structures, analyzing their advantages and disadvantages. Additionally, it elaborates on the importance and methodology of conducting a life cycle assessment (LCA), with an emphasis on sustainable design. Fundamental principles and criteria used in the structural design are also addressed. The second part focuses on the practical application of the structural design. It includes load analysis, a global structural analysis, and the preliminary selection of elements for the numerical model. Special attention is given to the design of the structure concerning ultimate and serviceability limit states, alongside a detailed analysis of seismic actions. Furthermore, a calculation of characteristic connections is performed. The final section of the paper covers the application of LCA analysis. In this stage, three different structures of identical floor plan dimensions but made from different materials are compared. The analysis focuses on quantifying the environmental impact of the structure throughout its entire life cycle, from material production to final disposal, with a particular emphasis on ecological sustainability.

Keywords:

structure building, multi-storey frame, static analysis, seismic analysis, life cycle analysis (LCA), sustainable design, GaBi software

SADRŽAJ

SAŽETAK	i
SUMMARY.....	ii
SADRŽAJ	iii
1 UVOD	9
2 SPREGNUTE KONSTRUKCIJE	10
2.1 Općenito.....	10
2.2 Prednosti i mane.....	11
2.2.1 Prednosti	11
2.2.2 Mane	12
2.3 Karakteristike materijala	12
2.4 Spregnuti nosači	13
2.4.1 Izvedba spregnutih nosača	13
2.4.2 Efektivna širina.....	15
2.5 Spregnute ploče.....	17
3 ŽIVOTNI CIKLUS GRAĐEVINE	19
3.1 Općenito.....	19
3.2 Održivost životnog ciklusa građevine.....	19
3.2.1 Oblici degradacije konstrukcije.....	21
3.2.2 Pregledi i sanacije	21
3.3 Utjecaj okoliša na životni ciklus građevine-LCA.....	22
3.4 Troškovi životnog ciklusa-LCC	23
3.5 Analiza socijalnih komponenata životnog ciklusa-LCS	25
3.6 Projektantski pristup održive konstrukcije.....	26
4 TEMELJNA NAČELA I KRITERIJ PRORAČUNA EUROCODA	27
4.1 Proračunske situacije	27
4.2 Proračun graničnih stanja	28
4.2.1 Granično stanje nosivosti.....	28
4.2.2 Granično stanje uporabljivosti.....	29

4.3	Kriterij za potresno aktivna područja	30
4.3.1	Temeljni zahtjevi	30
4.3.2	Kombinacije pri potresnoj proračunskoj situaciji	31
4.3.3	Tipovi temeljnog tla.....	33
4.3.4	Klasa važnosti građevine	33
4.3.5	Faktor ponašanja	34
4.3.6	Slučajni torzijski učinci	35
4.3.7	Posebna pravila za čelične zgrade	35
4.3.7.1	Kriterij proračuna okvirnih sustava	36
4.3.7.2	Kriterij proračuna jednostavnih okvirnih sustava s centričnim vezama	39
5	GLOBALNA ANALIZA KONSTRUKCIJE.....	41
5.1	Imperfekcija okvira	41
5.2	Klasifikacija čeličnih konstrukcija	42
5.2.1	Klasifikacija za stalne i prolazne proračunske situacije	42
5.2.2	Klasifikacija za potresnu proračunsku situaciju	43
6	ANALIZA OPTEREĆENJA	44
6.1	Opterećenje u fazi izvođenja	44
6.1.1	Stalno opterećenje	44
6.1.2	Uporabno opterećenje.....	44
6.2	Opterećenje u uporabnoj fazi	44
6.2.1	Stalno opterećenje	44
6.2.2	Uporabno opterećenje.....	45
6.2.3	Opterećenje snijegom	46
6.2.4	Opterećenje vjetrom	47
6.2.4.1	Vršni tlak uslijed brzine vjetra pri udaru	47
6.2.4.2	Djelovanje vjetra na uzdužnu stranu objekta.....	49
6.2.4.3	Djelovanje vjetra na poprečnu stranu objekta.....	65
6.2.5	Proračun sile vjetra pomoću koeficijenta sile	82
7	PRELIMINARNO DIMENZIONIRANJE	83
7.1	Međukatna konstrukcija	84
7.2	Sekundarni nosač	85

7.3	Glavni nosač.....	86
7.4	Stup	87
7.5	Vertikalni uzdužni vez	88
8	NUMERIČKO MODELIRANJE	89
8.1	Imperfekcije	90
8.1.1	Imperfekcije od vlastite težine	90
8.1.2	Imperfekcije od dodatno stalnog opterećenja	91
8.1.3	Imperfekcije od korisnog opterećenja	92
8.1.4	Imperfekcije od snijega	93
8.2	Ulagani podaci za provedbu analize	94
8.3	Klasifikacija okvira	96
9	STATIČKI PRORAČUN KONSTRUKCIJE	97
9.1	Dimenzioniranje stupa	97
9.1.1	Klasifikacija poprečnog presjeka	98
9.1.2	Otpornost poprečnog presjeka	98
9.1.3	Otpornost elementa.....	100
9.1.4	Kontrola pomaka (GSU).....	105
9.2	Dimenzioniranje glavnog nosača.....	106
9.2.1	Klasifikacija poprečnog presjeka	107
9.2.2	Otpornost poprečnog presjeka	107
9.2.3	Otpornost elementa.....	109
9.2.4	Kontrola pomaka (GSU).....	114
9.3	Dimenzioniranje veza	115
9.3.1	Klasifikacija poprečnog presjeka	115
9.3.2	Otpornost poprečnog presjeka	116
9.3.3	Otpornost elementa.....	116
9.4	Dimenzioniranje sekundarnog nosača	117
9.4.1	Proračun za fazu izvedbe	119
9.4.1.1	Klasifikacija poprečnog presjeka	119
9.4.1.2	Otpornost poprečnog presjeka	120
9.4.1.3	Otpornost elementa.....	121

9.4.2	Proračun za uporabnu fazu	123
9.4.2.1	Efektivna širina betonske ploče:	123
9.4.2.2	Plastična otpornost na savijanje spregnutog presjeka	125
9.4.2.3	Posmična otpornost spregnutog presjeka.....	125
9.4.2.4	Provjera uzdužne posmične otpornost betonske pojasnice	127
9.4.2.5	Provjera betona u tlačnoj dijagonali	128
9.4.3	Granično stanje uporabljivosti.....	128
9.4.3.1	Progib kod faze izvedbe	128
9.4.3.2	Progib kod uporabne faze.....	129
9.4.3.3	Nadvišenje čeličnog nosača	132
9.4.3.4	Dokaz vibracije nosača	132
9.4.3.5	Dokaz pukotina u betonu.....	133
9.5	Dimenzioniranje ploče	133
9.5.1	Konstrukcijski detalji spregnute ploče	135
9.5.2	Granično stanje nosivosti.....	136
9.5.2.1	Faza izvedbe.....	136
9.5.2.2	Uporabna faza	138
9.5.3	Granično stanje uporabljivosti.....	141
9.5.3.1	Proračun progiba	141
9.6	Granično stanje uporabljivosti konstrukcije	144
9.6.1	Kontrola pomaka za x smjer.....	145
9.6.2	Kontrola pomaka za y smjer	146
10	PRORAČUN KONSTRUKCIJE NA DJELOVANJE POTRESA	147
10.1	Seizmička analiza	147
10.1.1	Linearna dinamička metoda spektra odziva	147
10.2	Potresno djelovanje.....	152
10.3	Dinamički odgovor konstrukcije	153
10.4	Klasifikacija okvira	155
10.5	Ograničenje međukatnog pomaka	156
10.6	Proračun jednostavnog okvirnog sustava s centričnim vezama	157
10.6.1	Dimenzioniranje X vezova	157

10.6.2	Dimenzioniranje stupova	159
10.6.2.1	Klasifikacija poprečnog presjeka	160
10.6.2.2	Otpornost poprečnog presjeka	161
10.6.2.3	Otpornost elementa.....	161
10.7	Proračun okvirnog sustava	165
10.7.1	Dimenzioniranje glavnog nosača.....	165
10.7.2	Dimenzioniranje stupa	167
10.7.2.1	Klasifikacija poprečnog presjeka	168
10.7.2.2	Otpornost poprečnog presjeka	169
10.7.2.3	Otpornost elementa.....	171
11	PRIMJENA LCA ANALIZE	177
11.1	Motivacija i formulacija problema	177
11.2	Softver Gabi	178
11.3	Prikupljanje podataka	179
11.4	Modeliranje životnog ciklusa	179
11.5	Ulagani podaci	179
11.5.1	Nabava sirovina	179
11.5.2	Proizvodnja materijala	180
11.5.3	Faza izgradnje	180
11.5.4	Faza uporabe.....	181
11.5.5	Faza kraja životnog vijeka.....	181
11.6	Analiza rezultata	183
11.7	Zaključak	188
12	PRORAČUN PRIKLJUČAKA	190
12.1	Priklučak stope stupa	191
12.2	Priklučak glavnog i sekundarnog nosača	198
12.3	Priklučak glavnog i sekundarnog nosača na stup	204
12.4	Priklučak dijagonala na sekundarni nosač i stup	213
13	ZAKLJUČAK.....	220
POPIS LITERATURE	221	
PRILOG A	222	

POPIS SLIKA.....	224
POPIS TABLICA	227
NACRTI:	229

1 UVOD

Spregnute konstrukcije predstavljaju inovativno rješenje u građevinarstvu koje spaja najbolje osobine dvaju najčešće korištenih građevinskih materijala – čelika i betona. Čelik, poznat po svojoj visokoj čvrstoći, duktilnosti i otpornosti na savijanje, te beton, koji pruža izvrsnu tlačnu otpornost i izdržljivost, u kombinaciji stvaraju konstrukcijski sustav s poboljšanim svojstvima. Sregnuta konstrukcija koristi se za prijenos opterećenja kroz sinergiju ta dva materijala, omogućujući optimalno iskorištavanje njihovih karakteristika.

Životni ciklus građevine sve više dobiva na važnosti u kontekstu smanjenja troškova i emisije štetnih tvari. Sregnute konstrukcije, pružaju značajan doprinos održivom građevinarstvu. Čelik, smanjuje težinu konstrukcije i potrebu za materijalima, dok beton osigurava otpornost i trajnost. Ova kombinacija smanjuje emisije CO₂ i povećava energetsku učinkovitost, čineći spregnute konstrukcije ekonomičnim i ekološki prihvatljivim rješenjem. U ovom radu obrađena je konstrukcija višekatne zgrade tlocrtnih dimenzija 18,0 x 40,0 m, ukupne visine 21,6 m, koja se sastoji od šest etaža, svaka visine 3,6 m. Zgrada je smještena u Zagrebu, a dispozicijsko rješenje sadrži dva različita sustava stabilizacije, okvirni sustav u poprečnom smjeru i jednostavni okvir s centričnim X vezama u uzdužnom smjeru. Razrada konstrukcije započinje analizom opterećenja koja uključuje stalno opterećenje, dodatno stalno opterećenje, uporabno opterećenje, te opterećenja snijegom, vjetrom i potresom prema normi HRN EN 1991. Na temelju dobivenih opterećenja preliminarno se dimenzioniraju elementi konstrukcije, nakon čega se izrađuje 3D numerički model konstrukcije u računalnom programu "SCIA" za analizu globalnog ponašanja konstrukcije. Provedena je statička analiza i dokazi pouzdanosti prema normi za spregnute konstrukcije HRN EN 1994, kao i seizmička analiza s dokazima pouzdanosti prema normi HRN EN 1998. Budući da je seizmička analiza mjerodavna, usvojeni su dodatni kriteriji pouzdanosti prema HRN EN 1998, što je dovelo do povećanja poprečnih presjeka elemenata.

Nakon definiranja profila konstrukcijskih elemenata, provedena je analiza životnog ciklusa u računalnom programu "GaBi". Uspoređene su tri višekatnice istih dimenzija, izvedene od različitih materijala odnosno spregnuta, čelična i betonska konstrukcija.

U završnom dijelu rada izvedeno je dimenzioniranje karakterističnih priključaka konstrukcijskih elemenata koristeći programski paket "IDEA StatiCa".

2 SPREGNUTE KONSTRUKCIJE

2.1 Općenito

Pojam spregnutih konstrukcija danas se primarno odnosi na povezivanje elemenata izrađenih od čelika i betona, iako u širem smislu može obuhvatiti sprezanje elemenata izrađenih od istovrsnih ili različitih materijala [1]. Odnosno konstrukcije kod kojih su elementi integrirani u jedinstvenu cjelinu te u zajedničkom djelovanju prenose opterećenja nazivaju se spregnute konstrukcije. Pored tradicionalnih metoda gradnje korištenjem čelika ili armiranog betona, razvoj i primjena kombiniranih konstrukcija, sastavljenih od čelika i betona, rezultiraju novim tipom međusobnog djelovanja između tih materijala. Ovo međudjelovanje više se ne temelji isključivo na ostvarivanju posmične veze između čelika i betona, već na njihovoj zajedničkoj suradnji, uzimajući u obzir različita mehanička svojstva svakog materijala. Važan faktor u osiguranju povezanosti čeličnih i betonskih dijelova poprečnog presjeka predstavljaju spojna sredstva, među kojima su najčešći moždanici s glavom, odnosno valjkasti moždanici. Osim ovih spojnih sredstava, veza između čelika i betona može se postići i uporabom ljestvica ili drugih metoda, iako se ovaj aspekt ne razmatra detaljno u normama iz skupine HRN EN 1994 [2].

Opće ponašanje nosača ili ploča izrađenih od čelika i betona uvelike ovisi o početnoj krutosti, otpornosti na opterećenja, sposobnosti deformacije, te utjecaju dugotrajnih deformacija betona, proklizavanju moždanika i sličnim čimbenicima.

Kod spregnutih konstrukcija bitno je razlikovati stupanj posmične veze ili stupanj sprezanja sa posmičnom krutostu ili posmičnom interakcijom.

Stupanj posmične veze η je odnos između otpornosti posmične veze i otpornosti sastavljenog poprečnog presjeka (mjerodavan je slabiji dio). U kontekstu nosača, stupanj posmične veze ovisi o broju moždanika odnosno o otpornosti pojedinog moždanika. [spreg.] Razlikuju se tri osnovna stupnja sprezanja η :

Nepotpuno sprezanje ($\eta = 0$), gdje veza između čelika i betona nije dovoljno jaka da prenese sva opterećenja koja djeluju na konstrukciju te zbog toga dolazi do proklizavanja između elemenata, što rezultira smanjenom nosivošću i krutošću konstrukcije.

Djelomično sprezanje ($0 < \eta < 1$), gdje veza između čelika i betona je jača nego kod nepotpunog sprezanja, ali nije u potpunosti učinkovita. Opterećenja se djelomično prenose između dva materijala, što omogućava djelomični zajednički rad. Ova vrsta sprezanja često se koristi kada je potrebno balansirati između troškova i performansi konstrukcije. Ova vrsta

sprezanja primjenjuje se isključivo kod spregnutih nosača s presjecima klase 1 ili 2, prema važećim standardima

Potpuno sprezanje ($\eta=1$), označava situaciju u kojoj je veza između čelika i betona maksimalno učinkovita, što omogućava optimalan prijenos opterećenja i zajednički rad oba materijala. Kod potpunog sprezanja, konstrukcija postiže najvišu razinu nosivosti i krutosti, što je idealno za većinu inženjerskih primjena.

Svaki od ovih stupnjeva sprezanja ima specifičnu primjenu, ovisno o potrebama konstrukcije, zahtjevima projekta i ekonomskim faktorima.

Posmična krutost ovisi od broja moždanika i početne krutosti primijenjenih moždanika. Može biti potpuna (kruta), djelomična ili nepotpuna (podatljiva).

Idealno kruto međudjelovanje podrazumijeva da između spregnutih elemenata nema relativnog pomaka, te da moždanici u potpunosti prenose posmičnu silu. Međutim, takva situacija je teoretska, jer bi za njezino ostvarenje bilo potrebno da moždanici budu beskonačno kruti ili da ih bude vrlo velik broj, što u praksi nije izvedivo.

U slučajevima kada moždanici ne uspijevaju prenijeti posmičnu silu, te svaki element djeluje neovisno jedan o drugome, ne dolazi do stvaranja posmične krutosti, što je karakteristično za ne spregnute nosače.

U realnim uvjetima, često se susreće djelomična posmična krutost, pri kojoj dolazi do relativnog pomaka između elemenata, ali taj pomak je značajno manji nego kod ne spregnutih konstrukcija. U takvim situacijama moždanici preuzimaju samo dio posmične sile, ali ne u cijelosti. [3]

Drugim riječima posmična krutost odnosi se na relativne deformacije dok stupanj sprezanja na napone.

2.2 Prednosti i mane

2.2.1 Prednosti

Sregnute konstrukcije, koje kombiniraju čelik i beton, donose brojne prednosti u građevinskoj praksi.

Osnovna prednost sregnute konstrukcije je povećanje krutosti protiv savijanja što rezultira smanjenjem deformacija i progiba. Ova povećana krutost omogućava upotrebu tanjih elemenata i smanjuje ukupnu masu konstrukcije. Korištenjem manje čelika u odnosu na potpuno čelične konstrukcije postiže značajne uštede u materijalima i samim tim su smanjeni troškovi i povećavanju ekonomičnosti.

Osim veće krutosti spregnute konstrukcije imaju veću nosivost, u usporedbi s primjenom svakog materijala pojedinačno, zbog boljeg iskorištavanja betona i čelika.

Beton, koji okružuje čelične elemente, djeluje kao zaštitni sloj, povećavajući otpornost konstrukcije na visoke temperature i požare. Ova zaštita smanjuje potrebu za dodatnim vatrozaštitnim premazima ili izolacijom čelika, čime se dodatno smanjuju troškovi.

Sregnute konstrukcije omogućavaju veću fleksibilnost u projektiranju zahvaljujući sposobnosti prilagodbe specifičnim zahtjevima projekta. Ova fleksibilnost omogućava postizanje velikih raspona i kompleksnih geometrijskih oblika, čime se proširuju mogućnosti arhitektonskih i inženjerskih rješenja.

Sprezati se mogu gotovi svi konstrukcijski dijelovi čelika i betona, nosači, stupovi i ploče.

2.2.2 Mane

Uz brojne prednosti, spregnute konstrukcije imaju i određene mane koje se odnose na kompleksnost analize i izvedbe ovakvog sustava.

Kompleksnost analize nastaje zbog nelinearnih odnosa između naprezanja i deformacija u spregnutim konstrukcijama. Analiza zahtijeva detaljne i opsežne proračune kako bi se osigurala pouzdanost konstrukcije.

Održavanje spregnutih konstrukcija tijekom njihove uporabe je složenije u usporedbi s čeličnim ili armirano-betonskim konstrukcijama. Potrebno je pažljivo praćenje i redovito inspekcija kako bi se osiguralo pravilno funkcioniranje svih elemenata i spriječila degradacija performansi.

Tijekom izvedbe i uporabe spregnutih konstrukcija može doći do trajnih deformacija. Ove deformacije mogu nastati zbog različitih čimbenika, uključujući nepravilnosti u izvedbi ili promjene u opterećenju, što može utjecati na dugoročnu stabilnost i pouzdanost konstrukcije.

2.3 Karakteristike materijala

Za izvedbu spregnutih konstrukcija koristi se konstrukcijski čelik, beton, armatura, čelik za moždanike, profilirani čelik za ploče i čelici za spajanje [4].

Beton u spregnutim konstrukcijama može biti ili normalne težine ili lako agregatni, no klasa betona mora biti unutar raspona od C20/25 do C50/60. Ove specifikacije osiguravaju potrebnu čvrstoću i dugovječnost konstrukcije.

Konstrukcijski čelik, prema normi EN 1993-1-1, treba imati čvrstoću u rasponu od S235 do S460. Međutim, čelici klase S420 i S460 rijetko se koriste u visokogradnji zbog specifičnih

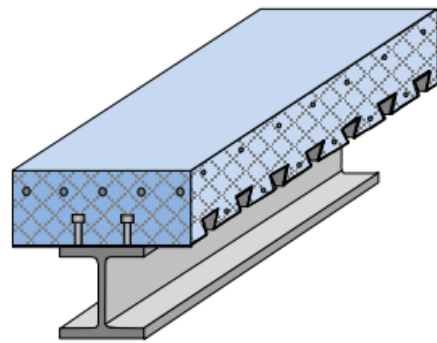
ograničenja koja se primjenjuju pri njihovom proračunu otpornosti. Stoga je važno pažljivo razmotriti ova ograničenja pri odabiru čelika za specifične primjene.

Za čelik namijenjen armaturi, granica popuštanja ne smije prelaziti 600 N/mm^2 . Kada se koriste presjeci klase 1 i 2, dopušteno je koristiti čelik s duktilnošću koji odgovara klasi B ili C, što osigurava adekvatnu plastičnost i otpornost na lom.

2.4 Sregnuti nosači

Sregnuti nosači u visokogradnji najčešće se sastoje od valjanih I-profila, poput IPE, HEA ili HEB, koji su kombinirani s monolitnom betonskom pločom. U nekim slučajevima, čelični profil može biti djelomično ispunjen betonom, pri čemu beton popunjava prostor između pojasnica čeličnog profila.

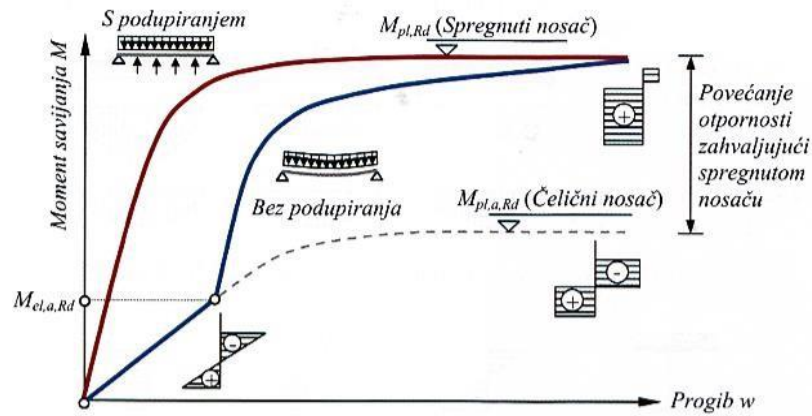
Ovi nosači moraju udovoljavati svim zahtjevima vezanim uz granično stanje nosivosti i uporabljivosti. To uključuje osiguranje da konstrukcija ne samo da podnosi predviđena opterećenja, već i da ispunjava kriterije za dugoročnu funkcionalnost i sigurnost, uz minimiziranje deformacija i osiguranje stabilnosti u svim predviđenim uvjetima uporabe. Na slici 1. prikazan je primjer spregnutog nosača.



Slika 1. Karakteristični poprečni presjek spregnutog nosača [3]

2.4.1 Izvedba spregnutih nosača

U fazi izvedbe spregnutih nosača čelični nosač se može poduprijeti ili betoniranje može biti provedeno bez podupiranja. U oba slučaja, proračunska plastična otpornost nosača bit će postignuta. Međutim, postoji razlika u veličini progiba za istu razinu momenta savijanja. Ova razlika u ponašanju prikazana na slici 2.



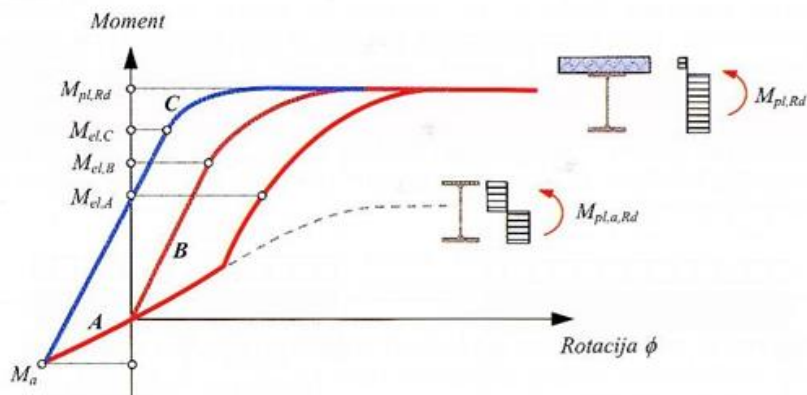
Slika 2. Ovisnost momenta savijanja i progiba za slučajeve izvedbe sa i bez podupiranja prije betoniranja[3]

Kod nepoduprtih spregnutih nosača, tijekom faze izvođenja, čelični nosač nosi vlastitu težinu, težinu svježeg betona, montažno opterećenje te težinu oplate. Nakon što beton očvrsne, sva opterećenja preuzima spregnuti nosač, koji sada raspodjeljuje teret ravnomjernije između čeličnih i betonskih elemenata.

S druge strane, kod poduprtih čeličnih nosača, čelični nosač je neopterećen tijekom faze izvođenja, budući da su opterećenja prenesena na podupore. Nakon što beton očvrsne, podupore se uklanjuju i sva opterećenja počinju djelovati na spregnuti nosač. Ako je nosač bio poduprt s jednim ili dva pomoćna stupa, nakon uklanjanja tih podupora, na mjestu gdje su stajali stupovi, na spregnuti nosač prenose se njihove reakcije kako dodatno opterećenje.

Ako se čelični nosač prije betoniranja izvede s nadvišenjem, poznatim i kao "fleksijsko prednapinjanje", nastaje negativni moment M_a . Ova metoda izvedbe je slična onoj koja se koristi za poduprte nosače.

Ovisnost između momenta M i kuta rotacije ϕ za sve slučajeve izvedbe prikazana je na slici 3.



Slika 3. Ovisnost momenta savijanja i kuta rotacije za tri slučaja izvedbe spregnutog nosača [3]

Sa slike 3. možemo uočiti kako početak plastifikacije donjeg pojasa čeličnog nosača varira ovisno o načinu izvedbe, dok plastična otpornost spregnutog nosača $M_{pl,Rd}$ ostaje konstantna za sve prikazane slučajeve.

Kod nosača koji nije poduprt tijekom izgradnje, plastifikacija donjeg pojasa započinje vrlo rano jer čelični nosač preuzima svu vlastitu težinu. Nasuprot tome, kod poduprtog nosača, plastifikacija donjeg pojasa počinje pri višoj razini opterećenja budući da sva opterećenja djeluju na spregnuti nosač.

Kod nosača s prethodno izvedenim "fleksijskim prednapinjanjem", u donjoj pojasnici nastaju tlačna naprezanja uslijed "podizanja" privremenih stupova. Stoga plastifikacija donje pojasnice nastaje tek pri višoj razini opterećenja. Plastična otpornost se postiže nakon "razgradnje" tlačnih naprezanja u donjem pojusu čeličnog nosača.

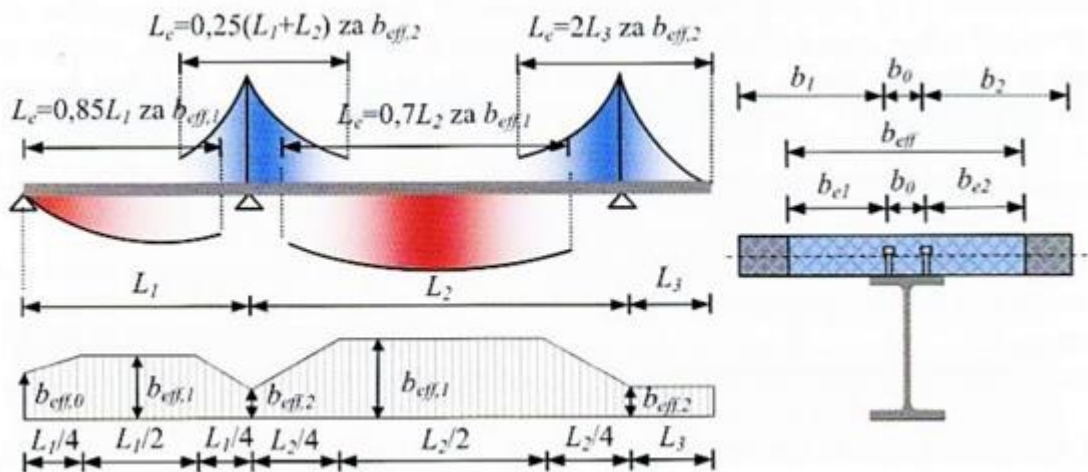
Važno je napomenuti da ponašanje nosača prikazano na slici 2 prepostavlja da pri dosezanju $M_{pl,Rd}$ ne dođe do pojave lokalne nestabilnosti.

2.4.2 Efektivna širina

Efektivna širina nastaje kao posljedica zaostajanje posmika u pločastim elementima.

Kod spregnutih nosača na efektivnu širinu betonske ploče utječu geometrija poprečnog presjeka, mala posmična krutost pojasnice, plastično ponašanje materijala, popustljivost moždanika, te stanje pukotina u betonu u području negativnih momenata savijanja [3].

Proračunska širina ovisi o razmaku nultih točaka momentnog dijagrama L_e , poznatom kao "ekvivalentni raspon". Rasподjelu proračunske širine nad osloncima i u rasponima kontinuiranog nosača prikazuje slika 4.



Slika 4. Efektivni rasponi za određivanje efektivne širine betonske pojasnice [3]

Efektivna širina za područje u polju i nad središnjim osloncima izračunava se prema izrazu:

$$b_{\text{eff}} = b_0 + \sum b_{ei} = b_0 + b_{e1} + b_{e2} \quad (1)$$

$$b_{ei} = \frac{L_e}{8} \quad (2)$$

gdje su:

b_0 - razmak krajnjih moždanika u poprečnom presjeku.

b_{ei} - efektivna širina armiranobetonske ploče sa svake strane hrpta čeličnog nosača od osi rubnog moždanika do slobodnog ruba armiranobetonske ploče.

L_e - približan razmak između nul točaka momentnog dijagrama

b_i - razmak od osi rubnog moždanika do sredine razmaka između susjednih hrptova. Kod rubnog nosača to je udaljenost od osi rubnog moždanika do ruba armiranobetonske ploče.

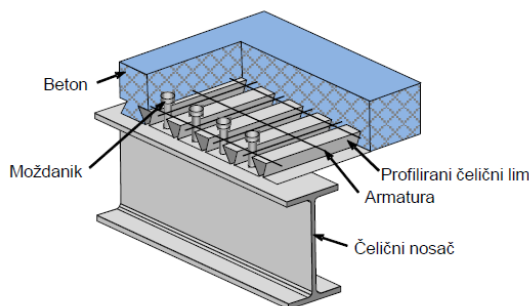
Efektivna širina nad krajnjim osloncima izračunava se prema izrazu:

$$b_{\text{eff}} = b_0 + \sum \beta_i \cdot b_{ei} \quad (3)$$

$$\beta_i = 0,55 + 0,025 \cdot \frac{L_e}{b_{ei}} \leq 1,0 \quad (4)$$

2.5 Spregnute ploče

Spregnute ploče od profiliranih čeličnih limova i betona često se primjenjuju u višekatnim zgradama zbog njihove učinkovitosti. Glavne prednosti spregnutih ploča s čeličnim limovima uključuju bržu izgradnju, mogućnost premoščivanja većih raspona, smanjenje konstrukcijske visine i manju vlastitu težinu u usporedbi s klasičnim armirano-betonskim pločama. Profilirani čelični lim može služiti kao oplata, preuzeti sva opterećenja ploče, djelovati kao radna platforma tijekom gradnje. Na slici 5. prikazana je karakteristična spregnuta ploča koja se oslanja na spregnuti nosač

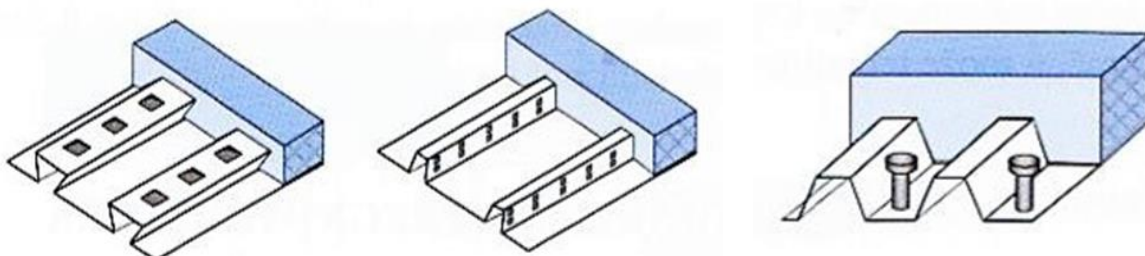


Slika 5. Karakteristična spregnuta ploča koja se oslanja na spregnuti nosač [3]

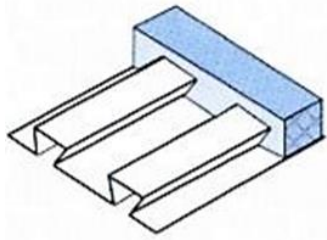
Dimenzioniranje spregnutih ploča odvija se u dvije faze.

U prvoj fazi čelični lim nosi svježu betonsku masu i servisno opterećenje te služi kao oplata za svježi beton. U drugoj fazi spregnuta ploča prenosi korisno opterećenje.

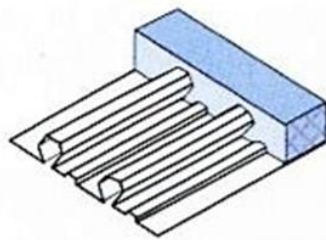
Trajna posmična veza između betona i čeličnog profila može se osigurati mehaničkim sprezanjem, moždanicima na krajevima, trenjem ili sidrima oblikovanim deformiranim limom na krajevima. Prema HRN EN 1994-1-1:2012 prianjanje između čelika i betona nije pouzdana metoda za posmičnu vezu jer rezultira ne duktilnim ponašanjem što dovodi do koncentracije posmičnih naprezanja koje mogu uzrokovati iznenadno otkazivanje.



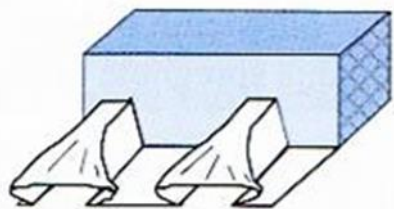
a) Mehaničko sprezanje



b) Sprezanje s moždanicima na krajevima



c) Sprezanje pomoću trenja



d) Sprezanje pomoću sidara izvedenog deformiranim limom na krajevima

Slika 6. Karakteristične posmične veze kod spregnutih ploča [3]

3 ŽIVOTNI CIKLUS GRAĐEVINE

3.1 Općenito

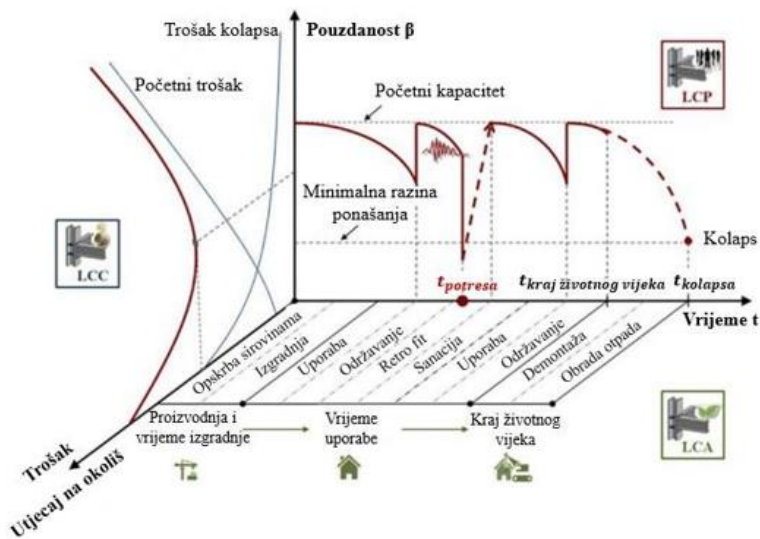
Životni ciklus građevine obuhvaća sve faze njezina postojanja, od projektiranja i gradnje, preko korištenja i održavanja, do konačnog rušenja i reciklaže. Svaka od tih faza ima značajan utjecaj na okoliš, ekonomiju i društvo. Prilikom projektiranja i gradnje, ključna je pažnja posvećena izboru materijala i tehnologija koje mogu smanjiti potrošnju resursa, troškove izgradnje i emisije štetnih tvari. U fazi korištenja, osiguravanje energetske učinkovitosti, održavanje i prilagodljivost građevine novim potrebama produljuje njezin vijek trajanja i smanjuje troškove eksploatacije.

Na završetku životnog ciklusa, reciklaža i ponovna upotreba materijala postaju presudni za smanjenje otpada i daljnje smanjenje emisija. Cjelokupni proces usmjeren je na optimizaciju troškova tijekom vijeka trajanja građevine te na smanjenje njezina ukupnog ugljičnog otiska. U tom kontekstu, analiza životnog ciklusa (LCA) predstavlja ključnu metodologiju za procjenu utjecaja građevine na okoliš kroz sve faze njezina vijeka, uključujući proizvodnju, vađenje sirovina, korištenje, održavanje te reciklažu ili odlaganje na kraju životnog vijeka.

LCA postupci dio su normi Međunarodne organizacije za normizaciju, koje omogućuju usporedbu različitih rješenja i identifikaciju optimalne varijante. Unutar LCA analize, objedinjuju se tri ključna aspekta: analiza utjecaja na okoliš (LCA), analiza troškova (LCC) i analiza društvenog odnosno funkcionalnog aspekta (LCS) (slika 7). Ove analize pružaju sveobuhvatan pristup procjeni građevine, omogućujući inženjerima da donešu odluke usmjerene prema održivosti i dugovječnosti konstrukcije.

3.2 Održivost životnog ciklusa građevine

Održivost građevina obuhvaća ekološke, ekonomske i društvene aspekte te je ključna za postizanje dugoročnog razvoja društva. Osnovna pretpostavka svih analiza vezanih za održivost jest da konstrukcija zadovoljava sve propise i norme, te da su granična stanja nosivosti i uporabivosti ispunjena. Uporabni vijek građevine odnosi se na razdoblje tijekom kojeg građevina, uz redovito održavanje, zadržava potrebnu razinu pouzdanosti i funkcionalnosti. Ključno je pitanje optimalne trajnosti, koja se definira kao sposobnost građevine da zadrži ove karakteristike unatoč utjecaju vanjskih čimbenika.



Slika 7. Analiza životnog ciklusa [5]

Od trenutka kada građevina postane operativna, potrebno je redovito pratiti njezino stanje, budući da je tijekom životnog vijeka izložena raznim oblicima degradacije, poput umora materijala, korozije i karbonizacije. Pravovremeno i učinkovito održavanje, uključujući rješenja za odvodnju, ključno je za produljenje vijeka trajanja i smanjenje troškova životnog ciklusa. Nakon svake intervencije na konstrukciji provode se analize poput LCA (analiza životnog ciklusa), LCC (analiza troškova) i LCS (socijalna analiza) kako bi se procijenio učinak izvršenih radova.

Procjena životnog ciklusa u kontekstu održive gradnje nužna je za postizanje ravnoteže između ekoloških i ekonomskih zahtjeva. Iako ne postoji normirani postupak za provedbu cjelovite analize, postoje koraci i metode koje su trenutno prihvaćene i primjenjuju se u praksi.

Holistički pristup analizi životnog ciklusa obuhvaća ekološke, ekonomске i društvene aspekte, te se fokusira na prelazak s projektiranja vođenog troškovima na projektiranje usmjereno prema održivosti konstrukcije. Redoviti pregledi i održavanje građevine ključni su za očuvanje njezine funkcionalnosti i sigurnosti tijekom vremena. Procjena ponašanja građevine provodi se kroz sve faze njezina životnog ciklusa, od izgradnje do kraja uporabe. Poznavanje kritičnih točaka konstrukcije i redoviti pregledi omogućuju smanjenje troškova životnog ciklusa i optimizaciju održivosti građevine.

Održiva gradnja suočava se s nizom izazova, uključujući potrebu za dugoročnim prognozama, sveobuhvatnim pristupom ocjeni održivosti, poznavanjem konstrukcije i vještinama za procjenu utjecaja na društvo, ekonomiju i okoliš. Nerazorne metode ispitivanja, koje

omogućuju rano otkrivanje nepravilnosti, mogu značajno smanjiti troškove i intervencije tijekom životnog vijeka građevine.

3.2.1 Oblici degradacije konstrukcije

Korozija je jedan od ključnih procesa degradacije čelika, koji može značajno smanjiti trajnost i sigurnost čeličnih konstrukcija. Ona se manifestira u nekoliko oblika, uključujući opću, lokalnu i interkristalnu koroziju. Prema mehanizmu, korozija može biti kemijska ili elektrokemijska. Uobičajeni oblici korozije na čeličnim profilima uključuju točkastu, pukotinsku, naponsku koroziju raspucavanja, opću i bimetalnu koroziju. Posebni oblici korozije javljaju se kada korozija djeluje u kombinaciji s mehaničkim, biološkim ili električnim čimbenicima, kao što su naponska, erozijska, kavitacijska, tarna i biokorozija. Za sprječavanje korozije koriste se organski premazi, anorganske presvlake poput emajliranja i fosfatiranja, te metalne presvlake poput cinčanja i galvaniziranja.

Karbonatizacija je proces koji je usko povezan s degradacijom betona, osobito u spregnutim konstrukcijama gdje beton štiti čelik. Ovaj proces uključuje reakciju između ugljičnog dioksida iz zraka i kalcijevog hidroksida u betonu, što smanjuje pH vrijednost betona i omogućava koroziju armature. Kvantifikacija mehanizama karbonatizacije, zajedno s korozijom, postaje sve važnija kako bi se predvidjelo kada će korozija postati aktivna na površini čeličnih elemenata. Iako deterministički modeli pokušavaju predvidjeti ove trenutke, varijabilnost ulaznih podataka otežava postizanje apsolutne pouzdanosti. Karbonatizacija se sprječava korištenjem kvalitetnih betonskih smjesa s dodatnim cementnim materijalima, dizajnom koji smanjuje poroznost i propusnost betona te povećanjem debljine zaštitnog sloja betona kako bi se produljilo vrijeme do inicijacije korozije armature.

Umor je još jedan kritičan čimbenik degradacije čelika koji se javlja uslijed ponavljačih opterećenja tijekom životnog vijeka konstrukcije. Umor može inducirati oštećenje ili pogoršati postojeća oštećenja, osobito na najkritičnijim detaljima konstrukcije. U čeličnim konstrukcijama, poprečna ukrućenja često se koriste kao detalji za smanjenje utjecaja umora. Otpornost na umor može se dodatno poboljšati tretmanom visokofrekventnim čekićem nakon zavarivanja, što značajno povećava otpornost ukrućenja i produžava životni vijek konstrukcije.

3.2.2 Pregledi i sanacije

Održavanje građevine obuhvaća aktivnosti usmjerenе na očuvanje ili obnovu potrebnih svojstava konstrukcije. Ovaj pojam nadilazi samo radove na konstrukciji i postaje sustav gospodarenja građevinama. Neposredne aktivnosti održavanja uključuju kontinuirano čišćenje, periodične radove kao što su obnova zaštite i zamjena dijelova. Pregledi se provode kako bi se utvrdilo trenutno stanje konstrukcije i identificirala potrebna poboljšanja. Razlozi

za pregled uključuju nedostatak informacija o stanju građevine, sumnju na propadanje materijala i potrebu za procjenom preostalog životnog vijeka.

Vrste pregleda građevine su: rutinski, opći, glavni i posebni.

Rutinski pregled je vizualni pregled svakih godinu dana za otkrivanje manjih nepravilnosti.

Opći pregled se provodi se svake 2-3 godine i uključuje vizualni pregled i jednostavna ispitivanja. Cilj je identificirati oštećenja koja utječu na nosivost i uporabivost.

Glavni pregled se obavlja svake 5-6 godina uz specijalizirane metode i opremu. Prikuplja detaljne informacije o stanju građevine i preporučuje održavanje.

Posebni pregled se provodi kada opći ili glavni pregled otkrije značajnu štetu. Omogućuje detaljno istraživanje i procjenu oštećenja.

Preventivno održavanje može biti unaprijed definirano, kada se provodi prema planu ili reaktivno, kada se poduzima zbog značajnog narušavanja svojstava konstrukcije.

Popravak građevine može biti sanacija, kada je sigurnost ugrožena, ili rekonstrukcija, kada je potrebno promijeniti ili nadograditi građevinu. Rezultati pregleda trebaju uključivati plan dodatnih ispitivanja, troškovnik popravaka i preporuke za ograničenje uporabe.

Postoje tri scenarija održavanja građevine: standardni scenarij, scenarij nedostatka novca i scenarij produženog životnog vijeka.

Standardni scenarij predviđa dovoljna sredstva za preglede i sanacije tijekom životnog vijeka građevine.

Scenarij nedostatka novca nastaje kada tijekom životnog vijeka građevine nedostaju sredstva za potrebne radnje održavanja. Zbog toga će stanje građevine postupno propadati.

Scenarij produženog životnog vijeka Omogućuje dodatne godine održavanja nakon isteka teoretskog vijeka građevine, uz prilagođene mjere održavanja.

3.3 Utjecaj okoliša na životni ciklus građevine-LCA

Gradnja neizbjježno utječe na prirodni okoliš, stoga svi sudionici u procesu gradnje trebaju biti svjesni ekoloških aspekata, uključujući prilagodbu građevine krajoliku, sprečavanje ispuštanja štetnih tvari u okoliš i mogućnost reciklaže.

Analiza okoliša u životnom ciklusu (LCA) obuhvaća četiri glavne faze. Prva faza je definiranje cilja i granica studije, pri čemu se određuje svrha analize i granice koje će obuhvatiti. Druga faza, inventar životnog ciklusa, uključuje prikupljanje podataka o materijalima, energiji i emisijama povezanim s proizvodom ili sustavom te izradu inventara ulaznih i izlaznih podataka. Treća faza, procjena utjecaja životnog ciklusa, kvantificira potencijalne ekološke utjecaje na temelju podataka iz inventara, uključujući mjerjenje potencijala globalnog

zagrijavanja (GWP), iscrpljivanja ozona, fotokemijskog stvaranja ozona, zakiseljavanja, eutrofikacije i abiotičkog iscrpljivanja. Četvrta faza, tumačenje rezultata, uključuje identificiranje značaja ekoloških utjecaja, donošenje zaključaka i formuliranje preporuka za poboljšanje.

Cilj LCA analize je utvrditi ekološko ponašanje građevine tijekom cijelog životnog vijeka, kako bi se identificirale prednosti i nedostaci te omogućila optimizacija budućih projekata.

Pokazatelji održivosti obuhvaćaju potrošnju materijala, vode i zemljišta tijekom gradnje, te primarnu energiju potrebnu za proizvodnju materijala, transport i ugradnju. Analiziraju se i toksičnost, uključujući bio toksičnost i toksičnost za ljudе, te štetne emisije kao što su potencijal globalnog zagrijavanja (GWP), iscrpljivanje ozona (ODP), fotokemijsko stvaranje ozona (POCP), zakiseljavanje (AP), eutrofikacija (EP) i abiotičko iscrpljivanje (ADP).

Zaključci analize trebaju se fokusirati na smanjenje emisije štetnih plinova, minimiziranje potrošnje dobara, mogućnost reciklaže i pravilno upravljanje otpadom.

3.4 Troškovi životnog ciklusa-LCC

Troškovi životnog ciklusa (LCC) predstavljaju metodu ekomske analize koja obuhvaća sve relevantne troškove tijekom životnog vijeka građevine, pri čemu se uzima u obzir vremenska vrijednost novca. Ova analiza ne uključuje samo troškove izgradnje, već i troškove vezane uz projektiranje, održavanje i demontažu, koji mogu činiti značajan udio ukupnih troškova životnog ciklusa.



Slika 8. Životni ciklus građevine [6]

Ključni cilj LCC analize je postići ravnotežu između početnih troškova i troškova tijekom uporabe, uzimajući u obzir da veća početna ulaganja mogu smanjiti troškove održavanja. Sukob između investitora, koji želi minimizirati troškove izgradnje, i korisnika, koji teži smanjenju troškova uporabe, često je prisutan. Nakon faze projektiranja, intervencije su otežane, a tržište može motivirati investitore da udovolje zahtjevima održivosti. Koncept troškova cijelog životnog vijeka detaljno je prikazan na slici 9.



Slika 9. Koncept "trošak cijelog životnog vijeka" i "trošak životnog ciklusa" [6]

Troškovi izgradnje spregnute konstrukcije obuhvaćaju radnje poput iskopavanja, temeljenja, izrade čeličnih okvira i spregova, izgradnje betonske ploče i fasadnih panela. Ovi troškovi uključuju materijale, proizvodnju komponenata, transport i radnu snagu.

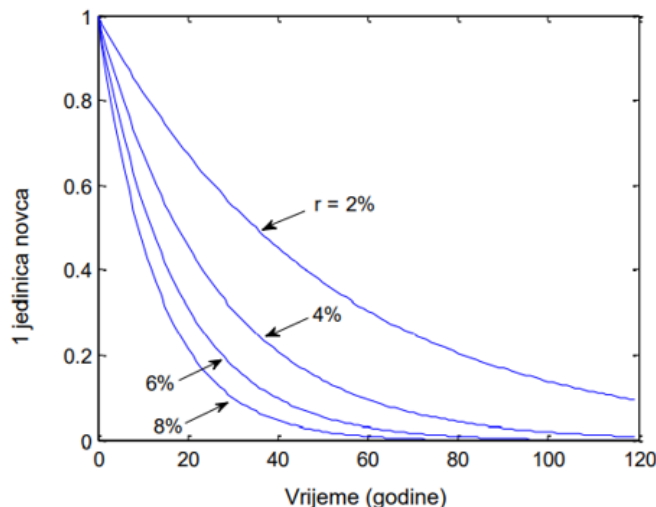
Energetska potrošnja za proizvodnju i transport materijala također se uzima u obzir, kao i pitanje je li materijal obnovljiv te što se događa s njim nakon demontaže. Troškovi tijekom uporabe uključuju redovito održavanje i inspekcije, čiji intervali variraju ovisno o funkciji građevine, lokalnim praksama i ekonomskim resursima.

Na kraju životnog vijeka, troškovi uključuju demontažu konstrukcije, transport i odlaganje materijala. Čelične komponente spregnute konstrukcije često se recikliraju, dok se betonski materijali obično odvoze na deponije. Procjena svih troškova omogućava donošenje odluka koje balansiraju početne troškove s dugoročnim ekonomskim prednostima. Analizom troškova životnog ciklusa, uključujući energetske troškove i mogućnost recikliranja, može se optimizirati ekonomsku isplativost i održivost projekta.

Cilj ekonomске metode troška je uskladiti sve troškove u zajedničku vremensku točku, s obzirom na to da se vrijednost novca mijenja tijekom vremena. Različite metode ekonomski procjene koriste se za ovaj cilj:

Metoda povrata (Payback Method) određuje vrijeme potrebno za povratak početnog ulaganja. Metoda ekvivalentnih godišnjih troškova (Equivalent Annual Costs) izražava godišnje troškove posjedovanja i upravljanja imovinom tijekom cijelog životnog vijeka. Metoda interne stope povrata (Internal Rate of Return) predstavlja diskontnu stopu pri kojoj je neto sadašnja vrijednost troškova jednaka neto sadašnjoj vrijednosti dobiti. Metoda neto sadašnje vrijednosti (Net Present Value) primjenjuje faktore smanjenja za svaku godinu predviđenog tijeka novca, što omogućuje usporedbu trenutnih, prošlih i budućih novčanih tokova. [6]

Sve ove metode prilagođavaju troškove na zajedničku vremensku točku kako bi ih se moglo usporediti. Diskontna stopa, koja odražava trošak novca tijekom vremena, ključna je za preciznost analize. Visoke diskontne stope dovode do značajnog smanjenja sadašnje vrijednosti budućih troškova. Na primjer, stope od 6% ili 8% mogu značajno smanjiti vrijednost troškova nakon 60 godina. Odabir diskontne stope utječe na strategije upravljanja troškovima i treba biti usklađen s vremenskim horizontom analize. Slika 10 prikazuje profil jedne jedinice novca za različite vrijednosti.



Slika 10. Profil jedne jedinice novca za različite vrijednosti r [6]

3.5 Analiza socijalnih komponenata životnog ciklusa-LCS

Analiza socijalnih komponenata životnog ciklusa građevine procjenjuje utjecaj građevine na društvo tijekom njenog cijelog vijeka trajanja, uključujući faze projektiranja, izgradnje, uporabe, održavanja i uklanjanja. Ova analiza obuhvaća utjecaj na lokalnu zajednicu, radnu snagu i šire društvene aspekte.

Za analizu socijalnih komponenata životnog ciklusa razmatraju se dvije vrste indikatora: obvezni, koji su ključni i trebaju biti uvijek uključeni u analizu, te optionalni, koji se mogu dodati prema potrebi, ovisno o specifičnom cilju analize. [6]

Obvezni indikatori su oni koji kvantificiraju učinke građevinskih aktivnosti na korisnike.

Neobavezni indikatori uključuju buku i estetiku. Buka postaje relevantan indikator ako se radovi odvijaju u blizini osjetljivih područja ili noću, jer može negativno utjecati na ljudе fiziološki i psihološki, ometajući osnovne aktivnosti poput spavanja i komunikacije. Smatra se jednim od većih ekoloških problema. Estetika, kao drugi neobavezni indikator, odnosi se na vizualnu privlačnost građevine u urbanom okruženju. Budući da je percepcija ljepote subjektivna, ono što je nekima prihvatljivo, drugima može biti uvredljivo. Kako građevina stari, njena estetska vrijednost može se promijeniti, a u iznimnim slučajevima, estetika može postati presudna za njezinu trajnost. Oba indikatora se ne procjenjuju uvijek u okviru životnog ciklusa jer imaju subjektivnu prirodu, koja zahtijeva poseban pristup pri kvantifikaciji i interpretaciji.

3.6 Projektantski pristup održive konstrukcije

Projektantski pristup održivoj konstrukciji temelji se na odabiru materijala i rješenja konstrukcije koji minimiziraju negativne utjecaje na okoliš, društvo i ekonomiju. Projektanti imaju ključnu ulogu u odabiru materijala, tehnologija i metoda gradnje koje mogu značajno utjecati na održivost građevine tijekom njenog životnog ciklusa.

Odabir materijala je jedan od najvažnijih aspekata održivog projektiranja. Korištenje materijala s niskim utjecajem na okoliš, kao što su reciklirani ili obnovljivi materijali, može smanjiti emisiju CO₂ i potrošnju energije tijekom proizvodnje i transporta. Također, izbor materijala s dugim vijekom trajanja i niskim zahtjevima za održavanje doprinosi smanjenju troškova tijekom životnog ciklusa građevine. Održivim projektiranjem može se postići smanjenje potrošnje energije i emisija stakleničkih plinova, čime se doprinosi očuvanju okoliša.

Sve ove odluke imaju dugoročne posljedice na održivost građevine, utječući na njen ekološki otisak, ekonomsku isplativost i društvene aspekte. Projektant koji razmatra ove čimbenike može značajno pridonijeti stvaranju održivih i ekološki prihvatljivih građevinskih rješenja.

4 TEMELJNA NAČELA I KRITERIJ PRORAČUNA EUROCODA

4.1 Proračunske situacije

Odabir proračunske situacije određuje se na temelju specifičnih zahtjeva koje konstrukcija mora zadovoljiti u različitim uvjetima (tablica 1).

Vrste proračunskih situacija:

- stalna proračunska situacija
- prolazna proračunska situacija
- izvanredna proračunska situacija
- potresna proračunska situacija

Tablica 1. Preporučene vrijednosti faktora ψ [7]

Djelovanje	ψ_0	ψ_1	ψ_2
Uporabna opterećenja u zgradama kategorije (vidjeti normu EN 1991-1-1):			
Kategorija A: kuće, stambene zgrade	0,7	0,5	0,3
Kategorija B: uredi	0,7	0,5	0,3
Kategorija C: područja za skupove	0,7	0,7	0,6
Kategorija D: trgovine	0,7	0,7	0,6
Kategorija E: skladišta	1,0	0,9	0,8
Kategorija F: prometna područja, težina vozila ≤ 30 kN	0,7	0,7	0,6
Kategorija G: prometna područja, $30 \text{ kN} \leq \text{težina vozila} \leq 160 \text{ kN}$	0,7	0,5	0,3
Kategorija H: krovovi	0	0	0
Opterećenja snijegom u zgradama (vidjeti normu EN 1991-1-3)*:			
– Finska, Island, Norveška, Švedska	0,70	0,50	0,20
– Ostale države članice CEN-a za gradilišta na visini $H > 1000 \text{ m n.m.}$	0,70	0,50	0,20
– Ostale države članice CEN-a za gradilišta na visini $H \leq 1000 \text{ m n.m.}$	0,50	0,20	0
Opterećenja vjetrom na zgrade (vidjeti normu EN 1991-1-4)	0,6	0,2	0
Temperatura (osim požara) u zgradama (vidjeti normu EN 1991-1-5)	0,6	0,5	0
NAPOMENA: Vrijednosti ψ mogu se odrediti u nacionalnom dodatku.			
* Za države koje nisu navedene, vidjeti odgovarajuće mjesne uvjete.			

4.2 Proračun graničnih stanja

4.2.1 Granično stanje nosivosti

Granično stanje nosivosti ili krajnje granično stanje odnosi se na stanja koja ugrožavaju sigurnost ljudi i konstrukcije. Ovo granično stanje obuhvaća situacije u kojima konstrukcija ili njezin dio gubi ravnotežu, dolazi do sloma zbog prekomjernih deformacija, stvaranja mehanizma unutar konstrukcije, ili sloma izazvanog umorom materijala.

U analizi graničnih stanja nosivosti potrebno je razmotriti specifična stanja, uključujući:

- Gubitak statičke ravnoteže konstrukcije (EQU),
- Unutarnji slom ili prekomjerno deformiranje konstrukcije (STR)
- Slom ili prekomjerno deformiranje temeljnog tla (GEO)
- Slom zbog umora materijala (FAT)
- Gubitak ravnoteže zbog tlaka vode (UPL)
- Hidrauličko izdizanje u temeljnog tlu (HYD)

Ova stanja su ključna za osiguranje da konstrukcija ostane sigurna i funkcionalna kroz cijeli njen životni vijek.

Uvjet pouzdanosti glasi:

$$E_d \leq R_d$$

(5)

gdje je :

E_d - proračunska vrijednost odgovarajuće otpornosti

R_d - proračunska vrijednost odgovarajuće otpornosti

Proračunski učinak djelovanja:

$$E_d = \left\{ \sum_{j=1}^n \gamma_{G,j} \cdot G_{k,j} + \gamma_{Q,1} \cdot Q_{k,1} + \sum_{i=1}^m \gamma_{Q,i} \cdot \psi_{0,i} \cdot Q_{k,i} \right\}$$

(6)

Koeficijenti kombinacije za prateća djelovanja navedeni su u tablici 1.

4.2.2 Granično stanje uporabljivosti

Granična stanja uporabljivosti odnose se na uvjete koje konstrukcija ili njezini elementi moraju ispunjavati kako bi se osigurala njihova pravilna funkcionalnost, udobnost korisnika i estetski izgled tijekom njihove uobičajene uporabe.

Ova stanja uključuju:

- Deformacije koje utječu na izgled ili udobnost.
- Vibracije koje uzrokuju nelagodu ili ograničavaju funkcionalnost.
- Oštećenja koja utječu na izgled, trajnost ili funkcionalnost konstrukcije.

Cilj je osigurati da konstrukcija ostane funkcionalna i udobna za korisnike, te da zadrži estetski prihvatljiv izgled.

Uvjet pouzdanosti glasi:

$$\frac{E_d}{C_d} \leq 1$$

(7)

gdje je :

E_d - proračunski učinak djelovanja

C_d - granična vrijednost kriterija uporabljivosti

Kombinacije djelovanja:

- karakteristična kombinacija:

$$E_d = \left\{ \sum_{j \geq 1} G_{k,j} + P + Q_{k,1} + \sum_{i \geq 1} \psi_{0,i} \cdot Q_{k,i} \right\}$$

(8)

- česta kombinacija:

$$E_d = \left\{ \sum_{j \geq 1} G_{k,j} + P + \psi_{1,i} \cdot Q_{k,1} + \sum_{i \geq 1} \psi_{2,i} \cdot Q_{k,i} \right\}$$

(9)

- nazovistalna kombinacija :

$$E_d = \left\{ \sum_{j \geq 1} G_{k,j} + P + \sum_{i \geq 1} \psi_{2,i} \cdot Q_{k,i} \right\}$$

(10)

Koefficijenti kombinacije za prateća djelovanja navedeni su u tablici 1.

4.3 Kriterij za potresno aktivna područja

Kriteriji za projektiranje u potresno aktivnim područjima usmjereni su na osiguranje sigurnosti i funkcionalnosti građevina u slučaju potresa. Ključni kriteriji uključuju:

- Sprječavanje ozbiljnih oštećenja ili stanja koja prethode rušenju: konstrukcija treba biti projektirana da izdrži rijetke, značajne seizmičke aktivnosti bez ozbiljnih oštećenja ili potpune propasti.
- Minimiziranje oštećenja kod umjerenih seizmičkih aktivnosti: konstrukcija treba biti dovoljno jaka da izdrži umjerenе seizmičke događaje s minimalnim oštećenjima, uključujući oštećenja ne konstrukcijskih elemenata.
- Zaštita ne konstrukcijskih komponenti: kod čestih manjih potresa, cilj je minimizirati oštećenja ne konstrukcijskih komponenti poput pregradnih zidova.

4.3.1 Temeljni zahtjevi

Temeljni zahtjevi za projektiranje u potresnim područjima osiguravaju da građevine budu otporne na seizmičke aktivnosti i da minimiziraju rizik od ozbiljnih oštećenja i rušenja. Ključni zahtjevi uključuju:

- Zahtjev da ne smije doći do rušenja (No-Collapse Requirement): konstrukcija mora biti projektirana da izdrži potres bez globalnih i lokalnih urušavanja
- Zahtjev ograničenja oštećenja (Damage Limitation Requirement): konstrukcija treba izdržati umjerenе potrese uz minimalna oštećenja koja ne ugrožavaju njezinu osnovnu funkciju i stabilnost [8]

Zahtjev da ne smije doći do rušenja

Konstrukcija mora biti projektirana da izdrže potresne sile bez globalnog ili lokalnog urušavanja, osiguravajući da se ne dogodi ozbiljno oštećenje ili rušenje koje bi moglo ugroziti sigurnost korisnika. Proračun se provodi na povratni period potresa od 475 godina ili vjerojatnost prekoračenja od 10% u 50 godina. [8] Zahtjev povezujemo sa graničnim stanjem nosivosti.

Zahtjev da ne smije doći do rušenja smatramo zadovoljenim ako su ispunjeni sljedeći kriteriji:

- otpornost
- lokalna i globalna duktilnost

- ravnoteža
- otpornost stropnih dijafragmi
- otpornost temelja
- seizmička otpornost spojeva

Zahtjev ograničenje oštećenja

Ovaj zahtjev propisuje da konstrukcija mora biti projektirana i izvedena tako da izdrži potresna djelovanja s većom vjerljivošću pojave od onih predviđenih projektnim potresom, a pritom ne smije pretrpjeti značajna oštećenja ili izgubiti funkcionalnost. Očekivana šteta, ako se pojavi, uglavnom će biti ograničena na ne konstrukcijske elemente, a njezin opseg će ovisiti o interakciji s deformacijom konstrukcije. Proračun se temelji na potresu s povratnim periodom od 95 godina, odnosno s vjerljivošću prekoračenja od 10% u 10 godina. Ovaj zahtjev osigurava da konstrukcija ostane funkcionalna nakon čestih seizmičkih aktivnosti i minimizira troškove popravaka nakon ozbiljnijih potresa. Učinkovita provedba ovog zahtjeva može utjecati na dimenzioniranje elemenata konstrukcije, pa se preporučuje njegovo razmatranje u ranoj fazi projektiranja. Ovaj zahtjev možemo povezati sa graničnim stanjem uporabljivosti.

4.3.2 Kombinacije pri potresnoj proračunskoj situaciji

Kombinacija djelovanja za potresnu proračunsku situaciju

Izraz za kombinaciju djelovanja je:

$$E_d = \left\{ \sum_{j=1}^n G_{k,j} + P + A_{Ed} + \sum_{i=1}^m \psi_{2,i} \cdot Q_{k,i} \right\}$$

(11)

Koeficijent kombinacije za prateća djelovanja navedeni su u tablici 1.

Kombinacije učinaka komponenata potresnog djelovanja

U proračunu potresnog djelovanja obično se prepostavlja da horizontalne komponente djeluju zajedno. Kombinacija učinaka ovih komponenata provodi se zbrajanjem 100% vrijednosti u glavnom smjeru i 30% vrijednosti u ostalim smjerovima:

$$A_{Ed} = E_{Edx} + 0,3 \cdot E_{Edy} + 0,3 \cdot E_{Edz}$$

(12)

$$A_{Ed} = 0,3 \cdot E_{Edx} + E_{Edy} + 0,3 \cdot E_{Edz}$$

(13)

$$A_{Ed} = 0,3 \cdot E_{Edx} + 0,3 \cdot E_{Edy} + E_{Edz}$$

(14)

gdje je:

A_{Ed} - proračunski učinak djelovanja seizmičkih komponenti u potresnoj proračunskoj kombinaciji

E_{Edx} - proračunski učinak djelovanja seizmičke komponente u potresnoj proračunskoj kombinaciji za smjer x

E_{Edy} - proračunski učinak djelovanja seizmičke komponente u potresnoj proračunskoj kombinaciji za smjer y

E_{Edz} - proračunski učinak djelovanja seizmičke komponente u potresnoj proračunskoj kombinaciji za smjer z

Kombinacije potresnog djelovanja sa drugim djelovanjima

Inercijski učinci proračunskog potresnog djelovanja trebaju se odrediti uzimajući u obzir prisutnost masa povezanih sa svim gravitacijskim opterećenjima prema [8]:

$$\sum G_{k,j} + \sum \psi_{E,i} \cdot Q_{k,i}$$

(15)

$$\psi_{E,i} = \varphi \cdot \psi_{2,i}$$

(16)

gdje je:

$\psi_{E,i}$ - koeficijent kombinacije za promjenjivo djelovanje

$\psi_{2,i}$ i φ - koeficijenti propisani tablicama 1 i 2

Tablica 2. Vrijednosti φ pri proračunu $\psi_{E,i}$ [8]

Tip promjenjivog djelovanja	Kat	φ
Kategorije A – C*	Krov Katovi s povezanom zauzetošću Neovisno zauzeti katovi	1,0 0,8 0,5
Kategorije D – F* i arhivi		1,0
* Kategorije su definirane u normi EN 1991-1-1:2002.		

4.3.3 Tipovi temeljnog tla

Prema EN 1998-1, definirano je pet različitih tipova tla, od kojih svaki ima specifična svojstva (Tablica 3). Tlo, poput konstrukcije, posjeduje vlastita dinamička svojstva, uključujući prvi vlastiti period i prigušenje. Iz tog razloga važno je uzeti u obzir tip tla na kojem se nalazi konstrukcija prilikom analize. Konstrukcija koja se proračunava nalazi se na tlu tipa C.

Tablica 3. Tipovi temeljnog tla [8]

Tip temeljnog tla	Opis stratigrafskog profila	Parametri		
		$v_{s,30}$ (m/s)	N_{SPT} (udara/30 cm)	c_s (kPa)
A	Stijena ili druga geološka formacija poput stijene uključujući najviše 5 m slabijeg materijala na površini	> 800	–	–
B	Nanosi vrlo gustog pijeska, šljunka ili vrlo krute gline, debeline najmanje nekoliko desetaka metara, s postupnim povećanjem mehaničkih svojstava s dubinom	360-800	> 50	> 250
C	Duboki nanosi gustog ili srednje gustog pijeska, šljunka ili krute gline debeline od nekoliko desetaka metara do više stotina metara	180-360	15-50	70-250
D	Nanosi rahlog do srednje zbijenog nekoherentnog tla (s nešto mekih koherenčnih slojeva ili bez njih), ili pretežno meko do dobro koherentno tlo	< 180	< 15	< 70
E	Profil tla koji se sastoji od površinskog aluvijskog sloja s vrijednostima v_s za tipove C ili D i debjinom između 5 i 20 m ispod kojeg je krući materijal s $v_s > 800$ m/s			
S ₁	Nanosi koji se sastoje od, ili sadrže, sloj debeline najmanje 10 m mekih glina/praha s velikim indeksom plastičnosti (PI > 40) i velikim sadržajem vode	< 100 (približno)	–	10-20
S ₂	Nanosi tla podložnih likvefakciji, osjetljivih glina ili svaki drugi profil tla koji nije obuhvaćen tipovima A do E ili S ₁			

4.3.4 Klasa važnosti građevine

Građevine se razvrstavaju u jednu od četiri klase važnosti, temeljem potencijalnih posljedica njihovog rušenja tijekom potresa, uključujući utjecaj na ljudske živote i funkcionalnost zgrade nakon potresa. Ove klase važnosti definirane su prema namjeni građevine, a svakoj klasi dodijeljen je odgovarajući faktor važnosti (prikazano u Tablici 4). Građevina koja je predmet analize koristi se kao poslovni prostor i uredi, stoga spada u klasu važnosti II, s pripadajućim faktorom važnosti $\gamma_I = 1,0$.

Tablica 4. Klase važnosti građevine [8]

Klasa važnosti	Građevina prema namjeni	Faktor važnosti γ_f
I	Zgrade manje važnosti za javnu sigurnost (poljoprivredni objekti)	0,8
II	Obične građevine koje ne pripadaju u ostale skupine (hoteli, stambene i poslovne zgrade)	1,0
III	Građevine čija je potresna otpornost važna zbog posljedica vezanih uz rušenje (škole, zgrade s dvoranama za skupove veće od 100 ljudi)	1,2
IV	Građevine čija je cijelovitost za vrijeme potresa od životne važnosti za zaštitu ljudi (bolnice, policijske i vatrogasne postaje, energetska postrojenja)	1,4

4.3.5 Faktor ponašanja

Faktor ponašanja je koeficijent u seizmičkom projektiranju koji se koristi za smanjenje proračunskih seizmičkih sila, uzimajući u obzir sposobnost konstrukcije da apsorbira i disipira energiju putem plastičnih deformacija bez potpunog urušavanja. Vrijednosti faktora ponašanja prikazani su u tablici 5.

Tablica 5. Granične vrijednosti faktora ponašanja [8]

Tip konstrukcije	Razred duktilnosti	
	DCM	DCH
a) okvirne konstrukcije	4	$5 \alpha_0/\alpha_1$
b) okvir s centričnim ukrućenjima		
– dijagonalna ukrućenja	4	4
– ukrućenja u obliku slova V	2	2,5
c) okvir s ekscentričnim ukrućenjima	4	$5 \alpha_0/\alpha_1$
d) obrnuto njihalo	2	$2 \alpha_0/\alpha_1$
e) konstrukcije s betonskim jezgrama ili betonskim zidovima	vidjeti 5. poglavlje	
f) okvir s centričnim ukrućenjem	4	$4 \alpha_0/\alpha_1$
g) okvirne konstrukcije s ispunskim zidem		
– nespojeno betonsko ili zidano zide u dodiru s okvirom	2	2
– spojeni armiranobetonski ispunski elementi	vidjeti 7. poglavlje	
– ispunski elementi izolirani od okvira (vidjeti okvire)	4	$5 \alpha_0/\alpha_1$

U ovom radu odabran je srednji razred duktilnosti (DCM). Budući da se radi o okvirnom sustavu konstrukcije u y smjeru i sustavu okvira s centričnim dijagonalnim ukrućenjima u x smjeru, faktor ponašanja u oba smjera iznosi $q = 4,0$, prema tablici 5.

4.3.6 Slučajni torzijski učinci

Slučajni torzijski učinci nastaju kao nepredviđeni rotacijski momenti u konstrukcijama zbog nejednake raspodjele mase ili nehomogenosti materijala. Ovi učinci se javljaju kada stvarni centar mase (težište) konstrukcije nije usklađen s centrom krutosti, što dovodi do rotacije konstrukcije oko vertikalne osi tijekom potresa. Kako bi se u proračunu obuhvatile ove nesavršenosti, uzima se u obzir slučajni ekscentricitet, koji pomiče proračunski centar mase svakog kata od njegovog nominalnog položaja u oba smjera prema izrazu:

$$e_{ai} = \pm 0,05 \cdot L_i$$

(17)

gdje je:

e_{ai} - slučajni ekscentricitet centra masa

L_i - širina građevine okomita na smjer seizmičke aktivnosti

4.3.7 Posebna pravila za čelične zgrade

Konstrukcija i njezini elementi moraju biti projektirani s odgovarajućom duktilnošću, koja ovisi o odabranom statičkom sustavu i faktoru ponašanja. Konstrukcija treba biti proračunata i dimenzionirana s precizno razrađenim elementima, u skladu s posebnim odredbama za potresnu otpornost, što omogućava razvoj mehanizama za disipaciju energije. Prema tome, zgrade se svrstavaju u razrede duktilnosti DCM i DCH (tablica 6). Materijali korišteni u konstrukciji moraju omogućiti stvaranje duktilnih područja na predviđenim mjestima. U tim duktilnim zonama očekuje se da granica popuštanja bude dosegnuta prije nego što ostali dijelovi konstrukcije dosegnu svoju elastičnu granicu.

Tablica 6. Zahtijevani razred presjeka [8]

Razred duktilnosti	Referencijska vrijednost faktora ponašanja q	Zahtijevani razred presjeka
DCM	$1,5 < q \leq 2$	razred 1, 2 ili 3
	$2 < q \leq 4$	razred 1 ili 2
DCH	$q > 4$	razred 1

Zone disipacije energije mogu biti smještene u konstrukcijskim elementima ili priključcima. Ako su unutar elemenata, ne duktilni dijelovi i priključci moraju imati povećanu čvrstoću kako bi omogućili ciklično popuštanje u duktilnim dijelovima. Ako su u priključcima, oni moraju imati povećanu otpornost kako bi omogućili ciklično trošenje energije.

Za osiguranje cjelokupnog duktilnog ponašanja, preporučuje se primjena načela "jakih stupova – slabih greda". Ovo načelo osigurava globalni način otkazivanja kroz formiranje

plastičnih zglobova na krajevima greda, dok stupovi ostaju u elastičnom području, osim na razini temelja ili vrha zgrade, gdje su plastični zglobovi prihvativi. Ovo načelo je ispunjeno ako vrijedi uvjet:

$$\sum M_{Rc} \geq 1,3 \cdot \sum M_{Rb}$$

(18)

gdje je:

- $\sum M_{Rc}$ - zbroj proračunskih vrijednosti momenata otpornosti stupa u promatranom čvoru
- $\sum M_{Rb}$ - zbroj proračunskih vrijednosti momenata otpornosti greda u promatranom čvoru

Kod projektiranja čeličnih konstrukcija za seizmička opterećenja, ključno je znati maksimalnu vrijednost granice popuštanja čelika. Ova vrijednost je važna jer omogućuje povećanje kapaciteta konstrukcije za disipaciju seizmičke energije. Maksimalna granica popuštanja određuje se sljedećim izrazom:

$$\frac{f_y}{\gamma_{ov}} \leq 1,1 \cdot \gamma_{ov} \cdot f_y$$

(19)

gdje je:

- γ_{ov} - koeficijent povećane čvrstoće, iznosi 1,25
- f_y - nazivna granica popuštanja čelika

4.3.7.1 Kriterij proračuna okvirnih sustava

Zahtjevi za nosače

Okvirne konstrukcije projektiraju se tako da se plastični zglobovi formiraju u nosačima ili na spojevima nosača i stupova, dok se izbjegava njihovo stvaranje u stupovima kako bi se spriječilo nastajanje mekog kata (slika 11). Za grede se zahtijeva otpornost na bočno-torzijsko izvijanje, s pretpostavkom da će se plastični glob pojaviti na jednom kraju nosača. Ključno je provjeriti da puni plastični moment otpornosti i sposobnost rotacije nisu smanjeni djelovanjem tlačnih i posmičnih sila. Profili klase 1 i 2 moraju se stoga provjeriti prema sljedećim izrazima:

$$\frac{M_{Ed}}{M_{plRd}} \leq 1,0$$

(20)

$$\frac{N_{Ed}}{N_{pl,Rd}} \leq 0,15$$

(21)

$$\frac{V_{Ed,G} + V_{Ed,M}}{V_{pl,Rd}} \leq 0,5$$

(22)

gdje je:

M_{Ed} , N_{Ed} , V_{Ed} – računske vrijednosti momenta savijanja i unutarnjih sila

$M_{pl,Rd}$, $N_{pl,Rd}$, $V_{pl,Rd}$ računske otpornosti

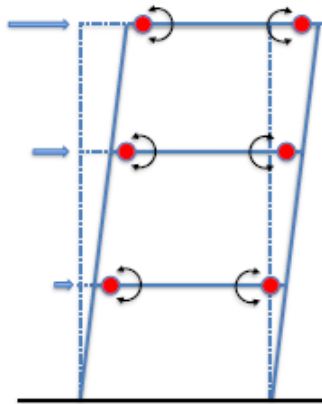
–

$V_{Ed,G}$ proračunska poprečna sila za nepotresna djelovanja

–

$V_{Ed,M}$ proračunska poprečna sila pri djelovanju plastičnih momenata

–



Slika 11. Prikaz formiranja plastičnih zglobova u nosačima [9]

Zahtjevi za stupove

Kako bi se osiguralo ponašanje „jakog stupa-slabe grede“, sile koje djeluju na stup, izračunate prema elastičnom modelu, trebaju se pomnožiti koeficijentom Ω koji se izračunava prema sljedećem izrazu:

$$\Omega = m \ln \left(\frac{M_{Pl,Rd,i}}{M_{Ed,i}} \right)$$

(23)

gdje je:

$M_{Ed,i}$ – proračunska vrijednost momenta savijanja grede i u potresnoj proračunskoj situaciji

$M_{Pl,Rd,i}$ – plastična otpornost momenta savijanja grede i

Za proračun se uzima u obzir najnepovoljnija kombinacija uzdužne sile i momenta savijanja s računskim vrijednostima:

$$N_{Ed} = N_{Ed,G} + \alpha \cdot 1,1 \cdot \gamma_{ov} \cdot \Omega \cdot N_{Ed,E}$$

(24)

$$M_{Ed} = M_{Ed,G} + \alpha \cdot 1,1 \cdot \gamma_{ov} \cdot \Omega \cdot M_{Ed,E}$$

(25)

$$V_{Ed} = V_{Ed,G} + \alpha \cdot 1,1 \cdot \gamma_{ov} \cdot \Omega \cdot V_{Ed,E}$$

(26)

gdje je:

$N_{Ed,G}$, $N_{Ed,E}$, $V_{Ed,G}$ – računske vrijednosti učinaka uslijed nepotresnih djelovanja

-

$M_{Ed,G}$, $M_{Ed,E}$, $V_{Ed,E}$ – računske vrijednosti učinaka uslijed potresnog djelovanja

-

γ_{ov} – koeficijent povećane čvrstoće

Ω – koeficijent propisan izrazom (23)

-

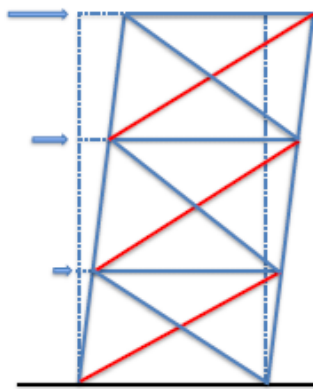
Poprečna sila u stupu treba zadovoljiti izraz:

$$\frac{V_{Ed}}{V_{Pl,Rd}} \leq 0,5$$

(27)

4.3.7.2 Kriterij proračuna jednostavnih okvirnih sustava s centričnim vezama

Jednostavni okvirni sustavi s centričnim vezovima projektiraju se tako da se energija disipira kroz dijagonalne elemente u vlaku (slika 12). Time se osigurava da se popuštanje dijagonalnih elemenata u vlaku dogodi prije nego što dođe do otkazivanja spojeva, popuštanja ili izvijanja nosača ili stupova [9].



Slika 12. Prikaz razgradnje energije u dijagonalama [9]

Zahtjevi za dijagonale vezova

Prema kriteriju proračuna kapaciteta, horizontalnim silama se odupiru samo u dijagonale u vlaku, stoga se doprinos otpornosti tlačnih dijagonala ne uzima u obzir. Ipak, tlačne dijagonale trebaju biti uključene u izračunavanje vlastitih frekvencija i oblika modova konstrukcije te u određivanje seizmičkih sila, uz obaveznu provjeru njihove stabilnosti.

Bez obzira na to jesu li tlačne dijagonale uključene u modelu, potrebno je provjeriti njihovu otpornost na izvijanje. Dijagonale u vlaku moraju imati dovoljnu otpornost da izdrže prethodno određene seizmičke sile.

Konstrukcije koje imaju visinu veću od dva kata bezdimenzijska vitkost dijagonala X vezova mora biti:

$$1,3 \leq \bar{\lambda} \leq 2,0 \\ (28)$$

$$\bar{\lambda} = \frac{\lambda}{\lambda_1} \\ (29)$$

$$\lambda_p = \frac{0,5 \cdot I_d}{i_p} \\ (30)$$

$$\lambda_{op} = \frac{L_d}{i_{op}}$$

(31)

$$\lambda_1 = \pi \cdot \sqrt{\frac{E}{f_y}} = 93,9 \cdot \varepsilon$$

(32)

gdje je:

$\bar{\lambda}$ - bezdimenzijska vitkost

λ_{ip} - geometrijska vitkost u ravnini

λ_{op} - geometrijska vitkost izvan ravnine

λ_1 - elastična kritična vitkost

Faktor povećanja Ω računa se za sve dijagonale veznog sustava kako bi se osiguralo ujednačeno ponašanje pri razgradnji energije. Razlika između minimalne i maksimalne vrijednosti faktora povećanja ne smije biti veća od 25%. [9]

$$\Omega = \frac{N_{Pl,Rd,i}}{N_{Ed,i}}$$

(33)

Zahtjevi za grede i stupove

Stupovi i nosači u jednostavnim okvirnim sustavima s centričnim vezovima moraju zadovoljiti uvjete:

$$N_{Pl,Rd} (M_{Ed}) \geq N_{Ed,G} + 1,1 \cdot \gamma_{ov} \cdot \Omega \cdot N_{Ed,E}$$

(34)

gdje je:

$N_{Pl,Rd} (M_{Ed})$ - proračunska otpornost na izvijanje grede ili stupa

$N_{Ed,G}$ - uzdužna sila u stupu za nepotresno djelovanje

-

$N_{Ed,E}$ - uzdužna sila u gredi ili stupu za proračunsko potresno djelovanje

γ_{ov} - koeficijent povećane čvrstoće

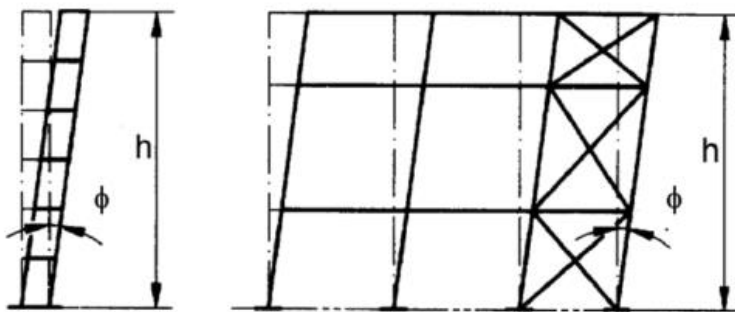
Ω - najmanja vrijednost faktora ponašanja iz izraza (33)

5 GLOBALNA ANALIZA KONSTRUKCIJE

5.1 Imperfekcija okvira

Unatoč preciznosti izvedbe, čelične konstrukcije uvijek sadrže određene nesavršenosti, poput rezidualnih napona, ekscentriciteta u spojevima i opterećenjima, te odstupanja od vertikalnosti i linearnosti elemenata. Ove nesavršenosti uzrokuju dodatne unutarnje sile koje treba uzeti u obzir pri globalnoj analizi i proračunu konstrukcijskih elemenata. Prema EC3-1-1, nesavršenosti se obračunavaju u obliku ekivalentnih geometrijskih imperfekcija, čije vrijednosti predstavljaju učinke svih mogućih nesavršenosti.

Imperfekcije se u globalnoj analizi uzimaju preko početnog kuta rotacije okvira ϕ u odnosu na stopu stupa i oni odgovaraju nedostatku vertikalnosti konstrukcije (slika 13).



Slika 13. Istovrijedne nesavršenosti zbog bočnog pomaka [10]

$$\phi = \alpha_h \cdot \alpha_m \cdot \phi_0 \quad (35)$$

$$\alpha_h = \frac{2}{\sqrt{h}}; \text{ ali } \frac{2}{3} \leq \alpha_h \leq 1,0 \quad (36)$$

$$\alpha_m = \sqrt{0,5 \cdot \left(1 + \frac{1}{m} \right)} \quad (37)$$

gdje je:

- α_h - faktor redukcije visine
 h - visina stupa
 α_m - reduksijski faktor broja stupova u redu
 m - broj stupova u redu uključujući samo one stupove koji prenose vertikalno opterećenje ne manje od 50% prosječne vrijednosti opterećenja stupa u promatranoj vertikalnoj ravnini
 ϕ_0 - osnovna vrijednost 1/ 200

Relativne početne lokalne nesavršenosti za elemente iznose (tablica 7):

$$\epsilon_0 / L$$

(38)

gdje je:

ϵ_0 - maksimalna amplituda početnog bočnog pomaka

L - duljina elementa

Tablica 7. Početne lokalne imperfekcije oblika luka [10]

[AC] Krivulja izvijanja u skladu s tablicom 6.2 [AC]	Elastični proračun		Plastični proračun	
	ϵ_0 / L	ϵ_0 / L	ϵ_0 / L	ϵ_0 / L
a ₀	1 / 350		1 / 300	
a	1 / 300		1 / 250	
b	1 / 250		1 / 200	
c	1 / 200		1 / 150	
d	1 / 150		1 / 100	

5.2 Klasifikacija čeličnih konstrukcija

5.2.1 Klasifikacija za stalne i prolazne proračunske situacije

Unutarnje sile i momenti mogu se odrediti:

- analizom prvoga reda pomoću početne geometrije konstrukcije,
- analizom drugoga reda, uzimajući u obzir utjecaj deformiranja konstrukcije, ($P - \Delta$) učinci.

Učinke deformirane geometrije (učinke drugog reda) potrebno je uzeti u obzir ako značajno doprinose povećanju unutarnjih sila ili utječu na ponašanje sustava. Globalna analiza prvog reda može se primijeniti samo ako je povećanje unutarnjih sila, uzrokovo deformacijama, zanemarivo.[10] Ovaj uvjet je ispunjen ako se zadovolji sljedeći izraz:

$$\alpha_{cr} = \frac{F_{cr}}{F_{Ed}} \geq 10, \quad \text{za elastični proračun} \quad (39)$$

$$\alpha_{cr} = \frac{F_{cr}}{F_{Ed}} \geq 15, \quad \text{za plastični proračun} \quad (40)$$

gdje je:

- α_{cr} - faktor kojim bi se moglo povećati proračunsko opterećenje tako da prouzroči opću (ukupnu) elastičnu nestabilnost
- F_{cr} - elastično kritično opterećenje (sila) izvijanja za opći (ukupni) način nestabilnosti utemeljen na početnoj elastičnoj krutosti
- F_{Ed} - proračunsko opterećenje (proračunska sila) konstrukcije

5.2.2 Klasifikacija za potresnu proračunsku situaciju

Učinci drugog mogu se zanemariti ako je na svakom katu zadovoljen izraz:

$$\theta = \frac{P_{tot} \cdot d_r}{V_{tot} \cdot h} \leq 0,1 \quad (41)$$

gdje je:

- θ - koeficijent osjetljivosti međukatnog pomaka
- P_{tot} - ukupno gravitacijsko opterećenje na promatranom katu i iznad njega u proračunskoj potresnoj situaciji
- d_r - proračunski katni pomak određen kao razlika prosječnih bočnih pomaka d_s na vrhu i pri podnožju promatranog kata proračunat u skladu.
- V_{tot} - ukupna katna potresna proračunska sila
- h - međukatna visina

Ako je $0,1 \leq \theta \leq 0,2$ učinci drugog reda se mogu približno uzeti u obzir množenjem odgovarajućih potresnih unutarnjih sila faktorom $1/(1-\theta)$. Vrijednost koeficijenta θ ne smije premašiti vrijednost 0,3.

6 ANALIZA OPTEREĆENJA

6.1 Opterećenje u fazi izvođenja

6.1.1 Stalno opterećenje

Vlastita težina elemenata konstrukcije uzima se automatski iz računalnog programa "SCIA".

AB ploča (mokro stanje)	<i>software</i>
Čelični profilirani lim	<i>software</i>
Čelični nosači	<i>software</i>
Ukupno:	/

6.1.2 Uporabno opterećenje

Oprema za betoniranje	0,75 kN/m ²
Ukupno:	0,75 kN/m ²

6.2 Opterećenje u uporabnoj fazi

6.2.1 Stalno opterećenje

Vlastita težina elemenata konstrukcije uzima se automatski iz računalnog programa "SCIA".

Međukatna konstrukcija

AB ploča (suho stanje)	<i>software</i>
Čelični profilirani lim	<i>software</i>
Dodatno stalno (slojevi poda, pregradni zidovi...)	1,5 kN/m ²
Završni radovi (glazura, instalacije...)	1,5 kN/m ²
Ukupno:	3,0 kN/m ²

Konstrukcija krova

AB ploča (suho stanje)	<i>software</i>
Čelični profilirani lim	<i>software</i>

Dodatno stalno (slojevi pokrova)	1,5 kN/m ²
Završni radovi (instalacije)	0,5 kN/m ²
Ukupno:	2,0 kN/m ²

6.2.2 Uporabno opterećenje

Tablica 8. Uporabno opterećenja stropova [11]

Stupac	1	2	3	4	5	
Redak	Kategorija	Namjena	Primjer	q_k [kN/m ²]	$Q_{k,i}$ [kN]	
4	B	B1	Uredski prostori, radni prostori, hodnici	Hodnici u uredskim zgradama, uredi, medicinske ordinacije bez teške opreme, bolnički odjeli, čekaonice i hodnici, staje sa sitnom stokom	2	2
5		B2		Hodnici i kuhinje u bolnicama, hotelima, staračkim domovima, hodnici u internatima i sl., prostori za medicinske tretmane u bolnicama, uključujući i operacijske dvorane bez teške opreme, podrumske prostorije u stambenim zgradama	3	3
6		B3		Svi prostori navedeni u B1 i B2, ali s teškom opremom ^a	5	4

Za poslovne građevine kategorije B1 karakteristično uporabno opterećenje, prema tablici 8 iznosi $q_{k,i} = 2,0 \text{ kN/m}^2$.

Međukatna konstrukcija

Poslovne građevine kategorije B1	2,0 kN/m ²
Ukupno:	2,0 kN/m ²

Ravni krov konstrukcije svrstavamo u kategoriju H pod nagib krova $\alpha \leq 20^\circ$ (tablica 9) Karakteristično uporabno opterećenje iznosi $q_{k,krov} = 0,6 \text{ kN/m}^2$.

Konstrukcija krova

Krov kategorije H	0,6 kN/m ²
Ukupno:	0,6 kN/m ²

Tablica 9. Karakteristična uporabna opterećenja za krov [11]

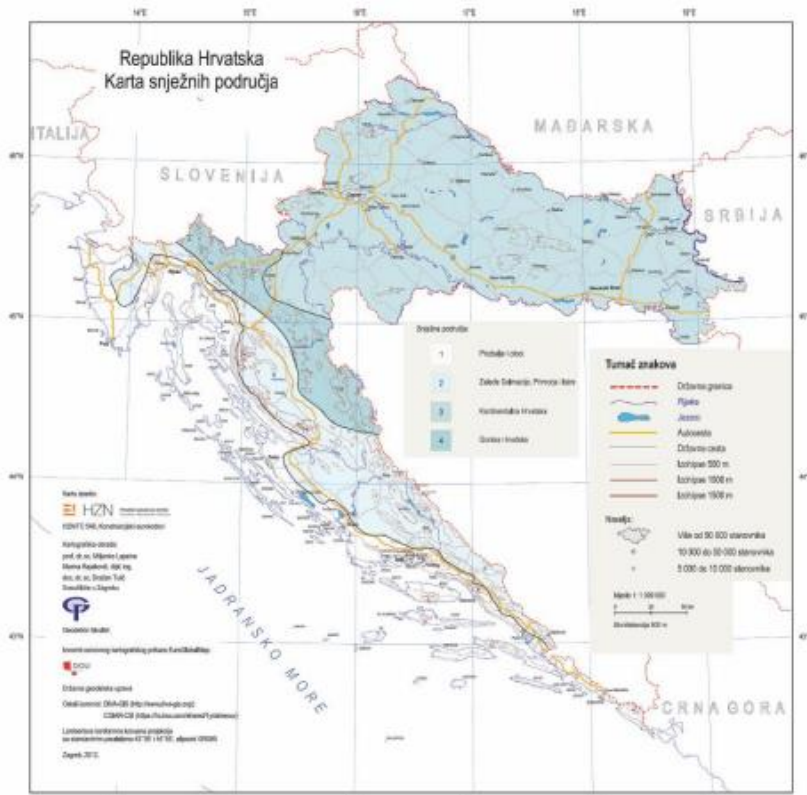
Krov		q_k^a [kN/m ²]	Q_k [kN]
Kategorija H	nagib krova $\leq 20^\circ$	0,6	1,0
	nagib krova $\geq 40^\circ$	0,0	1,0

^a Za nagibe između 20° i 40° vrijednost q_k može se odrediti linearom interpolacijom.

NAPOMENA 1: Opterećenje q_k djeluje na ploštinu A koja predstavlja cijelu ploštinu krova.

NAPOMENA 2: Svi nagibi krova mjeru se u odnosu na horizontalu, a opterećenja djeluju vertikalno na horizontalnu projekciju krovne plohe.

6.2.3 Opterećenje snijegom



Slika 14. Karta snježnih područja [11]

Konstrukcija je smještena u Zagrebu na nadmorskoj visini 158m. Prema karti snjegova (slika 14) Zagreb svrstavamo u III. zonu (kontinentalna Hrvatska).

Karakteristično opterećenje snijegom iznosi $s'_k = 1,25 \text{ kN/m}^2$

Opterećenje snijegom na krovu određuje se izrazom:

$$s = s'_k \cdot \mu_t \cdot C_e \cdot C_t \quad (42)$$

gdje je:

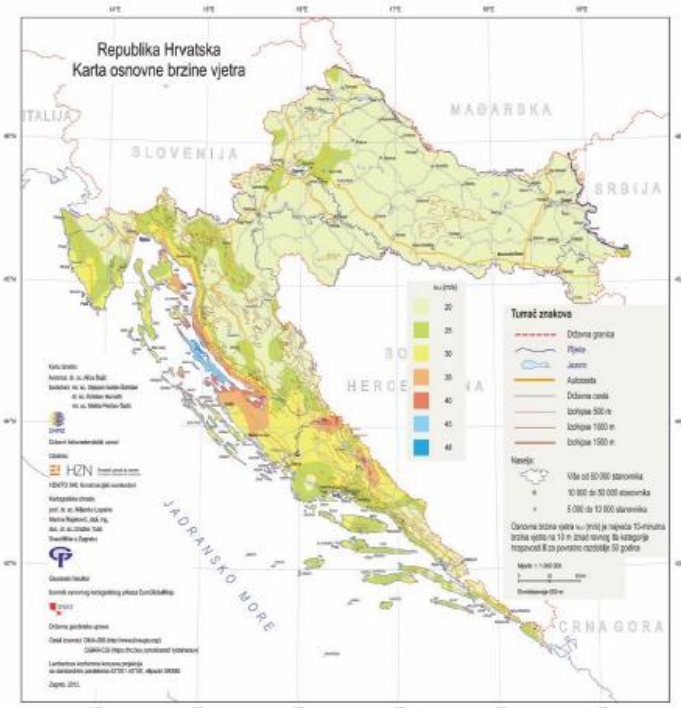
- s'_k - karakteristično opterećenje snijegom
- μ_t - koeficijent oblika opterećenja snijegom na krovu; $\mu_t = 0,8$
- C_e - koeficijent izloženosti; $C_e = 1,0$
- C_t - toplinski koeficijent zbog zagrijavanja zgrade; $C_t = 1,0$

Opterećenje snijegom iznosi:

$$s = 1,25 \cdot 0,8 \cdot 1,0 \cdot 1,0 = 1,0 \text{ kN/m}^2$$

6.2.4 Opterećenje vjetrom

Opterećenje vjetrom odnosi se na sile koje vjetar generira na građevinskim konstrukcijama. Faktori poput brzine vjetra, topografije, visine zgrade, i oblika konstrukcije igraju ključnu ulogu u određivanju intenziteta i smjera opterećenja vjetrom. Projektiranje konstrukcija koje su izložene opterećenju vjetrom provodi se prema normi EN 1991-1-4.



Slika 15. Karta osnovne brzine vjetra za Republiku Hrvatsku [11]

6.2.4.1 Vršni tlak uslijed brzine vjetra pri udaru

Osnovna brzina vjetra:

$$V_b = C_{dir} \cdot C_{season} \cdot V_{b,0}$$

(43)

gdje je :

C_{dir} - koeficijent smjera vjetra; $C_{dir}=1,0$

-

C_{season} - koeficijent godišnjeg doba; $C_{season}=1,0$

$V_{b,0}$ - temeljna vrijednost osnovne brzine vjetra, najveća 10 – minutna brzina vjetra na 10,0 m iznad ravnog tla kategorije hrapavosti II za povratno razdoblje od 50 godina

Očitana vrijednost $V_{b,0}$ za Zagreb iznosi $V_{b,0} = 25,0 \text{ m/s}$ (slika 15)

Osnovna brzina vjetra iznosi:

$$V_b = 1,0 \cdot 1,0 \cdot 25,0 = 25,0 \text{ m/s}$$

Osnovni tlak uslijed brzine vjetra:

$$q_b = \frac{1}{2} \cdot q_{zraka} \cdot V_b^2$$

(44)

gdje je:

q_{zraka} - gustoća zraka, uzeta sa vrijednošću $1,25 \text{ kg/m}^3$

Osnovni tlak uslijed brzine vjetra iznosi:

$$q_b = \frac{1}{2} \cdot 1,25 \cdot 25,0^2 = 390,63 \text{ N/m}^2 = 0,39 \text{ kN/m}^2$$

Vršni tlak uslijed brzine vjetra:

$$q_p = \left[1 + 7 \cdot I_v(z) \right] \cdot \frac{1}{2} \cdot \rho_{zraka} \cdot V_m^2(z) = C_e(z) \cdot q_b$$

(45)

gdje je:

$I_v(z)$ - intenzitet turbulencije vjetra

-

$V_m(z)$ - srednje brzina vjetra na visini z iznad terena

$c_e(z)$ - koeficijent izloženosti koji uzima u obzir neravnost terena, topografiju i visinu iznad tla

Srednja brzina vjetra na visini z iznad terena:

$$V_m(z) = c_r(z) \cdot c_0(z) \cdot V_b$$

(46)

gdje je:

$c_r(z)$ - faktor hrapavosti

$c_0(z)$ - faktor orografije, koje je prema Nacionalnom dodatku 1,0

Prema tablici 10 konstrukcija se nalazi na terenu IV. kategorije (najmanje 15% površine prekriveno zgradama prosječne visine 15 m).

Tablica 10. Kategorije terena i parametri terena [11]

Kategorija terena	Karakteristike terena	$z_0(m)$	$z_{min}(m)$
0	- more i površine obale	0,003	1,0
I	- jezera - nema zapreka	0,01	1,0
II	- slaba vegetacija - pojedine zapreke s razmakom najmanje 20x visine zapreke	0,05	2,0
III	- normalna vegetacija, šume i predgrada	0,3	5,0
IV	- najmanje 15% površine pokriveno je zgradama prosječne visine 15 m	1,0	10,0

Konstrukcija je pravokutnog tlocrta, što uzrokuje različito opterećenje vjetrom u različitim smjerovima. Referentna visina z_e ovisi o visini zgrade h , širini b , te parametru tlaka uzrokovanim brzinom vjetra. Ta visina se određuje prema sljedećem izrazu:

$$z_e = f_c \left(\frac{h}{C} \right)$$

(47)

6.2.4.2 Djelovanje vjetra na uzdužnu stranu objekta

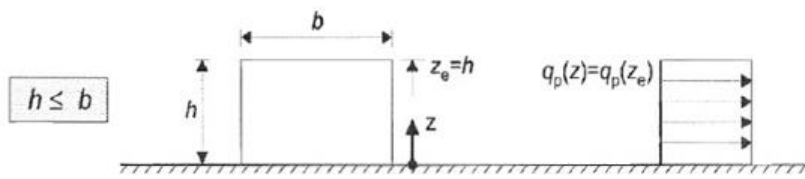
Referentna visina:

$$z_e = f_c \left(\frac{h}{C} \right)$$

$b = 40,0 \text{ m}$

$h = 21,6 \text{ m}$

$h \leq b \rightarrow z_e = h = 21,6 \text{ m}$



Slika 16. Referentna visina z_e i raspodjela vršnog tlaka po visini konstrukcije za slučaj kada je $h \leq b$

[11]

Faktor hrapavosti iznosi:

$$c_r(z) = k_r \cdot \ln\left(\frac{z}{z_0}\right) \rightarrow \text{za } z_{min} < z < z_{max}$$

(48)

gdje je:

z_{min}, z_0 - vrijednosti koje ovise o kategoriji terena (tablica 10)

z - referentna visina

k_r - faktor terena

z_{max} - uzima se vrijednost 200 m

Vrijednost za IV. kategoriju terena:

$z_{min} = 10,0 \text{ m}$

$z_0 = 1,0 \text{ m}$

Faktor terena:

$$k_r = 0,19 \cdot \left(\frac{z}{z_0} \right)^{0,07} = 0,19 \cdot \left(\frac{1,0}{0,05} \right)^{0,07} = 0,23$$

Uvjet $z_{min} = 10,0 < 21,6 \text{ m} < 200 \text{ m}$ je zadovoljen prema izrazu (48).

Faktor hrapavosti iznosi:

$$c_r(z) = 0,23 \cdot \ln\left(\frac{21,6}{1,0}\right) = 0,719$$

Srednja brzina vjetra prema izrazu (46) iznosi:

$$v_m(z) = 0,719 \cdot 1,0 \cdot 25,0 = 17,98 \text{ m/s}$$

Intenzitet turbulencije vjetra prema uvjetu $z_{\min} = 10,0 < 21,6 \text{ m} < 200 \text{ m}$ računa se prema izrazu :

$$\frac{I_v}{v}(z) = \frac{k_1}{\left[C_0(z) \cdot \ln\left(\frac{z}{z_0}\right) \right]}$$

(49)

gdje je:

$k_1 = 1,0$ - faktor turbulencije

Intenzitet turbulencije vjetra iznosi:

$$\frac{I_v}{v}(z) = \frac{1,0}{\left[1,0 \cdot \ln\left(\frac{21,6}{1,0}\right) \right]} = 0,325$$

Vršni tlak uslijed brzine vjetra prema izrazu (45) iznosi:

$$q_p = \left[1 + 7 \cdot 0,325 \right] \cdot \frac{1}{2} \cdot 1,25 \cdot 17,98^2 = 661,41 \text{ N/mm}^2 = 0,661 \text{ kN/m}^2$$

Tlak vjetra na plohe građevine

Tlak vjetra na površinu je algebarski zbroj vanjskog i unutarnjeg tlaka, koji djeluju istovremeno.

Tlak vjetra na vanjske površine konstrukcije određuju se prema izrazu:

$$w_e = q_p(z_e) \cdot c_{pe}$$

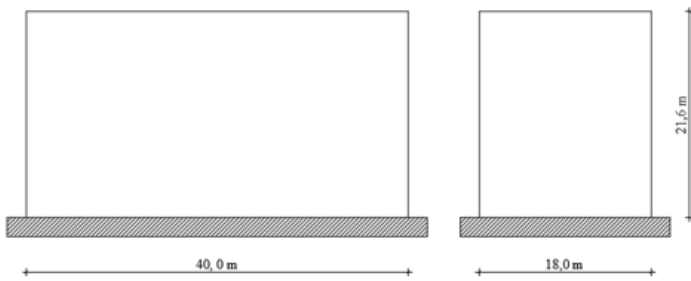
(50)

Tlak vjetra na unutarnje površine konstrukcije:

$$w_i = q_p(z_i) \cdot c_{pi}$$

(51)

Koeficijenti c_{pe} vanjskog tlaka na vertikalne stijene



Slika 17. Dimenzije konstrukcije

Prema slici 17:

$$b = 40,0 \text{ m}$$

$$h = 21,6 \text{ m}$$

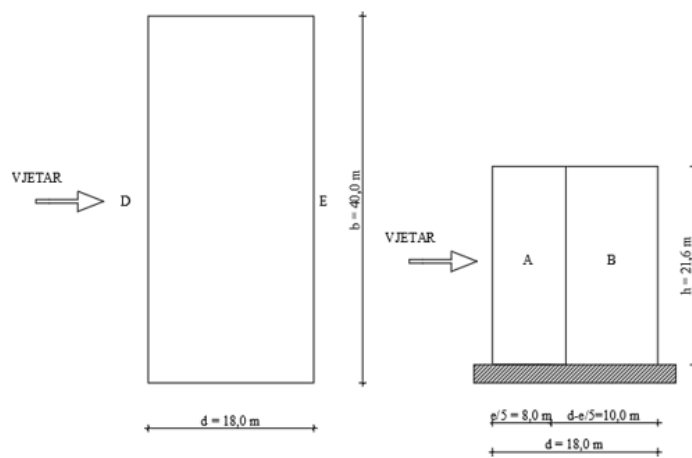
$$d = 18,0 \text{ m}$$

$$h \leq b \rightarrow z_e = h = 21,6 \text{ m}$$

Koeficijenti vanjskog tlaka na vertikalne stijene

$$e = \min(b; 2h) = \min(40; 43,2) = 40 \text{ m}$$

$$d = 18 \text{ m} \rightarrow e > d$$



Slika 18. Shema opterećenja vjetra na vertikalne stijene

Površine vertikalnih stijena (slika 18):

$$A^A = \left(\frac{e}{5} \right) \cdot h = \left(\frac{40,0}{5} \right) \cdot 21,6 = 172,8 \text{ m}^2 > 10 \text{ m}^2$$

$$A^B = \left(d - \frac{e}{5} \right) \cdot h = \left(18,0 - \frac{40,0}{5} \right) \cdot 21,6 = 216,0 \text{ m}^2 > 10 \text{ m}^2$$

$$A^D = b \cdot h = 40,0 \cdot 21,6 = 864,0 \text{ m}^2 > 10 \text{ m}^2$$

$$A^E = b \cdot h = 40,0 \cdot 21,6 = 864,0 \text{ m}^2 > 10 \text{ m}^2$$

$$A > 10 \text{ m}^2 \rightarrow c_{pe} = c_{pe,10}$$

Tablica 11. Preporučene vrijednosti koeficijenta vanjskog tlaka za vertikalne zidove tlocrtno pravokutne zgrade [11]

Područje	A		B		C		D		E	
	$c_{pe,10}$	$c_{pe,1}$								
5	-1,2	-1,4	-0,8	-1,1		-0,5	+0,8	+1,0		-0,7
1	-1,2	-1,4	-0,8	-1,1		-0,5	+0,8	+1,0		-0,5
$\leq 0,25$	-1,2	-1,4	-0,8	-1,1		-0,5	+0,7	+1,0		-0,3

Za $\frac{h}{d} = \frac{21,6}{18,0} = 1,2$ očitani su koeficijenti vanjskog tlaka za površine pomoću interpolacije (tablica 11):

$$c_{pe,10}^A = -1,2$$

$$c_{pe,10}^B = -0,8$$

$$c_{pe,10}^D = +0,8$$

$$c_{pe,10}^E = -0,51$$

Konstrukcijski faktor:

$$C_s C_d = \frac{1 + 2k_p \cdot \frac{I}{V}(\zeta_s) \cdot \sqrt{B^2 + R^2}}{1 + 7 \cdot \frac{I}{V}(\zeta_s)}$$

(52)

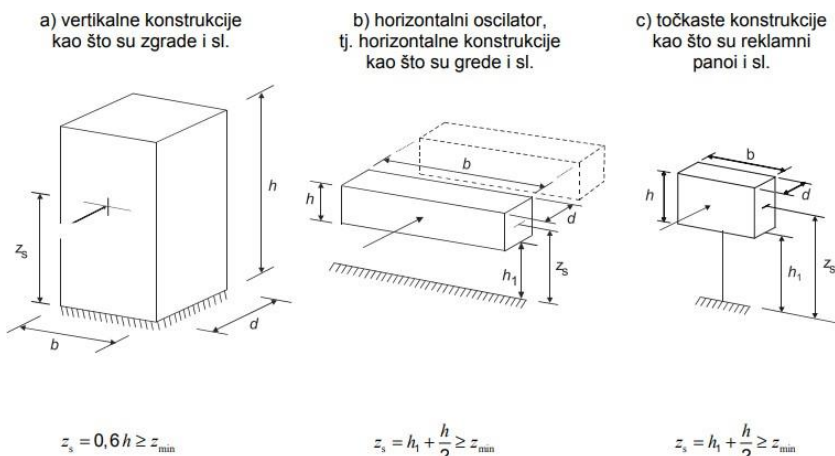
gdje je:

k_p - vršni faktor definiran kao omjer maksimalne vrijednosti promjenjivog dijela odziva prema standardnoj devijaciji

B^2 - faktor pozadine kojim se uzima u obzir nemogućnost potpunog djelovanja tlaka vjetra na površinu

R^2 - faktor rezonantnog odziva kojim se uzima u obzir rezonancija turbulencije vlastitog oblika vibracija

z_s - referentna visina (slika 19)



$$z_s = 0,6 \cdot h \geq z_{\min}$$

$$z_s = h_1 + \frac{h}{2} \geq z_{\min}$$

$$z_s = h_1 + \frac{h}{2} \geq z_{\min}$$

Slika 19. Osnovni oblici konstrukcija i referentne visine z_s [11]

Referentna visina iznosi:

$$z_s = 0,6 \cdot h = 0,6 \cdot 21,6 = 12,96 > z_{\min} = 10,0 \text{ m}$$

Iz uvjeta $z_{\min} < z < z_{\max}$ faktor hrapavosti iznosi:

$$c_r = 0,19 \cdot \left(\frac{z_0}{z_{0,\pi}} \right)^{0,07} \cdot \ln \left(\frac{z_s}{z_0} \right) = 0,19 \cdot \left(\frac{1,0}{0,05} \right)^{0,07} \cdot \ln \left(\frac{12,96}{1,0} \right) = 0,6$$

Intenzitet turbulencije vjetra prema izrazu (49) iznosi:

$$\frac{I_v(z_s)}{I_v(z)} = \frac{k_I}{c_0(z) \cdot \ln \left(\frac{z_s}{z_0} \right)} = \frac{1,0}{1,0 \cdot \ln \left(\frac{12,96}{1,0} \right)} = 0,39$$

Faktor pozadine računa se prema izrazu:

$$B^2 = \frac{1,0}{1 + 0,9 \cdot \left(\frac{b+h}{L(z_s)} \right)^{0,63}}$$

(53)

gdje je:

$L(z_s)$ - dužina turbulencije za referentnu visinu z_s

Dužina turbulencije se računa prema izrazu :

$$L(z_s) = L_t \cdot \left(\frac{z}{z_t} \right)^\alpha \quad \text{za } z \geq z_{\min}$$

(54)

gdje je:

$$L_t = 300 \text{ m}$$

$$z_t = 200 \text{ m}$$

$$\alpha = 0,67 + 0,05 \cdot \ln(z_0) = 0,67 + 0,05 \cdot \ln 1,0 = 0,67$$

$$L(z_s) = 300 \cdot \left(\frac{12,96}{200} \right)^{0,67} = 48,0 \text{ m}$$

Faktor pozadine prema izrazu (53) iznosi:

$$B^2 = \frac{1,0}{1 + 0,9 \cdot \left(\frac{b+h}{L(z_s)} \right)^{0,63}} = \frac{1,0}{1 + 0,9 \cdot \left(\frac{40,0 + 21,6}{48,0} \right)^{0,63}} = 0,48$$

Faktor rezonantnog odziva računa se prema izrazu:

$$R^2 = \frac{\pi^2}{2 \cdot \delta} \cdot S_L(z_s, \eta_{1x}) \cdot R_h \cdot R_b$$

(55)

gdje je:

$S_L(z_s, \eta_{1x})$ - bezdimenzijska funkcija spektralne gustoće snage

δ - logaritamski dekrement prigušenja

$R_h \cdot R_b$ - funkcija aerodinamičke vodljivosti

Bezdimenzijska funkcija spektralne gustoće snage računa se prema izrazu:

$$S_L(z_s, \eta_{1x}) = \frac{6,8 \cdot f_L(z_s, \eta_{1x})}{(\eta + 10,2 \cdot f_L(z_s, \eta_{1x}))^{5/3}}$$

(56)

gdje se bezdimenzijska frekvencija $f_L(z_s, \eta_{1x})$ računa izrazom:

$$f_L(z_s, \eta_{1x}) = \frac{\eta_{1x} \cdot L(z_s)}{v_m(z_s)}$$

(57)

Osnovna frekvencija (frekvencija prvog tona) konstrukcije procjenjuje se po formuli :

$$\eta_{1x} = \frac{\sqrt{d}}{0,1 \cdot h} = \frac{\sqrt{18,0}}{0,1 \cdot 21,6} = 1,96 \text{ Hz}$$

Srednja brzina vjetra na referentnoj visini z_s prema izrazu (46) iznosi:

$$v_m(z) = C_r(z_s) \cdot v_b = 0,6 \cdot 25,0 = 15,0 \text{ m / s}$$

Bezdimenzijska frekvencija prema izrazu (57) iznosi:

$$f_L(z_s, \eta_{1x}) = \frac{\eta_{1x} \cdot L(z_s)}{v_m(z_s)} = \frac{1,96 \cdot 48,0}{15,0} = 6,27$$

Bezdimenzijska funkcija spektralne gustoće prema izrazu (56) iznosi:

$$S_L(z_s, \eta_{1x}) = \frac{6,8 \cdot f_L(z_s, \eta_{1x})}{(1 + 10,2 \cdot f_L(z_s, \eta_{1x}))^{\frac{5}{3}}} = \frac{6,8 \cdot 6,27}{(1 + 10,2 \cdot 6,27)^{\frac{5}{3}}} = 0,04$$

Logaritamski dekrement prigušenja se računa prema izrazu:

$$\delta = \delta_s + \delta_a + \delta_d$$

(58)

gdje je:

δ_s - logaritamsko opadanje konstrukcijskog prigušenja

δ_a - logaritamsko opadanje aerodinamičkoga prigušenja

δ_d - logaritamsko opadanje prigušenja uslijed specijalnih uređaja; $\delta_d = 0,05$

Logaritamski dekrement aerodinamičkog prigušenja računa se prema izrazu:

$$\delta_a = \frac{C_f \cdot \rho \cdot b \cdot v_m(z_s)}{2 \cdot \eta_{1x} \cdot m_e}$$

(59)

gdje je:

C_f - koeficijent sile za pravokutne i poligonalne oblike

m_e - ekvivalentna masa po jedinici dužine

Logaritamski dekrement prigušenja prema izrazu (58) iznosi:

$$\delta = 0,05$$

Koeficijent sile za pravokutne i poligonalne oblike računa se prema izrazu:

$$C_f = C_{f,0} \cdot \psi_x \cdot \psi_\lambda$$

(60)

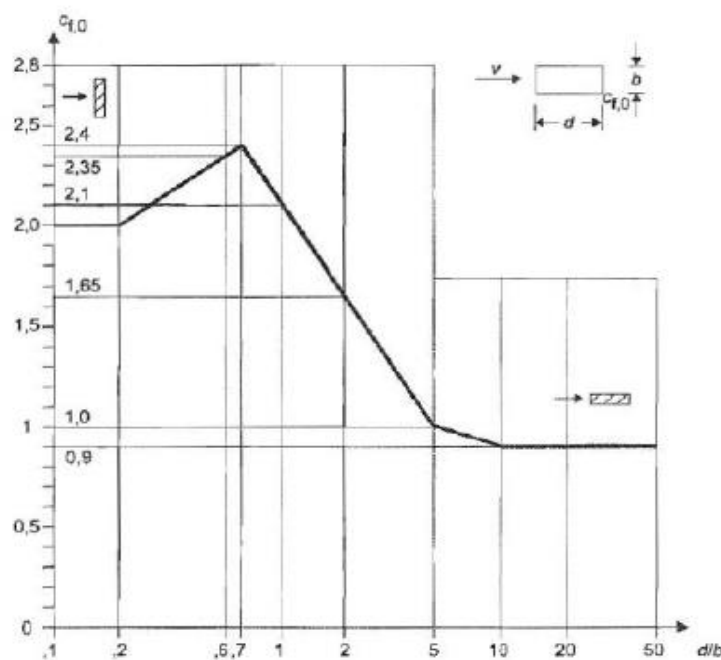
gdje je:

$C_{f,0}$ - koeficijent sile za oblike s oštrim rubovima bez slobodnog protoka kroz presjek

ψ_x - faktor redukcije za zaobljene rubove kod pravokutnih konstrukcija

ψ_λ - faktor koji uzima u obzir smanjenje tlaka vjetra na vrhove konstrukcije

Koeficijent $C_{f,0}$ za $\frac{d}{b} = \frac{18,0}{40,0} = 0,45$ iznosi 2,15 (slika 20)



Slika 20. Koeficijent sile za pravokutne presjeke sa oštim rubovima bez strujanja vjetra na slobodnom kraju [11]

Koeficijent sile prema izrazu (60) iznosi:

$$C_f = C_{f,0} \cdot \psi_r \cdot \psi_\lambda = 2,15 \cdot 1,0 \cdot 1,0 = 2,15$$

Aerodinamički prijenos funkcije za osnovni oblik titranja računaju se prema izrazu:

$$R_h = \frac{1}{\eta_h} - \frac{1}{2 \cdot \eta_h^2} \cdot (1 - e^{-2\eta_h})$$

$$R_b = \frac{1}{\eta_b} - \frac{1}{2 \cdot \eta_b^2} \cdot (1 - e^{-2\eta_b})$$

(61)

η_h i η_b iz izraza (61) računaju se:

$$\eta_h = \frac{4,6 \cdot h}{L(z_s)} \cdot f_L(z_s, \eta_{1x}) = \frac{4,6 \cdot 21,6}{48,0} \cdot 6,27 = 12,98$$

$$\eta_b = \frac{4,6 \cdot b}{L(z_s)} \cdot f_L(z_s, \eta_{1x}) = \frac{4,6 \cdot 40,0}{48,0} \cdot 6,27 = 24,04$$

Prema izrazu (61) aerodinamički prijenos funkcije za osnovni oblik titranja iznosi:

$$R_h = \frac{1}{\eta_h} - \frac{1}{2 \cdot \eta_h^2} \cdot (1 - e^{-2\eta_h}) = \frac{1}{12,98} - \frac{1}{2 \cdot 12,98^2} \cdot (1 - e^{-2 \cdot 12,98}) = 0,07$$

$$R_b = \frac{1}{\eta_b} - \frac{1}{2 \cdot \eta_b^2} \cdot (1 - e^{-2\eta_b}) = \frac{1}{24,04} - \frac{1}{2 \cdot 24,04^2} \cdot (1 - e^{-2 \cdot 24,04}) = 0,04$$

Faktor rezonantnog odziva prema izrazu (55) iznosi:

$$R^2 = \frac{\pi^2}{2 \cdot \delta} \cdot S_L(z_s, \eta_{1x}) \cdot R_h \cdot R_b = \frac{\pi^2}{2 \cdot 0,05} \cdot 0,04 \cdot 0,07 \cdot 0,04 = 0,01$$

Vršni faktor se računa prema izrazu:

$$k_p = \sqrt{2 \cdot \ln(\nu \cdot T)} + \frac{0,6}{\sqrt{2 \cdot \ln(\nu \cdot T)}} \geq 3,0$$

(62)

U izrazu (62) očekivana frekvencija ν i vrijeme T iznose:

$$\nu = \eta_{1x} \cdot \sqrt{\frac{B^2}{B^2 + R^2}} \geq 0,08 \text{ Hz}, \text{ a } T = 600 \text{ s}$$

$$\nu = 1,67 \cdot \sqrt{\frac{0,48}{0,48 + 0,01}} = 1,65 \text{ Hz} > 0,08 \text{ Hz}$$

Vršni faktor prema izrazu (62) iznosi:

$$k_p = \sqrt{2 \cdot \ln 1,65 \cdot 600} + \frac{0,6}{\sqrt{2 \cdot \ln 1,65 \cdot 600}} = 3,88 \geq 3,0$$

Konstrukcijski faktor kad vjetar puše okomito na uzdužnu stranu objekta iznosi:

$$C_{s_d} = \frac{1+2 \cdot 3,88 \cdot 0,39 \cdot \sqrt{0,48+0,01}}{1+7 \cdot 0,39} = 0,84$$

Djelovanje vjetra na uzdužni stranu objekta :

- SLUČAJ I ($c_{pi} = +0,2$)

$$q_p = 0,661 \text{ kN/m}^2$$

Djelovanje vjetra na vertikalne plohe:

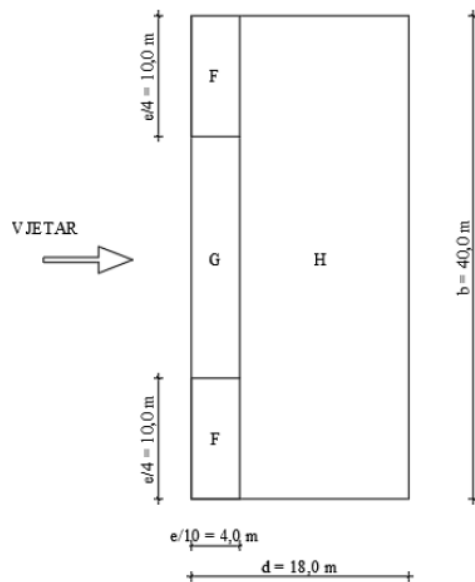
$$w_e^A = 0,84 \cdot 0,661 \cdot (-1,2) = -0,67 \text{ kN/m}^2$$

$$w_e^B = 0,84 \cdot 0,661 \cdot (-0,8) = -0,44 \text{ kN/m}^2$$

$$w_e^D = 0,84 \cdot 0,661 \cdot (+0,8) = +0,44 \text{ kN/m}^2$$

$$w_e^E = 0,84 \cdot 0,661 \cdot (-0,51) = -0,28 \text{ kN/m}^2$$

Koefficijent c_{pe} vanjskog tlaka za ravni krov



Slika 21. Shema opterećenja vjetra na ravni krov

$$b = 40,0 \text{ m}$$

$$h=21,6 \text{ m}$$

$$d= 18,0 \text{ m}$$

$$h \leq b \rightarrow z_e = h = 21,6 \text{ m}$$

$$e = \min(b; 2h) = \min(40; 43,2) = 40 \text{ m}$$

$$d = 18 \text{ m} \rightarrow e > d$$

Površine vertikalnih stijena:

$$A^F = \left(\frac{e}{4} \right) \cdot \left(\frac{e}{10} \right) = \left(\frac{40,0}{4} \right) \cdot \left(\frac{40,0}{10} \right) = 40,0 \text{ m}^2 > 10 \text{ m}^2$$

$$A^G = \left(b - \frac{e}{2} \right) \cdot \frac{e}{10} = \left(40,0 - \frac{40,0}{2} \right) \cdot \frac{40,0}{10} = 80,0 \text{ m}^2 > 10 \text{ m}^2$$

$$A^H = b \cdot \left(d - \frac{e}{10} \right) = 40,0 \cdot \left(18,0 - \frac{40,0}{10} \right) = 586,67 \text{ m}^2 > 10 \text{ m}^2$$

Tablica 12. Preporučene vrijednosti koeficijenta vanjskog tlaka za ravne krovove s oštrim zabatom [11]

Vrsta krova	Područje							
	F		G		H		I	
	$c_{pe,10}$	$c_{pe,1}$	$c_{pe,10}$	$c_{pe,1}$	$c_{pe,10}$	$c_{pe,1}$	$c_{pe,10}$	$c_{pe,1}$
Oštri zabati	-1,8	-2,5	-1,2	-2,0	-0,7	-1,2	+0,2	-0,2

Za $\frac{h}{d} = \frac{21,6}{18,0} = 1,2$ očitani su koeficijenti vanjskog tlaka za površine pomoću interpolacije :

$$c_{pe,10}^F = -1,8$$

$$c_{pe,10}^G = -1,2$$

$$c_{pe,10}^H = -0,7$$

Djelovanje vjetra na krovne plohe:

$$w_e^F = 0,84 \cdot 0,661 \cdot (-1,8) = -1,00 \text{ kN/m}^2$$

$$w_e^G = 0,84 \cdot 0,661 \cdot (-1,2) = -0,67 \text{ kN/m}^2$$

$$w_e^H = 0,84 \cdot 0,661 \cdot (-0,7) = -0,39 \text{ kN/m}^2$$

Unutarnji tlakovi vjetra:

$$w_i = 0,661 \cdot (+0,2) = +0,13 \text{ kN/m}^2$$

Ukupni tlakovi vjetra:

VERTIKALNE PLOHE:

$$w_k^A = w_e^A - w_i = -0,67 - (+0,13) = -0,8 \text{ kN/m}^2$$

$$w_k^B = w_e^B - w_i = -0,44 - (+0,13) = -0,57 \text{ kN/m}^2$$

$$w_k^D = w_e^D - w_i = +0,44 - (+0,13) = +0,31 \text{ kN/m}^2$$

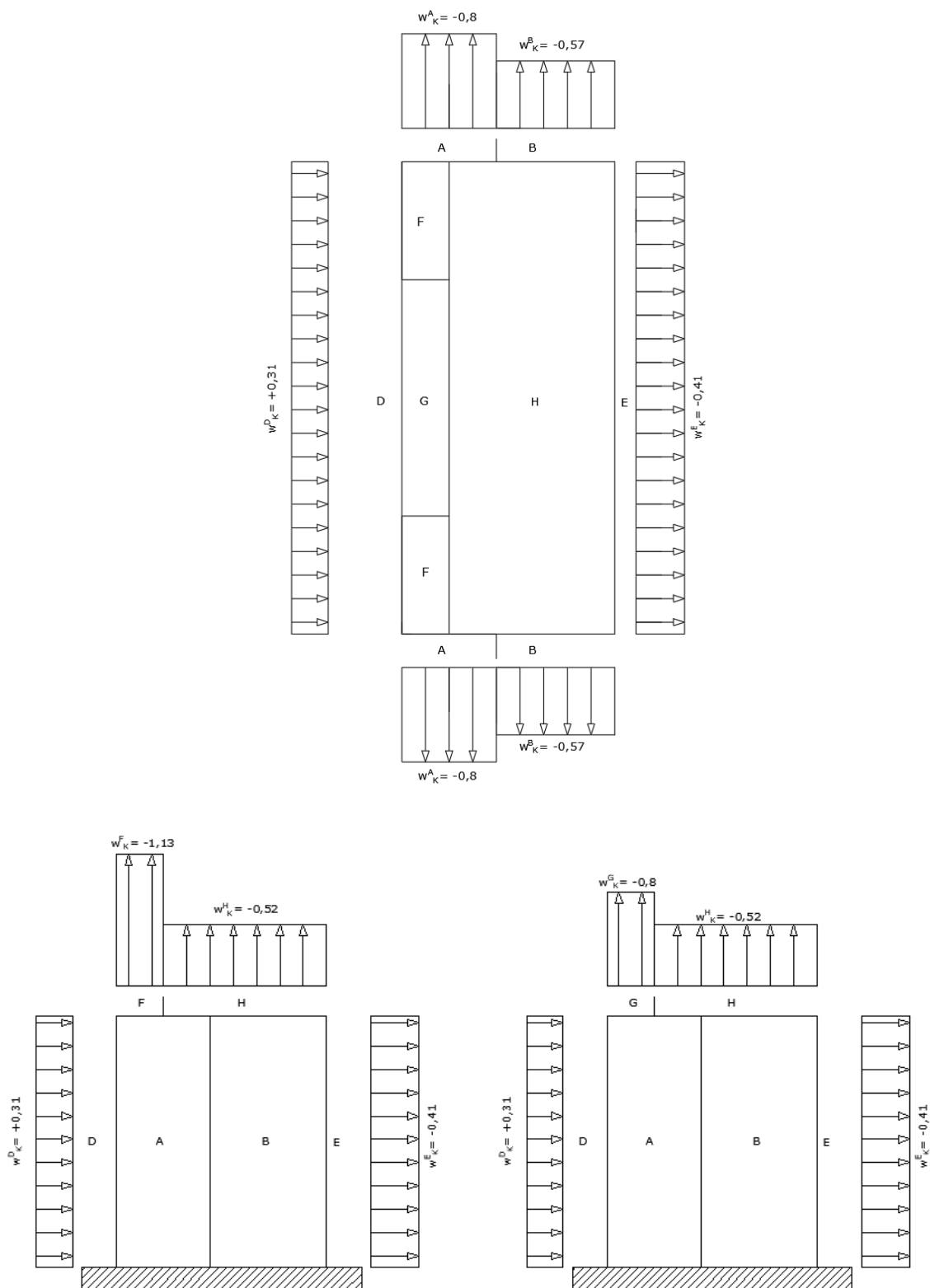
$$w_k^E = w_e^E - w_i = -0,28 - (+0,13) = -0,41 \text{ kN/m}^2$$

KROVNE PLOHE:

$$w_k^F = w_e^F - w_i = -1,00 - (+0,13) = -1,13 \text{ kN/m}^2$$

$$w_k^G = w_e^G - w_i = -0,67 - (+0,13) = -0,8 \text{ kN/m}^2$$

$$w_k^H = w_e^H - w_i = -0,39 - (+0,13) = -0,52 \text{ kN/m}^2$$



Slika 22. Tlakovi vjetra za slučaj I opterećenja vjetrom

- SLUČAJ II ($c_{pi} = -0,3$)

$$q_p = 0,661 \text{ kN/m}^2$$

Djelovanje vjetra na vertikalne plohe:

$$w_e^A = 0,84 \cdot 0,661 \cdot (-1,2) = -0,67 \text{ kN/m}^2$$

$$w_e^B = 0,84 \cdot 0,661 \cdot (-0,8) = -0,44 \text{ kN/m}^2$$

$$w_e^D = 0,84 \cdot 0,661 \cdot (+0,8) = +0,44 \text{ kN/m}^2$$

$$w_e^E = 0,84 \cdot 0,661 \cdot (-0,51) = -0,28 \text{ kN/m}^2$$

Djelovanje vjetra na krovne plohe:

$$w_e^F = 0,84 \cdot 0,661 \cdot (-1,8) = -1,00 \text{ kN/m}^2$$

$$w_e^G = 0,84 \cdot 0,661 \cdot (-1,2) = -0,67 \text{ kN/m}^2$$

$$w_e^H = 0,84 \cdot 0,661 \cdot (-0,7) = -0,39 \text{ kN/m}^2$$

Unutarnji tlakovi vjetra:

$$w_i = 0,661 \cdot (-0,3) = -0,2 \text{ kN/m}^2$$

Ukupni tlakovi vjetra:

VERTIKALNE PLOHE:

$$w_k^A = w_e^A - w_i = -0,67 - (-0,2) = -0,47 \text{ kN/m}^2$$

$$w_k^B = w_e^B - w_i = -0,44 - (-0,2) = -0,24 \text{ kN/m}^2$$

$$w_k^D = w_e^D - w_i = +0,44 - (-0,2) = +0,64 \text{ kN/m}^2$$

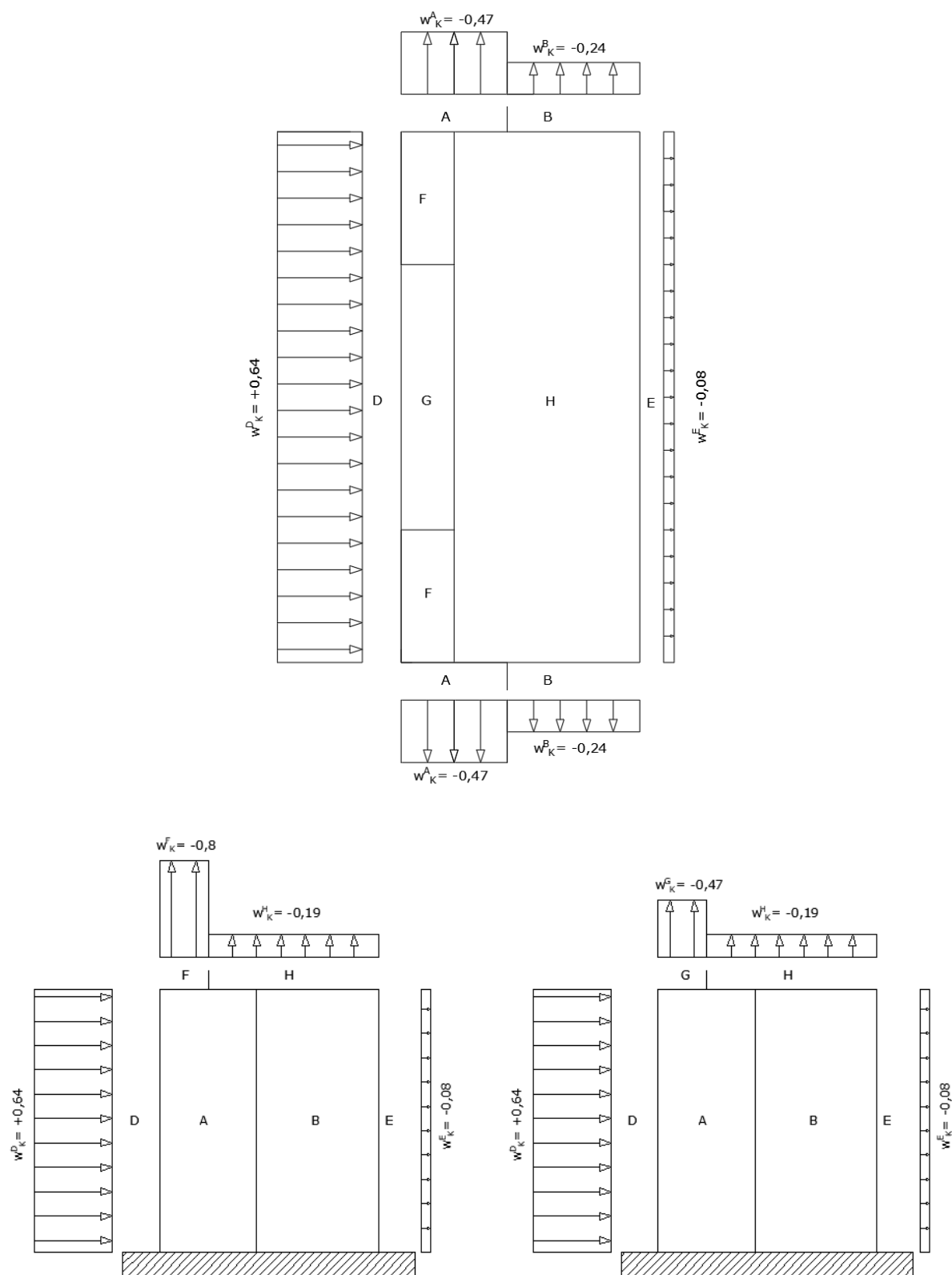
$$w_k^E = w_e^E - w_i = -0,28 - (-0,2) = -0,08 \text{ kN/m}^2$$

KROVNE PLOHE:

$$w_k^F = w_e^F - w_i = -1,00 - (-0,2) = -0,8 \text{ kN/m}^2$$

$$w_k^G = w_e^G - w_i = -0,67 - (-0,2) = -0,47 \text{ kN/m}^2$$

$$w_k^H = w_e^H - w_i = -0,39 - (-0,2) = -0,19 \text{ kN/m}^2$$



Slika 23. Tlakovi vjetra za slučaj I opterećenja vjetrom

6.2.4.3 Djelovanje vjetra na poprečnu stranu objekta

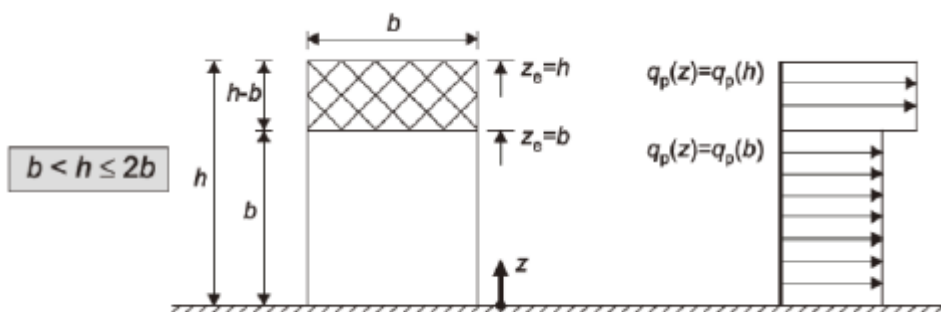
$$h = 21,6 \text{ m}$$

$b = 18 \text{ m}$ (širina površine na koju puše vjetar)

$$h > b$$

Poredbena visina objekta ($b=18\text{m} < h=21,6 < 2 \cdot b=36$) -> podjela na dva visinska područja:

- Niži dio koji se proteže na visinu jednaku b , u kojem je poredbena visina jednaka $z_e=b=18\text{m}$
- Viši dio koji se proteže od vrha zgrade prema dolje za visinu jednaku $h-b$, u kojem je poredbena visina jednaka $z_e=h=21,6\text{m}$



Slika 24. Raspored opterećenja vjetra po visini [11]

Za IV. kategoriju terena vrijedi:

$$z_{min}=10,0 \text{ m}$$

$$z_0=1,0 \text{ m}$$

Faktor terena:

$$k_r = 0,19 \cdot \left(\frac{z}{z_0} \right)^{0,07} = 0,19 \cdot \left(\frac{1,0}{0,05} \right)^{0,07} = 0,23$$

Prema uvjetu $z_{min} \leq z \leq z_{max}$ faktor hrapavosti prema izrazu (48) iznosi:

$$1. z_e=b=18\text{m}$$

$$C_{r1}(z) = k_r \cdot \ln \left(\frac{z}{z_0} \right) = 0,23 \cdot \ln \left(\frac{18,0}{1,0} \right) = 0,676$$

$$2. z_e=h=21,6\text{m}$$

$$C_{r2}(z) = k_r \cdot \ln\left(\frac{z}{z_0}\right) = 0,23 \cdot \ln\left(\frac{21,6}{1,0}\right) = 0,719$$

Srednja brzina vjetra prema izrazu (46) iznosi:

$$v_{m1}(z) = 0,676 \cdot 1,0 \cdot 25,0 = 16,90 \text{ m/s}$$

$$v_{m2}(z) = 0,719 \cdot 1,0 \cdot 25,0 = 17,98 \text{ m/s}$$

Prema izrazu (49) intenzitet turbulentije vjetra prema uvjetu $z_{min} \leq z \leq z_{max}$ iznosi :

1. $z_e=b=18 \text{ m}$

$$\frac{I_{v1}}{k_1}(z) = \frac{k_1}{\left[C_0(z) \cdot \ln\left(\frac{z}{z_0}\right) \right]} = \frac{1,0}{\left[1,0 \cdot \ln\left(\frac{18,0}{1,0}\right) \right]} = 0,346$$

2. $z_e=h=21,6 \text{ m}$

$$\frac{I_{v2}}{k_1}(z) = \frac{k_1}{\left[C_0(z) \cdot \ln\left(\frac{z}{z_0}\right) \right]} = \frac{1,0}{\left[1,0 \cdot \ln\left(\frac{21,6}{1,0}\right) \right]} = 0,325$$

Vršni tlak uslijed brzine vjetra prema izrazu (45) iznosi:

$$q_{p1} = \left[1 + 7 \cdot 0,346 \right] \cdot \frac{1}{2} \cdot 1,25 \cdot 16,90^2 = 610,85 \text{ N/mm}^2 = 0,61 \text{ kN/m}^2$$

$$q_{p2} = \left[1 + 7 \cdot 0,325 \right] \cdot \frac{1}{2} \cdot 1,25 \cdot 17,98^2 = 661,71 \text{ N/mm}^2 = 0,662 \text{ kN/m}^2$$

Koeficijent vanjskog tlaka na vertikalne stijene

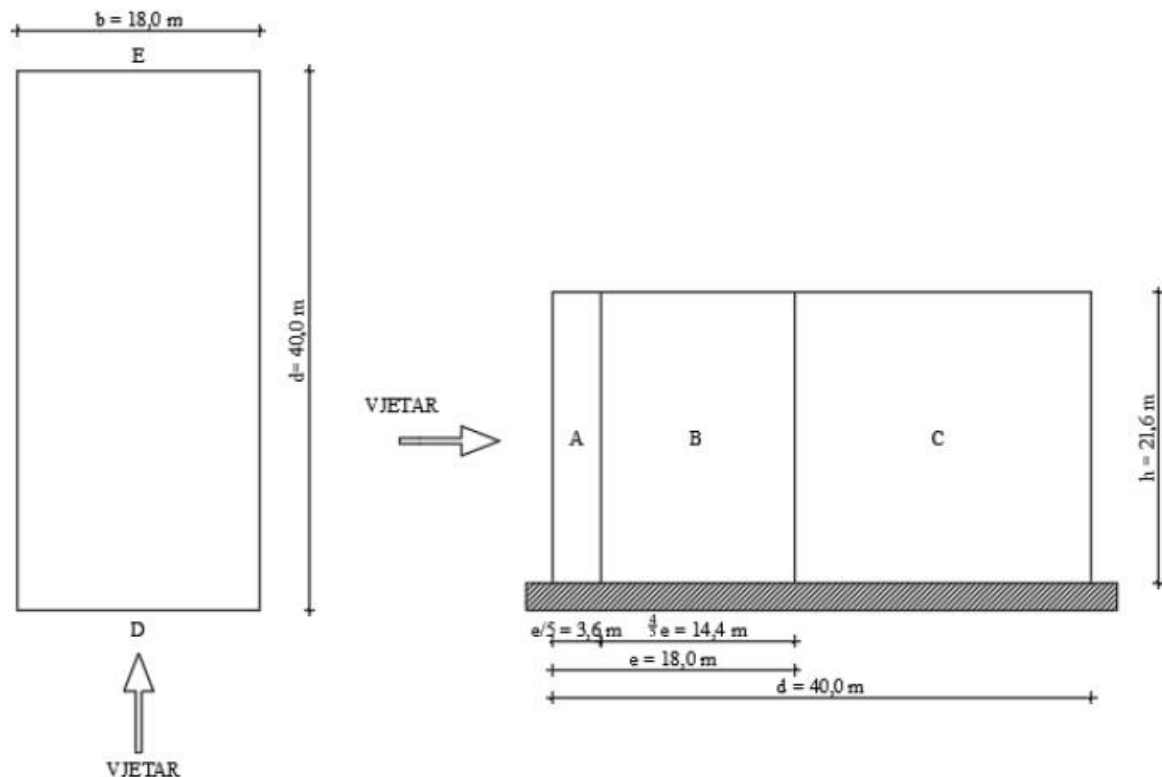
$b = 18,0 \text{ m}$

$h = 21,6 \text{ m}$

$d = 40,0 \text{ m}$

$$e = \min(b; 2h) = \min(18,0; 43,2) = 18,0 \text{ m}$$

$$d = 40,0 \text{ m} \rightarrow d > e$$



Slika 25. Shema opterećenja vjetra na vertikalne stijene

Izložene površine vertikalnih stijena:

$$A^A = \left(\frac{e}{5} \right) \cdot h = \left(\frac{18,0}{5} \right) \cdot 21,6 = 77,8 \text{ m}^2 > 10 \text{ m}^2$$

$$A^B = \left(\frac{4}{5} \cdot e \right) \cdot h = \left(\frac{4}{5} \cdot 18,0 \right) \cdot 21,6 = 311,0 \text{ m}^2 > 10 \text{ m}^2$$

$$A^C = (d - e) \cdot h = (40,0 - 18,0) \cdot 21,6 = 475,2 \text{ m}^2 > 10 \text{ m}^2$$

$$A^D = b \cdot h = 18,0 \cdot 21,6 = 388,8 \text{ m}^2 > 10 \text{ m}^2$$

$$A^E = b \cdot h = 40,0 \cdot 21,6 = 388,8 \text{ m}^2 > 10 \text{ m}^2$$

Za $\frac{h}{d} = \frac{21,6}{40,0} = 0,54$, koeficijenti vanjskog tlaka za površine iznose:

$$c_{pe,10}^A = -1,2$$

$$c_{pe,10}^B = -0,8$$

$$c_{pe,10}^C = -0,5$$

$$c_{pe,10}^D = +0,8$$

$$c_{pe,10}^E = -0,38$$

Konstrukcijski faktor možemo izračunat prema izrazu (52):

$$C_s C_d = \frac{1 + 2k_p \cdot I_v(z_s) \cdot \sqrt{B^2 + R^2}}{1 + 7 \cdot I_v(z_s)}$$

$$z_s = 0,6 \cdot h = 0,6 \cdot 21,6 = 12,69 > z_{min} = 10,0 \text{ m}$$

Iz uvjeta $z_{min} < z < z_{max}$ faktor hrapavosti iznosi:

$$c_r = 0,19 \cdot \left(\frac{z_0}{z_{0,II}} \right)^{0,07} \cdot \ln \left(\frac{z_s}{z_0} \right) = 0,19 \cdot \left(\frac{1,0}{0,05} \right)^{0,07} \cdot \ln \left(\frac{12,96}{1,0} \right) = 0,6$$

Intenzitet turbulencije prema izrazu (49) iznosi:

$$I_v(z_s) = \frac{k_I}{C_0(z) \cdot \ln \left(\frac{z_s}{z_0} \right)} = \frac{1,0}{1,0 \cdot \ln \left(\frac{12,96}{1,0} \right)} = 0,39$$

Za $z_s \geq z_{min}$

$L_t = 300 \text{ m}$

$z_t = 200 \text{ m}$

$$\alpha = 0,67 + 0,05 \cdot \ln(z_0) = 0,67 + 0,05 \cdot \ln(1,0) = 0,67$$

Dužina turbulencije prema izrazu (54) iznosi:

$$L(z_s) = L_t \cdot \left(\frac{z}{z_t} \right)^\alpha = 300 \cdot \left(\frac{12,96}{200} \right)^{0,67} = 48,0 \text{ m}$$

Faktor pozadine prema izrazu (53) iznosi:

$$B^2 = \frac{1,0}{1 + 0,9 \cdot \left(\frac{b+h}{L(z_s)} \right)^{0,63}} = \frac{1,0}{1 + 0,9 \cdot \left(\frac{18,0+21,6}{48,0} \right)^{0,63}} = 0,56$$

Osnovna frekvencija konstrukcije se procjenjuje po formuli:

$$\eta_{1x} = \frac{\sqrt{d}}{0,1 \cdot h} = \frac{\sqrt{40,0}}{0,1 \cdot 21,6} = 2,93 \text{ Hz}$$

Srednja brzina vjetra na referentnoj visini prema izrazu (46) iznosi:

$$v_m(z) = C_r(z_s) \cdot v_b = 0,6 \cdot 25,0 = 15,0 \text{ m / s}$$

Bezdimenzijska frekvencija prema izrazu (57) iznosi:

$$f_L(z_s, \eta_{1x}) = \frac{\eta_{1x} \cdot L(z_s)}{v_m(z_s)} = \frac{2,93 \cdot 48,0}{15,0} = 9,38$$

Bezdimenzijska funkcija spektralne gustoće prema izrazu (56) iznosi:

$$S_L(z_s, \eta_{1x}) = \frac{6,8 \cdot f_L(z_s, \eta_{1x})}{1 + 10,2 \cdot f_L(z_s, \eta_{1x})^{\frac{5}{3}}} = \frac{6,8 \cdot 9,38}{1 + 10,2 \cdot 9,38^{\frac{5}{3}}} = 0,03$$

Logaritamski dekrement prigušenja iznosi $\delta = 0,05$

$$\text{Koeficijent } c_{f,0} \text{ za } \frac{d}{b} = \frac{40,0}{18,0} = 2,22 \text{ iznosi 1,5}$$

Koeficijent sile prema izrazu (60) iznosi:

$$C_f = C_{f,0} \cdot \psi_r \cdot \psi_\lambda = 1,5 \cdot 1,0 \cdot 1,0 = 1,5$$

Aerodinamički prijenos funkcije za osnovni oblik titranja prema izrazu (61) iznosi:

$$\eta_h = \frac{4,6 \cdot h}{L(z_s)} \cdot f_L(z_s, \eta_{1x}) = \frac{4,6 \cdot 21,6}{48,0} \cdot 9,38 = 19,42$$

$$R_h = \frac{1}{\eta_h} - \frac{1}{2 \cdot \eta_h^2} \cdot (1 - e^{-2\eta_h}) = \frac{1}{19,42} - \frac{1}{2 \cdot 19,42^2} \cdot (1 - e^{-2 \cdot 19,42}) = 0,05$$

$$\eta_b = \frac{4,6 \cdot b}{L(z_s)} \cdot f_L(z_s, \eta_{1x}) = \frac{4,6 \cdot 18,0}{48,0} \cdot 9,38 = 16,18$$

$$R_b = \frac{1}{\eta_b} - \frac{1}{2 \cdot \eta_b^2} \cdot (1 - e^{-2\eta_b}) = \frac{1}{16,18} - \frac{1}{2 \cdot 16,18^2} \cdot (1 - e^{-2 \cdot 16,18}) = 0,06$$

Prema izrazu (55) rezonantni udio odziva iznosi:

$$R^2 = \frac{\pi^2}{2 \cdot \delta} \cdot S_L (\zeta_s \eta_{1x}) \cdot R_h \cdot R_b = \frac{\pi^2}{2 \cdot 0,05} \cdot 0,03 \cdot 0,05 \cdot 0,06 = 0,009$$

Očekivana frekvencija v i vrijeme T za vršni faktor iznose:

$$v = \eta_{1x} \cdot \sqrt{\frac{B^2}{B^2 + R^2}} \geq 0,08 \text{ Hz}$$

$$v = 2,93 \cdot \sqrt{\frac{0,56}{0,56 + 0,009}} = 2,9 \text{ Hz} > 0,08 \text{ Hz}$$

T = 600 s

Vršni faktor prema izrazu (62) iznosi:

$$k_p = \sqrt{2 \cdot \ln(2,9 \cdot 600)} + \frac{0,6}{\sqrt{2 \cdot \ln(2,9 \cdot 600)}} \geq 3,0$$

$$k_p = \sqrt{2 \cdot \ln(2,9 \cdot 600)} + \frac{0,6}{\sqrt{2 \cdot \ln(2,9 \cdot 600)}} = 4,02 \geq 3,0$$

Konstrukcijski faktor kad vjetar puše okomito na poprečnu stranu prema izrazu (52) iznosi:

$$C_s C_d = \frac{1 + 2 \cdot 4,02 \cdot 0,39 \cdot \sqrt{0,56 + 0,009}}{1 + 7 \cdot 0,39} = 0,90$$

Djelovanje vjetra na poprečnu stranu objekta :

- SLUČAJ III ($c_{pi} = +0,2$)

Djelovanje vjetra na vertikalne plohe:

$$q_{p,1} = 0,61 \text{ kN/m}^2$$

$$w_e^A = 0,9 \cdot 0,61 \cdot (-1,2) = -0,66 \text{ kN/m}^2$$

$$w_e^B = 0,9 \cdot 0,61 \cdot (-0,8) = -0,44 \text{ kN/m}^2$$

$$w_e^C = 0,9 \cdot 0,61 \cdot (-0,5) = -0,27 \text{ kN/m}^2$$

$$w_e^D = 0,9 \cdot 0,61 \cdot (+0,8) = +0,44 \text{ kN/m}^2$$

$$w_e^E = 0,9 \cdot 0,61 \cdot (-0,38) = -0,21 \text{ kN/m}^2$$

$$q_{p,2} = 0,661 \text{ kN/m}^2$$

$$w_e^A = 0,9 \cdot 0,661 \cdot (-1,2) = -0,71 \text{ kN/m}^2$$

$$w_e^B = 0,9 \cdot 0,661 \cdot (-0,8) = -0,48 \text{ kN/m}^2$$

$$w_e^C = 0,9 \cdot 0,661 \cdot (-0,5) = -0,30 \text{ kN/m}^2$$

$$w_e^D = 0,9 \cdot 0,661 \cdot (+0,8) = +0,48 \text{ kN/m}^2$$

$$w_e^E = 0,9 \cdot 0,661 \cdot (-0,38) = -0,23 \text{ kN/m}^2$$

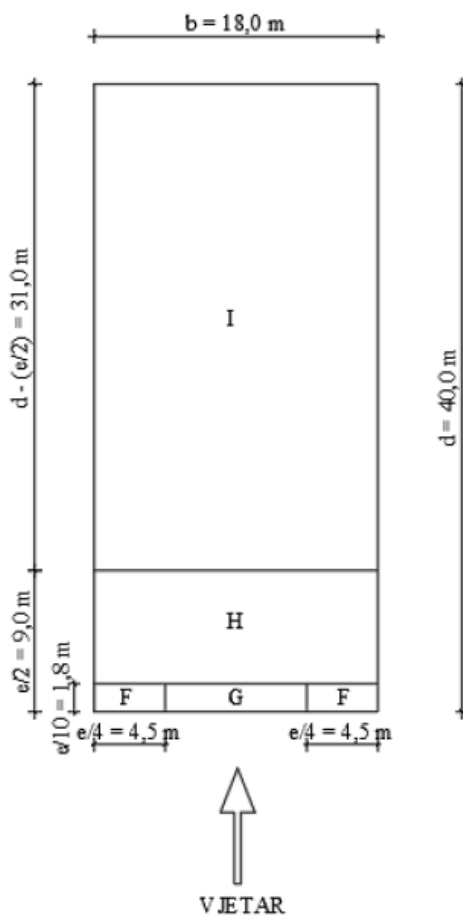
Koeficijent c_{pe} vanjskog tlaka za ravni krov:

$$b = 18,0 \text{ m}$$

$$h = 21,6 \text{ m}$$

$$d = 40,0 \text{ m}$$

$$e = \min(b; 2h) = \min(18,0; 43,2) = 18,0 \text{ m}$$



Slika 26. Shema opterećenja vjetra na ravni krov

$$A^F = \left(\frac{e}{4} \right) \cdot \left(\frac{e}{10} \right) = \left(\frac{18,0}{4} \right) \cdot \left(\frac{18,0}{10} \right) = 8,1 \text{ m}^2 < 10 \text{ m}^2$$

$$A^G = \left(b - \frac{e}{2} \right) \cdot \frac{e}{10} = \left(18,0 - \frac{18,0}{2} \right) \cdot \frac{18,0}{10} = 16,2 \text{ m}^2 > 10 \text{ m}^2$$

$$A^H = b \cdot \left(\frac{e}{2} - \frac{e}{10} \right) = 18,0 \cdot \left(\frac{18,0}{2} - \frac{18,0}{10} \right) = 130,0 \text{ m}^2 > 10 \text{ m}^2$$

$$A^I = b \cdot \left(d - \frac{e}{2} \right) = 18,0 \cdot \left(18,0 - \frac{18,0}{10} \right) = 558,0 \text{ m}^2 > 10 \text{ m}^2$$

Koefficijenti vanjskog tlaka za površine iznose:

$$c_{pe}^F = c_{pe,10}^F + (c_{pe,10}^F - c_{pe,1}^F) \cdot \log_{10} A^F = -2,5 + (-1,8 + 2,5) \cdot \log_{10} 8,1 = -1,864$$

$$c_{pe,10}^G = -1,2$$

$$c_{pe,10}^H = -0,7$$

$$c_{pe,10}^I = \pm 0,2$$

Djelovanje vjetra na krovne plohe:

$$q_{p,1} = 0,61 \text{ kN/m}^2$$

$$w_e^F = 0,9 \cdot 0,61 \cdot (-1,86) = -1,02 \text{ kN/m}^2$$

$$w_e^G = 0,9 \cdot 0,61 \cdot (-1,2) = -0,66 \text{ kN/m}^2$$

$$w_e^H = 0,9 \cdot 0,61 \cdot (-0,7) = -0,38 \text{ kN/m}^2$$

$$w_e^I = 0,9 \cdot 0,61 \cdot (\pm 0,2) = \pm 0,11 \text{ kN/m}^2$$

$$q_{p,2} = 0,661 \text{ kN/m}^2$$

$$w_e^F = 0,9 \cdot 0,661 \cdot (-1,8) = -1,07 \text{ kN/m}^2$$

$$w_e^G = 0,9 \cdot 0,661 \cdot (-1,2) = -0,71 \text{ kN/m}^2$$

$$w_e^H = 0,9 \cdot 0,661 \cdot (-0,7) = -0,42 \text{ kN/m}^2$$

$$w_e^I = 0,9 \cdot 0,661 \cdot (\pm 0,2) = \pm 0,12 \text{ kN/m}^2$$

Unutarnji tlakovi vjetra:

$$w_{i1} = 0,61 \cdot (\pm 0,2) = \pm 0,12 \text{ kN/m}^2$$

$$w_{i2} = 0,661 \cdot (\pm 0,2) = \pm 0,13 \text{ kN/m}^2$$

Ukupni tlakovi vjetra:**VERTIKALNE PLOHE:**

$$q_{p,1}=0,61 \text{ kN/m}^2$$

$$w_k^A = -0,66 - (+0,12) = -0,78 \text{ kN/m}^2$$

$$w_k^B = -0,44 - (+0,12) = -0,56 \text{ kN/m}^2$$

$$w_k^C = -0,27 - (+0,12) = -0,39 \text{ kN/m}^2$$

$$w_k^D = +0,44 - (+0,12) = +0,32 \text{ kN/m}^2$$

$$w_k^E = -0,21 - (+0,12) = -0,33 \text{ kN/m}^2$$

$$q_{p,2}=0,661 \text{ kN/m}^2$$

$$w_k^A = -0,71 - (+0,13) = -0,84 \text{ kN/m}^2$$

$$w_k^B = -0,48 - (+0,13) = -0,61 \text{ kN/m}^2$$

$$w_k^C = -0,30 - (+0,13) = -0,43 \text{ kN/m}^2$$

$$w_k^D = +0,48 - (+0,13) = +0,35 \text{ kN/m}^2$$

$$w_k^E = -0,23 - (+0,13) = -0,36 \text{ kN/m}^2$$

KROVNE PLOHE:

$$q_{p,1}=0,61 \text{ kN/m}^2$$

$$w_k^F = -1,02 - (+0,12) = -1,14 \text{ kN/m}^2$$

$$w_k^G = -0,66 - (+0,12) = -0,78 \text{ kN/m}^2$$

$$w_k^H = -0,38 - (+0,12) = -0,5 \text{ kN/m}^2$$

$$w_k^I = -0,11 - (+0,12) = -0,23 \text{ kN/m}^2$$

$$w_k^J = +0,11 - (+0,12) = -0,01 \text{ kN/m}^2$$

$$q_{p,2}=0,661 \text{ kN/m}^2$$

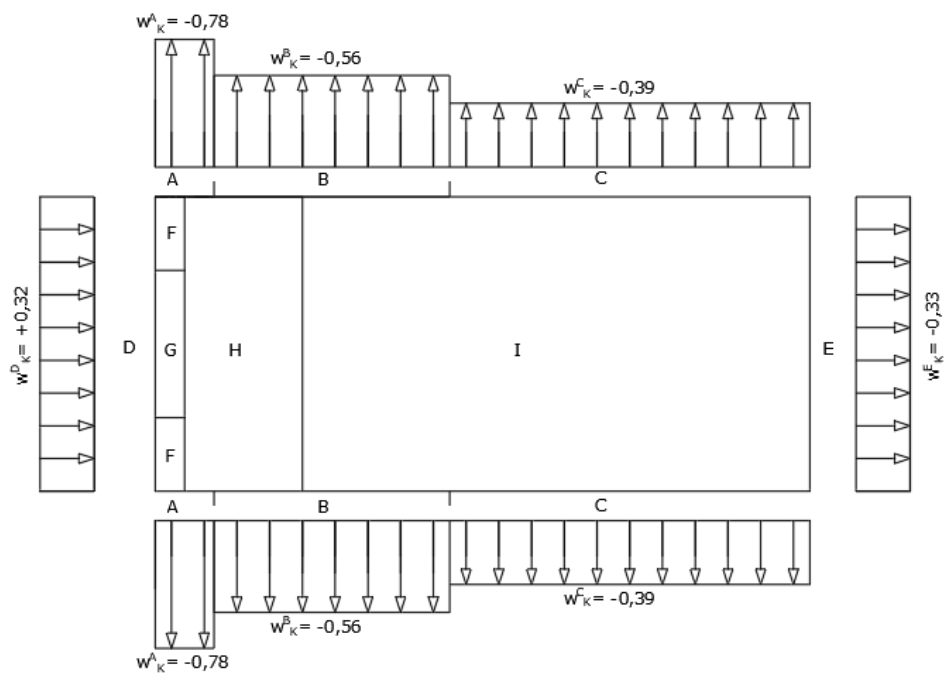
$$w_k^F = -1,07 - (+0,13) = -1,2 \text{ kN/m}^2$$

$$w_k^G = -0,71 - (+0,13) = -0,84 \text{ kN/m}^2$$

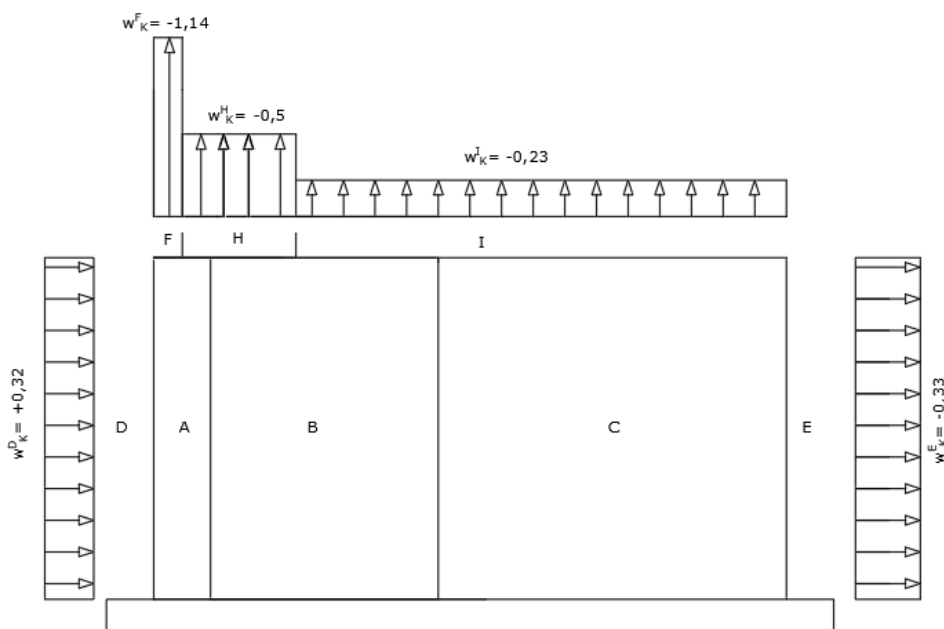
$$w_k^H = -0,42 - (+0,13) = -0,55 \text{ kN/m}^2$$

$$w_k^I = -0,12 - (+0,13) = -0,25 \text{ kN/m}^2$$

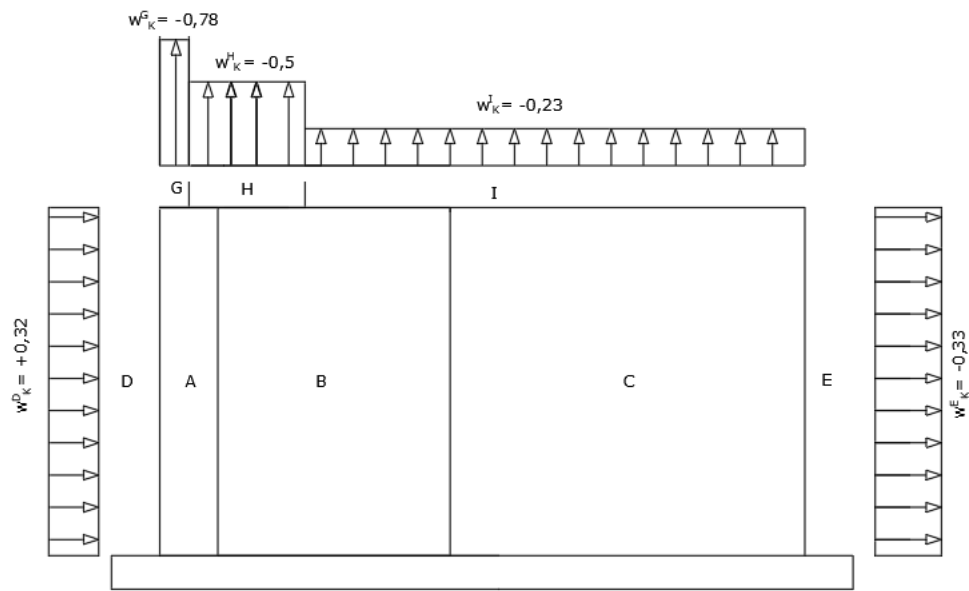
$$w_k^J = +0,12 - (+0,13) = -0,01 \text{ kN/m}^2$$



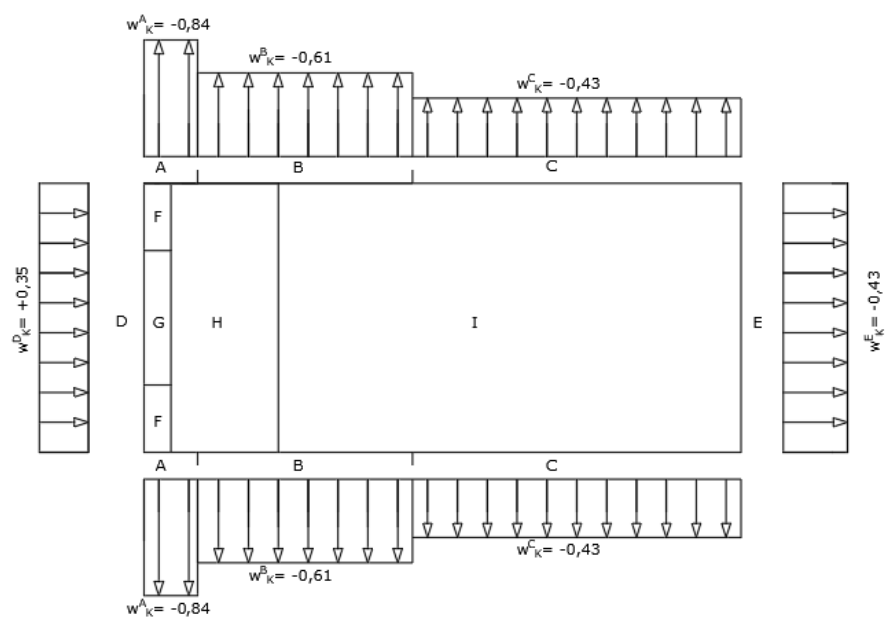
Slika 27. Tlakovi vjetra za slučaj III opterećenja vjetrom za $q_{p,1}=0,61 \text{ kN/m}^2$



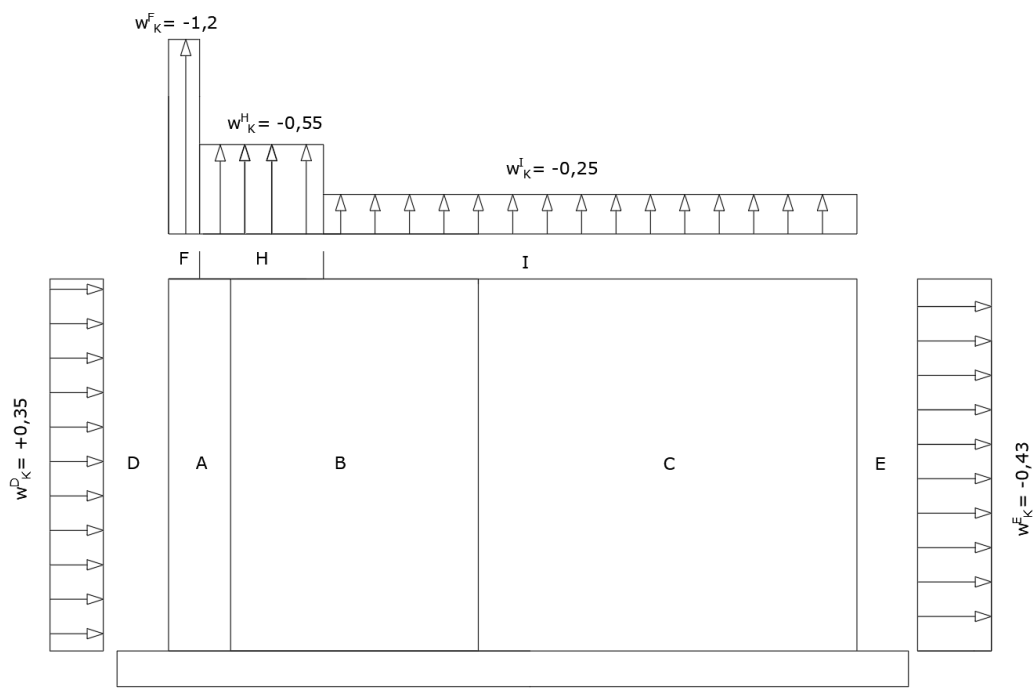
Slika 28. Tlakovi vjetra za slučaj III opterećenja vjetrom za $q_{p,1}=0,61 \text{ kN/m}^2$



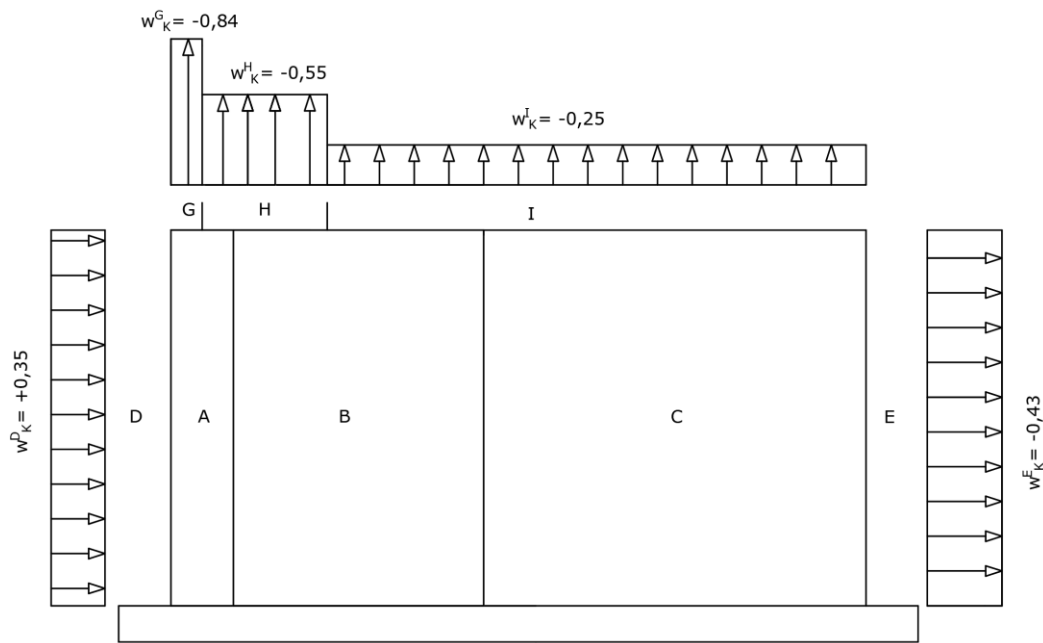
Slika 29. Tlakovi vjetra za slučaj III opterećenja vjetrom za $q_{p,1}=0,61 \text{ kN/m}^2$



Slika 30. Tlakovi vjetra za slučaj III opterećenja vjetrom za $q_{p,2}=0,661 \text{ kN/m}^2$



Slika 31. Tlakovi vjetra za slučaj III opterećenja vjetrom za $q_{p,2}=0,661 \text{ kN/m}^2$



Slika 32. Tlakovi vjetra za slučaj III opterećenja vjetrom za $q_{p,2}=0,661 \text{ kN/m}^2$

- SLUČAJ IV ($c_{pi} = -0,3$)

Djelovanje vjetra na vertikalne plohe:

$$q_{p,1}=0,61 \text{ kN/m}^2$$

$$w_e^A = 0,9 \cdot 0,61 \cdot (-1,2) = -0,66 \text{ kN/m}^2$$

$$w_e^B = 0,9 \cdot 0,61 \cdot (-0,8) = -0,44 \text{ kN/m}^2$$

$$w_e^C = 0,9 \cdot 0,61 \cdot (-0,5) = -0,27 \text{ kN/m}^2$$

$$w_e^D = 0,9 \cdot 0,61 \cdot (+0,8) = +0,44 \text{ kN/m}^2$$

$$w_e^E = 0,9 \cdot 0,61 \cdot (-0,38) = -0,21 \text{ kN/m}^2$$

$$q_{p,2}=0,661 \text{ kN/m}^2$$

$$w_e^A = 0,9 \cdot 0,661 \cdot (-1,2) = -0,71 \text{ kN/m}^2$$

$$w_e^B = 0,9 \cdot 0,661 \cdot (-0,8) = -0,48 \text{ kN/m}^2$$

$$w_e^C = 0,9 \cdot 0,661 \cdot (-0,5) = -0,30 \text{ kN/m}^2$$

$$w_e^D = 0,9 \cdot 0,661 \cdot (+0,8) = +0,48 \text{ kN/m}^2$$

$$w_e^E = 0,9 \cdot 0,661 \cdot (-0,38) = -0,23 \text{ kN/m}^2$$

Djelovanje vjetra na krovne plohe:

$$q_{p,1}=0,61 \text{ kN/m}^2$$

$$w_e^F = 0,9 \cdot 0,61 \cdot (-1,86) = -1,02 \text{ kN/m}^2$$

$$w_e^G = 0,9 \cdot 0,61 \cdot (-1,2) = -0,66 \text{ kN/m}^2$$

$$w_e^H = 0,9 \cdot 0,61 \cdot (-0,7) = -0,38 \text{ kN/m}^2$$

$$w_e^I = 0,9 \cdot 0,61 \cdot (\pm 0,2) = \pm 0,11 \text{ kN/m}^2$$

$$q_{p,2}=0,661 \text{ kN/m}^2$$

$$w_e^F = 0,9 \cdot 0,661 \cdot (-1,8) = -1,07 \text{ kN/m}^2$$

$$w_e^G = 0,9 \cdot 0,661 \cdot (-1,2) = -0,71 \text{ kN/m}^2$$

$$w_e^H = 0,9 \cdot 0,661 \cdot (-0,7) = -0,42 \text{ kN/m}^2$$

$$w_e^I = 0,9 \cdot 0,661 \cdot (\pm 0,2) = \pm 0,12 \text{ kN/m}^2$$

Unutarnji tlakovi vjetra:

$$w_{i1} = 0,61 \cdot (-0,3) = -0,18 \text{ kN/m}^2$$

$$w_{i2} = 0,661 \cdot (-0,3) = -0,2 \text{ kN/m}^2$$

Ukupni tlakovi vjetra:**VERTIKALNE PLOHE:**

$q_{p,1}=0,61 \text{ kN/m}^2$

$$w_k^A = -0,66 - (-0,18) = -0,48 \text{ kN/m}^2$$

$$w_k^B = -0,44 - (-0,18) = -0,26 \text{ kN/m}^2$$

$$w_k^C = -0,27 - (-0,18) = -0,09 \text{ kN/m}^2$$

$$w_k^D = +0,44 - (-0,18) = +0,62 \text{ kN/m}^2$$

$$w_k^E = -0,21 - (-0,18) = -0,03 \text{ kN/m}^2$$

$q_{p,2}=0,661 \text{ kN/m}^2$

$$w_e^A = -0,71 - (-0,2) = -0,51 \text{ kN/m}^2$$

$$w_e^B = -0,48 - (-0,2) = -0,28 \text{ kN/m}^2$$

$$w_e^C = -0,30 - (-0,2) = -0,1 \text{ kN/m}^2$$

$$w_e^D = +0,48 - (-0,2) = +0,68 \text{ kN/m}^2$$

$$w_e^E = -0,23 - (-0,2) = -0,03 \text{ kN/m}^2$$

KROVNE PLOHE:

$q_{p,1}=0,61 \text{ kN/m}^2$

$$w_e^F = -1,02 - (-0,18) = -0,84 \text{ kN/m}^2$$

$$w_e^G = -0,66 - (-0,18) = -0,48 \text{ kN/m}^2$$

$$w_e^H = -0,38 - (-0,18) = -0,2 \text{ kN/m}^2$$

$$w_e^I = -0,11 - (-0,18) = +0,07 \text{ kN/m}^2$$

$$w_e^J = +0,11 - (-0,18) = +0,29 \text{ kN/m}^2$$

$q_{p,2}=0,661 \text{ kN/m}^2$

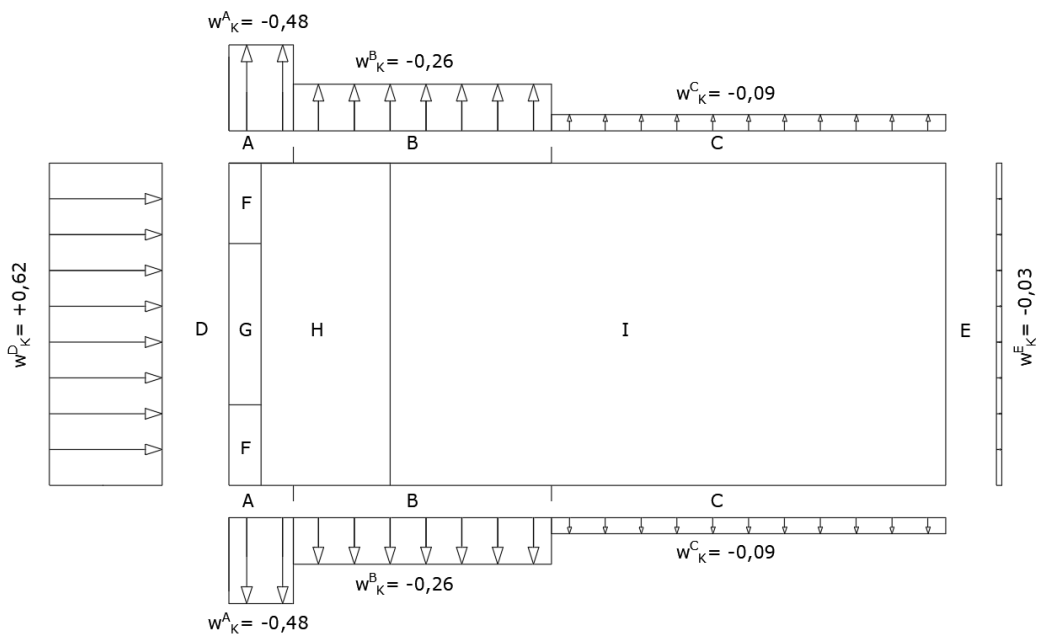
$$w_e^K = -1,07 - (-0,2) = -0,87 \text{ kN/m}^2$$

$$w_e^L = -0,71 - (-0,2) = -0,51 \text{ kN/m}^2$$

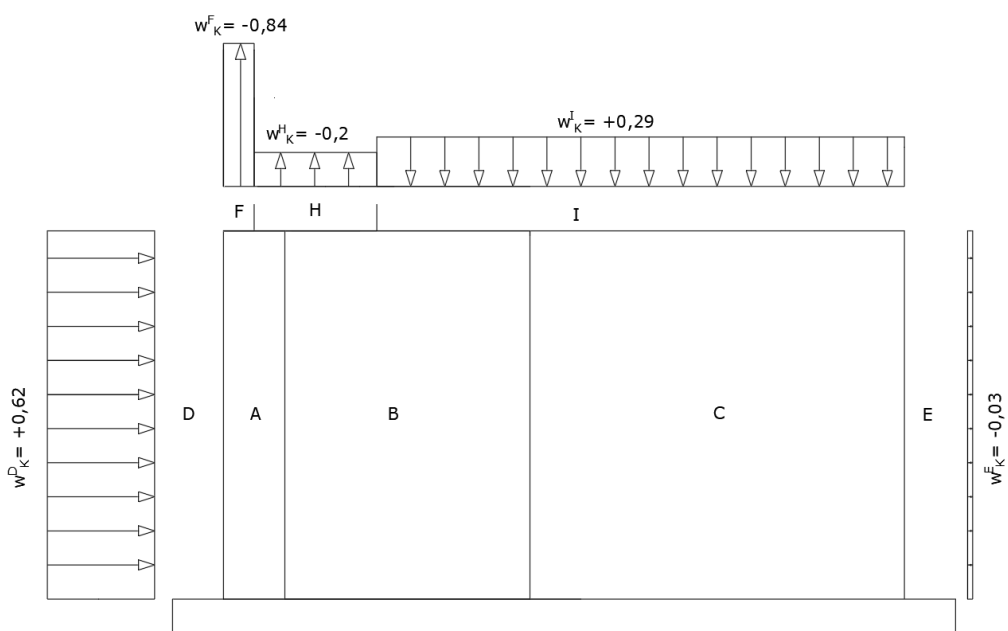
$$w_e^M = -0,42 - (-0,2) = -0,22 \text{ kN/m}^2$$

$$w_e^N = -0,12 - (-0,2) = +0,08 \text{ kN/m}^2$$

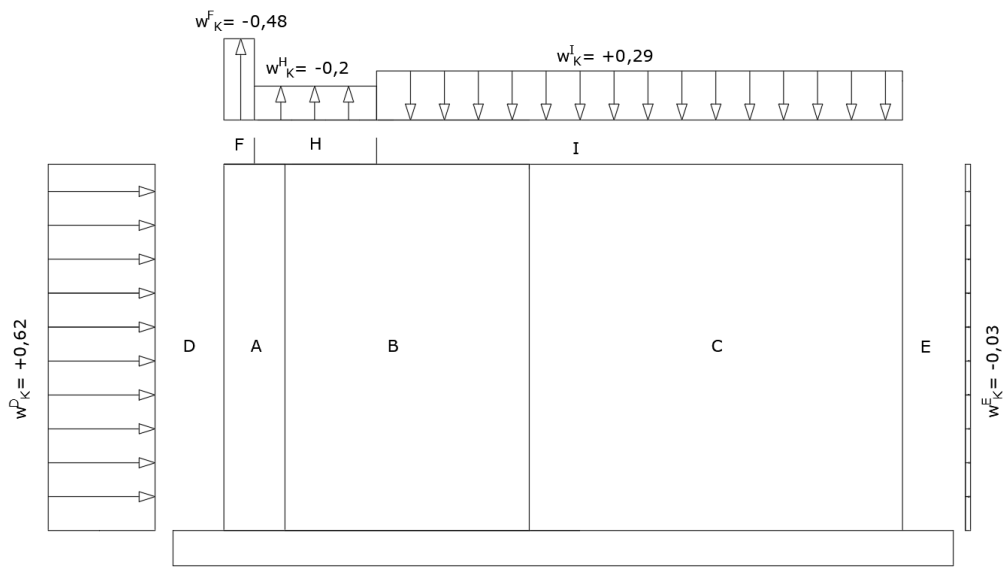
$$w_e^O = +0,12 - (-0,2) = +0,32 \text{ kN/m}^2$$



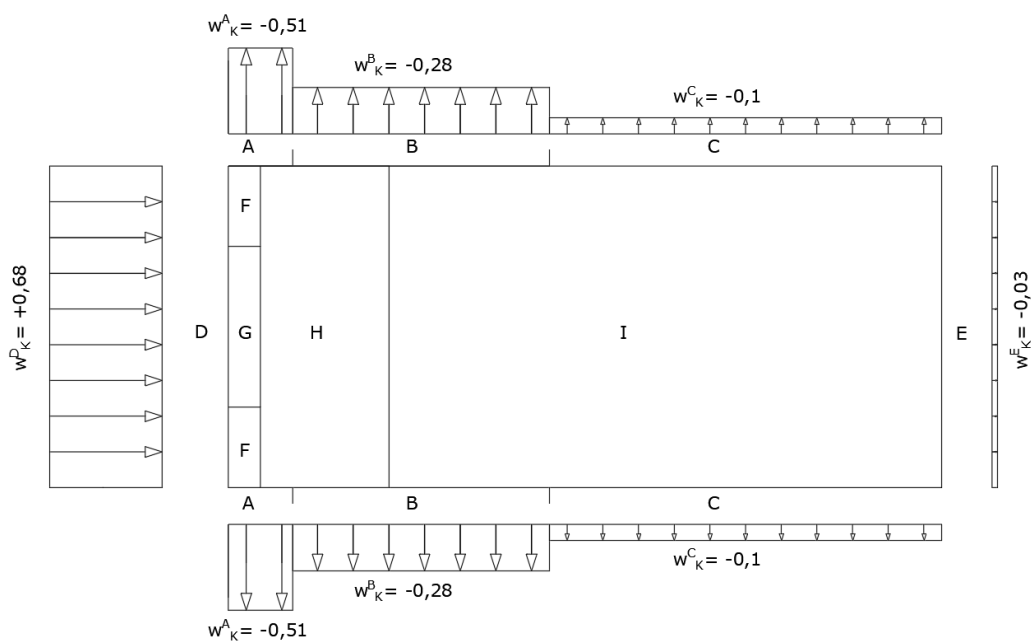
Slika 33. Tlakovi vjetra za slučaj IV opterećenja vjetrom za $q_{p,1}=0,61 \text{ kN/m}^2$



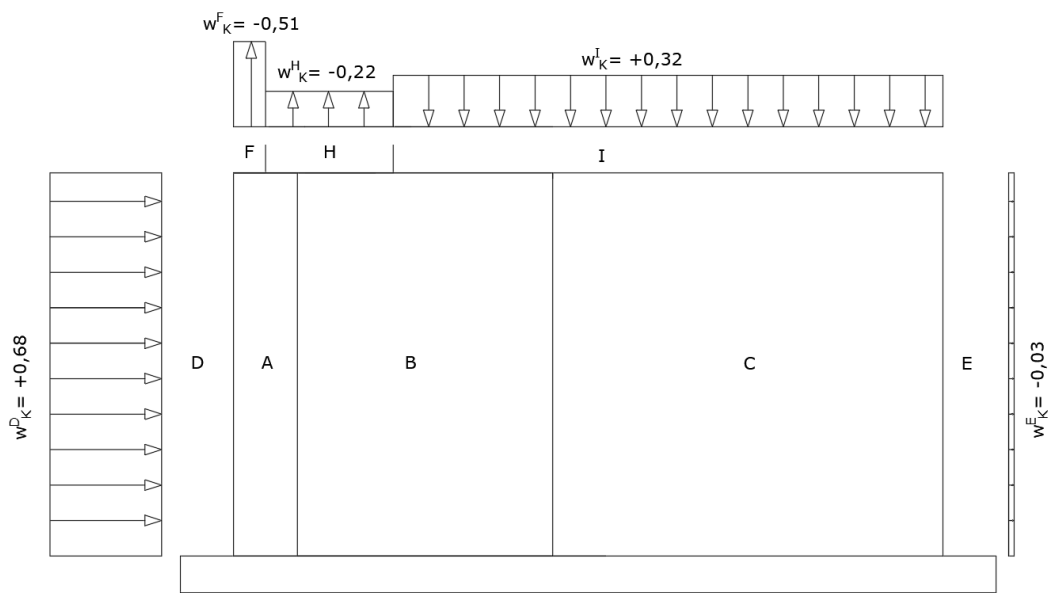
Slika 34. Tlakovi vjetra za slučaj IV opterećenja vjetrom za $q_{p,1}=0,61 \text{ kN/m}^2$



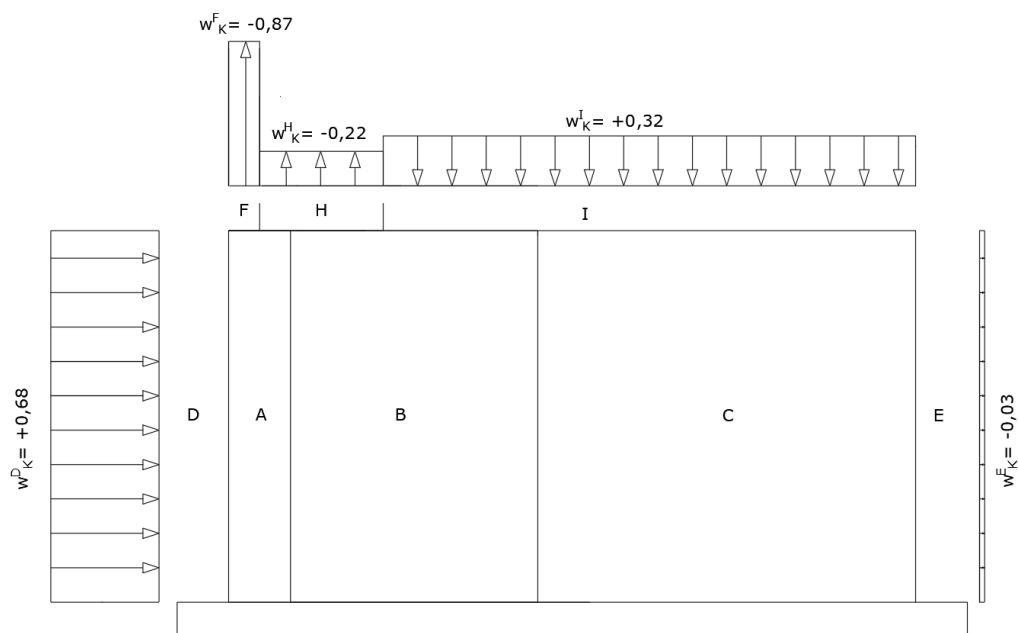
Slika 35. Tlakovi vjetra za slučaj IV opterećenja vjetrom za $q_{p,1}=0,61 \text{ kN/m}^2$



Slika 36. Tlakovi vjetra za slučaj IV opterećenja vjetrom za $q_{p,2}=0,661 \text{ kN/m}^2$



Slika 37. Tlakovi vjetra za slučaj IV opterećenja vjetrom za $q_{p,2}=0,661 \text{ kN/m}^2$



Slika 38. Tlakovi vjetra za slučaj IV opterećenja vjetrom za $q_{p,2}=0,661 \text{ kN/m}^2$

6.2.5 Proračun sile vjetra pomoću koeficijenta sile

Sila vjetra na konstrukciju može se izračunati koristeći koeficijent sile ili koeficijent tlaka. Proračun prema koeficijentu tlaka omogućuje preciznu analizu djelovanja vjetra na pojedine površine konstrukcije. Proračun koristeći koeficijent sile prikladan je za procjenu ukupnog učinka vjetra na cijelu konstrukciju. Sila vjetra na konstrukciju određuje se uzimajući u obzir vanjske i unutarnje tlakove vjetra i može se odrediti prema izrazu:

$$F_w = C_s C_d \cdot C_f \cdot q_p(z) \cdot A_{ref}$$

(63)

gdje je:

$C_s C_d$ - faktor konstrukcije

C_f - koeficijent sile za konstrukciju ili konstrukcijski element

A_{ref} - referentna površina konstrukcije ili konstrukcijskog elementa

Tablica 13. Sila vjetra kada vjetra djeluje okomito na uzdužnu stranu objekta

Etaža	h [m]	b [m]	$q_p(z)$ [kN/m ²]	$C_s C_d$	C_f	F_w [kN]
1	3,6	40	0,661	0,84	2,15	172,16
2	3,6	40	0,661	0,84	2,15	172,16
3	3,6	40	0,661	0,84	2,15	172,16
4	3,6	40	0,661	0,84	2,15	172,16
5	3,6	40	0,661	0,84	2,15	172,16
6	3,6	40	0,661	0,84	2,15	172,16

Tablica 14. Sila vjetra kada vjetra djeluje okomito na poprečnu stranu objekta

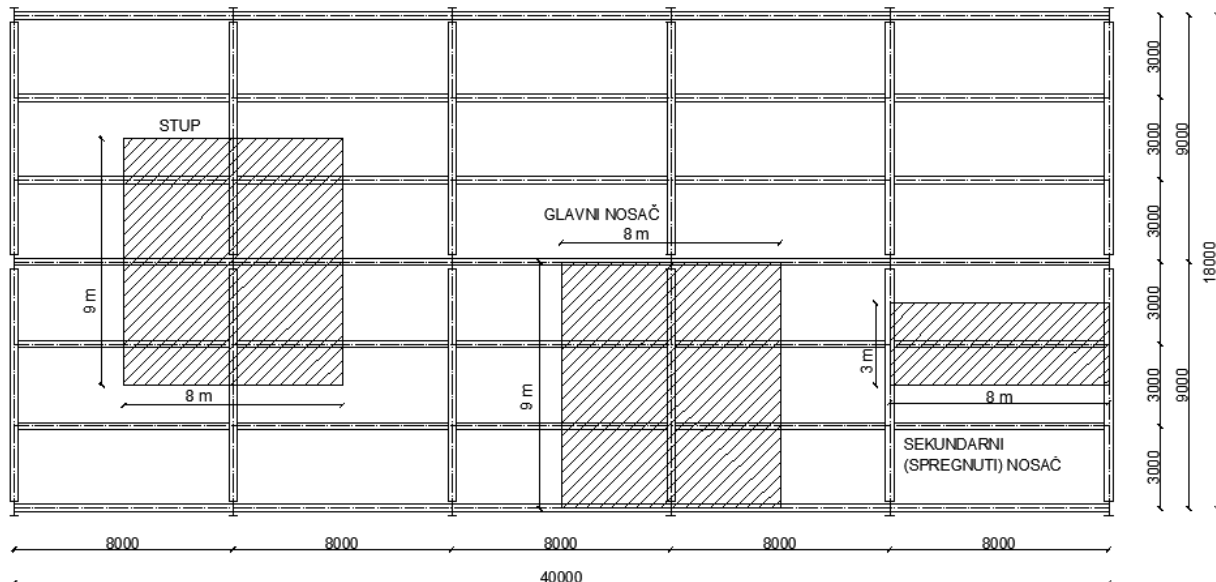
Etaža	h [m]	b [m]	$q_{p,1}(z)$ [kN/m ²]	$q_{p,2}(z)$ [kN/m ²]	$C_s C_d$	C_f	$F_{w,1}$ [kN]	$F_{w,2}$ [kN]
1	3,6	18	0,61	0,661	0,9	1,5	49,80	53,96
2	3,6	18	0,61	0,661	0,9	1,5	49,80	53,96
3	3,6	18	0,61	0,661	0,9	1,5	49,80	53,96
4	3,6	18	0,61	0,661	0,9	1,5	49,80	53,96
5	3,6	18	0,61	0,661	0,9	1,5	49,80	53,96
6	3,6	18	0,61	0,661	0,9	1,5	49,80	53,96

7 PRELIMINARNO DIMENZIONIRANJE

Kako bi se odabrale optimalne dimenzije čeličnih profila za dimenzioniranje konstrukcije, potrebno je provesti preliminarni proračun za određivanje aproksimativnih profila. Ovaj proračun bit će izведен na konzervativan način. Dimenzije profila bit će odabrane na temelju momenta savijanja za međukatne i krovne nosače, dok će za stupove biti odabrani prema vrijednostima uzdužnih sila. Uzeta kvaliteta čelika je S355.

Nosače dijelimo na glavne koji su upeto spojeni sa stupom (okvirni sustav) i sekundarne nosače koji su ujedno i spregnuti i zglobno povezani sa stupovima (jednostavni okvirni sustav s centričnim vezom). Međukatna konstrukcija je spregnuta ploča koja se u preliminarnom dimenzioniranju odabire kataloški prema dobivenim opterećenjima.

Preliminarno dimenzioniranje će se provesti na vertikalno gravitacijsko opterećenje, a to su stalno, uporabno i snijeg. Horizontalna opterećenja, vjetar i potres, su u ovom proračunu zanemarene.



Slika 39. Elementi za preliminarno dimenzioniranje

7.1 Međukatna konstrukcija

Preliminarni odabir spregnute ploče:

Međukatna konstrukcija:

$$g_{pbča}^{medukatna} = \gamma_G \cdot g_k + \gamma_Q \cdot q_k$$

$$g_{pbča}^{medukatna} = 1,35 \cdot 5,24 + 1,5 \cdot 2$$

$$g_{pbča}^{medukatna} = 10,07 \text{ kN/m}^2$$

Krovna konstrukcija:

$$g_{pbča}^{krovna} = \gamma_G \cdot g_k + \gamma_Q \cdot q_k + \psi_i \cdot \gamma_Q \cdot s_k$$

$$g_{pbča}^{krovna} = 1,35 \cdot 4,24 + 1,5 \cdot 0,6 + 1,5 \cdot 0,5 \cdot 1,0$$

$$g_{pbča}^{krovna} = 7,38 \text{ kN/m}^2$$

Tablica 15. Karakteristike profiliranog lima

Normal Thickness (mm)	Self Weight		Height to Neutral Axis Sagging (mm)	Second Moment of Area (cm ⁴ /m)	Steel Area (mm ² /m)	Ultimate Moment Capacity (kNm/m)	
	(kg/m ²)	(kN/m ²)				Sagging	Hogging
0.85	11.42	0.112	16.10	56.58	1418	6.47	6.30
0.90	12.89	0.126	16.50	66.15	1605	7.72	7.22
1.00	14.36	0.141	16.60	75.90	1792	8.97	7.99
1.10	15.83	0.155	16.70	83.99	1979	10.17	8.82
1.20	17.29	0.170	16.70	92.16	2165	11.31	9.55

Tablica 16. Karakteristike spregnute ploče

Slab Depth (mm)	Concrete Volume (m ³ /m ²)	Weight (kN/m ²)			
		Normal Weight Concrete		Lightweight Concrete	
		Wet	Dry	Wet	Dry
100	0.091	2.14	2.10	1.70	1.61
110	0.101	2.38	2.33	1.88	1.78
120	0.111	2.61	2.56	2.07	1.96
125	0.116	2.73	2.67	2.16	2.05
130	0.121	2.85	2.79	2.26	2.14
140	0.131	3.08	3.02	2.44	2.31
150	0.141	3.32	3.25	2.63	2.49

Tablica 17. Rasponi ovisni o debljini ploče i opterećenju



Span Type (support condition)	Slab Depth (mm)	Min Mesh Size	Gauge - 1.00mm					
			Total Applied Load (kN/m²) SLS					
			4.0	6.0	8.0	10.0	12.0	14.0
	100	A142	3.30	3.30	3.22	3.00	3.00	3.00
	110	A142	3.22	3.22	3.22	3.22	3.22	3.22
	120	A142	3.14	3.14	3.14	3.14	3.14	3.14
	130	A142	3.07	3.07	3.07	3.07	3.07	3.07
	140	A142	3.00	3.00	3.00	3.00	3.00	3.00
	150	A142	2.94	2.94	2.94	2.94	2.94	2.94
	160	A193	2.89	2.89	2.89	2.89	2.89	2.89
	175	A193	2.81	2.81	2.81	2.81	2.81	2.81
	200	A193	2.70	2.70	2.70	2.70	2.70	2.70
	250	A252	2.55	2.55	2.55	2.55	2.55	2.55

Na temelju dopuštenog opterećenja (tablica 17.) za međukatnu konstrukciju raspona 3 m preliminarno je odabrana spregnuta ploča **Multideck 50**.

7.2 Sekundarni nosač

Opterećenja: $g_{k,sek.nosača} = 0,9 \text{ kN/m}$

$$g_{k,međ.ploča} = 5,24 \text{ kN/m}^2$$

$$q_{k,međ.ploča} = 2 \text{ kN/m}^2$$

Širina opterećenja koja otpada na nosač : 3 m

Kombinacija opterećenja:

$$g_{Ed} = \gamma_G \cdot g_k + \gamma_Q \cdot q_k = \gamma_G \cdot \left[\frac{e \cdot l \cdot g_{k,međ}}{l_{sek}} + g_{k,sek.nosač} \right] + \gamma_Q \cdot \frac{e \cdot l \cdot q_{k,međ}}{l_{sek}}$$

$$g_{Ed} = 1,35 \cdot \left[\frac{3 \cdot 8 \cdot 5,24}{8} + 0,9 \right] + 1,5 \cdot \frac{3 \cdot 8 \cdot 2}{8} = 31,71 \text{ kN / m}$$

$$M_{Ed} = \frac{g_{Ed} \cdot l^2}{8} = \frac{31,71 \cdot 8^2}{8} = 253,68 \text{ kNm}$$

Otpornost elementa na savijanje iznosi:

$$M_{Y,Rd} = \frac{\frac{f_y \cdot W_{pl,y}}{\gamma_{M1}}}{\gamma_{M1}} = \frac{275 \cdot 1380}{1,1} = 345,00 \text{ kNm} > M_{Ed} = 253,68 \text{ kNm}$$

Kontrola progiba:

$$g_{Ed} = \gamma_G \cdot g_k + \gamma_Q \cdot q_k = \gamma_G \cdot \left[\frac{e \cdot l \cdot g_{k,med}}{l_{sek}} + g_{k,sek,nosač} \right] + \gamma_Q \cdot \frac{e \cdot l \cdot q_{k,med}}{l_{sek}}$$

$$g_{Ed} = 1,0 \cdot \left[\frac{3 \cdot 8 \cdot 5,24}{8} + 0,9 \right] + 1,0 \cdot \frac{3 \cdot 8 \cdot 2}{8} = 21,72 \text{ kN/m}$$

$$w = \frac{5}{384} \cdot \frac{g_{Ed} \cdot L^4}{E \cdot I_y} = \frac{5}{384} \cdot \frac{21,72 \cdot 10^{-2} \cdot 800^4}{21000 \cdot 18300} = 3,01 \text{ cm}$$

Ograničenje veličine progiba:

$$w_{max} = \frac{L}{200} = \frac{800}{200} = 4 \text{ cm} > 3,01 \text{ cm}$$

Preliminarno odabrani profil: **HEA 300**

7.3 Glavni nosač

Opterećenja: $g_{k,gl..nosača} = 1,1 \text{ kN/m}$

$$g_{k,sek..nosača} = 0,9 \text{ kN/m}$$

$$g_{k,med..ploča} = 5,24 \text{ kN/m}^2$$

$$q_{k,med..ploča} = 2 \text{ kN/m}^2$$

Širina opterećenja koja otpada na nosač : 8 m

Kombinacija opterećenja:

$$g_{Ed} = \gamma_G \cdot g_k + \gamma_Q \cdot q_k = \gamma_G \cdot \left[\frac{e \cdot l \cdot g_{k,med}}{l_{gl}} + \frac{n \cdot l_{sek} \cdot g_{k,sek,nosač}}{l_{gl}} + g_{k,gl,nosač} \right] + \gamma_Q \cdot \frac{e \cdot l \cdot q_{k,med}}{l_{gl}}$$

$$g_{Ed} = 1,35 \cdot \left[\frac{8 \cdot 6 \cdot 5,24}{9} + \frac{2 \cdot 8 \cdot 0,9}{9} + 1,1 \right] + 1,5 \cdot \frac{8 \cdot 6 \cdot 2}{9} = 57,37 \text{ kN/m}$$

$$M_{Ed} = \frac{g_{Ed} \cdot \frac{l^2}{8}}{8} = \frac{57,37 \cdot 9^2}{8} = 580,87 \text{ kNm}$$

Otpornost elementa na savijanje iznosi:

$$M_{y,Rd} = \frac{f_y \cdot W_{pl,y}}{\gamma_{M1}} = \frac{275 \cdot 2560}{1,1} = 640,0 \text{ kNm} > M_{Ed} = 580,87 \text{ kNm}$$

Kontrola progiba:

$$g_{Ed} = \gamma_G \cdot g_k + \gamma_Q \cdot q_k = \gamma_G \cdot \left[\frac{e \cdot l \cdot g_{k,med}}{l_{gl}} + \frac{n \cdot l_{sek} \cdot g_{k,sek,nosač}}{l_{gl}} + g_{k,gl,nosač} \right] + \gamma_Q \cdot \frac{e \cdot l \cdot q_{k,med}}{l_{gl}}$$

$$g_{Ed} = 1,0 \cdot \left[\frac{8 \cdot 6 \cdot 5,24}{9} + \frac{2 \cdot 8 \cdot 0,9}{9} + 1,1 \right] + 1,0 \cdot \frac{8 \cdot 6 \cdot 2}{9} = 41,31 \text{ kN/m}$$

$$w = \frac{5}{384} \cdot \frac{g_{Ed} \cdot L^4}{E \cdot I_y} = \frac{5}{384} \cdot \frac{41,31 \cdot 10^{-2} \cdot 900^4}{21000 \cdot 45100} = 3,73 \text{ cm}$$

Ograničenje veličine progiba:

$$w_{max} = \frac{L}{200} = \frac{900}{200} = 4,5 \text{ cm} > 3,73 \text{ cm}$$

Preliminarno odabrani profil: **HEA 400**

7.4 Stup

Opterećenja: $g_{k,stup} = 1,7 \text{ kN/m}$

$$g_{k,gl..nosača} = 1,1 \text{ kN/m}$$

$$g_{k,sek..nosača} = 0,9 \text{ kN/m}$$

$$g_{k,med..ploča} = 5,24 \text{ kN/m}^2$$

$$g_{k,krov..ploča} = 4,24 \text{ kN/m}^2$$

$$q_{k,med..ploča} = 2,0 \text{ kN/m}^2$$

$$q_{k,krov..ploča} = 0,6 \text{ kN/m}^2$$

$$s_k = 1,0 \text{ kN/m}^2$$

Opterećenje na stup prizemlja:

$$G_{stup} = h \cdot g_{k,stup} = 3,6 \cdot 1,7 = 6,12 \text{ kN}$$

$$G_{gl,nosač} = L \cdot g_{k,gl,nosač} = 9,0 \cdot 1,1 = 9,9 \text{ kN}$$

$$G_{sek,nosač} = L \cdot g_{k,sek,nosač} = 24,0 \cdot 0,9 = 21,6 \text{ kN}$$

$$G_{med,ploča} = A \cdot g_{k,med,ploča} = 72,0 \cdot 5,24 = 377,28 \text{ kN}$$

$$G_{krov,ploča} = A \cdot g_{k,krov,ploča} = 72,0 \cdot 4,24 = 305,28 \text{ kN}$$

$$Q_{med,ploča} = A \cdot g_{k,med,ploča} = 72,0 \cdot 2,0 = 144,0 \text{ kN}$$

$$Q_{krov,ploča} = A \cdot g_{k,krov,ploča} = 72,0 \cdot 0,6 = 43,2 \text{ kN}$$

$$S = A \cdot s_k = 72,0 \cdot 1,0 = 72,0 \text{ kN}$$

Otpornost stupa na (tlačnu) uzdužnu silu:

$$N_{G,k} = n \cdot G_{stup} + G_{gl.nosač} + G_{sek.nosač}) + (n-1) \cdot G_{med.pbc} + G_{krov.pbc}$$

$$N_{G,k} = 6 \cdot (6,12 + 9,9 + 21,6) + 5 \cdot 377,28 + 305,28 = 2417,4 \text{ kN}$$

$$N_{Q,k} = (n-1) \cdot Q_{med.pbc} + Q_{krov.pbc} + \psi_i \cdot s_k$$

$$N_{Q,k} = 5 \cdot 144,0 + 43,2 + 0,5 \cdot 72,0 = 799,2 \text{ kN}$$

$$N_{Ed} = \gamma_G \cdot N_{G,k} + \gamma_Q \cdot N_{Q,k} = 1,35 \cdot 2417,4 + 1,5 \cdot 799,2 = 4462,29 \text{ kN}$$

$$N_{c,Rd} = \frac{A \cdot f_y}{\gamma_{M0}} = \frac{218,0 \cdot 27,5}{1,0} = 5995 \text{ kN} > 4462,29 \text{ kN}$$

Preliminarno odabrani profil: **HEB 450**

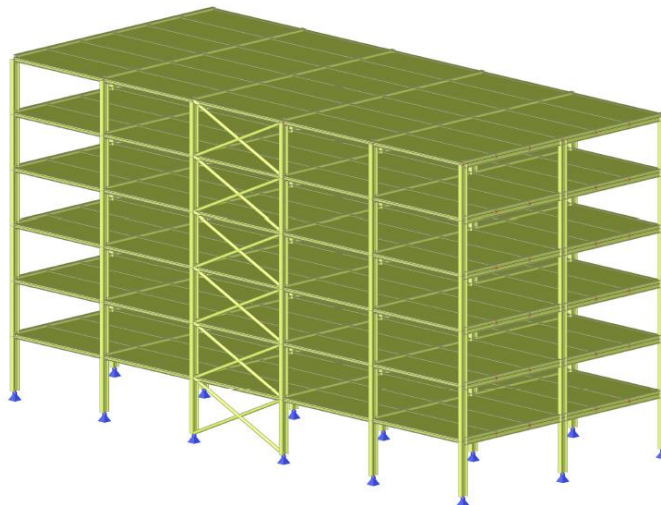
7.5 Vertikalni uzdužni vez

Preliminarni odabir poprečnog presjeka proveden je na temelju seizmičkog zahtjeva prema kojem svedena vitkost dijagonala "X" oblika mora biti između vrijednosti $1,3 < \bar{\lambda} \leq 2,0$

	OS Y-Y	OS Z-Z
KRITIČNA SILA:	$N_{cx,y} = 237,68 \text{ kN}$	$N_{cx,z} = 237,68 \text{ kN}$
SVEDENA VITKOST	$\bar{\lambda}_y = 1,87$	$\bar{\lambda}_z = 1,87$

Preliminarno odabrani profil: **CHS 159x6,3**

8 NUMERIČKO MODELIRANJE



Slika 40. 3D model konstrukcije

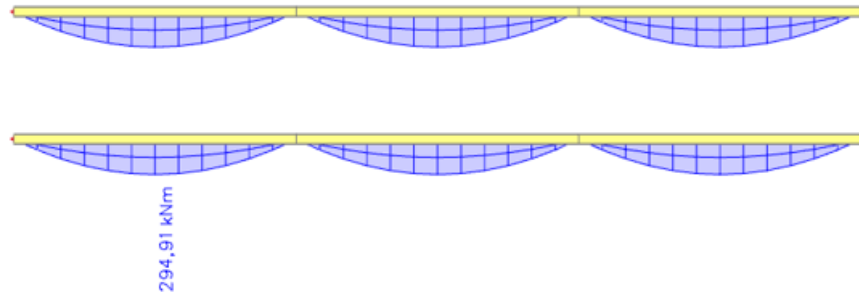
U programu "SCIA" izrađen je 3D model konstrukcije (slika 40), na kojem je provedena analiza opterećenja izračunatih u poglavlju 6. Vlastita težina elemenata automatski se uzima u obzir pomoću softvera.

Tijekom modeliranja međukatne konstrukcije bilo je potrebno postići što realnije ponašanje spregnute ploče. "SCIA" nudi nekoliko opcija za definiranje ponašanja elementa spregnute ploče:

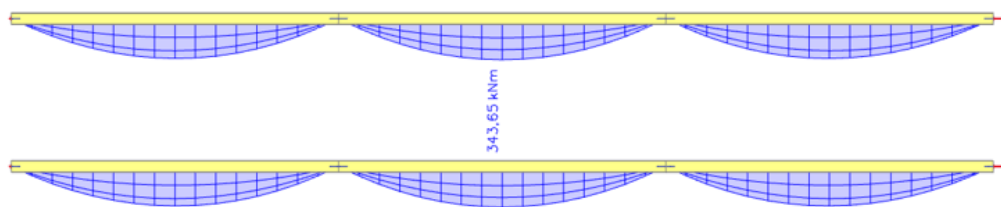
- Standardni FEM: ploča ima krutost na savijanje, unutar i izvan ravnine, te koristi konačnu elementnu mrežu.
- Fleksibilna dijafragma: nema krutost na savijanje unutar ravnine niti na smicanje; opterećenja unutar ravnine prenosi isključivo aksijalno.
- Kruta dijafragma: ne koristi mrežu konačnih elemenata. Ima svojstva fleksibilne dijafragme, ali s dodatkom krutosti unutar ravnine, dok izvan ravnine djeluje potpuno fleksibilno.
- Polukruta dijafragma: kombinira svojstva fleksibilne dijafragme i standardne FEM ploče; ima stvarnu krutost unutar ravnine, ali nema krutost na savijanje.

Kako bi se odabrala odgovarajuća opcija, provedena je analiza na pojednostavljenom modelu za standardni FEM i krutu dijafragmu. Mjerodavni rezultat bio je moment savijanja, pri čemu

je odabran pristup koji je dao veći moment. Prema rezultatima analize, odabrana je opcija standardnog FEM-a (slika 40. i 41.).



Slika 41. Moment savijanja za model "Kruta dijafragma"



Slika 42. Moment savijanja za model "Standardni FEM"

8.1 Imperfekcije

Imperfekcije su uzete u obzir kutom ϕ_i prema formuli (35):

X smjer

$$\phi_i = \alpha_h \cdot \alpha_m \cdot \phi_0$$

$$\phi = 1,0 \cdot 0,764 \cdot \frac{1}{200} = 0,0038$$

Y smjer

$$\phi = 1,0 \cdot 0,82 \cdot \frac{1}{200} = 0,0041$$

8.1.1 Imperfekcije od vlastite težine

Tablica 18. Tlačne sile u stupovima po etažama za opterećenje od vlastite težine

Etaža	N _{Ed} [kN]
6	4852,06
5	4852,06
4	4852,06
3	4852,06
2	4852,06
1	4852,06

Ekvivalentna sila za vlastitu težinu u x smjeru:

$$\Delta H_1 = \phi \cdot m \cdot N_{Ed,1} = 0,0038 \cdot 6 \cdot 4852,06 = 110,63 \text{ kN}$$

$$\Delta H_2 = \phi \cdot m \cdot N_{Ed,2} = 0,0038 \cdot 6 \cdot 4852,06 = 110,63 \text{ kN}$$

$$\Delta H_3 = \phi \cdot m \cdot N_{Ed,3} = 0,0038 \cdot 6 \cdot 4852,06 = 110,63 \text{ kN}$$

$$\Delta H_4 = \phi \cdot m \cdot N_{Ed,4} = 0,0038 \cdot 6 \cdot 4852,06 = 110,63 \text{ kN}$$

$$\Delta H_5 = \phi \cdot m \cdot N_{Ed,5} = 0,0038 \cdot 6 \cdot 4852,06 = 110,63 \text{ kN}$$

$$\Delta H_6 = \phi \cdot m \cdot N_{Ed,6} = 0,0038 \cdot 6 \cdot 4852,06 = 110,63 \text{ kN}$$

Ekvivalentna sila za vlastitu težinu u y smjeru:

$$\Delta H_1 = \phi \cdot m \cdot N_{Ed,1} = 0,0041 \cdot 3 \cdot 4852,06 = 59,68 \text{ kN}$$

$$\Delta H_2 = \phi \cdot m \cdot N_{Ed,2} = 0,0041 \cdot 3 \cdot 4852,06 = 59,68 \text{ kN}$$

$$\Delta H_3 = \phi \cdot m \cdot N_{Ed,3} = 0,0041 \cdot 3 \cdot 4852,06 = 59,68 \text{ kN}$$

$$\Delta H_4 = \phi \cdot m \cdot N_{Ed,4} = 0,0041 \cdot 3 \cdot 4852,06 = 59,68 \text{ kN}$$

$$\Delta H_5 = \phi \cdot m \cdot N_{Ed,5} = 0,0041 \cdot 3 \cdot 4852,06 = 59,68 \text{ kN}$$

$$\Delta H_6 = \phi \cdot m \cdot N_{Ed,6} = 0,0041 \cdot 3 \cdot 4852,06 = 59,68 \text{ kN}$$

8.1.2 Imperfekcije od dodatno stalnog opterećenja

Tablica 19. Tlačne sile u stupovima po etažama za dodatno stalno opterećenje

Etaža	N _{Ed} [kN]
6	1440,0
5	2160,0

4	2160,0
3	2160,0
2	2160,0
1	2160,0

Ekvivalentna sila za dodatno stalno opterećenje u x smjeru:

$$\Delta H_1 = \phi \cdot m \cdot N_{Ed,1} = 0,0038 \cdot 6 \cdot 2160,0 = 49,25 \text{ kN}$$

$$\Delta H_2 = \phi \cdot m \cdot N_{Ed,2} = 0,0038 \cdot 6 \cdot 2160,0 = 49,25 \text{ kN}$$

$$\Delta H_3 = \phi \cdot m \cdot N_{Ed,3} = 0,0038 \cdot 6 \cdot 2160,0 = 49,25 \text{ kN}$$

$$\Delta H_4 = \phi \cdot m \cdot N_{Ed,4} = 0,0038 \cdot 6 \cdot 2160,0 = 49,25 \text{ kN}$$

$$\Delta H_5 = \phi \cdot m \cdot N_{Ed,5} = 0,0038 \cdot 6 \cdot 2160,0 = 49,25 \text{ kN}$$

$$\Delta H_6 = \phi \cdot m \cdot N_{Ed,6} = 0,0038 \cdot 6 \cdot 1440,0 = 32,83 \text{ kN}$$

Ekvivalentna sila za dodatno stalno opterećenje u y smjeru:

$$\Delta H_1 = \phi \cdot m \cdot N_{Ed,1} = 0,0041 \cdot 3 \cdot 2160,0 = 26,57 \text{ kN}$$

$$\Delta H_2 = \phi \cdot m \cdot N_{Ed,2} = 0,0041 \cdot 3 \cdot 2160,0 = 26,57 \text{ kN}$$

$$\Delta H_3 = \phi \cdot m \cdot N_{Ed,3} = 0,0041 \cdot 3 \cdot 2160,0 = 26,57 \text{ kN}$$

$$\Delta H_4 = \phi \cdot m \cdot N_{Ed,4} = 0,0041 \cdot 3 \cdot 2160,0 = 26,57 \text{ kN}$$

$$\Delta H_5 = \phi \cdot m \cdot N_{Ed,5} = 0,0041 \cdot 3 \cdot 2160,0 = 26,57 \text{ kN}$$

$$\Delta H_6 = \phi \cdot m \cdot N_{Ed,6} = 0,0041 \cdot 3 \cdot 1440,0 = 17,71 \text{ kN}$$

8.1.3 Imperfekcije od korisnog opterećenja

Tablica 20. Tlačne sile u stupovima po etažama za korisno opterećenje

Etaža	N _{Ed} [kN]
6	432,0
5	1008,0
4	1440,0
3	1440,0
2	1440,0

1	1440,0
---	--------

Ekvivalentna sila za uporabno opterećenje u x smjeru:

$$\Delta H_1 = \phi \cdot m \cdot N_{Ed,1} = 0,0038 \cdot 6 \cdot 1440,0 = 32,83 \text{ kN}$$

$$\Delta H_2 = \phi \cdot m \cdot N_{Ed,2} = 0,0038 \cdot 6 \cdot 1440,0 = 32,83 \text{ kN}$$

$$\Delta H_3 = \phi \cdot m \cdot N_{Ed,3} = 0,0038 \cdot 6 \cdot 1440,0 = 32,83 \text{ kN}$$

$$\Delta H_4 = \phi \cdot m \cdot N_{Ed,4} = 0,0038 \cdot 6 \cdot 1440,0 = 32,83 \text{ kN}$$

$$\Delta H_5 = \phi \cdot m \cdot N_{Ed,5} = 0,0038 \cdot 6 \cdot 1008,0 = 22,98 \text{ kN}$$

$$\Delta H_6 = \phi \cdot m \cdot N_{Ed,6} = 0,0038 \cdot 6 \cdot 432,0 = 9,85 \text{ kN}$$

Ekvivalentna sila za uporabno opterećenje u y smjeru:

$$\Delta H_1 = \phi \cdot m \cdot N_{Ed,1} = 0,0041 \cdot 3 \cdot 1440,0 = 17,71 \text{ kN}$$

$$\Delta H_2 = \phi \cdot m \cdot N_{Ed,2} = 0,0041 \cdot 3 \cdot 1440,0 = 17,71 \text{ kN}$$

$$\Delta H_3 = \phi \cdot m \cdot N_{Ed,3} = 0,0041 \cdot 3 \cdot 1440,0 = 17,71 \text{ kN}$$

$$\Delta H_4 = \phi \cdot m \cdot N_{Ed,4} = 0,0041 \cdot 3 \cdot 1440,0 = 17,71 \text{ kN}$$

$$\Delta H_5 = \phi \cdot m \cdot N_{Ed,5} = 0,0041 \cdot 3 \cdot 1008,0 = 12,40 \text{ kN}$$

$$\Delta H_6 = \phi \cdot m \cdot N_{Ed,6} = 0,0041 \cdot 3 \cdot 432,0 = 5,31 \text{ kN}$$

8.1.4 Imperfekcije od snijega

Tablica 21. Tlačne sile u stupovima po etažama za korisno opterećenje

Etaža	N _{Ed} [kN]
6	720,0
5	0,0
4	0,0
3	0,0
2	0,0
1	0,0

Ekvivalentna sila za stalno opterećenje u x smjeru:

$$\Delta H_6 = \phi \cdot m \cdot N_{Ed,6} = 0,0038 \cdot 6 \cdot 720,0 = 16,42 \text{ kN}$$

Ekvivalentna sila za stalno opterećenje u y smjeru:

$$\Delta H_6 = \phi \cdot m \cdot N_{Ed,6} = 0,0041 \cdot 3 \cdot 720,0 = 8,86 \text{ kN}$$

Sile H_i dodaju se ostalim horizontalnim djelovanjima. Mogu se raspodijeliti po rubovima okomitima na smjer djelovanja sile i-te etaže.

$$q_{Edx,i} = \frac{H_{x,i}}{L_y}, \text{ odnosno } q_{Edy,i} = \frac{H_{y,i}}{L_x}$$

Opterećenje po etaži:

$$L_x = 40\text{m}$$

$$L_y = 18\text{m}$$

8.2 Ulazni podaci za provedbu analize

Tablica 22. Opterećenja na konstrukciju

Naziv	Spec	Grupa opterećenja
vlastita težina		stalno
vlastita težina1		stalno
svjež beton		Construction
suhu beton		stalno
uporabno	Standardno	uporabno
uporabno međukatna	Standardno	uporabno
stalno		stalno
snijeg	Snijeg	snijeg
vjetar slučaj 1	Standardno	vjetar
vjetar slučaj 2	Standardno	vjetar
vjetar slučaj 3	Standardno	vjetar
vjetar slučaj 4	Standardno	vjetar
uporabno krov	Standardno	uporabno
Imperfekcija_stalno_x		stalno
Imperfekcija_stalno_y		stalno
Imperfekcija_uporabno_x	Standardno	uporabno
Imperfekcija_uporabno_y	Standardno	uporabno
Imperfekcija_snijeg_x	Standardno	snijeg
Imperfekcija_snijeg_y	Standardno	snijeg
potres x	Seizmičnost	potres
potres x_AE	Seizmički izvanredni ekscentricitet	potres x_AE
potres y	Seizmičnost	potres
potres y_AE	Seizmički izvanredni ekscentricitet	potres y_AE
potres x1	Seizmičnost	potres
potres x1_AE	Seizmički izvanredni ekscentricitet	potres x1_AE
potres y1	Seizmičnost	potres
potres y1_AE	Seizmički izvanredni ekscentricitet	potres y1_AE

Tablica 23. Slučaj opterećenja za kombinaciju mase

Naziv	Slučaj opterećenja
M_DS	stalno - uporabna faza
M_SB	suhu beton - uporabno
M_Q	uporabno međukatna - uporabna faza
M_VT	vlastita težina1 - uporabna faza
M_Q2	uporabno krov - uporabna faza

Tablica 24. Kombinacija mase

Naziv	Grupa mase	Koef. [-]
Kombinacija masa	M_VT	1,000
	M_DS	1,000
	M_SB	1,000
	M_Q	0,300
	M_Q2	0,300

Zbog velikog broja kombinacija opterećenja njihov ispis je dan u prilogu A na kraju rada.

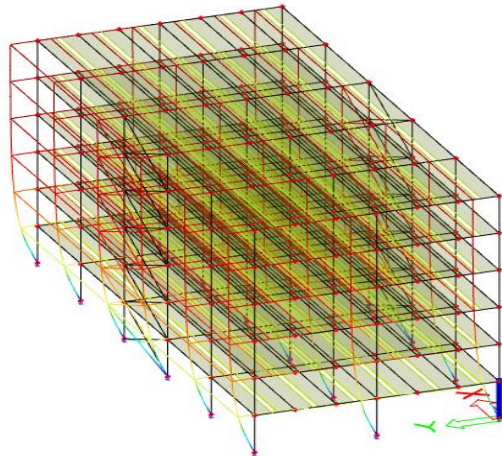
8.3 Klasifikacija okvira

Klasifikacija okvira provedena je na temelju kriterija pomičnosti, razlikujući pomični i nepomični okvir. Prema EC3, konstrukcija se smatra nepomičnom ako je zadovoljen uvjet $\alpha_{cr} \geq 10$ za elastičnu analizu i $\alpha_{cr} \geq 15$ za plastičnu analizu.

Analiza je provedena za sve kombinacije graničnog stanja nosivosti te je ispalo kako je kritični množitelj za prvi globalni mod izvijanja unutar raspona $3 < \alpha_{cr} < 10$.

Prema tome konstrukcija se klasificira kao pomična te se u proračunu moraju uzeti učinci drugog reda. $P - \Delta$ učinci se uzimaju u obzir numeričkim putem.

Za kombinaciju CO7 prvi globalni mod izvijanja je Mod 1, a faktor elastičnog kritičnog opterećenja iznosi $\alpha_{cr} = 4,13$



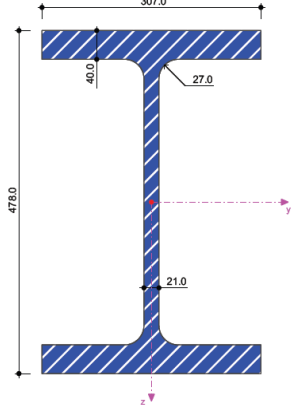
Slika 43. Globalni mod izvijanja za kombinaciju CO7

9 STATIČKI PRORAČUN KONSTRUKCIJE

9.1 Dimenzioniranje stupa

Tablica 25. Geometrijske karakteristike poprečnog presjeka

Duljina eleminta:	$L=3,6 \text{ m}$	
Poprečni presjek:	HEM 450	
Tip profila:	Toplo dogotovljeni	
Visina profila:	$h= 478 \text{ mm}$	
Širina profila:	$b= 307 \text{ mm}$	
Debljina pojasnice:	$t_f = 40,0 \text{ mm}$	
Debljina hrpta:	$t_w = 21,0 \text{ mm}$	
Radius zaobljenja:	$r= 27 \text{ mm}$	
Težina po m:	$G= 263 \text{ kg/m}$	
Površina poprečnog presjeka:	$A= 335 \text{ cm}^2$	
Torsionska konstanta:	$I_t = 1530 \text{ cm}^4$	
Konstanta krivljenja:	$I_w = 9250000 \text{ cm}^6$	
Moment entinercije:	$I_y = 132000 \text{ cm}^4$	$I_z = 19300 \text{ cm}^4$
Moment entotpora:	$W_y = 5500 \text{ cm}^3$	$W_z = 1260 \text{ cm}^3$
Plastični moment entotpora:	$W_{pl,y} = 6330 \text{ cm}^3$	$W_{pl,z} = 1940 \text{ cm}^3$
Radius tromosti:	$i_y = 19,8 \text{ cm}$	$i_z = 7,59 \text{ cm}$



Čelik: S355

$$f_y = 35,5 \text{ kN/cm}^2$$

$$f_u = 51,0 \text{ kN/cm}^2$$

$$E = 21000 \text{ kN/cm}^2$$

$$G = 8100 \text{ kN/cm}^2$$

$$\varepsilon = \sqrt{235 / f_y} = \sqrt{235 / 355} = 0,81$$

$$\nu = 0,3$$

Tablica 26. Mjerodavne sile za dimenzioniranje stupa

Tip opterećenja	Slučaj	Iznos
Uzdužna sila N_{Ed}	CO 7	6968,17 kN
Poprečna sila $V_{Ed,z}$	CO 7	105,71 kN
Momententsavijanja $M_{Ed,y}$	CO 24	380,56 kNm
Pomak u_x	CO 29	4,1 mm
Pomak u_y	CO 26	11,1 mm

9.1.1 Klasifikacija poprečnog presjeka

Hrbat

$$\frac{c}{t} = \frac{h - 2 \cdot t_f - 2 \cdot r}{t_w} = \frac{478,0 - 2 \cdot 40,0 - 2 \cdot 27,0}{21,0} = 16,38$$

Uvjet za klasu 1.:

$$\frac{c}{t} = 16,38 \leq 33 \cdot \varepsilon = 33 \cdot 0,81 = 26,73$$

Hrbat je klase 1.

Pojasnica

$$\frac{c}{t} = \frac{\frac{b - t_w - 2 \cdot r}{2}}{\frac{t_f}{40,0}} = \frac{\frac{307,0 - 21,0 - 2 \cdot 27,0}{2}}{40,0} = 2,9$$

Uvjet za klasu 1.:

$$\frac{c}{t} = 2,9 \leq 9 \cdot \varepsilon = 9 \cdot 0,81 = 7,29$$

Pojasnica je klase 1.

Poprečni presjek je klase 1.

9.1.2 Otpornost poprečnog presjeka

Otpornost poprečnog presjeka u tlaku

$$N_{c,Rd} = N_{p,ly,Rd} = \frac{A \cdot f_y}{\gamma_{M0}} = \frac{335,0 \cdot 35,5}{1,0} = 11892,5 \text{ kN}$$

Uvjet:

$$\frac{N_{Ed}}{N_{cRd}} = \frac{6968,17}{11892,5} = 0,59 < 1,0$$

Uvjet je zadovoljen!

Otpornost poprečnog presjeka na savijanje

$$M_{cNyRd} = M_{plyRd} = \frac{W_{ply} \cdot f_y}{\gamma_{M0}} = \frac{6330 \cdot 35,5}{1,0} = 224715 \text{ kNm} = 2247,15 \text{ kNm}$$

Uvjet:

$$\frac{M_{Ed}}{M_{cNyRd}} = \frac{380,56}{2247,15} = 0,17 < 1,0$$

Uvjet je zadovoljen!

Otpornost poprečnog presjeka na posmik

$$\frac{h_w}{t_w} < 72 \cdot \frac{\epsilon}{\eta}$$

$$h_w = h - 2 \cdot t_f = 478,0 - 2 \cdot 40,0 = 398,0 \text{ mm}$$

$$\eta = 1,2$$

$$\frac{h_w}{t_w} = \frac{398,0}{21,0} = 18,95 < 72 \cdot \frac{0,81}{1,2} = 48,6$$

Nije potrebna provjera izbočavanja hrpta na posmik

Plastična posmična otpornost:

$$V_{cRd} = V_{plzRd} = \frac{A_v \cdot \frac{f_y}{\sqrt{3}}}{\gamma_{M0}}$$

$$A_v = A - 2 \cdot b \cdot t_f + (t_w + 2 \cdot r) \cdot t_f \geq \eta \cdot h_w \cdot t_w$$

$$\eta = 1,2$$

$$A_v = 335,0 - 2 \cdot 30,7 \cdot 4,0 + (2,1 + 2 \cdot 2,7) \cdot 4,0 = 119,4 \text{ cm}^2 \geq 1,2 \cdot 39,8 \cdot 2,1 = 100,3 \text{ cm}^2$$

$$V_{cRd} = V_{plzRd} = \frac{119,4 \cdot \frac{35,5}{\sqrt{3}}}{1,0} = 2447,21$$

Uvjet:

$$\frac{V_{z,Ed}}{V_{plz,Rd}} = \frac{105,71}{2447,21} = 0,04 < 1,0$$

Uvjet je zadovoljen!

Interakcija N/V/M

Poprečna sila:

Uvjet reduciranja plastične otpornosti savijanja:

$$V_{Ed} \leq 0,5 \cdot V_{plRd}$$

$$V_{z,Ed} = 105,71 < 0,5 \cdot 2447,21 = 11223,61$$

Uvjet je zadovoljen, otpornost poprečnog presjeka se ne smanjuje!

Uzdužna sila:

$$N_{Ed} \leq 0,25 \cdot N_{c,Rd}$$

$$N_{Ed} \leq \frac{0,5 \cdot h_w \cdot t_w \cdot f_y}{\gamma_m 0}$$

$$N_{Ed} = 6968,17 > 0,25 \cdot 11892,5 = 2973,13$$

$$N_{Ed} = 6968,17 > \frac{0,5 \cdot 39,8 \cdot 2,1 \cdot 35,5}{1,0} = 1483,55$$

Uvjeti nisu zadovoljeni, s toga vrijedi:

$$M_{yVNRd} = M_{plyRd} \cdot \frac{1-n}{1-0,5 \cdot a} \leq M_{plyRd}$$

$$n = \frac{N_{Ed}}{N_{c,Rd}} = \frac{6968,17}{11892,5} = 0,59$$

$$a = \frac{A - 2 \cdot b \cdot t_f}{A} = \frac{335 - 2 \cdot 30,7 \cdot 4,0}{335} = 0,27 < 0,5$$

$$M_{yVNRd} = 2247,15 \cdot \frac{1-0,59}{1-0,5 \cdot 0,27} = 1065,12 \leq 2247,15$$

Uvjet:

$$\frac{M_{Ed}}{M_{yVNRd}} = \frac{380,56}{1065,12} = 0,36 < 1,0$$

Uvjet je zadovoljen!

9.1.3 Otpornost elementa

Otpornost elementa na izvijanje:

Elastična kritična sila:

$$N_{cr} = \frac{\pi^2 \cdot EI}{L_{cr}^2}$$

Bezdimenzijska vitkost:

$$\bar{\lambda} = \sqrt{\frac{A \cdot f_y}{N_{cr}}}$$

Izvijanje oko osi y

Kritična dužina izvijanja $L_{cr,y} = 360 \text{ cm}$

$$N_{cr,y} = \frac{\pi^2 \cdot E \cdot I_y}{L_{cr,y}^2} = \frac{\pi^2 \cdot 21000 \cdot 132000}{360^2} = 211099 \text{ kN}$$

$$\bar{\lambda}_y = \sqrt{\frac{A \cdot f_y}{N_{cr,y}}} = \sqrt{\frac{335 \cdot 35,5}{211099}} = 0,24$$

Mjerodavna krivulja izvijanja:

$$\frac{h}{b} = \frac{478,0}{307,0} = 1,56 > 1,2$$

$$t_f = 40,0 \text{ mm} \leq 40,0 \text{ mm}$$

Krivulja izvijanja: a → faktor imperfekcije $\alpha = 0,21$

Pomoćna veličina:

$$\phi_y = 0,5 \cdot \left[1 + \alpha \cdot (\bar{\lambda}_y - 0,2) + \bar{\lambda}_y^2 \right] = 0,5 \cdot \left[1 + 0,21 \cdot (0,24 - 0,2) + 0,24^2 \right] = 0,53$$

Faktor redukcije:

$$\chi_y = \frac{1,0}{\phi_y + \sqrt{\phi_y^2 - \bar{\lambda}_y^2}} = \frac{1,0}{0,53 + \sqrt{0,53^2 - 0,24^2}} = 0,98 \leq 1,0$$

Proračunska otpornost

$$N_{b,y,Rd} = \chi_y \cdot \frac{A \cdot f_y}{\gamma_{M1}} = 0,98 \cdot \frac{335,0 \cdot 35,5}{1,1} = 10595,14 \text{ kN}$$

Uvjet:

$$\frac{N_{Ed}}{N_{b,y,Rd}} = \frac{6968,17}{10595,14} = 0,66 < 1,0$$

Uvjet je zadovoljen!

Izvijanje oko osi z

Kritična dužina izvijanja $L_{cr,z} = 360 \text{ cm}$

$$N_{cr,z} = \frac{\pi^2 \cdot E \cdot I_z}{L_{cr,z}^2} = \frac{\pi^2 \cdot 21000 \cdot 19300}{360^2} = 30865,36 \text{ kN}$$

$$\bar{\lambda}_z = \sqrt{\frac{A \cdot f_y}{N_{cr,z}}} = \sqrt{\frac{335 \cdot 35,5}{30865}} = 0,61$$

Mjerodavna krivulja izvijanja:

$$\frac{h}{b} = \frac{478,0}{307,0} = 1,56 > 1,2$$

$$t_f = 40,0 \text{ mm} \leq 40,0 \text{ mm}$$

Krivulja izvijanja: b → faktor imperfekcije $\alpha = 0,34$

Pomoćna veličina:

$$\phi_z = 0,5 \cdot \left[1 + \alpha \cdot (\bar{\lambda}_z - 0,2) + \bar{\lambda}_z^2 \right] = 0,5 \cdot \left[1 + 0,34 \cdot (0,61 - 0,2) + 0,61^2 \right] = 0,76$$

Faktor redukcije:

$$\chi_z = \frac{1,0}{\phi_z + \sqrt{\phi_z^2 - \bar{\lambda}_z^2}} = \frac{1,0}{0,76 + \sqrt{0,76^2 - 0,61^2}} = 0,9 \leq 1,0$$

Proračunska otpornost

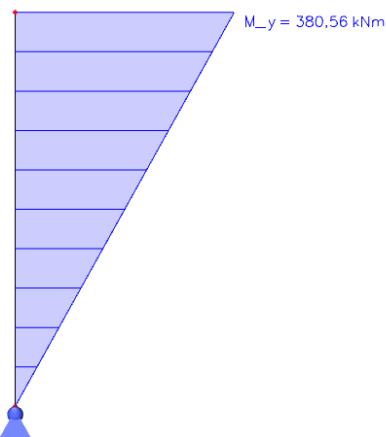
$$N_{b,z,Rd} = \chi_z \cdot \frac{A \cdot f_y}{\gamma_{M1}} = 0,9 \cdot \frac{335,0 \cdot 35,5}{1,1} = 9730,23 \text{ kN}$$

Uvjet:

$$\frac{N_{Ed}}{N_{b,z,Rd}} = \frac{6968,17}{9730,23} = 0,72 < 1,0$$

Uvjet je zadovoljen!

Otpornost elementa na savijanje:



Slika 44. Dijagram momenta savijanja $M_{Ed,y}$ stupa

Elastični kritični moment:

$$M_{cr} = C_1 \cdot \frac{\pi^2 \cdot EI_z}{(k \cdot L_{cr})^2} \left[\sqrt{\left(\frac{k}{k_w} \right)^2 \cdot \frac{I_w}{I_z} + \frac{(k \cdot L_{cr})^2 \cdot G \cdot I_t}{\pi^2 \cdot EI_z} + C_2 \cdot z_g^2} - C_2 \cdot z_g \right]$$

Razmak bočnog pridržanja: $L_{cr} = 360$ cm

Mjesto unosa sile: $z_g = 0$

Faktor efektivne dužine: $k=1,0$; $k_w=1,0$

Faktori ovisni o uvjetima opterećenja ($\psi = 0$): $C_1 = 1,77$

$$M_{cr} = 1,77 \cdot \frac{\pi^2 \cdot 21000 \cdot 19300}{(1,0 \cdot 360)^2} \left[\sqrt{\left(\frac{1,0}{1,0} \right)^2 \cdot \frac{9250000}{19300} + \frac{1,0 \cdot 360^2 \cdot 8100 \cdot 1530}{\pi^2 \cdot 21000 \cdot 19300}} \right] = \\ = 1621367,5 \text{ kNm} = 16213,68 \text{ kNm}$$

Bezdimenzijska vitkost:

$$\overline{\lambda}_{IT} = \sqrt{\frac{W_{pl,\gamma} \cdot f_y}{M_{cr}}} = \sqrt{\frac{6330 \cdot 35,5}{16213,68}} = 0,36 \leq \overline{\lambda}_{IT,\rho} = 0,4$$

Ne zahtijeva provjeru elementa na BTI.

Za valjani profil $\frac{h}{b} = \frac{478,0}{307,0} = 1,56 \leq 2,0$, mjerodavna krivulja izvijanja je a $\rightarrow \alpha_{IT} = 0,21$

$$\chi_{LT} = \frac{1}{\phi_{LT} + \sqrt{\phi_{LT}^2 - \bar{\lambda}_{LT}^2}} \leq 1,0$$

$$\phi_{LT} = 0,5 \cdot \left[1 + \alpha_{LT} \cdot (\bar{\lambda}_{LT} - 0,2) + \bar{\lambda}_{LT}^2 \right]$$

$$\phi_{LT} = 0,5 \cdot \left[1 + 0,21 \cdot (0,36 - 0,2) + 0,36^2 \right] = 0,58$$

$$\chi_{LT} = \frac{1}{0,58 + \sqrt{0,58^2 - 0,36^2}} = 0,98 \leq 1,0$$

Otpornost na savijanje:

$$M_{b,Rd} = \chi_{LT} \cdot \frac{W_{pl,y} \cdot f_y}{\gamma_{M1}} = 0,98 \cdot \frac{6330 \cdot 35,5}{1,1} = 200200 \text{ kNm} = 2002,0 \text{ kNm}$$

Uvjet:

$$\frac{M_{y,Ed}}{M_{b,Rd}} = \frac{380,56}{2002,0} = 0,19 < 1,0$$

Uvjet je zadovoljen!

Otpornost elementa na interakciju momenta savijanja i uzdužne sile (Metoda 2)

$$\frac{N_{Ed}}{\chi_y \cdot \frac{N_{Rk}}{\gamma_{M1}}} + k_{yy} \cdot \frac{M_{y,Ed}}{\chi_{LT} \cdot \frac{M_{y,Rk}}{\gamma_{M1}}} \leq 1,0$$

$$\frac{N_{Ed}}{\chi_z \cdot \frac{N_{Rk}}{\gamma_{M1}}} + k_{zy} \cdot \frac{M_{y,Ed}}{\chi_{LT} \cdot \frac{M_{y,Rk}}{\gamma_{M1}}} \leq 1,0$$

$$\psi = 0$$

$$C_{my} = C_{m,LT} = 0,6 + 0,4 \cdot \psi = 0,6 + 0,4 \cdot 0 = 0,6 \geq 0,4$$

$$k_{yy} = C_{my} \cdot \left(1 + \left(\bar{\lambda}_y - 0,2 \right) \cdot \frac{N_{Ed}}{\chi_y \cdot \frac{N_{Rk}}{\gamma_{M1}}} \right) \leq C_{my} \cdot \left(1 + 0,8 \cdot \frac{N_{Ed}}{\chi_y \cdot \frac{N_{Rk}}{\gamma_{M1}}} \right)$$

$$k_{yy} = 0,6 \cdot \left(1 + (0,24 - 0,2) \cdot 0,66 \right) = 0,62 \leq 0,6 \cdot (1 + 0,8 \cdot 0,66) = 0,92$$

$$k_{zy} = 0,6 \cdot k_{yy} = 0,6 \cdot 0,62 = 0,37$$

Uvjet:

$$\frac{N_{Ed}}{\chi_y \cdot \gamma_{M1}} + k_{yy} \cdot \frac{M_{yEd}}{M_{yRk}} \leq 1,0$$

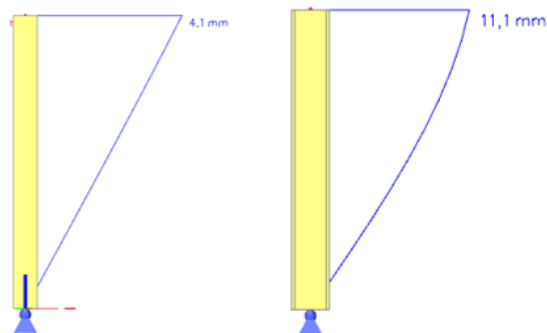
$$0,66 + 0,62 \cdot 0,19 = 0,78 \leq 1,0$$

$$\frac{N_{Ed}}{\chi_z \cdot \gamma_{M1}} + k_{zy} \cdot \frac{M_{yEd}}{M_{yRk}} \leq 1,0$$

$$0,72 + 0,37 \cdot 0,19 = 0,79 \leq 1,0$$

Uvjet je zadovoljen!

9.1.4 Kontrola pomaka (GSU)



Slika 45. Pomak stupa u smjeru x i y

Maksimalni dopušteni pomak:

$$u_{max,dop} = \frac{h}{150} = \frac{3600}{150} = 24 \text{ mm}$$

Uvjet:

$$u_{x,max} = 4,1 \text{ mm} < u_{max,dop} = 24 \text{ mm}$$

$$u_{y,max} = 11,1 \text{ mm} < u_{max,dop} = 24 \text{ mm}$$

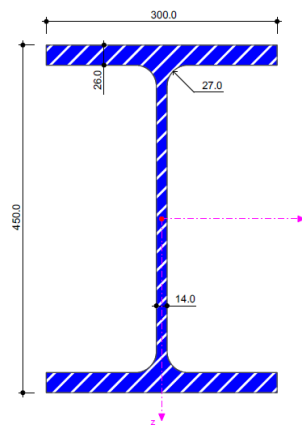
Uvjeti je zadovoljeni!

Usvojen profil stupa: HEM450.

9.2 Dimenzioniranje glavnog nosača

Tablica 27. Geometrijske karakteristike poprečnog presjeka

Duljina eleminta:	L=9 m
Poprečni presjek:	HEB 450
Tip profila:	Toplo dogotovljeni
Visina profila:	h= 450 mm
Širina profila:	b= 300 mm
Debljina pojasnice:	t _f = 26,0 mm
Debljina hrpta:	t _w = 14,0 mm
Radius zaobljenja:	r= 27 mm
Težina po m :	G= 171 kg/m
Površina poprečnog presjeka:	A= 218 cm ²
Torzijska konstanta:	I _t = 448 cm ⁴
Konstanta krivuljenja:	I _w = 5260000 cm ⁶
Mom entinerije:	I _y = 79900 cm ⁴
Mom entopora:	W _y = 3550 cm ³
Plastičnim mom entopora:	W _{ply} = 3980 cm ³
Radius trom osti:	i _y = 19,1 cm
	i _z = 7,33 cm



Čelik: S355

$$f_y = 35,5 \text{ kN/cm}^2$$

$$f_u = 51,0 \text{ kN/cm}^2$$

$$E = 21000 \text{ kN/cm}^2$$

$$G = 8100 \text{ kN/cm}^2$$

$$\varepsilon = \sqrt{235 / f_y} = \sqrt{235 / 355} = 0,81$$

$$\nu = 0,3$$

Tablica 28. Mjerodavne sile za dimenzioniranje glavnog nosača

Tip opterećenja	Slučaj	Iznos
Uzdužna sila N_{Ed}	CO2	267,6 kN
Poprečna sila $V_{Ed,z}$	CO2	395,76 kN
Moment savijanja $M_{Ed,y}$	CO2	950,66 kNm
Pomak u_z	CO39	17,9 mm

9.2.1 Klasifikacija poprečnog presjeka

Hrbat

$$\frac{c}{t} = \frac{h - 2 \cdot t_f - 2 \cdot r}{t_w} = \frac{450,0 - 2 \cdot 26,0 - 2 \cdot 27,0}{14,0} = 24,57$$

Uvjet za klasu 1.:

$$\frac{c}{t} = 24,57 \leq 38 \cdot \varepsilon = 33 \cdot 0,81 = 26,73$$

Hrbat je klase 1.

Pojasnica

$$\frac{c}{t} = \frac{\frac{b - t_w - 2 \cdot r}{2}}{t_f} = \frac{\frac{300,0 - 14,0 - 2 \cdot 27,0}{2}}{26,0} = 4,46$$

Uvjet za klasu 1.:

$$\frac{c}{t} = 4,46 \leq 9 \cdot \varepsilon = 9 \cdot 0,81 = 7,29$$

Pojasnica je klase 1.

Poprečni presjek je klase 1.

9.2.2 Otpornost poprečnog presjeka

Otpornost poprečnog presjeka u tlaku

$$N_{c,Rd} = N_{ply,Rd} = \frac{A \cdot f_y}{\gamma_m} = \frac{218,0 \cdot 35,5}{1,0} = 7739,0 kN$$

Uvjet:

$$\frac{N_{Ed}}{N_{cRd}} = \frac{267,6}{7739,0} = 0,03 < 1,0$$

Uvjet je zadovoljen!

Otpornost poprečnog presjeka na savijanje

$$M_{cNyRd} = M_{plyRd} = \frac{W_{ply} \cdot f_y}{\gamma_{M0}} = \frac{3980,0 \cdot 35,5}{1,0} = 141290 \text{ kNm} = 1412,9 \text{ kNm}$$

Uvjet:

$$\frac{M_{Ed}}{M_{cNyRd}} = \frac{950,66}{1412,9} = 0,67 < 1,0$$

Uvjet je zadovoljen!

Otpornost poprečnog presjeka na posmik

$$\frac{h_w}{t_w} < 72 \cdot \frac{\varepsilon}{\eta}$$

$$h_w = h - 2 \cdot t_f = 450,0 - 2 \cdot 26,0 = 398,0 \text{ mm}$$

$$\eta = 1,2$$

$$\frac{h_w}{t_w} = \frac{398,0}{14,0} = 28,43 < 72 \cdot \frac{0,81}{1,2} = 48,6$$

Nije potrebna provjera izbočavanja hrpta na posmik

Plastična posmična otpornost:

$$V_{cRd} = V_{plzRd} = \frac{A_v \cdot \frac{f_y}{\sqrt{3}}}{\gamma_{M0}}$$

$$A_v = A - 2 \cdot b \cdot t_f + (t_w + 2 \cdot r) \cdot t_f \geq \eta \cdot h_w \cdot t_w$$

$$\eta = 1,2$$

$$A_v = 218,0 - 2 \cdot 30,0 \cdot 2,6 + (1,4 + 2 \cdot 2,7) \cdot 2,6 = 79,68 \text{ cm}^2 \geq 1,2 \cdot 39,8 \cdot 1,4 = 66,86 \text{ cm}^2$$

$$V_{cRd} = V_{plzRd} = \frac{79,68 \cdot \frac{35,5}{\sqrt{3}}}{1,0} = 1633,12$$

Uvjet:

$$\frac{V_{z,Ed}}{V_{plz,Rd}} = \frac{395,76}{1633,12} = 0,24 < 1,0$$

Uvjet je zadovoljen!

Interakcija N/V/M

Poprečna sila:

Uvjet reducirana plastične otpornosti savijanja:

$$V_{Ed} \leq 0,5 \cdot V_{plRd}$$

$$V_{z,Ed} = 395,76 < 0,5 \cdot 1633,12 = 816,56$$

Uvjet je zadovoljen, otpornost poprečnog presjeka se ne smanjuje

Uzdužna sila:

$$N_{Ed} \leq 0,25 \cdot N_{c,Rd}$$

$$N_{Ed} \leq \frac{0,5 \cdot h_w \cdot t_w \cdot f_y}{\gamma_m 0}$$

$$N_{Ed} = 267,6 < 0,25 \cdot 7739,0 = 1934,75$$

$$N_{Ed} = 265,74 < \frac{0,5 \cdot 39,8 \cdot 1,4 \cdot 35,5}{1,0} = 989,03$$

Uvjeti su zadovoljeni!

$$M_{y,V,N,Rd} = M_{pl,y,Rd} = 1412,9 \text{ kNm}$$

Uvjet:

$$\frac{M_{Ed}}{M_{c,N,Rd}} = \frac{950,66}{1412,9} = 0,67 < 1,0$$

Uvjet je zadovoljen!

9.2.3 Otpornost elementa

Otpornost elementa na izvijanje:

Elastična kritična sila:

$$N_{cr} = \frac{\pi^2 \cdot EI}{L_{cr}^2}$$

Bezdimenzijska vitkost:

$$\bar{\lambda} = \sqrt{\frac{A \cdot f_y}{N_{cr}}}$$

Izvijanje oko osi yKritična dužina izvijanja $L_{cr,y} = 900 \text{ cm}$

$$N_{cr,y} = \frac{\pi^2 \cdot E \cdot I_y}{L_{cr,y}^2} = \frac{\pi^2 \cdot 21000 \cdot 79900}{900^2} = 20444,7 \text{ kN}$$

$$\bar{\lambda}_y = \sqrt{\frac{A \cdot f_y}{N_{cr,y}}} = \sqrt{\frac{218,0 \cdot 35,5}{20444,7}} = 0,62$$

Mjerodavna krivulja izvijanja:

$$\frac{h}{b} = \frac{450}{300,0} = 1,5 > 1,2$$

$$t_f = 26,0 \text{ mm} \leq 40,0 \text{ mm}$$

Krivulja izvijanja: a → faktor imperfekcije $\alpha = 0,21$

Pomoćna veličina:

$$\phi_y = 0,5 \cdot \left[1 + \alpha \cdot \left(\bar{\lambda}_y - 0,2 \right) + \bar{\lambda}_y^2 \right] = 0,5 \cdot \left[1 + 0,21 \cdot (0,62 - 0,2) + 0,62^2 \right] = 0,74$$

Faktor redukcije:

$$\chi_y = \frac{1,0}{\phi_y + \sqrt{\phi_y^2 - \bar{\lambda}_y^2}} = \frac{1,0}{0,74 + \sqrt{0,74^2 - 0,62^2}} = 0,87 \leq 1,0$$

Proračunska otpornost

$$N_{by,Rd} = \chi_y \cdot \frac{A \cdot f_y}{\gamma_{M1}} = 0,87 \cdot \frac{218 \cdot 35,5}{1,1} = 6120,85 \text{ kN}$$

Uvjet:

$$\frac{N_{Ed}}{N_{by,Rd}} = \frac{267,6}{6120,85} = 0,04 < 1,0$$

Uvjet je zadovoljen!

Izvijanje oko osi zKritična dužina izvijanja $L_{cr,z} = 300 \text{ cm}$

$$N_{cz} = \frac{\pi^2 \cdot E \cdot I_z}{L_{cz}^2} = \frac{\pi^2 \cdot 21000 \cdot 11700}{300^2} = 26944,02 \text{ kN}$$

$$\bar{\lambda}_z = \sqrt{\frac{A \cdot f_y}{N_{cz}}} = \sqrt{\frac{218 \cdot 35,5}{26944,02}} = 0,54$$

Mjerodavna krivulja izvijanja:

$$\frac{h}{b} = \frac{450}{300,0} = 1,5 > 1,2$$

$$t_f = 26,0 \text{ mm} \leq 40,0 \text{ mm}$$

Krivulja izvijanja: b → faktor imperfekcije $\alpha = 0,34$

Pomoćna veličina:

$$\phi_z = 0,5 \cdot \left[1 + \alpha \cdot (\bar{\lambda}_z - 0,2) + \bar{\lambda}_z^2 \right] = 0,5 \cdot \left[1 + 0,34 \cdot (0,54 - 0,2) + 0,54^2 \right] = 0,7$$

Faktor redukcije:

$$\chi_z = \frac{1,0}{\phi_z + \sqrt{\phi_z^2 - \bar{\lambda}_z^2}} = \frac{1,0}{0,7 + \sqrt{0,7^2 - 0,54^2}} = 0,87 \leq 1,0$$

Proračunska otpornost:

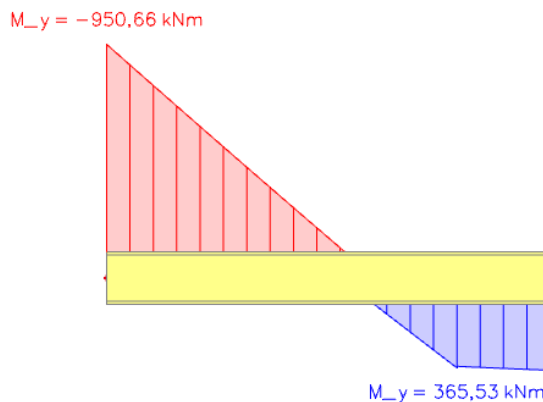
$$N_{bz,Rd} = \chi_z \cdot \frac{A \cdot f_y}{\gamma_m 1} = 0,87 \cdot \frac{218,0 \cdot 35,5}{1,1} = 6120,85 \text{ kN}$$

Uvjet:

$$\frac{N_{Ed}}{N_{bz,Rd}} = \frac{267,6}{6120,85} = 0,04 < 1,0$$

Uvjet je zadovoljen!

Otpornost elementa na savijanje:



Slika 46. Dijagram momenta savijanja $M_{Ed,y}$ glavnog nosača

Elastični kritični moment:

$$M_{cr} = C_1 \cdot \frac{\pi^2 \cdot EI_z}{(\kappa \cdot L_{cr})^2} \left[\sqrt{\left(\frac{k}{k_w} \right)^2 \cdot \frac{I_w}{I_z} + \frac{(\kappa \cdot L_{cr})^2 \cdot G \cdot I_t}{\pi^2 \cdot EI_z} + C_2 \cdot z_g^2} - C_2 \cdot z_g \right]$$

Razmak bočnog pridržanja: $L_{cr} = 300 \text{ cm}$

Mjesto unosa sile: $z_g = h/2 = 25 \text{ cm}$

Faktor efektivne dužine: $k=1,0; k_w=1,0$

Faktori ovisni o uvjetima opterećenja ($\psi = -0,38$): $C_1 = 2,19; C_2 = 0$

$$M_{cr} = 2,19 \cdot \frac{\pi^2 \cdot 21000 \cdot 11700}{(1,0 \cdot 300)^2} \left[\sqrt{\left(\frac{1,0}{1,0} \right)^2 \cdot \frac{5260000}{11700} + \frac{(1,0 \cdot 300)^2 \cdot 8100 \cdot 448}{\pi^2 \cdot 21000 \cdot 11700}} \right] = \\ = 1426285 \text{ kNm} = 14263 \text{ kNm}$$

Bezdimenzijska vitkost:

$$\overline{\lambda}_{IT} = \sqrt{\frac{W_{pl,y} \cdot f_y}{M_{cr}}} = \sqrt{\frac{3980 \cdot 355}{1426285}} = 0,31 < \overline{\lambda}_{IT,\rho} = 0,4$$

Element ne zahtjeva provjeru na BTI.

Za valjani profil $\frac{h}{b} = \frac{450,0}{300,0} = 1,5 \leq 2,0$, mjerodavna krivulja izvijanja je a $\rightarrow \alpha_{IT} = 0,21$

$$\chi_{LT} = \frac{1}{\phi_{LT} + \sqrt{\phi_{LT}^2 - \bar{\lambda}_{LT}^2}} \leq 1,0$$

$$\phi_{LT} = 0,5 \cdot \left[1 + \alpha_{LT} \cdot (\bar{\lambda}_{LT} - 0,2) + \bar{\lambda}_{LT}^2 \right]$$

$$\phi_{LT} = 0,5 \cdot \left[1 + 0,21 \cdot (0,31 - 0,2) + 0,31^2 \right] = 0,56$$

$$\chi_{LT} = \frac{1}{0,56 + \sqrt{0,56^2 - 0,31^2}} = 0,97 \leq 1,0$$

Otpornost na savijanje:

$$M_{b,Rd} = \chi_{LT} \cdot \frac{W_{pl,y} \cdot f_y}{\gamma_{M1}} = 0,97 \cdot \frac{3980,0 \cdot 35,5}{1,1} = 124592 kNm = 1245,92 kNm$$

Uvjet:

$$\frac{M_{y,Ed}}{M_{b,Rd}} = \frac{950,66}{1245,92} = 0,76 < 1,0$$

Uvjet je zadovoljen!

Otpornost elementa na interakciju momenta savijanja i uzdužne sile (Metoda 2)

$$\frac{N_{Ed}}{\chi_y \cdot \frac{N_{Rk}}{\gamma_{M1}}} + k_{yy} \cdot \frac{M_{y,Ed}}{\chi_{LT} \cdot \frac{M_{y,Rk}}{\gamma_{M1}}} \leq 1,0$$

$$\frac{N_{Ed}}{\chi_z \cdot \frac{N_{Rk}}{\gamma_{M1}}} + k_{zy} \cdot \frac{M_{y,Ed}}{\chi_{LT} \cdot \frac{M_{y,Rk}}{\gamma_{M1}}} \leq 1,0$$

$$\psi = \frac{-950,66}{365,53} = -0,38$$

$$C_{my} = C_{mLT} = 0,6 + 0,4 \cdot \psi = 0,6 + 0,4 \cdot (-0,38) = 0,45 \geq 0,4$$

$$k_{yy} = C_{my} \cdot \left(1 + \left(\overline{\lambda}_y - 0,2 \right) \cdot \frac{N_{Ed}}{\chi_y \cdot \frac{N_{Rk}}{\gamma_{M1}}} \right) \leq C_{my} \cdot \left(1 + 0,8 \cdot \frac{N_{Ed}}{\chi_y \cdot \frac{N_{Rk}}{\gamma_{M1}}} \right)$$

$$k_{yy} = 0,45 \cdot \left(1 + (0,62 - 0,2) \cdot 0,04 \right) = 0,45 \leq 0,45 \cdot (1 + 0,8 \cdot 0,04) = 0,46$$

$$k_{zy} = 0,6 \cdot k_{yy} = 0,6 \cdot 0,46 = 0,28$$

Uvjet:

$$\frac{N_{Ed}}{\chi_y \cdot \frac{N_{Rk}}{\gamma_{M1}}} + k_{yy} \cdot \frac{M_{yEd}}{\chi_{IT} \cdot \frac{M_{yRk}}{\gamma_{M1}}} \leq 1,0$$

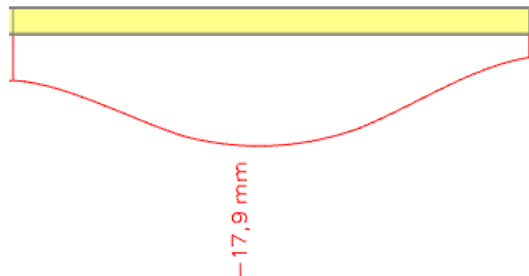
$$0,04 + 0,46 \cdot 0,76 = 0,39 \leq 1,0$$

$$\frac{N_{Ed}}{\chi_z \cdot \frac{N_{Rk}}{\gamma_{M1}}} + k_{zy} \cdot \frac{M_{yEd}}{\chi_{IT} \cdot \frac{M_{yRk}}{\gamma_{M1}}} \leq 1,0$$

$$0,04 + 0,28 \cdot 0,76 = 0,25 \leq 1,0$$

Uvjet je zadovoljen!

9.2.4 Kontrola pomaka (GSU)



Slika 47. Progib glavnog nosača

Maksimalni dopušteni pomak:

$$u_{max,dop} = \frac{L}{250} = \frac{9000}{250} = 36 \text{ mm}$$

Uvjet:

$$f=17,9 \text{ mm} < u_{\text{max,dop}} = 36 \text{ mm}$$

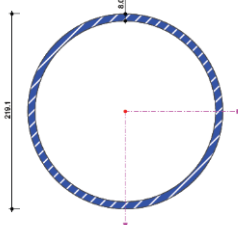
Uvjeti je zadovoljen!

Usvojen profil glavnog nosača: HEM450.

9.3 Dimenzioniranje veza

Tablica 29. Geometrijske karakteristike poprečnog presjeka

Duljina eleminta:	L=8,77 m
Poprečni presjek:	CHS 219,1x8,0
Tip profila:	Toplo dogotovljeni
Težina po m':	G= 41,6 kg/m'
Površina poprečnog presjeka:	A= 53,1 cm ²
Moment entroma osti:	I= 2960 cm ⁴
Moment entotpora:	W= 270 cm ⁴
Plastičnim momentom entotpora:	W _{pl} = 357 cm ⁴
Radius trom osti:	r= 7,47 cm



Celik: S355

$$f_y = 35,5 \text{ kN/cm}^2$$

$$f_u = 51,0 \text{ kN/cm}^2$$

$$E = 21000 \text{ kN/cm}^2$$

$$G = 8100 \text{ kN/cm}^2$$

$$\varepsilon = \sqrt{235 / f_y} = \sqrt{235 / 355} = 0,81$$

$$\nu = 0,3$$

Tablica 30. Mjerodavne sile za dimenzioniranje sprega

Tip opterećenja	Slučaj	Iznos
Uzdužna sila N _{ed}	CO13	585,12 kN

9.3.1 Klasifikacija poprečnog presjeka

$$\frac{d}{t} = \frac{219,1}{8,0} = 27,39$$

Uvjet za klasu 1.:

$$\frac{d}{t} = 27,39 \leq 50 \cdot \varepsilon^2 = 50 \cdot 0,81^2 = 32,81$$

Poprečni presjek je klase 1.

9.3.2 Otpornost poprečnog presjeka

Otpornost poprečnog presjeka u tlaku

$$N_{crd} = N_{pl,y,rd} = \frac{A \cdot f_y}{\gamma_m 0} = \frac{53,1 \cdot 35,5}{1,0} = 1885,05 \text{ kN}$$

Uvjet:

$$\frac{N_{Ed}}{N_{crd}} = \frac{585,12}{1885,05} = 0,31 < 1,0$$

Uvjet je zadovoljen!

9.3.3 Otpornost elementa

Otpornost elementa na izvijanje:

Elastična kritična sila:

$$N_{cr} = \frac{\pi^2 \cdot EI}{L_{cr}^2}$$

Bezdimenzijska vitkost:

$$\bar{\lambda} = \sqrt{\frac{A \cdot f_y}{N_{cr}}}$$

Izvijanje oko osi y

Kritična dužina izvijanja $L_{cr,y} = 877 \text{ cm}$

$$N_{cr,y} = \frac{\pi^2 \cdot E \cdot I_y}{L_{cr,y}^2} = \frac{\pi^2 \cdot 21000 \cdot 2960}{877^2} = 797,65 \text{ kN}$$

$$\bar{\lambda}_y = \sqrt{\frac{A \cdot f_y}{N_{cr,y}}} = \sqrt{\frac{53,1 \cdot 35,5}{797,65}} = 1,54$$

Krivulja izvijanja: $a \rightarrow$ faktor imperfekcije $\alpha = 0,21$

Pomoćna veličina:

$$\phi_y = 0,5 \cdot \left[1 + \alpha \cdot \left(\bar{\lambda}_y - 0,2 \right) + \bar{\lambda}_y^2 \right] = 0,5 \cdot \left[1 + 0,21 \cdot (1,54 - 0,2) + 1,54^2 \right] = 1,82$$

Faktor redukcije:

$$\chi_y = \frac{1,0}{\phi_y + \sqrt{\phi_y^2 - \bar{\lambda}_y^2}} = \frac{1,0}{1,82 + \sqrt{1,82^2 - 1,54^2}} = 0,35 \leq 1,0$$

Proračunska otpornost

$$N_{b,y,Rd} = \chi_y \cdot \frac{A \cdot f_y}{\gamma_{M1}} = 0,35 \cdot \frac{531 \cdot 355}{1,1} = 599,79 \text{ kN}$$

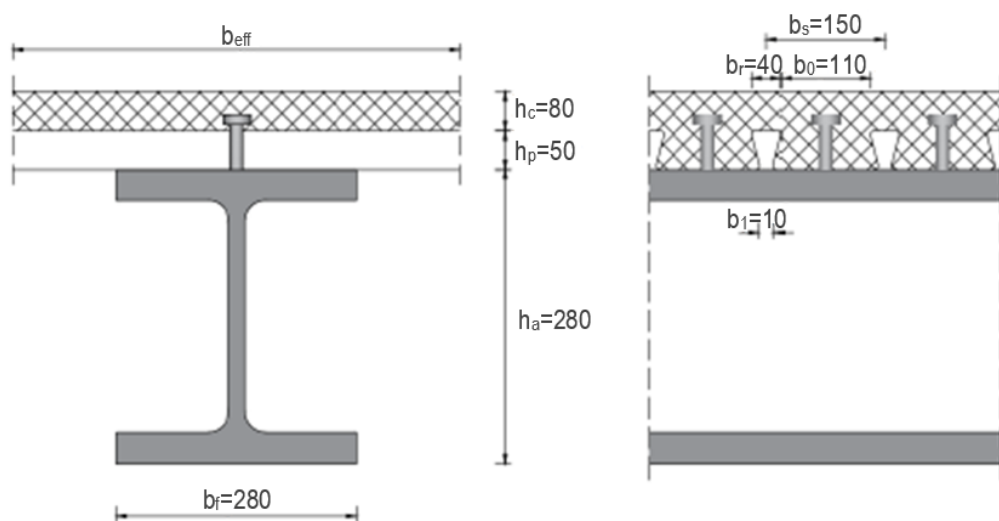
Uvjet:

$$\frac{N_{Ed}}{N_{b,y,Rd}} = \frac{585,12}{599,79} = 0,98 < 1,0$$

Uvjet je zadovoljen!

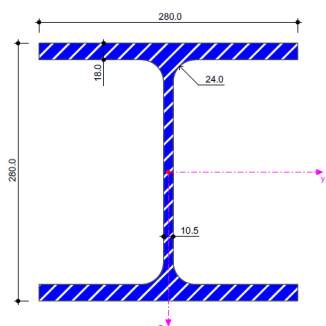
Usvojen profil sprega je: CHS 219,1x8.

9.4 Dimenzioniranje sekundarnog nosača



Slika 48. Poprečni presjek spregnutog nosača [12]**Tablica 31.** Geometrijske karakteristike poprečnog presjeka

Duljina eleminta:	$L=8 \text{ m}$
Poprečni presjek:	HEB 280
Tip profila:	Toplo dogotovljeni
Visina profila:	$h= 280 \text{ mm}$
Širina profila:	$b= 280 \text{ mm}$
Debljina pojasnice:	$t_f = 18,0 \text{ mm}$
Debljina hrpta:	$t_w = 10,5 \text{ mm}$
Radius zaobljenja:	$r= 24 \text{ mm}$
Težina po m :	$G= 103 \text{ kg/m }$
Površina poprečnog presjeka:	$A= 103 \text{ cm}^2$
Torzijska konstanta:	$I_t = 146 \text{ cm}^4$
Konstanta krivljenja:	$I_w = 1130000 \text{ cm}^6$
Mom entinerije:	$I_y = 19300 \text{ cm}^4$
Mom entotpora:	$W_y = 1380 \text{ cm}^3$
Plastičnim entotporom:	$W_{pl,y} = 1530 \text{ cm}^3$
Radius trom osti:	$i_y = 12,1 \text{ cm}$
	$I_z = 6600 \text{ cm}^4$
	$W_z = 471 \text{ cm}^3$
	$W_{pl,z} = 718 \text{ cm}^3$
	$i_z = 7,09 \text{ cm}$


Tablica 32. Mjerodavne sile za dimenzioniranje sekundarnog nosača u fazi izvedbe

Tip opterećenja	Slučaj	Ezno
Poprečna sila $V_{Ed,z}$	CO 65	73,68 kN
Momentsavijanje $M_{Ed,y}$	CO 65	148,32 kNm

Karakteristike materijala:

Beton C25/30 :

$$f_{ck} = 25 \text{ N/mm}^2$$

$$f_{cd} = 16,7 \text{ N/mm}^2$$

$$E_{cm} = 31000 \text{ N/mm}^2$$

Armatura:

$$f_{sk} = 500 \text{ N/mm}^2$$

$$f_{sd} = f_{sk} / \gamma_s = 500 / 1,15 = 435 \text{ N/mm}^2$$

Konstrukcijski čelik:

$$f_{yk} = 355 \text{ N/mm}^2$$

$$f_{yd} = f_{yk} / \gamma_M = 355 / 1,0 = 355 \text{ N/mm}^2$$

$$E_a = 210000 \text{ N/mm}^2/\text{m}$$

Moždanici:

$$f_u = 450 \text{ N/mm}^2$$

$$d = 20 \text{ mm}$$

$$h_{sc} = 80 \text{ mm}$$

9.4.1 Proračun za fazu izvedbe

Čelični nosač nije poduprt tijekom izvođenja

9.4.1.1 Klasifikacija poprečnog presjeka**Hrbat**

$$\frac{c}{t} = \frac{h - 2 \cdot t_f - 2 \cdot r}{t_w} = \frac{280,0 - 2 \cdot 18,0 - 2 \cdot 24,0}{10,5} = 18,67$$

Uvjet za klasu 1.:

$$\frac{c}{t} = 18,67 \leq 33 \cdot \varepsilon = 33 \cdot 0,81 = 26,73$$

Hrbat je klase 1.**Pojasnica**

$$\frac{c}{t} = \frac{\frac{b - t_w - 2 \cdot r}{2}}{\frac{t_f}{18,0}} = \frac{\frac{280,0 - 10,5 - 2 \cdot 24,0}{2}}{18,0} = 6,15$$

Uvjet za klasu 1.:

$$\frac{C}{t} = 6,15 \leq 9 \cdot \varepsilon = 9 \cdot 0,81 = 7,29$$

Pojasnica je klase 1.

Poprečni presjek je klase 1.

9.4.1.2 Otpornost poprečnog presjeka

Otpornost poprečnog presjeka na savijanje

$$M_{cyRd} = M_{pyRd} = \frac{W_{plw} \cdot f_y}{\gamma_m 0} = \frac{1530 \cdot 35,5}{1,0} = 54315 \text{ kNm} = 543,15 \text{ kNm}$$

Uvjet:

$$\frac{M_{Ed}}{M_{cyRd}} = \frac{148,32}{543,15} = 0,26 < 1,0$$

Uvjet je zadovoljen!

Otpornost poprečnog presjeka na posmik

$$\frac{h_w}{t_w} < 72 \cdot \frac{\varepsilon}{\eta}$$

$$h_w = h - 2 \cdot t_f = 280,0 - 2 \cdot 18,0 = 244,0 \text{ mm}$$

$$\eta = 1,2$$

$$\frac{h_w}{t_w} = \frac{244,0}{10,5} = 23,24 < 72 \cdot \frac{0,81}{1,2} = 48,6$$

Nije potrebna provjera izbočavanja hrpta na posmik

Plastična posmična otpornost:

$$V_{c,Rd} = V_{pl,z,Rd} = \frac{A_v \cdot \frac{f_y}{\sqrt{3}}}{\gamma_{M0}}$$

$$A_v = A - 2 \cdot b \cdot t_f + (t_w + 2 \cdot r) \cdot t_f \geq \eta \cdot h_w \cdot t_w$$

$$\eta = 1,2$$

$$A_v = 131,0 - 2 \cdot 28,0 \cdot 1,8 + (1,05 + 2 \cdot 2,4) \cdot 1,8 = 40,73 \text{ cm}^2 \geq 1,2 \cdot 24,4 \cdot 1,05 = 30,74 \text{ cm}^2$$

$$V_{c,Rd} = V_{pl,z,Rd} = \frac{40,73 \cdot \frac{35,5}{\sqrt{3}}}{1,0} = 834,8$$

Uvjet:

$$\frac{V_{z,Ed}}{V_{pl,z,Rd}} = \frac{73,68}{834,8} = 0,09 < 1,0$$

Uvjet je zadovoljen!

Interakcija M/V

Poprečna sila:

Uvjet reduciranja plastične otpornosti savijanja:

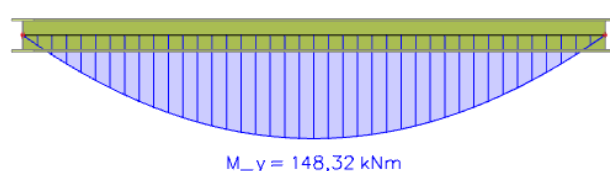
$$V_{Ed} \leq 0,5 \cdot V_{pl,Rd}$$

$$V_{z,Ed} = 73,68 < 0,5 \cdot 834,8 = 417,4$$

Uvjet je zadovoljen, otpornost poprečnog presjeka se ne smanjuje

$$M_{y,V,N,Rd} = M_{pl,y,Rd} = 543,15 \text{ kNm}$$

9.4.1.3 Otpornost elementa



Slika 49. Dijagram moment savijanja $M_{Ed,y}$ sekundarnog nosača u fazi izvedbe

Otpornost elementa na savijanje:**Elastični kritični moment:**

$$M_{cx} = C_1 \cdot \frac{\pi^2 \cdot EI_z}{(k \cdot L_{cx})^2} \left[\sqrt{\left(\frac{k}{k_w} \right)^2 \cdot \frac{I_z}{I_w} + \frac{(k \cdot L_{cx})^2 \cdot G \cdot I_t}{\pi^2 \cdot EI_z} + C_2 \cdot z_g^2} - C_2 \cdot z_g \right]$$

Razmak bočnog pridržanja: $L_{cr} = 800 \text{ cm}$ Mjesto unosa sile: $z_g = h/2 = 14 \text{ cm}$ Faktor efektivne dužine: $k=1,0; k_w=1,0$ Faktori ovisni o uvjetima opterećenja: $C_1 = 1,127; C_2 = 0,454$

$$M_{cx} = 1,127 \cdot \frac{\pi^2 \cdot 21000 \cdot 6600}{1,0 \cdot 800^2} \left[\sqrt{\left(\frac{1,0}{1,0} \right)^2 \cdot \frac{1130000}{6600} + \frac{1,0 \cdot 800^2 \cdot 8100 \cdot 146}{\pi^2 \cdot 21000 \cdot 6600} + 0,454 \cdot 14^2} - 0,454 \cdot 14 \right] \\ = 51310,3 \text{ kNm} = 513,1 \text{ kNm}$$

Bezdimenzijska vitkost:

$$\bar{\lambda}_{LT} = \sqrt{\frac{W_{plw} \cdot f_y}{M_{cx}}} = \sqrt{\frac{1530 \cdot 35,5}{51310,3}} = 1,03 > \bar{\lambda}_{LT,\rho} = 0,4$$

Za valjani profil $\frac{h}{b} = \frac{280,0}{280,0} = 1,0 \leq 2,0$, mjerodavna krivulja izvijanja je a $\rightarrow \alpha_{LT} = 0,21$

$$\chi_{LT} = \frac{1}{\phi_{LT} + \sqrt{\phi_{LT}^2 - \bar{\lambda}_{LT}^2}} \leq 1,0$$

$$\phi_{LT} = 0,5 \cdot \left[1 + \alpha_{LT} \cdot (\bar{\lambda}_{LT} - 0,2) + \bar{\lambda}_{LT}^2 \right]$$

$$\phi_{LT} = 0,5 \cdot \left[1 + 0,21 \cdot (1,03 - 0,2) + 1,03^2 \right] = 1,1$$

$$\chi_{LT} = \frac{1}{1,1 + \sqrt{1,1^2 - 1,03^2}} = 0,67 \leq 1,0$$

Otpornost na savijanje:

$$M_{b,Rd} = \chi_{LT} \cdot \frac{W_{plw} \cdot f_y}{\gamma_{M1}} = 0,67 \cdot \frac{1530 \cdot 35,5}{1,1} = 33082,77 \text{ kNm} = 330,83 \text{ kNm}$$

Uvjet:

$$\frac{M_{yEd}}{M_{bRd}} = \frac{145,77}{330,83} = 0,44 < 1,0$$

Uvjet je zadovoljen!

9.4.2 Proračun za uporabnu fazu

Tablica 33. Mjerodavne sile za dimenzioniranje sekundarnog nosača u uporabnoj fazi

Tip opterećenja	Slučaj	Iznos
Poprečna sila $V_{Ed,z}$	CO 5	210,98 kN
Moment entzastijanja $M_{Ed,y}$	CO 5	420,81 kNm

9.4.2.1 Efektivna širina betonske ploče:

$$b_{eff} = b_0 + b_{e1} + b_{e2}$$

$$b_0 = 0$$

$$b_{e1} = b_{e2} = \frac{L}{8} = \frac{8}{8} = 1 m$$

$$b_{eff} = 0,0 + 1,0 + 1,0 = 2,0 m < b = 3,0 m$$

Dokaz uzdužne posmične veze:

Za potpunu posmičnu vezu mjerodavna je manja vrijednost:

$$V_{LEd} = \text{m in } (N_{cf}; N_{pl,a})$$

$$N_{cf} = b_{eff} \cdot h_c \cdot 0,85 \cdot f_{cd} = 200 \cdot 8 \cdot 0,85 \cdot 1,67 = 2271,2 kN$$

$$N_{pl,a} = A_a \cdot f_{yd} = 131 \cdot 35,5 = 4650,5 kN$$

Slijedi:

$$V_{LEd} = N_{cf} = 2271,2 kN$$

Potreban broj moždanika za potpunu posmičnu vezu je:

$$n_f = \frac{N_{cf}}{P_{Rd}}$$

$$P_{Rd} = \frac{0,8 \cdot f_u \cdot \pi \cdot d^4 / 4}{\gamma_v} = \frac{0,8 \cdot 45,0 \cdot \pi \cdot 2,0^4 / 4}{1,25} = 361,91 \text{ kN}$$

$$P_{Rd} = \frac{0,29 \cdot \alpha \cdot d^2 \cdot \sqrt{f_{ck} \cdot E_{an}}}{\gamma_v} = \frac{0,29 \cdot 1,0 \cdot 2^2 \cdot \sqrt{25 \cdot 3300}}{1,25} = 84,29 \text{ kN}$$

$$\alpha = 1 \rightarrow \frac{h_{sc}}{d} = \frac{80}{20} = 4 \geq 4$$

$$n_f = \frac{2271,2}{84,29} = 26,95$$

Zahtijevani minimalni stupanj sprezanja:

$$L < 25,0 \text{ m}$$

$$\eta = 1 - \left(\frac{355}{f_y k} \right) \cdot (0,75 - 0,03 \cdot L_e) \geq 0,4$$

$$\eta = 1 - \left(\frac{355}{355} \right) \cdot (0,75 - 0,03 \cdot 8) = 0,49 \geq 0,4$$

S obzirom na minimalni stupanj sprezanja potrebni broj moždanika iznosi:

$$n = \eta \cdot n_f = 0,49 \cdot 26,95 = 13,2$$

Odabrano je n=20, te stupanj sprezanja iznosi:

$$\eta = \frac{20}{26,95} = 0,74 \geq 0,49$$

Računska uzdužna sila u sljubnici iznosi:

$$V_{LEd} = n \cdot P_{Rd} = 20 \cdot 84,29 = 1685,8 \text{ kN}$$

Odabrani su sljedeći razmaci moždanika u uzdužnom smjeru:

$$e_L = 300 \text{ mm}$$

Provjera kriterija za razmake moždanika:

$$e_L = 300 \text{ mm} > 5 \cdot d = 5 \cdot 20 = 100 \text{ mm}$$

$$e_L = 300 \text{ mm} < 800 \text{ mm}$$

$$e_L = 300 \text{ mm} < 6 \cdot h = 6 \cdot 130 = 650 \text{ mm}$$

Položaj neutralne osi:

Uvjet da plastična neutralna os leži u pojascu čeličnog nosača:

$$N_c < N_{pl,a}$$

$$N_{pl,a} = \frac{A_a \cdot f_y}{\gamma_{M0}} = \frac{131 \cdot 35,5}{1,0} = 4650,5 \text{ kN}$$

$$N_c = \eta \cdot N_{c,f} = \sum P_{Rd} = 20 \cdot 84,29 = 1685,8 \text{ kN}$$

$$1685,8 \text{ kN} < 4650,5 \text{ kN}$$

Uvjet je zadovoljen!

9.4.2.2 Plastična otpornost na savijanje spregnutog presjeka

$$N_{pl,a} = A_a \cdot f_y = 4650,5 \text{ kN}$$

$$N_{pl,f} = \frac{N_{pl,a} - N_c}{2} = \frac{4650,5 - 1685,8}{2} = 1482,35 \text{ kN}$$

$$x_1 = \frac{N_c}{b_{eff} \cdot f_{cd}} = \frac{1685,8}{200 \cdot 0,85 \cdot 1,67} = 5,94 \text{ cm} < h_c = 8 \text{ cm}$$

$$x_2 = \frac{N_{pl,f}}{b_f \cdot f_y} = \frac{1482,35}{28 \cdot 35,5} = 1,49 \text{ cm} < 1,8 \text{ cm}$$

$$z = h_c + h_p + \frac{h_a}{2} - \frac{x_1}{2} = 8,0 + 5,0 + \frac{28}{2} - \frac{5,94}{2} = 24,03 \text{ cm}$$

Otpornost poprečnog presjeka:

$$\begin{aligned} M_{Rd} &= N_c \cdot z + N_{pl,f} \cdot (h_a - x_2) = 1685,8 \cdot 0,24 + 1482 \cdot 0,28 - 0,015 = \\ &= 797,32 \text{ kNm} \end{aligned}$$

Uvjet:

$$\frac{M_{Ed}}{M_{Rd}} = \frac{420,81}{797,32} = 0,53$$

Uvjet je zadovoljen!

9.4.2.3 Posmična otpornost spregnutog presjeka

Provjera izbočavanja hrpta:

$$\frac{h_w}{t_w} < 72 \cdot \frac{\varepsilon}{\eta}$$

$$h_w = h - 2 \cdot t_f = 280,0 - 2 \cdot 18,0 = 244,0 \text{ mm}$$

$$\eta = 1,2$$

$$\frac{h_w}{t_w} = \frac{244,0}{10,5} = 23,24 < 72 \cdot \frac{0,81}{1,2} = 48,6$$

Nije potrebna provjera izbočavanja hrpta na posmik

Plastična posmična otpornost:

$$V_{c,Rd} = V_{pl,z,Rd} = \frac{A_v \cdot \frac{f_y}{\sqrt{3}}}{\gamma_m 0}$$

$$A_v = A - 2 \cdot b \cdot t_f + (t_w + 2 \cdot r) \cdot t_f \geq \eta \cdot h_w \cdot t_w$$

$$\eta = 1,2$$

$$A_v = 131,0 - 2 \cdot 28,0 \cdot 1,8 + (1,05 + 2 \cdot 2,4) \cdot 1,8 = 40,73 \text{ cm}^2 \geq 1,2 \cdot 24,4 \cdot 1,05 = 30,74 \text{ cm}^2$$

$$V_{c,Rd} = V_{pl,z,Rd} = \frac{40,73 \cdot \frac{35,5}{\sqrt{3}}}{1,0} = 834,8$$

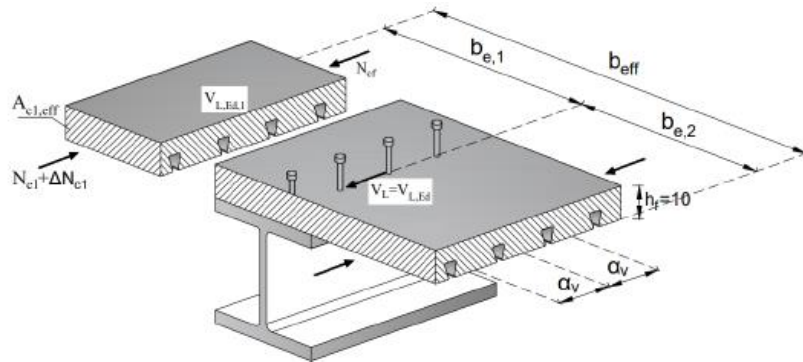
Uvjet:

$$\frac{V_{z,Ed}}{V_{pl,z,Rd}} = \frac{210,98}{834,8} = 0,25 < 1,0$$

Uvjet je zadovoljen!

Kako na mjestu maksimalnog momenta savijanja nema poprečne sile nije potrebno provoditi M/V interakciju.

9.4.2.4 Provjera uzdužne posmične otpornost betonske pojasnice



Slika 50. Određivanje uzdužnog posmika u betonskoj pojasnici [13]

Površina poprečne armature

$$\frac{A_{sf}}{S_f} \cdot f_{sd} \geq v_{L,Ed} \cdot \frac{h_f}{\cot \theta}$$

Kad je betonska pojasnica u tlaku, uzdužni posmični tok može se odrediti kao:

$$v_{L,Ed} = \frac{\Delta N_{c1}}{a_v} = \frac{V_{L,Ed} \cdot A_{c1,eff}}{a_v \cdot A_{c,eff}}$$

$$V_{L,Ed} = m \text{ in } N_{pl,a} N_c \sum P_{Rd})$$

$$N_{pl,a} = 4650,5 \text{ kN}$$

$$\sum P_{Rd} = 1685,8 \text{ kN}$$

$$N_{c,f} = 2271,2 \text{ kN}$$

$$v_{L,Ed} = \frac{\Delta N_{c1}}{h_f \cdot a_v} = \frac{V_{L,Ed}}{a_v \cdot 2 \cdot h_f} = \frac{1685,8 \cdot 10^3}{4000 \cdot 2 \cdot 80} = 2,63 \text{ N/mm}^2$$

a_v iznosi $L/2$ odnosno udaljenost između maksimalnog momenta i ležaja

$h_f = h_c = 80 \text{ mm}$

Kako bi se minimalizirala površina poprečne armature odabire se minimalni kut nagiba dijagonale, betonska pojasnica je u tlaku.

$$\theta = 26,5^\circ$$

$$\frac{A_{sf}}{S_f} \geq \frac{v_{L,Ed}}{f_{sd}} \cdot \frac{h_f}{\cot \theta}$$

Za poprečnu armaturu odabrane su šipke $\phi 8 / 15 \text{cm}$ ($335 \text{ mm}^2/\text{m}$)

$$335 \text{ mm}^2/\text{m} \geq \frac{2,63}{435} \cdot \frac{80}{\cot \varphi 6,5^\circ} \cdot 10^3 = 241,15 \text{ mm}^2/\text{m}$$

Minimalna poprečna armatura:

$$\rho_{w,m,n} = \frac{0,08 \cdot \sqrt{f_{ck}}}{f_{yr,k}} = \frac{0,08 \cdot \sqrt{25}}{500} = 0,0008$$

$$A_c = h_c \cdot b = 80 \cdot 1000 = 80000 \text{ mm}^2$$

$$A_{tm,n} = A_c \cdot \rho_{w,m,n} = 80000 \cdot 0,0008 = 64 \text{ mm}^2/\text{m}$$

$$A_{pov} = 335 \text{ mm}^2/\text{m} > A_{tm,n} = 64 \text{ mm}^2/\text{m}$$

Uvjet je zadovoljen!

9.4.2.5 Provjera betona u tlačnoj dijagonali

$$\nu_{L,Ed} \leq \nu_{Rd} = \nu \cdot f_{cd} \cdot \sin \theta \cdot \cos \theta$$

$$\text{gdje je } \nu = 0,6 \cdot \left(1 - \frac{f_{ck}}{250} \right)$$

$$\nu_{Rd} = 0,6 \cdot \left(1 - \frac{25}{250} \right) \cdot 1,67 \cdot \sin \varphi 6,5^\circ \cdot \cos \varphi 6,5^\circ = 3,6 \text{ N/mm}^2$$

$$2,63 \text{ N/mm}^2 \leq 3,6 \text{ N/mm}^2$$

Uvjet je zadovoljen!

9.4.3 Granično stanje uporabljivosti

9.4.3.1 Progib kod faze izvedbe

Djelovanja:

AB ploča (mokro stanje) $g_{c,1}=2,85 \text{ kN/m}^2$

Čelični profilirani lim $g_p=0,141 \text{ kN/m}^2$

Čelični nosači $g_n=0,34 \text{ kN/m}^2$

Ukupno: $g_{k,1}=3,33 \text{ kN/m}^2$

Uporabno opterećenje: $q_{k,1}=0,75 \text{ kN/m}^2$

Granična vrijednost progiba:

$$\delta_{tot} \leq \frac{L}{250} \quad \delta_{var} \leq \frac{L}{360}$$

Progib zbog stalnog i promjenjivog djelovanja:

$$e_d = b \cdot (\gamma_G \cdot g_{k,1} + \gamma_Q \cdot q_{k,1}) = 3,0 \cdot 1,0 \cdot 3,33 + 1 \cdot 0,75 = 12,24 \text{ kN/m}$$

$$E_a = 21000 \text{ kN/cm}^2 \quad I_a = 19300 \text{ cm}^4$$

$$E_a I_a = 40530 \text{ kNm}^2$$

$$\delta_{0,tot} = \frac{5}{384} \cdot \frac{e_d \cdot I^4}{E_a I_a} = \frac{5}{384} \cdot \frac{12,24 \cdot 8,0^4}{40530} = 0,016 \text{ m} = 16 \text{ mm}$$

$$16,0 \text{ mm} \leq \frac{8000}{250} = 32 \text{ mm}$$

Uvjet je ispunjen!

Progib zbog promjenjivog djelovanja:

$$e_d = b \cdot (\gamma_Q \cdot q_{k,1}) = 3,0 \cdot 1,0 \cdot 0,75 = 2,25 \text{ kN/m}$$

$$E_a = 21000 \text{ kN/cm}^2 \quad I_a = 19300 \text{ cm}^4$$

$$E_a I_a = 40530 \text{ kNm}^2$$

$$\delta_{0,tot} = \frac{5}{384} \cdot \frac{e_d \cdot I^4}{E_a I_a} = \frac{5}{384} \cdot \frac{2,25 \cdot 8,0^4}{40530} = 0,0029 \text{ m} = 2,9 \text{ mm}$$

$$2,9 \text{ mm} \leq \frac{8000}{360} = 22,2 \text{ mm}$$

Uvjet je ispunjen!

9.4.3.2 Progib kod uporabne faze

Djelovanja:

AB ploča (suho stanje) $g_{c,2} = 2,79 \text{ kN/m}^2$

Čelični profilirani lim $g_p = 0,141 \text{ kN/m}^2$

Čelični nosač $g_n = 0,34 \text{ kN/m}^2$

Dodatno stalno (slojevi poda, pregradni zidovi...) $1,5 \text{ kN/m}^2$

Završni radovi (glazura, instalacije...) $1,5 \text{ kN/m}^2$

Ukupno: $g_{k,2} = 6,27 \text{ kN/m}^2$

Uporabno opterećenje: $q_{k,2} = 2,0 \text{ kN/m}^2$

Određivanje koeficijenta puzanja i skupljanja:

$$h_0 = \frac{2 \cdot A_c}{u} = \frac{2 \cdot h_c \cdot b}{b} = 2 \cdot h_c = 160 \text{ mm}$$

Za relativnu vlažnost RH 50%, razred betona C25/30, tip cementa S koeficijenti puzanja su:

$$\rho_t = \rho (\varphi, t_0 = 1 \text{ dan}) = 5,8$$

$$\rho_t = \rho (\varphi, t_0 = 28 \text{ dana}) = 2,8$$

Efektivna krutost spregnutog nosača:

$$EI = E_a \cdot I_a + E_L \cdot I_c + \frac{E_a \cdot A_a \cdot E_L \cdot A_c}{E_a \cdot A_a + E_L \cdot A_c} \cdot a^2$$

Kratkotrajno opterećenje:

$$E_a = 21000 \text{ kN/cm}^2 \quad I_a = 19300 \text{ cm}^4 \quad A_a = 131,0 \text{ cm}^2$$

$$I_c = \frac{b_{\text{eff}} \cdot h^3}{12} = \frac{200 \cdot 13^3}{12} = 36616,67 \text{ cm}^4$$

$$A_c = b_{\text{eff}} \cdot h = 200 \cdot 13 = 2600 \text{ cm}^2$$

Razmak između težišta betonske pojasnice i čeličnog nosača:

$$a = 0,5 \cdot (1 + h_a) = 0,5 \cdot (1 + 13) = 20,5 \text{ cm}$$

$$n_c = 1,0$$

$$E_0 = \frac{E_{\text{an}}}{n_c} = \frac{3100,0}{1,0} = 3100 \text{ kN/cm}^2, E_L = E_0$$

$$EI_0 = 21000 \cdot 19300 + 3100 \cdot 36616,67 + \frac{21000 \cdot 131 \cdot 3100 \cdot 2600}{21000 \cdot 131 + 3100 \cdot 2600} \cdot 20,5^2$$

$$EI_0 = 520862649 \text{ kNm}^2 = 52086 \text{ kNm}^2$$

Konstantno stalno opterećenje:

$$n_c = 1,0 + 1,1 \cdot \varphi (\varphi, t_0) = 1,0 + 1,1 \cdot 2,8 = 4,08$$

$$E_P = \frac{E_{\text{an}}}{n_c} = \frac{3100,0}{4,08} = 760 \text{ kN/cm}^2, E_L = E_P$$

$$EI_P = 21000 \cdot 19300 + 760 \cdot 36616,67 + \frac{21000 \cdot 131 \cdot 760 \cdot 2600}{21000 \cdot 131 + 760 \cdot 2600} \cdot 20,5^2$$

$$EI_P = 916409590 \text{ kNm}^2 = 91641 \text{ kNm}^2$$

Primarno naprezanje od skupljanja:

$$n_c = 1,0 + 0,55 \cdot \varphi(0, t_0) = 1,0 + 0,55 \cdot 5,8 = 4,19$$

$$E_s = \frac{E_{an}}{n_c} = \frac{3100,0}{4,19} = 740 \text{ kN/cm}^2, E_L = E_s$$

$$EI_s = 21000 \cdot 19300 + 740 \cdot 36616,67 + \frac{21000 \cdot 131 \cdot 740 \cdot 2600}{21000 \cdot 131 + 740 \cdot 2600} \cdot 20,5^2$$

$$EI_s = 908193407 \text{ kNm}^2 = 90819 \text{ kNm}^2$$

Proračun pojedinih udjela progiba:

Stalno djelovanje za vrijeme t=0 (početak opterećivanja):

$$e_d = b \cdot g_{k2} = 3,0 \cdot 6,27 = 18,81 \text{ kN/m}$$

$$EI_0 = 52086 \text{ kNm}^2$$

$$\delta_1 = \frac{5}{384} \cdot \frac{e_d \cdot l^4}{EI_0} = \frac{5}{384} \cdot \frac{18,81 \cdot 8,0^4}{52086} = 0,019 \text{ m} = 19 \text{ mm}$$

Promjenjivo djelovanje od učestale kombinacije za vrijeme početka opterećivanja t=0

za poslovne prostore $\psi = 0,5$

$$e_d = b \cdot \psi_1 \cdot q_{k2} = 3 \cdot 0,5 \cdot 2,0 = 3,0 \text{ kN/m}$$

$$EI_0 = 52086 \text{ kNm}^2$$

$$\delta_{2,1} = \frac{5}{384} \cdot \frac{e_d \cdot l^4}{EI_0} = \frac{5}{384} \cdot \frac{3,0 \cdot 8,0^4}{52086} = 0,003 \text{ m} = 3 \text{ mm}$$

Puzanja pod kvazistalnim djelovanjem za vrijeme t=∞

$$e_d = b \cdot g_{k2} + b \cdot \psi_1 \cdot q_{k2} = 3,0 \cdot 6,27 + 3,0 \cdot 0,5 \cdot 2,0 = 21,81 \text{ kN/m}$$

$$EI_0 = 52086 \text{ kNm}^2$$

$$EI_p = 91641 \text{ kNm}^2$$

$$\delta_{2,2} = \frac{5}{384} \cdot \frac{e_d \cdot l^4}{EI_0} - \frac{5}{384} \cdot \frac{e_d \cdot l^4}{EI_p} = \frac{5}{384} \cdot \frac{21,81 \cdot 8,0^4}{52086} - \frac{5}{384} \cdot \frac{21,81 \cdot 8,0^4}{91641}$$

$$\delta_{2,2} = 0,009 = 9 \text{ mm}$$

Skupljanje

$$\varepsilon_{\infty}(\infty) = 4,14 \cdot 10^{-4}$$

$$N_{\infty} = \varepsilon_{\infty}(\infty) \cdot E_s \cdot A_c = 4,14 \cdot 10^{-4} \cdot 740 \cdot 2600 = 796,54 \text{ kN}$$

$$a_c = \frac{E_a \cdot A_a}{E_a \cdot A_a + E_s \cdot A_c} \cdot a = \frac{21000 \cdot 131}{21000 \cdot 131 + 740 \cdot 2600} \cdot 20,5 = 12,06 \text{ cm}$$

$$M_{\infty} = N_{\infty} \cdot a_c = 796,54 \cdot \frac{12,06}{100} = 96,06 \text{ kNm}$$

$$\delta_{2,3} = \frac{1}{8} \cdot \frac{M_{\infty} \cdot L^2}{EI_s} = \frac{1}{8} \cdot \frac{96,06 \cdot 8,0^2}{90819} = 0,008 \text{ m} = 8 \text{ mm}$$

Utjecaj posmične veze na proračun progiba možemo zanemariti jer je zadovoljen uvjet $n/n_f \geq 0,5$

Progib od stalnog opterećenja:

$$\delta_1 = 19 \text{ mm}$$

Progib od promjenjivog opterećenja:

$$\delta_2 = \sum \delta_{2,i} = 3,0 + 9,0 + 8,0 = 20 \text{ mm}$$

Ukupni progib od svih djelovanja:

$$\delta_{\text{tot}} = \delta_1 + \delta_2 = 20,0 + 19,0 = 39,0 \text{ mm} > \frac{L}{250} = \frac{8000}{250} = 32 \text{ mm}$$

Progib ne zadovoljava uvjet, ali kad se uzme u obzir nadvišenje nosača uvjet je zadovoljen

Ukupni progib od promjenjivog djelovanja:

$$\delta_{\text{var}} = 20 \text{ mm} \leq \frac{L}{360} = \frac{8000}{360} = 22,2 \text{ mm}$$

Progib zadovoljava uvjet!

9.4.3.3 Nadvišenje čeličnog nosača

Nadvišenje se izvodi za stalno opterećenje, puzanje i skupljanje

$$\delta_p = \delta_1 + \delta_{2,2} + \delta_{2,3} = 19 + 9 + 8 = 36 \text{ mm}$$

9.4.3.4 Dokaz vibracije nosača

Za proračun vibracije nosača uzima se vlastita težina za spregnuto stanje i pojednostavljena krutost na savijanje za kratkotrajno opterećenje

$$e_d = b \cdot g_{k2} = 3,0 \cdot 6,27 = 18,81 \text{ kN/m}$$

$$EI_0 = 52086 \text{ kNm}^2$$

$$\delta_1 = \frac{5}{384} \cdot \frac{e_d \cdot I}{EI_0} = \frac{5}{384} \cdot \frac{18,81 \cdot 8,0^4}{52086} = 0,019 \text{ m} = 19 \text{ mm}$$

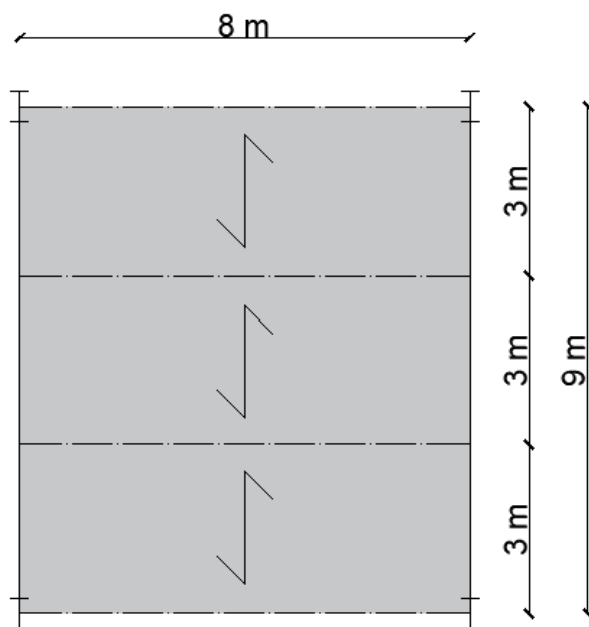
$$f = \frac{18}{\sqrt{\delta_1}} = \frac{18}{\sqrt{19}} = 4,1 \geq 4 \text{ Hz}$$

9.4.3.5 Dokaz pukotina u betonu

Dokaz ograničenja širine pukotina kod jednostavno oslonjenih nosača nije potrebno provesti i samo se predviđa minimalno armiranje.

Usvojen profil sekundarnog nosača je: HEB280

9.5 Dimenzioniranje ploče



Slika 51. Statički sustav i položaj spregnute ploče

Djelovanja za fazu izvedbe:

AB ploča (mokro stanje)

$g_{c,1}=2,85 \text{ kN/m}^2$

Čelični profilirani lim	$g_p=0,141 \text{ kN/m}^2$
Ukupno:	$g_{k,1}=3,0 \text{ kN/m}^2$
Uporabno opterećenje:	$q_{k,1}=0,75 \text{ kN/m}^2$

Djelovanja za uporabnu fazu:

AB ploča (suho stanje)	$g_{c,2}=2,79 \text{ kN/m}^2$
Čelični profilirani lim	$g_p=0,141 \text{ kN/m}^2$
Dodatno stalno (slojevi poda, pregradni zidovi...)	$1,5 \text{ kN/m}^2$
Završni radovi (glazura, instalacije...)	$1,5 \text{ kN/m}^2$
Ukupno:	$g_{k,2}=5,93 \text{ kN/m}^2$
Uporabno opterećenje:	$q_{k,2}=2,0 \text{ kN/m}^2$

Karakteristike materijala:

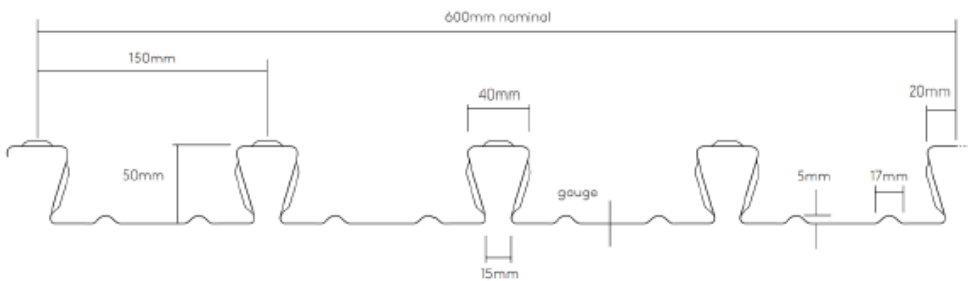
Beton C25/30 :	$f_{ck}=25 \text{ N/mm}^2$
	$f_{cd}=16,7 \text{ N/mm}^2$
	$0,85 \cdot f_{cd}=17 \text{ N/mm}^2$
	$E_{cm}=31000 \text{ N/mm}^2$
Armatura:	$f_{sk}=500 \text{ N/mm}^2$
	$f_{sd}=500/1,15=435 \text{ N/mm}^2$
Profilirani lim:	$t=1 \text{ mm}$
	$h_p=50 \text{ mm}$
	$A_p=A_{pe}=17,92 \text{ cm}^2/\text{m}$
	$I_p=75,90 \text{ cm}^4/\text{m}$
	$E_p=E_a=210000 \text{ N/mm}^2/\text{m}$
	$f_{yp,k}=450 \text{ N/mm}^2$
	$f_{yp,d}=450 \text{ N/mm}^2$
Plastični moment otpora:	$M_{pa,rk}=450 \text{ kNm}/\text{m}$
Moment otpora:	$M^{+}_{Rk}=8,97 \text{ kNm}/\text{m}$

$$M_{Rk} = 7,99 \text{ kNm/m}$$

Uzdužna posmična otpornost:

$$\tau_{cRk} = 0,280 \text{ N/mm}^2$$

9.5.1 Konstrukcijski detalji spregnute ploče



Slika 52. Profil i dimenzije profiliranog lima "Multideck 50"

Debljina ploče i armatura

Ukupna visina ploče:

$$h = 130 \text{ mm} \geq 80 \text{ mm} \text{ (zadovoljava)}$$

Debljina betonske pojasnice iznad gornje točke profiliranog lima:

$$h_c = 80 \text{ mm} \geq 40 \text{ mm} \text{ (zadovoljava)}$$

Omjer širine rebara profiliranog lima i razmaka rebara:

$$\frac{b_r}{b_s} = \frac{40}{150} = 0,27 \leq 0,6 \text{ (zadovoljava)}$$

Minimalna armatura u oba smjera ne smije biti manja od:

$$A_s = 80 \text{ mm}^2 / \text{m}$$

$$A_{sm \text{ in}} = 0,004 \cdot h_c \cdot b = 0,004 \cdot 80 \cdot 1000 = 320 \text{ mm}^2 / \text{m} \rightarrow m \text{ je podavno}$$

Pretpostavka : $\phi 10 / 160 \text{ mm}$

$$A_s = \frac{\pi}{4} \cdot \frac{1000}{160} = 491 \text{ mm}^2 / \text{m} > A_{sm \text{ in}}$$

Razmak šipki armature:

$$e = 160 \text{ mm} < 2 \cdot h = 2 \cdot 130 = 260 \text{ mm} \text{ ili } < 350 \text{ mm} \text{ (zadovoljava)}$$

Dužine oslanjanja i preklapanja limova:

Tablica 34. Minimalne duljine oslanjanja profiliranog lima

Duljine ležajeva:	l_{bs} (mm)	l_{bc} (mm)
čelik ili beton	50	75
ostali materijali	70	100

Za spregnute ploče, minimalna duljina oslanjanja profiliranog lima na čelični ležaj iznosi $l_{bs}=50$ mm (tablica 34). Spregnuta ploča se oslanja na čelične nosače HEB280, čija je gornja pojasnica ($b_f=280$ mm) šira od zahtijevanih 50 mm, stoga je ovaj uvjet zadovoljen.

9.5.2 Granično stanje nosivosti

9.5.2.1 Faza izvedbe

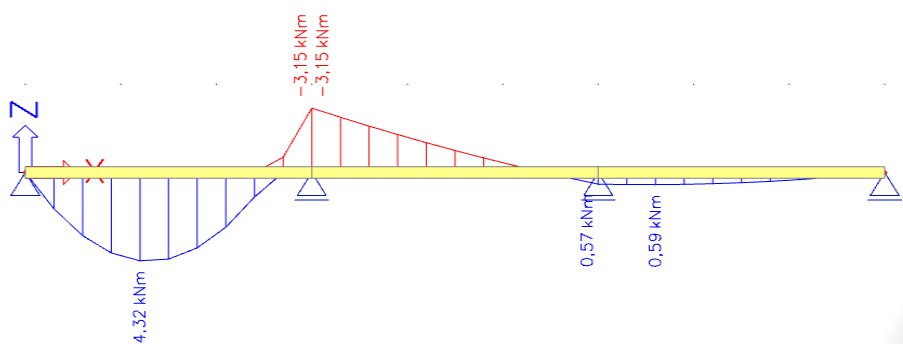
Profilirani čelični lim djeluje kao oplata i nosi vlastitu težinu, težinu svježeg betona te servisno opterećenje.

Maksimalni pozitivni moment savijanja:

$$e_{d,p} = \gamma_G \cdot g_p = 1,35 \cdot 0,141 = 0,19 \text{ kN/m}^2$$

$$e_{d,c1} = \gamma_G \cdot g_{c1} = 1,35 \cdot 2,85 = 3,85 \text{ kN/m}^2$$

$$e_{d,k1} = \gamma_Q \cdot g_{k1} = 1,5 \cdot 0,75 = 1,13 \text{ kN/m}^2$$



Slika 53. Dijagram maksimalnog pozitivnog momenta savijanja

Karakteristična vrijednost momenta otpornosti profiliranog lima je propisana od proizvođača. Dokaz pouzdanosti provodi se u skladu sa EN 1993-1-3, te vrijedi:

$$M_{Rd} = \frac{M_{Rk}}{\gamma_{M0}} = \frac{8,97}{1,0} = 8,97 \text{ kNm / m}$$

Dokaz pouzdanosti:

$$\frac{M_{Ed}}{M_{Rd}} \leq 1,0$$

$$\frac{4,32}{8,97} = 0,48 \leq 1,0$$

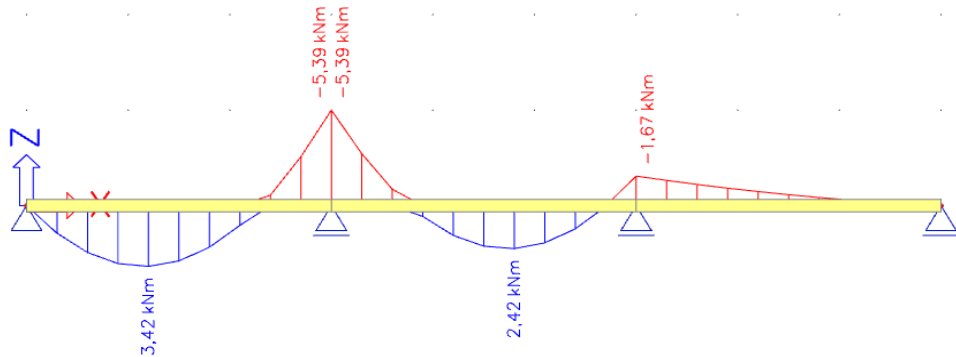
Uvjet je zadovoljen!

Maksimalni negativni moment savijanja:

$$e_{d,p} = \gamma_G \cdot g_p = 1,35 \cdot 0,141 = 0,19 \text{ kN / m}^2$$

$$e_{d,c1} = \gamma_G \cdot g_{c1} = 1,35 \cdot 2,85 = 3,85 \text{ kN / m}^2$$

$$e_{d,k1} = \gamma_Q \cdot g_{k1} = 1,5 \cdot 0,75 = 1,13 \text{ kN / m}^2$$



Slika 54. Dijagram maksimalnog negativnog momenta savijanja

Karakteristična vrijednost momenta otpornosti profiliranog lima je propisana od proizvođača. Dokaz pouzdanosti provodi se u skladu sa EN 1993-1-3, te vrijedi:

$$M_{Rd} = \frac{M_{Rk}}{\gamma_{M0}} = \frac{7,99}{1,0} = 7,99 \text{ kNm / m}$$

Dokaz pouzdanosti:

$$\frac{M_{Ed}}{M_{Rd}} \leq 1,0$$

$$\frac{5,39}{7,99} = 0,67 \leq 1,0$$

Uvjet je zadovoljen!

9.5.2.2 Uporabna faza

Kontinuirane spregnute ploče možemo promatrati kao niz jednostavno oslonjenih nosača.

$$M_{Ed} = \frac{\gamma_G \cdot \sum g_k + \gamma_Q \cdot q_k \cdot \frac{L^2}{8}}{8}$$

$$M_{Ed} = \frac{1,35 \cdot 5,93 + 1,5 \cdot 2,0 \cdot 3,0^2}{8} = 12,38 \text{ kNm /m}$$

$$V_{Ed} = \frac{\gamma_G \cdot \sum g_k + \gamma_Q \cdot q_k \cdot \frac{L}{2}}{2}$$

$$V_{Ed} = \frac{1,35 \cdot 5,93 + 1,5 \cdot 2,0 \cdot 3,0}{2} = 16,51 \text{ kN /m}$$

Otpornost poprečnog presjeka na savijanje:

Pretpostavlja se da neutralna os leži na gornjem rubu profiliranog čeličnog lima. Proračunska vrijednost uzdužne sile $N_{c,f}$ iznosi:

$$N_{c,f} = 0,85 \cdot f_{cd} \cdot h_c \cdot b$$

$$b = 1000 \text{ mm}$$

$$N_{c,f} = 0,85 \cdot 16,7 \cdot 80,0 \cdot 1000 \cdot 10^{-3} = 1135,6 \text{ kN /m}$$

Maksimalna vlačna otpornost profiliranog lima:

$$N_p = f_{yp,\mu} \cdot A_{pe}$$

$$N_p = 450,0 \cdot 1792 \cdot 10^{-3} = 806,4 \text{ kN /m}$$

Budući da je $N_p < N_{c,f}$, plastična neutralna os leži u betonu.

Položaj plastične neutralne osi u spregnutom presjeku x_{pl} je:

$$x_{pl} = \frac{A_p \cdot f_{yp,\mu}}{0,85 \cdot b \cdot f_{cd}} = \frac{806400}{0,85 \cdot 1000 \cdot 16,7} = 56,0 \text{ mm} < h_c = 80,0 \text{ mm}$$

Plastična otpornost na savijanje:

$$M_{pl,Rd} = m \text{ in } N_{c,f} N_p \cdot z$$

$$M_{pl,Rd} = N_p \cdot \left(d_p - \frac{x_{pl}}{2} \right) = 806,4 \cdot \left(113,9 - \frac{56,0}{2} \right) \cdot 10^{-3} = 68,54 \text{ kNm /m}$$

Uvjet:

$$\frac{M_{Ed}}{M_{pl,Rd}} \leq 1,0$$

$$\frac{12,38}{68,54} = 0,18 \leq 1,0$$

Uvjet je zadovoljen!

Uzdužna posmična otpornost:

Zahtijevan posmični raspon za puno sprezanje određuje se prema izrazu:

$$N_c = \tau_{u,Rd} \cdot b \cdot L_x \leq N_{c,f}$$

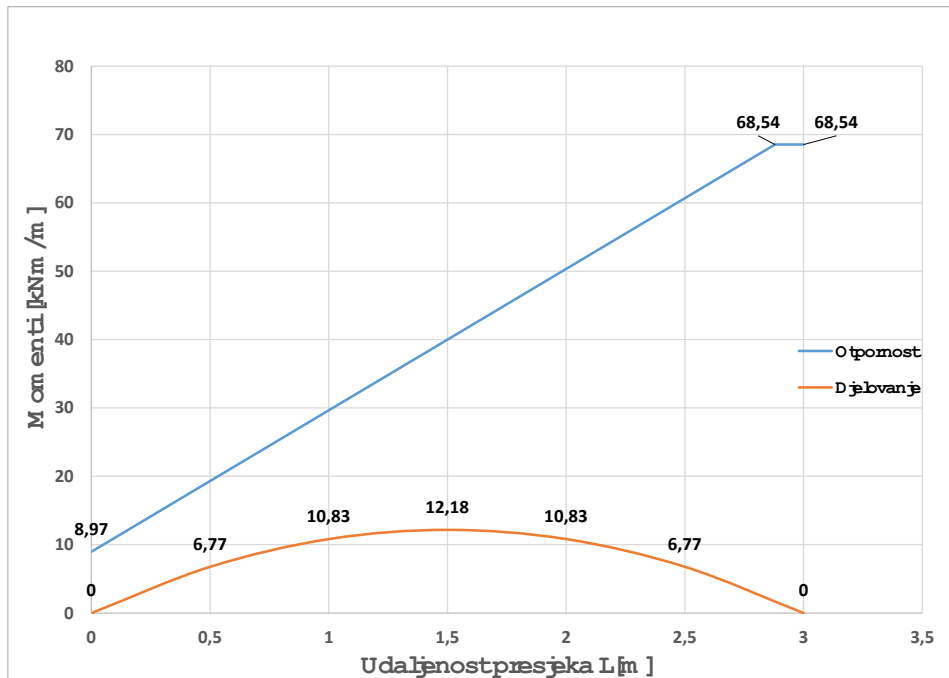
Proračunska posmična čvrstoća:

$$\tau_{u,Rd} = \frac{\tau_{u,Rk}}{\gamma_{vs}} = \frac{0,280}{1,0} = 0,280 \text{ N /mm}^2$$

Udaljenost do najbližeg ležaja L_x , za ostvarenje pune posmične veze:

$$L_x = \frac{N_c}{\tau_{u,Rd} \cdot b} = \frac{A_p \cdot f_y}{\tau_{u,Rd} \cdot b}$$

$$L_x = \frac{1792 \cdot 450}{0,280 \cdot 1000} = 2880 \text{ mm} > L/2 = 3000 / 2 = 1500 \text{ mm}$$



Slika 55. Dokaz nosivosti na uzdužni posmik

Uvjet nosivosti na uzdužni posmik je zadovoljen (slika 55.)

Vertikalna posmična otpornost:

$$V_{Rd,c} = \left(C_{Rd,c} \cdot k \cdot 100 \cdot \rho_1 \cdot f_{ck}^{1/3} \right) \cdot b_w \cdot d \geq V_{min} \cdot b_w \cdot d$$

$$C_{Rd,c} = \frac{0,18}{\gamma_c} = \frac{0,18}{1,5} = 0,12$$

$$k = 1 + \sqrt{\frac{200}{d_p}} = 1 + \sqrt{\frac{200}{113,9}} = 2,33 \rightarrow k \leq 2,0$$

$$\rho_1 = \frac{A_{sl}}{b_w \cdot d_p} \leq 0,02$$

$$b_w = \frac{b}{b_s} \cdot b_0 = \frac{1000}{150} \cdot 110 = 733,33 \text{ mm } / \text{m}$$

$$\rho_1 = \frac{1792}{733,33 \cdot 113,9} = 0,02 = 0,02$$

Usvojeno $\rho_1 = 0,02$

$$\sigma_\varphi = \frac{N_{Ed}}{A_c} = 0$$

$$k_1 = 0,15$$

Računska vrijednost posmične otpornosti $V_{V,Rd}$

$$\begin{aligned}
 V_{v,Rd} &= V_{Rd,c} = \left[C_{Rd,c} \cdot k_1 \cdot 100 \cdot \rho_1 \cdot f_{ck}^{1/3} + k_1 \cdot \sigma_{\varphi} \right] \cdot b_w \cdot d_p \\
 V_{v,Rd} &= \left[0,12 \cdot 2,0 \cdot (100 \cdot 0,02 \cdot 25)^{1/3} + 0,15 \cdot 0 \right] \cdot 733,33 \cdot 113,9 \cdot 10^{-3} \\
 V_{v,Rd} &= 73,85 \text{ kN/m} \\
 V_{v,Rd,m,in} &= (\nu_{m,in} + k_1 \cdot \sigma_{\varphi}) \cdot b_w \cdot d_p \\
 \nu_{m,in} &= 0,035 k^{3/2} \cdot f_{ck}^{1/2} = 0,035 \cdot 2,0^{3/2} \cdot 25^{1/2} = 0,49 \text{ N/mm}^2 \\
 V_{v,Rd,m,in} &= 0,49 + 0,15 \cdot 0 \cdot 733,33 \cdot 113,9 \cdot 10^{-3} = 40,9 \text{ kN/m} < V_{v,Rd} = 73,85 \text{ kN/m} \\
 \frac{V_{Ed}}{V_{v,Rd}} &= \frac{16,51}{73,85} = 0,22 \leq 1,0
 \end{aligned}$$

Uvjet zadovoljen!

9.5.3 Granično stanje uporabljivosti

Provjera raspucavanja betona

Ploča se proračunava kao jednostavno oslonjena te zahtijeva se samo armatura za ograničenje širine pukotina.

Minimalna površina poprečnog presjeka armature A_s iznad rebara profiliranog čeličnog lima ne smije biti manja od 0,4% površine betona iznad rebara:

$$m \in A_s = 0,004 \cdot b \cdot h_c = 0,004 \cdot 1000 \cdot 80 = 320,0 \text{ mm}^2 / \text{m}$$

Odobrano je: $\phi 10 / 160 = 491 \text{ mm}^2 / \text{m} > m \in A_s = 320 \text{ mm}^2 / \text{m}$

Ograničenje vitkosti ploče

Proračun progiba se može zanemariti ako su ispunjeni sljedeći uvjeti:

- $\frac{L}{d} < 26$ za vanjska polja kontinuirane ploče
- $\frac{L}{d} < 30$ za unutarnje polje kontinuirane ploče

$$\frac{L}{d} = \frac{3000}{113,9} = 26,34 > 26$$

$$\frac{L}{d} = \frac{3000}{113,9} = 26,34 < 30$$

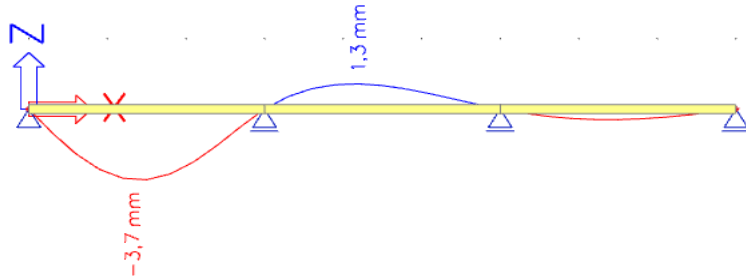
Prvi uvjet nije zadovoljen znači da se ne može izostaviti provjera progiba.

9.5.3.1 Proračun progiba

Faza izvedbe:

$$e_{d,p} = \gamma_g \cdot g_p = 1,0 \cdot 0,141 = 0,141 \text{ kN/m}^2$$

$$e_{d,c} = \gamma_g \cdot g_c = 1,0 \cdot 2,85 = 2,85 \text{ kN/m}^2$$



Slika 56. Deformacija za fazu izvedbe

Progib profiliranog lima ne smije biti veća od:

$$\delta_{max} = \frac{L}{180} = \frac{3000}{180} = 16,66 \text{ mm}$$

$$\delta_s = 3,7 \text{ mm} < 16,66 \text{ mm}$$

Uvjet je zadovoljen!

Uporabna faza:

$$n = \frac{E_a}{E_m} = \frac{210000}{\frac{2}{3} \cdot 31000} = 10,2$$

Moment površine drugog stupnja za raspucani poprečni presjek proračunava se prema izrazu:

$$I_{\infty} = \frac{b \cdot x_c^3}{3 \cdot n} + A_p \cdot (d_p - x_c)^2 + I_p$$

$$x_c = \frac{\sum A_i \cdot z_i}{\sum A_i} = \frac{n \cdot A_p}{b} \cdot \left(\sqrt{1 + \frac{2 \cdot b \cdot d_p}{n \cdot A_p}} - 1 \right)$$

$$x_c = \frac{10,2 \cdot 1792}{1000} \cdot \left(\sqrt{1 + \frac{2 \cdot 1000 \cdot 113,9}{10,2 \cdot 1792}} - 1 \right) = 48,79 \text{ mm}$$

$$I_{\infty} = \frac{1000 \cdot 48,79^3}{3 \cdot 10,2} + 1792 \cdot (113,9 - 48,79)^2 + 75,9 \cdot 10^4 = 12,15 \cdot 10^6 \text{ mm}^4 / \text{m}$$

Moment površine drugog stupnja za neraspucani poprečni presjek proračunava se prema izrazu:

$$I_{cu} = \frac{b \cdot h_c^3}{12 \cdot n} + \frac{b \cdot h_c}{n} \cdot \left(x_u - \frac{h_c}{2} \right)^2 + \frac{b_m \cdot h_p^3}{12 \cdot n} + \frac{b_m \cdot h_p}{n} \cdot \left(h - x_u - \frac{h_p}{2} \right)^2 + A_p \cdot (d_p - x_u)^2 + I_p$$

$$x_u = \frac{b \cdot \frac{h_c^2}{2} + b_m \cdot h_p \cdot \left(h - \frac{h_p}{2} \right) + n \cdot A_p \cdot d_p}{b \cdot h_c + b_m \cdot h_p + n \cdot A_p}$$

$$b_0 = 150 - 40 = 110 \text{ mm}$$

$$b_m = \frac{b}{b_s} \cdot b_0 = \frac{1000}{150} \cdot 110 = 733,33 \text{ mm} / \text{m}$$

$$x_u = \frac{1000 \cdot \frac{80,0^2}{2} + 733,33 \cdot 50,0 \cdot \left(130,0 - \frac{50,0}{2} \right) + 10,2 \cdot 1792 \cdot 113,9}{1000 \cdot 80,0 + 733,33 \cdot 50,0 + 10,2 \cdot 1792} = 67,67 \text{ mm}$$

$$I_{cu} = \frac{1000 \cdot 80^3}{12 \cdot 10,2} + \frac{1000 \cdot 80}{10,2} \cdot \left(67,67 - \frac{80}{2} \right)^2 + \frac{733,33 \cdot 50,0^3}{12 \cdot 10,2} +$$

$$\frac{733,33 \cdot 50,0}{10,2} \cdot \left(130,0 - 67,67 - \frac{50,0}{2} \right)^2 + 1792 \cdot (113,9 - 67,67)^2 + 75,9 \cdot 10^4$$

$$I_{cu} = 20,51 \cdot 10^6 \text{ mm}^4 / \text{m}$$

Srednja vrijednost momenta površine 2. stupnja betonskog presjeka:

$$I_c = \frac{I_{\infty} + I_{cu}}{2} = \frac{12,15 \cdot 10^6 + 20,51 \cdot 10^6}{2} = 16,33 \cdot 10^6 \text{ mm}^4 / \text{m}$$

Progib za korisno opterećenje:

$$q_d = \gamma_Q \cdot q_{k,1} = 1,0 \cdot 2,0 = 2,0 \text{ kN/m}^2$$

$$\delta_1 = \frac{0,0099 \cdot q_d \cdot L^4}{E \cdot I_c} = \frac{0,0099 \cdot 2,0 \cdot 3000^4}{210000 \cdot 16,33 \cdot 10^6} = 0,46 \text{ mm}$$

Progib za stalno opterećenje:

$$e_{d,2} = \gamma_Q \cdot g_{k,2} = 1,0 \cdot 5,93 = 5,93 \text{ kN/m}^2$$

$$\delta_2 = \frac{0,0068 \cdot g_{k,2} \cdot L^4}{E \cdot I_c} = \frac{0,0068 \cdot 5,93 \cdot 3000^4}{210000 \cdot 16,33 \cdot 10^6} = 0,95 \text{ mm}$$

Ukupni progib:

$$\delta_{ukupno} = \delta_1 + \delta_2 = 0,46 + 0,95 = 1,41 \text{ mm}$$

$$\delta_{ukupno} = 1,41 \text{ mm} \leq \frac{L}{250} = \frac{3000}{250} = 12 \text{ mm}$$

Uvjet je zadovoljen!

Usvojen profil ploče je: "Multideck 50" debljine 13 cm.

Tablica 35. Iskoristivost odabralih profila

Element konstrukcije:	Profil:	Iskoristivost
Stup	HEM 450	79% (GSN)
Glavni nosač	HEB 450	76% (GSN)
Stabilizacija	CHS 219,1x8	98% (GSN)
Sekundarni nosač	HEB 280	99% (GSU)
Ploča	Multideck 50, d=13 cm	67% (GSN)

9.6 Granično stanje uporabljivosti konstrukcije

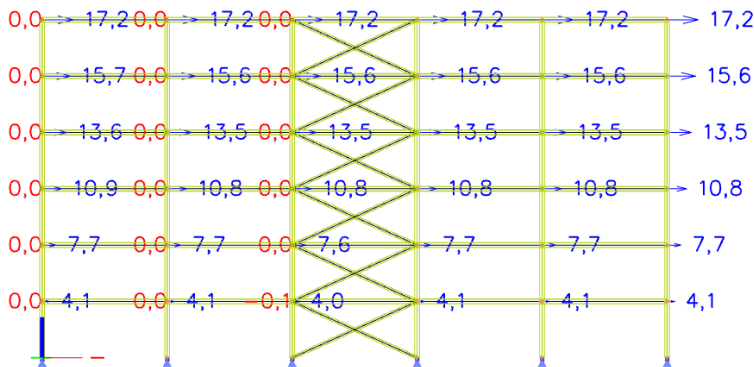
Maksimalni dopušteni međukatni pomak konstrukcije iznosi:

$$dnU_{max} = \frac{h}{300} = \frac{3600}{300} = 12 \text{ mm}$$

Maksimalni dopušteni ukupni pomak konstrukcije iznosi:

$$U_{\max} = \frac{H}{500} = \frac{21600}{500} = 43,2 \text{ mm}$$

9.6.1 Kontrola pomaka za x smjer



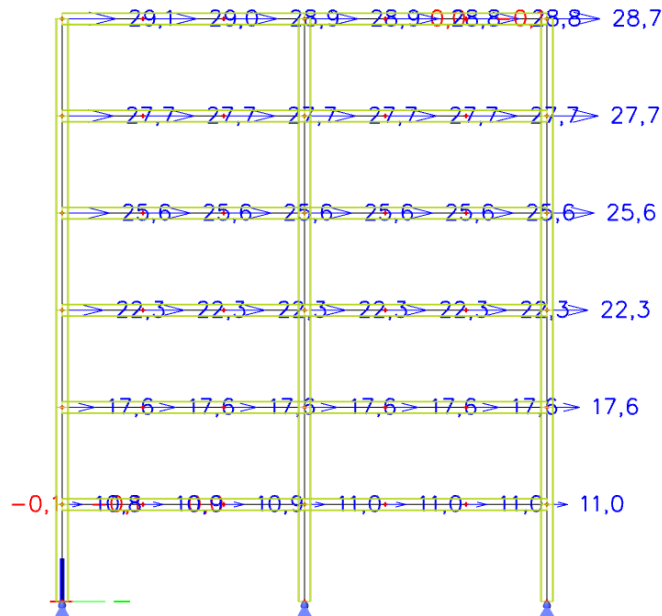
Slika 57. Pomak konstrukcije u x smjeru

Tablica 36. Maksimalni pomaci konstrukcije u x smjeru

Razina [m]	U_x [mm]	drU_x [mm]
+3,6	4,1	4,1
+7,2	7,7	3,6
+10,8	10,8	3,1
+14,4	13,5	2,7
+18,0	15,6	2,1
+21,6	17,2	1,6

Međukatni i ukupni pomak konstrukcije u smjeru x je manji od maksimalno dopuštenog.
(tablica 36)

9.6.2 Kontrola pomaka za y smjer



Slika 58. Pomak konstrukcije u y smjeru

Tablica 37. Maksimalni pomaci konstrukcije u x smjeru

Razina [m]	U_y [mm]	drU_y [mm]
+3,6	11,0	11,0
+7,2	17,6	7,6
+10,8	22,3	4,7
+14,4	25,6	3,3
+18,0	27,7	1,1
+21,6	28,7	1,0

Međukatni i ukupni pomak konstrukcije u smjeru y je manji od maksimalno dopuštenog.
(tablica 37)

10 PRORAČUN KONSTRUKCIJE NA DJELOVANJE POTRESA

10.1 Seizmička analiza

Seizmička analiza je proces procjene odgovora konstrukcije na seizmička djelovanja, odnosno potrese. Cilj seizmičke analize je osigurati da konstrukcija može izdržati potresna opterećenja bez značajnih oštećenja ili kolapsa.

Od četiri metode seizmičke analize navedene u normi mogu se istaknuti dvije osnovne metode:

- Linearna statička analiza
- Linearna dinamička analiza

Linearna statička analiza (ekvivalentna statička metoda) temelji se na pretpostavci da se seizmičko opterećenje može prikazati kao statička sila raspoređena na konstrukciju. Koristi se za jednostavne, manje fleksibilne zgrade u područjima nižeg seizmičkog rizika. Statičko opterećenje računa se prema masi zgrade i seizmičkom koeficijentu, ali metoda ne uzima u obzir složene dinamičke efekte, čineći je pogodnom za brze procjene stabilnosti.

Linearna dinamička seizmička analiza preciznija je jer uzima u obzir stvarno ponašanje konstrukcije pod seizmičkim utjecajem, uključujući prirodne frekvencije i modove vibracija. Ova metoda koristi se za kompleksne konstrukcije i one u visoko rizičnim područjima. Dva glavna pristupa su spektralna analiza, koja procjenjuje odziv konstrukcije koristeći spektralne razdiobe ubrzanja, te nelinearna vremenska analiza, koja simulira stvarni tijek potresa radi visoke preciznosti kod kritičnih objekata.

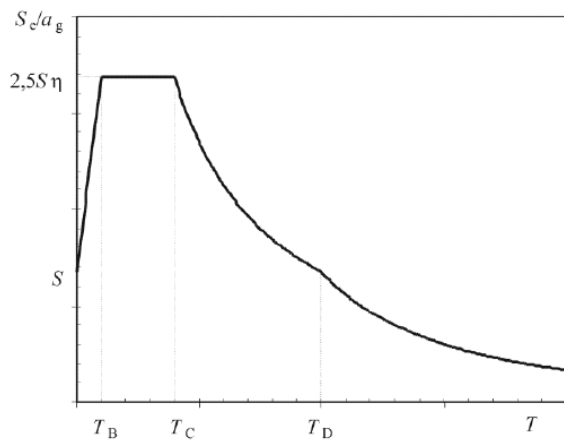
Obje metode su definirane i specificirane u normama poput HRN EN 1998, koje pružaju smjernice za projektiranje konstrukcija otpornih na potres.

U ovom radu primijenjena je linearna dinamička metoda spektra odziva (modalna analiza).

10.1.1 Linearna dinamička metoda spektra odziva

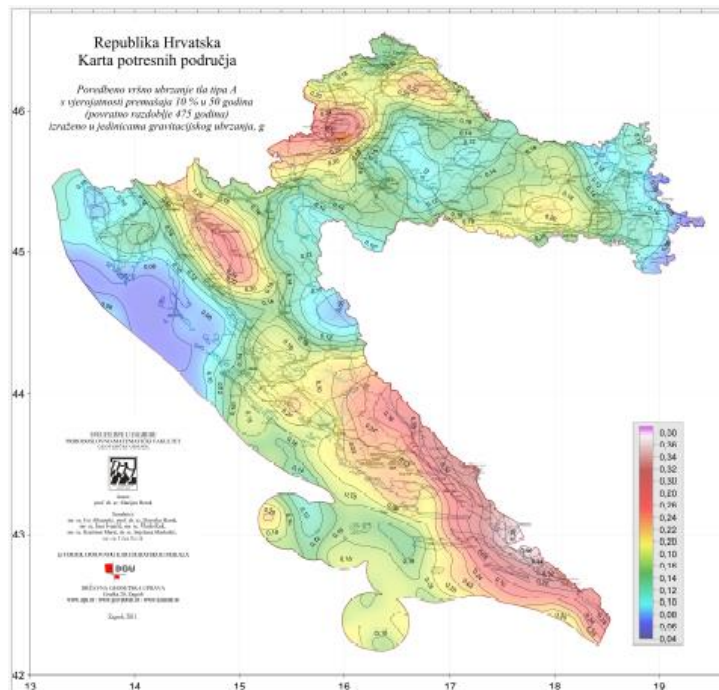
Linearna dinamička metoda spektra odziva koristi se za seizmičku analizu konstrukcija uzimajući u obzir dinamičke karakteristike sustava, kao što su prirodne frekvencije i modalni oblici vibracija. Temelji se na spektru odziva, koji definira maksimalne odzive konstrukcije na seizmička djelovanja u odnosu na njezine vlastite frekvencije. Modalna analiza se provodi kako bi se identificirali ključni modovi vibracija, pri čemu se svaki mod posebno analizira, a

rezultati se kasnije kombiniraju u skladu s propisanim normama za seizmički proračun. Metoda prepostavlja linearost, što znači da se ponašanje konstrukcije na potresna opterećenja smatra proporcionalnim, odnosno da su sila i pomaci linearno povezani. Spektar odziva koristi se za izračun seizmičkih sila u svakom od modalnih oblika, omogućujući analizu odziva konstrukcije pod utjecajem različitih frekvencija potresa. Ova metoda prikladna je za analize složenijih konstrukcija, višekatnica te objekata smještenih u područjima s visokim seizmičkim rizikom, jer omogućuje preciznu procjenu ponašanja konstrukcije tijekom potresa, uzimajući u obzir njezine realnije dinamičke karakteristike, te je posebno korisna za složenije i kritične inženjerske objekte. [8]



Slika 59. Elastični spektar odziva [8]

U postupku projektiranja koristi se seizmološka karta koja prikazuje područja s očekivanom intenzitetom potresa. Te karte temelje se na povijesnim podacima o potresima te na geološkim i tektonskim značajkama karakterističnim za određeno područje. Karte su prilagođene različitim povratnim razdobljima za koja su prognozirane, omogućujući projektantima da uzmu u obzir vjerojatnost pojave potresa tijekom vijeka trajanja građevine.



Slika 60. Karta potresnih područja za povratno razdoblje od 475 godina

Pri analizi seizmičkih utjecaja uzimaju se u obzir tri komponente: dvije horizontalne, koje su međusobno okomite, te jedna vertikalna komponenta. U praksi se vertikalna komponenta ubrzanja potresa rijetko koristi, zbog čega se često zanemaruje.

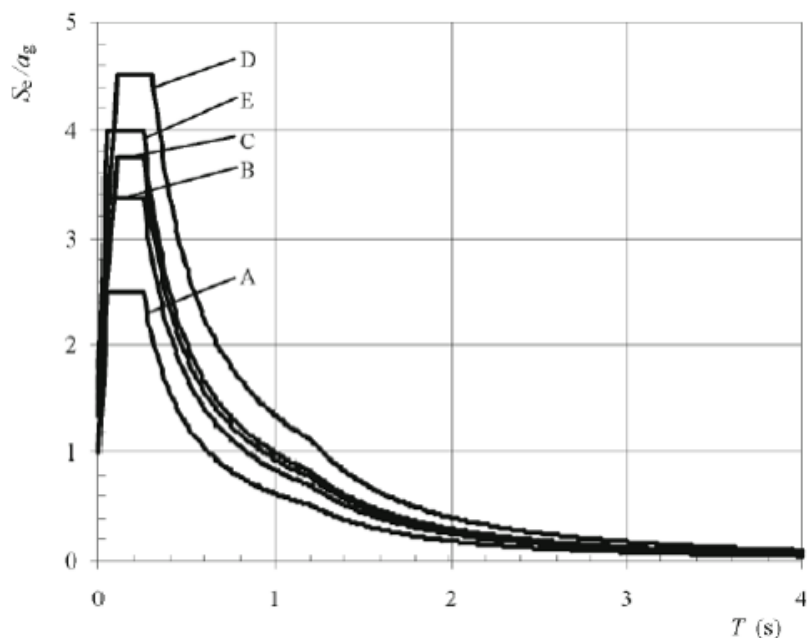
Oblak elastičnog spektra odziva određuju parametri kao što su periodi osciliranja T_B , T_C i T_D , te parametar tla S , koji variraju ovisno o vrsti tla. Na primjer, mekana tla imaju dulje periode osciliranja, dok kruta tla imaju kraće periode. Razlikujemo nekoliko vrsta perioda: period potresa (vrijeme trajanja seizmičkog vala), period lokacije (koji uključuje lokalnu geologiju i površinske slojeve tla) te period konstrukcije (koji se odnosi na samu građevinu). Osnovni period konstrukcije definira vrijeme potrebno da se konstrukcija vrati u svoj početni položaj nakon potresa.

U slučaju nedostatka detaljnih geoloških istraživanja, preporučuje se korištenje dviju vrsta spektra odziva: Tip 1 i Tip 2. Ako je očekivana magnituda potresa veća od 5,5, preporučuje se korištenje spektra Tip 1 (tablica 38. i slika 61.). Za manju magnitudu preporučuje se spektralni Tip 2 (tablica 39. i slika 62.).

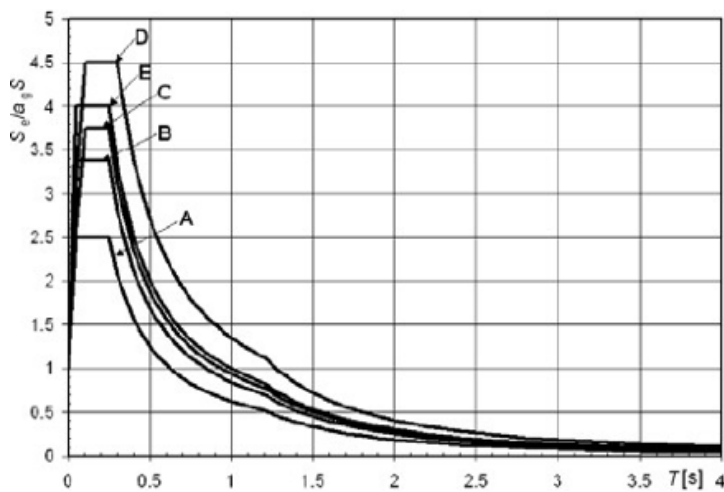
I tlo i građevina posjeduju dinamička svojstva, uključujući vlastiti period i prigušenje. Prema EC 8, koji je korišten u ovom radu, postoji pet tipova tla - od stijene (Tip A) do gline (Tip E). Oštećenja konstrukcija uslijed potresa ovise o ubrzaju tla, trajanju pomaka, frekvencijama, lokalnim uvjetima tla, periodu lokacije, udaljenosti od epicentra, geološkim formacijama, vlastitoj frekvenciji konstrukcije i prigušenju. [8]

Tablica 38. Parametri temeljnog tla za horizontalni tip spektra 1 [8]

Kat. tla	<i>S</i>	<i>T_B [s]</i>	<i>T_C [s]</i>	<i>T_D [s]</i>
A	1.0	0.15	0.4	2.0
B	1.2	0.15	0.5	2.0
C	1.15	0.20	0.6	2.0
D	1.35	0.20	0.8	2.0
E	1.4	0.15	0.5	2.0

**Slika 61.** Elastični spektar tipa 1 ovisno o tipu tla uz 5% prigušenja [8]**Tablica 39.** Parametri temeljnog tla za horizontalni tip spektra 2 [8]

Kat. tla	<i>S</i>	<i>T_B [s]</i>	<i>T_C [s]</i>	<i>T_D [s]</i>
A	1.0	0.05	0.25	1.2
B	1.35	0.05	0.25	1.2
C	1.5	0.10	0.25	2.0
D	1.8	0.10	0.30	2.0
E	1.6	0.05	0.25	2.0



Slika 62. Elastični spektar tipa 2 ovisno o tipu tla uz 5% prigušenja [8]

Horizontalna komponenta potresnog djelovanja definira se:

$$0 \leq T \leq T_B; S_d(T) = a_g \cdot S \cdot \left[\frac{2}{3} + \frac{T}{T_B} \cdot \left(\frac{25}{q} - \frac{2}{3} \right) \right] \quad (64)$$

$$T_B \leq T \leq T_C; S_d(T) = a_g \cdot S \cdot \frac{25}{q} \quad (65)$$

$$T_C \leq T \leq T_D; S_d(T) = a_g \cdot S \cdot \frac{25}{q} \cdot \left[\frac{T_C}{T} \right] \geq \beta \cdot a_g \quad (66)$$

$$T_D \leq T; S_d(T) = a_g \cdot S \cdot \frac{25}{q} \cdot \left[\frac{T_C \cdot T_D}{T^2} \right] \geq \beta \cdot a_g \quad (67)$$

gdje je:

$S_d(T)$ - projektni spektar

T - period vibracija linearnog sustava s jednim stupnjem slobode

a_g - projektno ubrzanje tla; $a_g = \gamma_i \cdot a_{gR}$

γ_i - faktor važnosti građevine

a_{gR} - vršna akceleracija tla

T_B, T_C, T_D - točke (vrijednosti perioda) koje definiraju pojedini dio spektra odziva

S - parametar tla

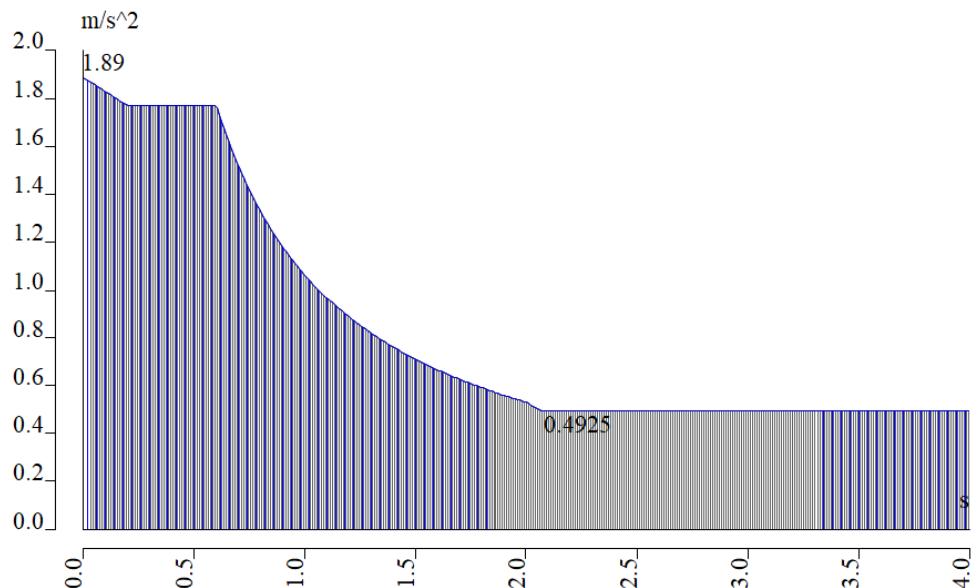
q - faktor ponašanja

β - donja vrijednost faktora horizontalnog spektra odziva; $\beta = 0,2$

10.2 Potresno djelovanje

Za potresno djelovanje konstrukcije korištena su dva horizontalna proračunska spektra odziva, za x i y smjer (slika 63). Ovi spektri temelje se na proračunskom ubrzalu tla od $0,25g$, što odgovara povratnom periodu potresa od 475 godina za lokaciju na kojoj se nalazi konstrukcija. Tip tla je C, a primijenjen je spektar tipa 1. Kategorija važnosti građevine je 2, što rezultira faktorom važnosti od 1,0 (vidi Tablicu 4).

Elastični spektar odziva se umanjuje faktorom ponašanja q , čime se dobiva projektni spektar odziva. Za ovu konstrukciju odabran je srednji razred duktilnosti (DCM), a za oba smjera očitane su vrijednosti faktora ponašanja. Za smjerove x i y, faktor ponašanja q iznosi 4,0 (vidi Tablicu 5).



Slika 63. Horizontalni proračun spektra odziva za x i y smjer

10.3 Dinamički odgovor konstrukcije

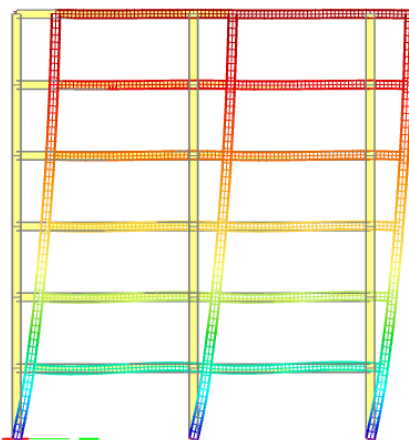
Modalna analiza izvedena je korištenjem računalnog programa "SCIA". Rezultati modalne analize prikazani su tablicama 40 i 41. Analizirani su prvih 20 modova vlastitog osciliranja, uz uvjet da udio mase koji se uzima u obzir mora biti veći od 90% ukupne mase konstrukcije. U smjeru x, udio mase iznosi 98,35%, dok je u smjeru y udio mase 99,0%. Također su prikazani prvi tri moda vibracija i pripadajući periodi oscilacija konstrukcije (slika 64., slika 65. i slika 66.).

Tablica 40. Rezultati modalne analize

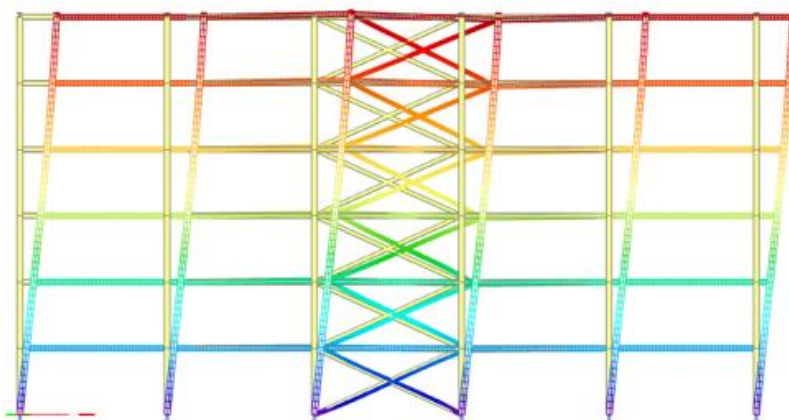
Mode	ω_{mega} [rad/s]	Period [s]	Freq. [Hz]	$W_{xi}/W_{x\text{tot}}$	$W_{yi}/W_{y\text{tot}}$	$W_{zi}/W_{z\text{tot}}$	$W_{xi_R}/W_{x\text{tot},I}$	$W_{yi_R}/W_{y\text{tot},F}$	$W_{zi_R}/W_{z\text{tot},I}$
1	3.74638	1,68	0,60	0,0000	0,9108	0,0000	0,0462	0,0000	0,0000
2	5.03169	1,25	0,80	0,8250	0,0000	0,0000	0,0000	0,0391	0,0000
3	5.4647	1,15	0,87	0,0000	0,0000	0,0000	0,0000	0,0000	0,8809
4	12,792	0,49	2,04	0,0000	0,0634	0,0000	0,4562	0,0000	0,0000
5	15.2635	0,41	2,43	0,1289	0,0000	0,0000	0,0000	0,1564	0,0000
6	17.3696	0,36	2,76	0,0000	0,0000	0,0000	0,0000	0,0000	0,0876
7	24.4014	0,26	3,88	0,0000	0,0000	0,7938	0,0000	0,0000	0,0000
8	24.7757	0,25	3,94	0,0000	0,0152	0,0000	0,0266	0,0000	0,0000
9	25.5939	0,25	4,07	0,0004	0,0000	0,0000	0,0000	0,5499	0,0000
10	26.3746	0,24	4,20	0,0291	0,0000	0,0000	0,0000	0,0491	0,0000
11	27.0206	0,23	4,30	0,0000	0,0000	0,0000	0,3167	0,0000	0,0000
12	27.1859	0,23	4,33	0,0000	0,0000	0,0619	0,0000	0,0000	0,0000
13	27.2367	0,23	4,33	0,0000	0,0000	0,0088	0,0000	0,0000	0,0000
14	27.3009	0,23	4,35	0,0000	0,0000	0,0000	0,0000	0,0000	0,0000
15	27.3384	0,23	4,35	0,0000	0,0000	0,0227	0,0000	0,0000	0,0000
16	27.461	0,23	4,37	0,0000	0,0000	0,0000	0,0006	0,0000	0,0000
17	27.663	0,23	4,40	0,0000	0,0000	0,0000	0,0064	0,0000	0,0000
18	28.0034	0,22	4,46	0,0000	0,0005	0,0000	0,0002	0,0000	0,0000
19	28.027	0,22	4,46	0,0000	0,0000	0,0000	0,0000	0,0440	0,0000
20	28.0692	0,22	4,47	0,0000	0,0000	0,0000	0,0000	0,0068	0,0000
				0,9835	0,9900	0,8872	0,8528	0,8452	0,9685

Tablica 41. Rezultati modalne analize

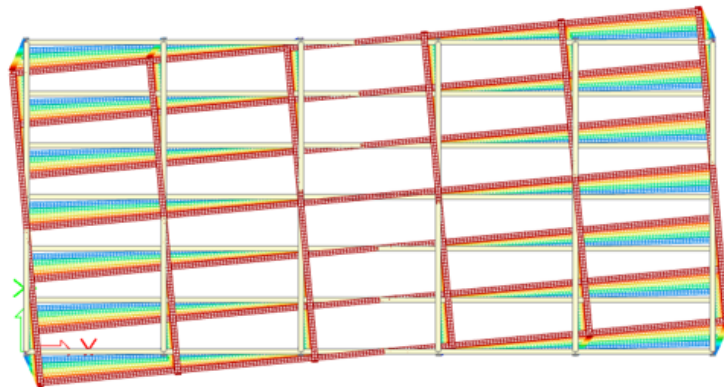
N	f [Hz]	ω [1/s]	ω^2 [1/s ²]	T [s]
Mass combination : Kombinacija masa				
1	0,60	3,75	14,03	1,68
2	0,80	5,03	25,32	1,25
3	0,87	5,46	29,86	1,15
4	2,04	12,79	163,63	0,49
5	2,43	15,26	232,96	0,41
6	2,76	17,37	301,69	0,36
7	3,88	24,40	595,40	0,26
8	3,94	24,78	613,80	0,25
9	4,07	25,59	655,01	0,25
10	4,20	26,37	695,58	0,24
11	4,30	27,02	730,07	0,23
12	4,33	27,19	739,03	0,23
13	4,33	27,24	741,79	0,23
14	4,35	27,30	745,29	0,23
15	4,35	27,34	747,34	0,23
16	4,37	27,46	754,06	0,23
17	4,40	27,66	765,20	0,23
18	4,46	28,00	784,14	0,22
19	4,46	28,03	785,47	0,22
20	4,47	28,07	787,83	0,22



Slika 64. Prvi mod osciliranja- y smjer, T=1,68 s



Slika 65. Drugi mod osciliranja- x smjer, T=1,25 s



Slika 66. Treći mod osciliranja- torzija, T= 1,15 s

Tablica 42. Aktivirane mase u modalnoj analizi

	Mass type	X [kg]	Y [kg]	Z [kg]
1	Moving mass	4554539,05	4554539,05	4554539,05
1	Total mass	4556436,70	4556436,70	4556436,70

Ručna kontrola mase:

$$1 \cdot stalno + 0,3 \cdot uporabno = 1 \cdot 43178,7 + 0,3 \cdot 7632 = 45468,3 kN$$

Aktivirana masa u modalnoj analizi:

$$m_{ukupno} = 455439,05 kg = 455439,05 \cdot \frac{9,81}{1000} = 45454,3 kN$$

10.4 Klasifikacija okvira

Kako bi se učinci drugog mogli zanemariti, u seizmičkoj analizi, na svakom katu treba biti zadovoljen izraz:

$$\theta = \frac{P_{tot} \cdot d_r}{v_{tot} \cdot h} \leq 0,1$$

(68)

gdje je:

θ - koeficijenti osjetljivosti za vrijednosti međukatnog pomaka

P_{tot} - ukupno gravitacijsko opterećenje za promatrani kat i katove iznad njega za seizmičku

proračunsku situaciju

V_{tot} - ukupna seizmička računska sila za promatrani kat

h - visina kata

d_r - proračunski katni pomak određen kao razlika prosječnih bočnih pomaka d_s na vrhu i pri podnožju promatranog kata

Proračunski pomak d_r računa se prema izrazu:

$$d_r = q_d \cdot d_e \quad (69)$$

gdje je:

q_d - faktor ponašanja na pomak

d_e - pomak dobiven elastičnom analizom na temelju proračunskog spektra odgovora

Ako je $0,1 \leq \theta \leq 0,2$ učinci drugog reda se mogu približno uzeti u obzir množenjem odgovarajućih potresnih unutarnjih sila faktorom $1 / (1 - \theta)$. Vrijednost koeficijenta θ ne smije premašiti vrijednost 0,3.

Tablica 43. Proračun koeficijenta osjetljivosti

Etaža	P_{tot} [kN]	$V_{tot,x}$ [kN]	$V_{tot,y}$ [kN]	d_{ex} [mm]	d_{ey} [mm]	d_{rx} [m]	d_{ry} [m]	h [m]	θ_x	θ_y
Prizem	44512	3374	2679	3,2	6,7	0,01	0,03	3,60	0,05	0,12
1 kat	36892	3095	2421	4,7	6,6	0,02	0,03	3,60	0,06	0,11
2 kat	29272	2714	2099	4,6	5	0,02	0,02	3,60	0,06	0,08
3 kat	21652	2287	1735	4,3	4	0,02	0,02	3,60	0,05	0,06
4 kat	14032	1747	1286	3,8	2,9	0,02	0,01	3,60	0,03	0,04
5 kat	6412	956	678	2,8	1,8	0,01	0,01	3,60	0,02	0,02

Učinci 2. reda se ne smiju zanemariti u y smjeru (tablica 43.), te se kombinacija opterećenja povećava sa najvećim dobivenim faktorom uvećanja $\theta = 0,12$:

$$\alpha_y = \frac{1}{1 - \theta} = \frac{1}{1 - 0,12} = 1,14$$

10.5 Ograničenje međukatnog pomaka

Za zgrade koje imaju nekonstrukcijske elemente pričvršćene ili zgrade bez nekonstrukcijskih elemenata ograničenje međukatnog pomaka je:

$$d_r \cdot v \leq 0,010 h$$

(70)

gdje je:

d_r - proračunski katni pomak

v - faktor smanjenja; v = 1,0

Ograničenje za karakterističnu etažu zgrade:

$$0,01 \cdot h = 0,01 \cdot 360 = 3,6 \text{ cm}$$

Tablica 44. Prikaz zahtjeva ograničenja pomaka po katovima u x i y smjeru

Etaža	d _{rx} [m]	d _{ry} [m]	h [m]	0,01 h
Prizem	0,01	0,03	3,60	0,036
	0,02	0,03	3,60	0,036
	0,02	0,02	3,60	0,036
	0,02	0,02	3,60	0,036
	0,02	0,01	3,60	0,036
	0,01	0,01	3,60	0,036

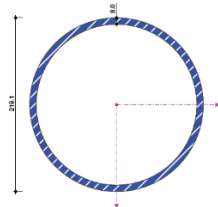
Iz tablice 44. možemo vidjeti kako su pomaci zadovoljeni i u x i y smjeru.

10.6 Proračun jednostavnog okvirnog sustava s centričnim vezama

10.6.1 Dimenzioniranje X vezova

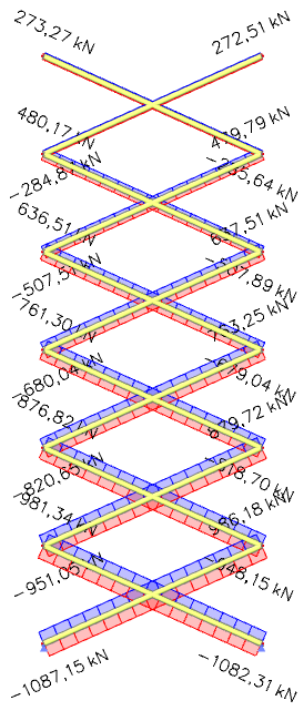
Tablica 45. Geometrijske karakteristike poprečnog presjeka

Duljina eleminta:	I=8,77 m
Poprečni presjek:	CHS 219,1x8,0
Tip profila:	Toplo dogotovljeni
Težina po m :	G= 41,6 kg/m
Površina poprečnog presjeka:	A= 53,1 cm ²
Moment entroma osti:	E= 2960 cm ⁴
Moment entopora	W= 270 cm ⁴
Plastični moment entopora:	W _{p1} = 357 cm ⁴
Radijus trupa osti:	r= 7,47 cm



Kod okvira s X dijagonalama vitkost mora biti u granicama $1,3 \leq \bar{\lambda} \leq 2,0$

Horizontalne sile se prenose preko dijagonalnih elemenata u vlaku



Slika 67. Dijagram uzdužne sile N_{Ed} za spektralnu analizu

Homogeno trošenje energije:

Da bi se osiguralo homogeno trošenje energije u dijagonalama najveća vrijednost faktor povećanja otpornosti ne smije se razlikovati više od 25% od najmanje vrijednosti. Faktor povećanja otpornosti računa se izrazom:

$$\Omega = \frac{N_{Pl,Rd,i}}{N_{Ed,i}}$$

(71)

Tablica 46. Prikaz uvjeta homogenog trošenja energije dijagonala katova

Etaža	Dijagonala	A [cm ²]	f _y [kN/cm ²]	N _{pl,Rd} [kN]	N _{Ed} [kN]	$\Omega_i = \frac{N_{pl,Rd,i}}{N_{Ed,i}}$	$\frac{\Omega_i - \Omega}{\Omega} \cdot 100$
5 kat	219,1x2,5	16,8	35,5	596,4	273	2,18	14%
4 kat	219,1x4,0	27	35,5	958,5	480	2	5%
3 kat	219,1x5,6	37,6	35,5	1334,8	638	2,09	10%
2 kat	219,1x6,3	42,1	35,5	1494,55	763	1,96	3%
1 kat	219,1x7,1	57,3	35,5	1679,15	880	1,91	0%
Prizem	219,1x8	53,1	35,5	1885,05	986	1,91	0%

Otpornost na vlačnu silu:

$$N_{c,Rd} = N_{pl,y,Rd} = \frac{A \cdot f_y}{\gamma_m} = \frac{53,1 \cdot 35,5}{1,0} = 1885,05 \text{ kN}$$

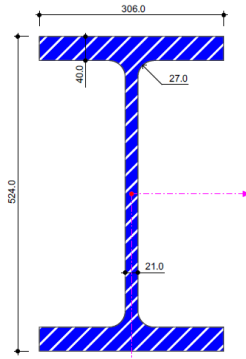
Uvjet:

$$\frac{N_{Ed}}{N_{c,Rd}} = \frac{986,18}{1885,05} = 0,52 < 1,0$$

Uvjet je zadovoljen!

10.6.2 Dimenzioniranje stupova**Tablica 47.** Geometrijske karakteristike poprečnog presjeka

Duljina eleminta:	I=3,6 m
Poprečni presjek:	HEM 500
Tip profila:	Toplo dogotovljeni
Visina profila:	h= 524 mm
Širina profila:	b= 306 mm
Debljina pojasnice:	t _f = 40,0 mm
Debljina hrpta:	t _w = 21,0 mm
Radius zaobljenja:	r= 27 mm
Težina po m ⁻¹ :	G= 270 kg/m ⁻¹
Površina poprečnog presjeka:	A= 344 cm ²
Torzijska konstanta:	I _t = 1540 cm ⁴
Konstanta krivljenja:	I _w = 11200000 cm ⁶
Mom entinerije:	I _y = 162000 cm ⁴
Mom entotpora:	W _y = 6180 cm ³
Plastičnim mom entotpora:	W _{pl,y} = 7090 cm ³
Radius trom osti:	i _y = 21,7 cm
	i _z = 7,46 cm



Stupovi s uzdužnim silama trebaju ispuniti uvjet najmanje otpornosti:

$$N_{Pl,Rd} \cdot M_{Ed} \geq N_{Ed,G} + 1,1 \cdot \gamma_{ov} \cdot \Omega \cdot N_{Ed,E}$$

$$N_{Ed} = N_{Ed,G} + 1,1 \cdot \gamma_{ov} \cdot \Omega \cdot N_{Ed,E}$$

$$\Omega = 1,91$$

$$N_{Ed,G} = N_{Sc} - N_{Ed,E} = 5110,1 - 2897,04 = 2213,06 \text{ kN}$$

Računska uzdužna sila:

$$N_{Ed} = 2213,06 + 1,1 \cdot 1,25 \cdot 1,91 \cdot 2897,04 = 9821,41 \text{ kN}$$

Računski moment savijanja:

$$M_{Ed} = M_{Ed,G} + 1,1 \cdot \gamma_{ov} \cdot \Omega \cdot M_{Ed,E}$$

$$\Omega = 1,91$$

$$M_{Ed,G} = M_{Sc} - M_{Ed,E} = 13,21 - 4,97 = 8,24 \text{ kNm}$$

$$M_{Ed} = 8,24 + 1,1 \cdot 1,25 \cdot 1,91 \cdot 4,97 = 21,29 \text{ kNm}$$

10.6.2.1 Klasifikacija poprečnog presjeka

Hrbat

$$\frac{c}{t} = \frac{h - 2 \cdot t_f - 2 \cdot r}{t_w} = \frac{524,0 - 2 \cdot 40,0 - 2 \cdot 27,0}{21,0} = 18,57$$

Uvjet za klasu 1.:

$$\frac{c}{t} = 18,57 \leq 33 \cdot \varepsilon = 33 \cdot 0,81 = 26,73$$

Hrbat je klase 1.

Pojasnica

$$\frac{c}{t} = \frac{\frac{b - t_w - 2 \cdot r}{2}}{\frac{t_f}{40,0}} = \frac{\frac{306,0 - 21,0 - 2 \cdot 27,0}{2}}{40,0} = 2,9$$

Uvjet za klasu 1.:

$$\frac{c}{t} = 2,9 \leq 9 \cdot \varepsilon = 9 \cdot 0,81 = 7,29$$

Pojasnica je klase 1.

Poprečni presjek je klase 1.

10.6.2.2 Otpornost poprečnog presjeka

Otpornost poprečnog presjeka u tlaku:

$$N_{c,Rd} = N_{p,y,Rd} = \frac{A \cdot f_y}{\gamma_{M0}} = \frac{344,0 \cdot 35,5}{1,0} = 12212 kN$$

Uvjet:

$$\frac{N_{Ed}}{N_{c,Rd}} = \frac{9821,41}{12212} = 0,8 < 1,0$$

Uvjet je zadovoljen!

Otpornost poprečnog presjeka na savijanje:

$$M_{c,NRd} = M_{p,y,Rd} = \frac{W_{p,y} \cdot f_y}{\gamma_{M0}} = \frac{7090 \cdot 35,5}{1,0} = 251695 kNm = 2516,95 kNm$$

Uvjet:

$$\frac{M_{Ed}}{M_{c,NRd}} = \frac{21,29}{2516,95} = 0,01 < 1,0$$

Uvjet je zadovoljen!

10.6.2.3 Otpornost elementa

Otpornost elementa na izvijanje:

Elastična kritična sila:

$$N_{cr} = \frac{\pi^2 \cdot EI}{L_{cr}^2}$$

Bezdimenzijska vitkost:

$$\bar{\lambda} = \sqrt{\frac{A \cdot f_y}{N_{cr}}}$$

Izvijanje oko osi y

Kritična dužina izvijanja $L_{cr,y} = 360 \text{ cm}$

$$N_{cr,y} = \frac{\pi^2 \cdot E \cdot I_y}{L_{cr,y}^2} = \frac{\pi^2 \cdot 21000 \cdot 162000}{360^2} = 259077 kN$$

$$\bar{\lambda}_y = \sqrt{\frac{A \cdot f_y}{N_{\alpha y}}} = \sqrt{\frac{344 \cdot 35,5}{259077}} = 0,22$$

Mjerodavna krivulja izvijanja:

$$\frac{h}{b} = \frac{524,0}{306,0} = 1,71 > 1,2$$

$$t_f = 40,0 \text{ mm} \leq 40,0 \text{ mm}$$

Krivulja izvijanja: a → faktor imperfekcije $\alpha = 0,21$

Pomoćna veličina:

$$\phi_y = 0,5 \cdot \left[1 + \alpha \cdot \left(\bar{\lambda}_y - 0,2 \right) + \bar{\lambda}_y^2 \right] = 0,5 \cdot \left[1 + 0,21 \cdot (0,22 - 0,2) + 0,22^2 \right] = 0,53$$

Faktor redukcije:

$$\chi_y = \frac{1,0}{\phi_y + \sqrt{\phi_y^2 - \bar{\lambda}_y^2}} = \frac{1,0}{0,53 + \sqrt{0,53^2 - 0,22^2}} = 0,99 \leq 1,0$$

Proračunska otpornost:

$$N_{b,y,Rd} = \chi_y \cdot \frac{A \cdot f_y}{\gamma_{M1}} = 0,99 \cdot \frac{344,0 \cdot 35,5}{1,1} = 10990,8 \text{ kN}$$

Uvjet:

$$\frac{N_{Ed}}{N_{b,y,Rd}} = \frac{9821,41}{10990,8} = 0,89 < 1,0$$

Uvjet je zadovoljen!

Izvijanje oko osi z

Kritična dužina izvijanja $L_{cr,z} = 360 \text{ cm}$

$$N_{\alpha z} = \frac{\pi^2 \cdot E \cdot I_z}{L_{\alpha z}^2} = \frac{\pi^2 \cdot 21000 \cdot 19200}{360^2} = 30865,36 \text{ kN}$$

$$\bar{\lambda}_z = \sqrt{\frac{A \cdot f_y}{N_{\alpha z}}} = \sqrt{\frac{344 \cdot 35,5}{30865}} = 0,63$$

Mjerodavna krivulja izvijanja:

$$\frac{h}{b} = \frac{524,0}{306,0} = 1,71 > 1,2$$

$$t_f = 40,0 \text{ mm} \leq 40,0 \text{ mm}$$

Krivulja izvijanja: $b \rightarrow$ faktor imperfekcije $\alpha = 0,34$

Pomoćna veličina:

$$\phi_z = 0,5 \cdot \left[1 + \alpha \cdot \left(\overline{\lambda}_z - 0,2 \right) + \overline{\lambda}_z^2 \right] = 0,5 \cdot \left[1 + 0,34 \cdot (0,63 - 0,2) + 0,63^2 \right] = 0,77$$

Faktor redukcije:

$$\chi_z = \frac{1,0}{\phi_z + \sqrt{\phi_z^2 - \overline{\lambda}_z^2}} = \frac{1,0}{0,77 + \sqrt{0,77^2 - 0,63^2}} = 0,9 \leq 1,0$$

Proračunska otpornost

$$N_{b, \text{Rd}} = \chi_z \cdot \frac{A \cdot f_y}{\gamma_{M1}} = 0,9 \cdot \frac{344,0 \cdot 35,5}{1,1} = 9991,64 \text{ kN}$$

Uvjet:

$$\frac{N_{Ed}}{N_{b, \text{Rd}}} = \frac{9821,41}{9991,64} = 0,98 < 1,0$$

Uvjet je zadovoljen!

Otpornost elementa na savijanje:

Elastični kritični moment:

$$M_{cr} = C_1 \cdot \frac{\pi^2 \cdot EI_z}{(k \cdot L_{cr})^2} \left[\sqrt{\left(\frac{k}{k_w} \right)^2 \cdot \frac{I_w}{I_z} + \frac{(k \cdot L_{cr})^2 \cdot G \cdot I_t}{\pi^2 \cdot EI_z} + (C_2 \cdot z_g)^2} - C_2 \cdot z_g \right]$$

Razmak bočnog pridržanja: $L_{cr} = 360 \text{ cm}$

Mjesto unosa sile: $z_g = 0$

Faktor efektivne dužine: $k=1,0; k_w=1,0$

Faktori ovisni o uvjetima opterećenja ($\psi = 0$): $C_1 = 1,77; C_2 = 0$

$$M_{cr} = 1,77 \cdot \frac{\pi^2 \cdot 21000 \cdot 19200}{(1,0 \cdot 360)^2} \left[\sqrt{\left(\frac{1,0}{1,0} \right)^2 \cdot \frac{11200000}{19200} + \frac{(1,0 \cdot 360)^2 \cdot 8100 \cdot 1540}{\pi^2 \cdot 21000 \cdot 19200}} \right] = \\ = 1709677,22 \text{ kNm} = 17096,77 \text{ kNm}$$

Bezdimenzijska vitkost:

$$\bar{\lambda}_{LT} = \sqrt{\frac{W_{pl,y} \cdot f_y}{M_{cr}}} = \sqrt{\frac{7090 \cdot 35,5}{1709677}} = 0,38 \leq \bar{\lambda}_{LT,\rho} = 0,4$$

Ne zahtijeva provjeru elementa na BTI

Za valjani profil $\frac{h}{b} = \frac{524,0}{306,0} = 1,71 < 2,0$, mjerodavna krivulja izvijanja je $a \rightarrow \alpha_{LT} = 0,21$

$$\chi_{LT} = \frac{1}{\phi_{LT} + \sqrt{\phi_{LT}^2 - \bar{\lambda}_{LT}^2}} \leq 1,0$$

$$\phi_{LT} = 0,5 \cdot \left[1 + \alpha_{LT} \cdot (\bar{\lambda}_{LT} - 0,2) + \bar{\lambda}_{LT}^2 \right]$$

$$\phi_{LT} = 0,5 \cdot \left[1 + 0,21 \cdot (0,38 - 0,2) + 0,38^2 \right] = 0,59$$

$$\chi_{LT} = \frac{1}{0,59 + \sqrt{0,59^2 - 0,38^2}} = 0,98 \leq 1,0$$

Otpornost na savijanje:

$$M_{b,Rd} = \chi_{LT} \cdot \frac{W_{pl,y} \cdot f_y}{\gamma_{M1}} = 0,98 \cdot \frac{7090 \cdot 35,5}{1,1} = 224237 \text{ kNm} = 2242,37 \text{ kNm}$$

Uvjet:

$$\frac{M_{y,Ed}}{M_{b,Rd}} = \frac{21,29}{2242,37} = 0,01 < 1,0$$

Uvjet je zadovoljen!

Otpornost elementa na interakciju momenta savijanja i uzdužne sile (Metoda 2):

$$\frac{N_{Ed}}{\chi_y \cdot \frac{N_{Rk}}{\gamma_{M1}}} + k_{yy} \cdot \frac{M_{y,Ed}}{\chi_{LT} \cdot \frac{M_{y,Rk}}{\gamma_{M1}}} \leq 1,0$$

$$\frac{N_{Ed}}{\chi_z \cdot \frac{N_{Rk}}{\gamma_{M1}}} + k_{zy} \cdot \frac{M_{y,Ed}}{\chi_{LT} \cdot \frac{M_{y,Rk}}{\gamma_{M1}}} \leq 1,0$$

$$\psi = 0$$

$$C_{my} = C_{mLT} = 0,6 + 0,4 \cdot \psi = 0,6 + 0,4 \cdot 0 = 0,6 \geq 0,4$$

$$k_{yy} = C_{my} \cdot \left(1 + \left(\bar{\lambda}_y - 0,2 \right) \cdot \frac{N_{Ed}}{\chi_y \cdot \frac{N_{Rk}}{\gamma_{M1}}} \right) \leq C_{my} \cdot \left(1 + 0,8 \cdot \frac{N_{Ed}}{\chi_y \cdot \frac{N_{Rk}}{\gamma_{M1}}} \right)$$

$$k_{yy} = 0,6 \cdot \left(1 + (0,22 - 0,2) \cdot 0,81 \right) = 0,61 \leq 0,6 \cdot (1 + 0,8 \cdot 0,81) = 0,99$$

$$k_{zy} = 0,6 \cdot k_{yy} = 0,6 \cdot 0,61 = 0,37$$

Uvjet:

$$\frac{N_{Ed}}{\chi_y \cdot \frac{N_{Rk}}{\gamma_{M1}}} + k_{yy} \cdot \frac{M_{yEd}}{\chi_{IT} \cdot \frac{M_{yRk}}{\gamma_{M1}}} \leq 1,0$$

$$0,81 + 0,61 \cdot 0,01 = 0,82 \leq 1,0$$

$$\frac{N_{Ed}}{\chi_z \cdot \frac{N_{Rk}}{\gamma_{M1}}} + k_{zy} \cdot \frac{M_{yEd}}{\chi_{IT} \cdot \frac{M_{yRk}}{\gamma_{M1}}} \leq 1,0$$

$$0,98 + 0,37 \cdot 0,01 = 0,98 \leq 1,0$$

Uvjet je zadovoljen!

10.7 Proračun okvirnog sustava

10.7.1 Dimenzioniranje glavnog nosača

Tablica 48. Geometrijske karakteristike poprečnog presjeka

Duljina eleminta:	L=9 m
Poprečni presjek:	HEB 500
Tip profila:	Toplo dogotovljeni
Visina profila:	h= 500 mm
Širina profila:	b= 300 mm
Debljina pojasnice:	t _f = 28,0 mm
Debljina hrpta:	t _w = 14,5 mm
Radius zaobljenja:	r= 27 mm
Težina po m :	G= 187 kg/m
Površina poprečnog presjeka:	A= 239 cm ²
Torzijska konstanta:	I _t = 548 cm ⁴
Konstanta krivljenja:	I _w = 7020000 cm ⁶
Moment inercije:	I _y = 107000 cm ⁴
Moment entopora:	W _y = 4290 cm ³
Plastičnim momentom entopora:	W _{pl,y} = 4820 cm ³
Radius tromosti:	i _y = 21,2 cm
	i _z = 727 cm

Prema pravilima za okvirne konstrukcije u nosačima je potrebno provjeriti da plastična otpornost na savijanje i rotacijski kapacitet nisu smanjeni uslijed tlaka i poprečne sile.

$$\frac{M_{Ed}}{M_{plRd}} \leq 1,0 \quad \frac{N_{Ed}}{N_{plRd}} \leq 0,15 \quad \frac{V_{EdG} + V_{EdM}}{V_{plRd}} \leq 0,5$$

Računska uzdužna sila:

$$N_{Ed} = N_{EdG} + \alpha \cdot N_{EdE}$$

$$\alpha = 1,14$$

$$N_{EdG} = N_{sc} - N_{EdE} = 201,96 - 39,07 = 162,89 kN$$

$$N_{Ed} = 162,89 + 1,14 \cdot 39,07 = 207,43 kN$$

Računski moment savijanja:

$$M_{Ed} = M_{EdG} + \alpha \cdot M_{EdE}$$

$$\alpha = 1,14$$

$$M_{EdG} = M_{sc} - M_{EdE} = 985,45 - 562,67 = 422,78 kNm$$

$$M_{Ed} = 422,78 + 1,14 \cdot 562,67 = 1064,22 kNm$$

Računska poprečna sila:

$$V_{Ed} = V_{Ed,G} + V_{Ed,M} = V_{Ed,G} + \frac{M_{pl,Rd,A} + M_{pl,Rd,B}}{L}$$

$$V_{Ed,G} = V_{sc} - V_{Ed,E} = 338,4 - 114,77 = 223,63 \text{ kN}$$

$$V_{Ed} = 223,63 + \frac{1711,1 + 1711,1}{9,0} = 603,87 \text{ kN}$$

Proračunske otpornosti:

$$M_{c,N,Rd} = M_{p1y,Rd} = \frac{W_{p1y} \cdot f_y}{\gamma_{M,0}} = \frac{4820 \cdot 35,5}{1,0} = 171110 \text{ kNm} = 1711,1 \text{ kNm}$$

$$N_{c,Rd} = N_{p1z,Rd} = \frac{A \cdot f_y}{\gamma_{M,0}} = \frac{239 \cdot 35,5}{1,0} = 8484,5 \text{ kN}$$

$$V_{c,Rd} = V_{p1z,Rd} = \frac{A_v \cdot \frac{f_y}{\sqrt{3}}}{\gamma_{M,0}}$$

$$A_v = A - 2 \cdot b \cdot t_f + (t_w + 2 \cdot r) \cdot t_f \geq \eta \cdot h_w \cdot t_w$$

$$\eta = 1,2$$

$$h_w = h - 2 \cdot t_f = 500,0 - 2 \cdot 28,0 = 444,0 \text{ mm}$$

$$A_v = 239,0 - 2 \cdot 30,0 \cdot 2,8 + 1,45 + 2 \cdot 2,7) \cdot 2,8 = 95,98 \text{ cm}^2 \geq 1,2 \cdot 44,4 \cdot 1,45 = 77,26 \text{ cm}^2$$

$$V_{c,Rd} = V_{p1z,Rd} = \frac{95,98 \cdot \frac{35,5}{\sqrt{3}}}{1,0} = 1967,2 \text{ kN}$$

Uvjet:

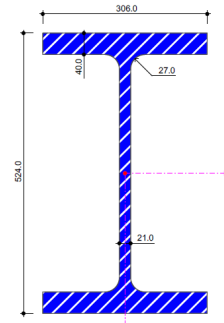
$$\frac{1064,22}{1711,1} = 0,62 \leq 1,0 \quad \frac{207,43}{8484,5} = 0,02 \leq 0,15 \quad \frac{603,87}{1967,2} = 0,31 \leq 0,5$$

Uvjeti su zadovoljeni!

10.7.2 Dimenzioniranje stupa

Tablica 49. Geometrijske karakteristike poprečnog presjeka

Duljina eleminta:	L=3,6 m	
Poprečni presjek:	HEM 500	
Tip profila:	Toplo dogotovljeni	
Visina profila:	h= 524 mm	
Širina profila:	b= 306 mm	
Debljina pojasnice:	t _f = 40,0 mm	
Debljina hrpta:	t _w = 21,0 mm	
Radius zaobljenja:	r= 27 mm	
Težina po m:	G= 270 kg/m	
Površina poprečnog presjeka:	A= 344 cm ²	
Torzijska konstanta:	I _t = 1540 cm ⁴	
Konstanta krivljenja:	I _w = 11200000 cm ⁶	
Moment inercije:	I _y = 162000 cm ⁴	I _z = 19200 cm ⁴
Moment entopora:	W _y = 6180 cm ³	W _z = 1250 cm ³
Plastičnim momentom entopora:	W _{pl,y} = 7090 cm ³	W _{pl,z} = 1930 cm ³
Radius tromostii:	i _y = 21,7 cm	i _z = 746 cm



Za proračun se uzima u obzir najnepovoljnija kombinacija uzdužne sile i momenta savijanja s računskim vrijednostima:

$$N_{Ed} = N_{Ed,G} + \alpha \cdot 1,1 \cdot \gamma_{ov} \cdot \Omega \cdot N_{Ed,E}$$

$$M_{Ed} = M_{Ed,G} + \alpha \cdot 1,1 \cdot \gamma_{ov} \cdot \Omega \cdot M_{Ed,E}$$

$$V_{Ed} = V_{Ed,G} + \alpha \cdot 1,1 \cdot \gamma_{ov} \cdot \Omega \cdot V_{Ed,E}$$

Poprečna sila u stupu također treba zadovoljiti uvjet:

$$\frac{V_{Ed}}{V_{pl,Rd}} \leq 0,5$$

$$\Omega = \frac{1711,1}{1064,22} = 1,61$$

$$N_{Ed,G} = 2213,06 \text{ kN}$$

$$M_{Ed,G} = 8,24 \text{ kNm}$$

$$V_{Ed,G} = 6,43 - 5,08 = 1,35 \text{ kN}$$

$$N_{Ed} = 2213,06 + 1,14 \cdot 1,1 \cdot 1,25 \cdot 1,61 \cdot 2897,04 = 9524,25 \text{ kN}$$

$$M_{Ed} = 8,24 + 1,14 \cdot 1,1 \cdot 1,25 \cdot 1,61 \cdot 4,97 = 20,78 \text{ kNm}$$

$$V_{Ed} = 1,35 + 1,14 \cdot 1,1 \cdot 1,25 \cdot 1,61 \cdot 5,08 = 14,17 \text{ kN}$$

10.7.2.1 Klasifikacija poprečnog presjeka

Hrbat

$$\frac{c}{t} = \frac{h - 2 \cdot t_f - 2 \cdot r}{t_w} = \frac{524,0 - 2 \cdot 40,0 - 2 \cdot 27,0}{21,0} = 18,57$$

Uvjet za klasu 1.:

$$\frac{c}{t} = 18,57 \leq 33 \cdot \varepsilon = 33 \cdot 0,81 = 26,73$$

Hrbat je klase 1.

Pojasnica

$$\frac{c}{t} = \frac{\frac{b - t_w - 2 \cdot r}{2}}{\frac{t_f}{2}} = \frac{\frac{306,0 - 21,0 - 2 \cdot 27,0}{2}}{\frac{40,0}{2}} = 2,9$$

Uvjet za klasu 1.:

$$\frac{c}{t} = 2,9 \leq 9 \cdot \varepsilon = 9 \cdot 0,81 = 7,29$$

Pojasnica je klase 1.

Poprečni presjek je klase 1.

10.7.2.2 Otpornost poprečnog presjeka

Otpornost poprečnog presjeka u tlaku:

$$N_{c,Rd} = N_{p,y,Rd} = \frac{A \cdot f_y}{\gamma_{M0}} = \frac{344,0 \cdot 35,5}{1,0} = 12212 \text{ kN}$$

Uvjet:

$$\frac{N_{Ed}}{N_{c,Rd}} = \frac{9524,25}{12212} = 0,78 < 1,0$$

Uvjet je zadovoljen!

Otpornost poprečnog presjeka na savijanje:

$$M_{c,y,Rd} = M_{p,y,Rd} = \frac{W_{p,y} \cdot f_y}{\gamma_{M0}} = \frac{7090 \cdot 35,5}{1,0} = 251695 \text{ kNm} = 2516,95 \text{ kNm}$$

Uvjet:

$$\frac{M_{Ed}}{M_{c,y,Rd}} = \frac{20,78}{2516,95} = 0,01 < 1,0$$

Uvjet je zadovoljen!

Otpornost poprečnog presjeka na posmik:

$$\frac{h_w}{t_w} < 72 \cdot \frac{\varepsilon}{\eta}$$

$$h_w = h - 2 \cdot t_f = 524,0 - 2 \cdot 40,0 = 444,0 \text{ mm}$$

$$\eta = 1,2$$

$$\frac{h_w}{t_w} = \frac{444,0}{21,0} = 21,14 < 72 \cdot \frac{0,81}{1,2} = 48,6$$

Nije potrebna provjera izbočavanja hrpta na posmik

Plastična posmična otpornost:

$$V_{c,Rd} = V_{plz,Rd} = \frac{A_v \cdot \frac{f_y}{\sqrt{3}}}{\gamma_m 0}$$

$$A_v = A - 2 \cdot b \cdot t_f + (t_w + 2 \cdot r) \cdot t_f \geq \eta \cdot h_w \cdot t_w$$

$$\eta = 1,2$$

$$A_v = 344,0 - 2 \cdot 30,6 \cdot 4,0 + (2,1 + 2 \cdot 2,7) \cdot 4,0 = 129,2 \text{ cm}^2 \geq 1,2 \cdot 44,4 \cdot 2,1 = 111,8 \text{ cm}^2$$

$$V_{c,Rd} = V_{plz,Rd} = \frac{129,2 \cdot \frac{35,5}{\sqrt{3}}}{1,0} = 2648,07$$

Uvjet:

$$\frac{V_{z,Ed}}{V_{plz,Rd}} = \frac{14,17}{2648,07} = 0,01 < 1,0$$

Uvjet je zadovoljen!

Interakcija N/V/M:

Poprečna sila:

Uvjet reduciranja plastične otpornosti savijanja:

$$V_{Ed} \leq 0,5 \cdot V_{plRd}$$

$$V_{z,Ed} = 14,17 < 0,5 \cdot 2648,07 = 1324,04 \text{ kN}$$

Uvjet je zadovoljen, otpornost poprečnog presjeka se ne smanjuje

Uzdužna sila:

$$N_{Ed} \leq 0,25 \cdot N_{c,Rd}$$

$$N_{Ed} \leq \frac{0,5 \cdot h_w \cdot t_w \cdot f_y}{\gamma_m 0}$$

$$N_{Ed} = 9524,25 \text{ kN} > 0,25 \cdot 12212 = 3053,0 \text{ kN}$$

$$N_{Ed} = 9524,25 \text{ kN} > \frac{0,5 \cdot 44,4 \cdot 2,1 \cdot 35,5}{1,0} = 1655,01 \text{ kN}$$

Uvjeti nisu zadovoljeni, s toga vrijedi:

$$M_{y,V,N,Rd} = M_{pl,y,Rd} \cdot \frac{1-n}{1-0,5 \cdot a} \leq M_{pl,y,Rd}$$

$$n = \frac{N_{Ed}}{N_{c,Rd}} = \frac{9524,25}{12212} = 0,78$$

$$a = \frac{A - 2 \cdot b \cdot t_f}{A} = \frac{344 - 2 \cdot 30,6 \cdot 4,0}{344} = 0,29 < 0,5$$

$$M_{y,V,N,Rd} = 2516,95 \cdot \frac{1-0,78}{1-0,5 \cdot 0,29} = 647,64 \text{ kNm} \leq 2516,95 \text{ kNm}$$

Uvjet:

$$\frac{M_{Ed}}{M_{y,V,N,Rd}} = \frac{20,78}{647,64} = 0,03 < 1,0$$

Uvjet je zadovoljen!

10.7.2.3 Otpornost elementa

Otpornost elementa na izvijanje:

Elastična kritična sila:

$$N_{cr} = \frac{\pi^2 \cdot EI}{L_{cr}^2}$$

Bezdimenzijska vitkost:

$$\bar{\lambda} = \sqrt{\frac{A \cdot f_y}{N_{cr}}}$$

Izvijanje oko osi y

Kritična dužina izvijanja $L_{cr,y} = 360 \text{ cm}$

$$N_{\alpha_y} = \frac{\pi^2 \cdot E \cdot I_y}{L_{\alpha_y}^2} = \frac{\pi^2 \cdot 21000 \cdot 162000}{360^2} = 259077 \text{ kN}$$

$$\bar{\lambda}_y = \sqrt{\frac{A \cdot f_y}{N_{\alpha_y}}} = \sqrt{\frac{344 \cdot 35,5}{259077}} = 0,22$$

Mjerodavna krivulja izvijanja:

$$\frac{h}{b} = \frac{524,0}{306,0} = 1,71 > 1,2$$

$$t_f = 40,0 \text{ mm} \leq 40,0 \text{ mm}$$

Krivulja izvijanja: a → faktor imperfekcije $\alpha = 0,21$

Pomoćna veličina:

$$\phi_y = 0,5 \cdot \left[1 + \alpha \cdot (\bar{\lambda}_y - 0,2) + \bar{\lambda}_y^2 \right] = 0,5 \cdot \left[1 + 0,21 \cdot (0,22 - 0,2) + 0,22^2 \right] = 0,53$$

Faktor redukcije:

$$\chi_y = \frac{1,0}{\phi_y + \sqrt{\phi_y^2 - \bar{\lambda}_y^2}} = \frac{1,0}{0,53 + \sqrt{0,53^2 - 0,22^2}} = 0,99 \leq 1,0$$

Proračunska otpornost:

$$N_{b,y,Rd} = \chi_y \cdot \frac{A \cdot f_y}{\gamma_{M1}} = 0,99 \cdot \frac{344,0 \cdot 35,5}{1,1} = 10990,8 \text{ kN}$$

Uvjet:

$$\frac{N_{Ed}}{N_{b,y,Rd}} = \frac{9524,25}{10990,8} = 0,87 < 1,0$$

Uvjet je zadovoljen!

Izvijanje oko osi z

Kritična dužina izvijanja $L_{cr,z} = 360 \text{ cm}$

$$N_{\alpha_z} = \frac{\pi^2 \cdot E \cdot I_z}{L_{\alpha_z}^2} = \frac{\pi^2 \cdot 21000 \cdot 19200}{360^2} = 30865,36 \text{ kN}$$

$$\bar{\lambda}_z = \sqrt{\frac{A \cdot f_y}{N_{cr,z}}} = \sqrt{\frac{344 \cdot 35,5}{30865}} = 0,63$$

Mjerodavna krivulja izvijanja:

$$\frac{h}{b} = \frac{524,0}{306,0} = 1,71 > 1,2$$

$$t_f = 40,0 \text{ mm} \leq 40,0 \text{ mm}$$

Krivulja izvijanja: $b \rightarrow$ faktor imperfekcije $\alpha = 0,34$

Pomoćna veličina:

$$\phi_z = 0,5 \cdot \left[1 + \alpha \cdot (\bar{\lambda}_z - 0,2) + \bar{\lambda}_z^2 \right] = 0,5 \cdot \left[1 + 0,34 \cdot (0,63 - 0,2) + 0,63^2 \right] = 0,77$$

Faktor redukcije:

$$\chi_z = \frac{1,0}{\phi_z + \sqrt{\phi_z^2 - \bar{\lambda}_z^2}} = \frac{1,0}{0,77 + \sqrt{0,77^2 - 0,63^2}} = 0,9 \leq 1,0$$

Proračunska otpornost:

$$N_{b,z,Rd} = \chi_z \cdot \frac{A \cdot f_y}{\gamma_{M1}} = 0,9 \cdot \frac{344,0 \cdot 35,5}{1,1} = 9991,64 \text{ kN}$$

Uvjet:

$$\frac{N_{Ed}}{N_{b,z,Rd}} = \frac{9524,25}{9991,64} = 0,95 < 1,0$$

Uvjet je zadovoljen!

Otpornost elementa na savijanje:

Elastični kritični moment:

$$M_{cr} = C_1 \cdot \frac{\pi^2 \cdot EI_z}{(k \cdot L_{cr})^2} \left[\sqrt{\left(\frac{k}{k_w} \right)^2 \cdot \frac{I_w}{I_z} + \frac{(k \cdot L_{cr})^2 \cdot G \cdot I_t}{\pi^2 \cdot EI_z} + (C_2 \cdot z_g)^2} - C_2 \cdot z_g \right]$$

Razmak bočnog pridržanja: $L_{cr} = 360 \text{ cm}$

Mjesto unosa sile: $z_g = 0$

Faktor efektivne dužine: $k=1,0; k_w=1,0$

Faktori ovisni o uvjetima opterećenja ($\psi = 0$): $C_1 = 1,77; C_2 = 0$

$$M_{cx} = 1,77 \cdot \frac{\pi^2 \cdot 21000 \cdot 19200}{(1,0 \cdot 360)^2} \left[\sqrt{\left(\frac{1,0}{1,0}\right)^2 \cdot \frac{11200000}{19200} + \frac{(1,0 \cdot 360)^2 \cdot 8100 \cdot 1540}{\pi^2 \cdot 21000 \cdot 19200}} \right] = \\ = 1709677,22 \text{ kNm} = 17096,77 \text{ kNm}$$

Bezdimenzijska vitkost:

$$\overline{\lambda}_{IT} = \sqrt{\frac{W_{pl,y} \cdot f_y}{M_{cx}}} = \sqrt{\frac{7090 \cdot 35,5}{1709677}} = 0,38 \leq \overline{\lambda}_{IT,\rho} = 0,4$$

Ne zahtijeva provjeru elementa na BTI

Za valjani profil $\frac{h}{b} = \frac{524,0}{306,0} = 1,71 < 2,0$, mjerodavna krivulja izvijanja je a $\rightarrow \alpha_{IT} = 0,21$

$$\chi_{IT} = \frac{1}{\phi_{IT} + \sqrt{\phi_{IT}^2 - \bar{\lambda}_{IT}^2}} \leq 1,0$$

$$\phi_{IT} = 0,5 \cdot \left[1 + \alpha_{IT} \cdot (\bar{\lambda}_{IT} - 0,2) + \bar{\lambda}_{IT}^2 \right]$$

$$\phi_{IT} = 0,5 \cdot \left[1 + 0,21 \cdot (0,38 - 0,2) + 0,38^2 \right] = 0,59$$

$$\chi_{IT} = \frac{1}{0,59 + \sqrt{0,59^2 - 0,38^2}} = 0,98 \leq 1,0$$

Otpornost na savijanje:

$$M_{b,Rd} = \chi_{IT} \cdot \frac{W_{pl,y} \cdot f_y}{\gamma_{M1}} = 0,98 \cdot \frac{7090 \cdot 35,5}{1,1} = 224237 \text{ kNm} = 2242,37 \text{ kNm}$$

Uvjet:

$$\frac{M_{y,Ed}}{M_{b,Rd}} = \frac{20,78}{2242,37} = 0,01 < 1,0$$

Uvjet je zadovoljen!

Otpornost elementa na interakciju momenta savijanja i uzdužne sile (Metoda 2):

$$\frac{N_{Ed}}{\chi_y \cdot \frac{N_{Rk}}{\gamma_{M1}}} + k_{yy} \cdot \frac{M_{yEd}}{\chi_{lt} \cdot \frac{M_{yRk}}{\gamma_{M1}}} \leq 1,0$$

$$\frac{N_{Ed}}{\chi_z \cdot \frac{N_{Rk}}{\gamma_{M1}}} + k_{zy} \cdot \frac{M_{yEd}}{\chi_{lt} \cdot \frac{M_{yRk}}{\gamma_{M1}}} \leq 1,0$$

$$\psi = 0$$

$$C_{my} = C_{m\text{lt}} = 0,6 + 0,4 \cdot \psi = 0,6 + 0,4 \cdot 0 = 0,6 \geq 0,4$$

$$k_{yy} = C_{my} \cdot \left(1 + \left(\overline{\lambda}_y - 0,2 \right) \cdot \frac{N_{Ed}}{\chi_y \cdot \frac{N_{Rk}}{\gamma_{M1}}} \right) \leq C_{my} \cdot \left(1 + 0,8 \cdot \frac{N_{Ed}}{\chi_y \cdot \frac{N_{Rk}}{\gamma_{M1}}} \right)$$

$$k_{yy} = 0,6 \cdot \left(1 + (0,22 - 0,2) \cdot 0,87 \right) = 0,61 \leq 0,6 \cdot (1 + 0,8 \cdot 0,87) = 0,99$$

$$k_{zy} = 0,6 \cdot k_{yy} = 0,6 \cdot 0,61 = 0,37$$

Uvjet:

$$\frac{N_{Ed}}{\chi_y \cdot \frac{N_{Rk}}{\gamma_{M1}}} + k_{yy} \cdot \frac{M_{yEd}}{\chi_{lt} \cdot \frac{M_{yRk}}{\gamma_{M1}}} \leq 1,0$$

$$0,87 + 0,61 \cdot 0,01 = 0,88 \leq 1,0$$

$$\frac{N_{Ed}}{\chi_z \cdot \frac{N_{Rk}}{\gamma_{M1}}} + k_{zy} \cdot \frac{M_{yEd}}{\chi_{lt} \cdot \frac{M_{yRk}}{\gamma_{M1}}} \leq 1,0$$

$$0,95 + 0,37 \cdot 0,01 = 0,95 \leq 1,0$$

Uvjet je zadovoljen!

Tablica 50. Iskoristivost odabralih profila

Element konstrukcije:	Profil:	Iskoristivost
Stup	HEM 500	98%
Glavni nosač	HEB 500	81%
Stabilizacija	CHS 219,1x8	52%

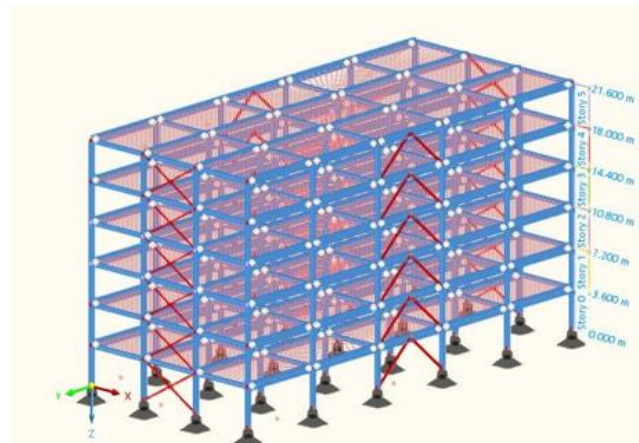
11 PRIMJENA LCA ANALIZE

11.1 Motivacija i formulacija problema

Razvoj industrije i gospodarstva doveo je do ubrzane urbanizacije i porasta potražnje za infrastrukturom i stambenim objektima. Ovaj rast građevinskog sektora, uz sve veće potrebe za građevinskim materijalima, značajno je pridonio onečišćenju okoliša. Jedan od glavnih izvora zagađenja su emisije stakleničkih plinova, posebno CO₂, koji nastaje tijekom proizvodnje ključnih građevinskih materijala poput cementa i čelika. Istraživanja pokazuju da cementna industrijama sama generira oko 7% globalne emisije CO₂, što znatno ubrzava proces globalnog zagrijavanja. Osim emisija, građevinski sektor troši ogromne količine prirodnih resursa poput vode, šljunka, pijeska, kamena i drva. Intenzivna eksploatacija tih sirovina dovodi do iscrpljivanja prirodnih resursa i degradacije ekosustava, čime se narušava bioraznolikost. Također, građevinski otpad predstavlja ozbiljan problem jer mnogi materijali nisu biorazgradivi, a završavaju na odlagalištima, pridonoseći zagađenju tla i podzemnih voda. Kako bi se smanjio negativan utjecaj na okoliš, sve je veći fokus na održivim rješenjima, uključujući energetski učinkovite dizajne, recikliranje građevinskog otpada te korištenje ekološki prihvatljivih materijala i tehnologija s niskim emisijama. [14]

U ovom istraživanju analizirane su tri višekatnice kako bi se usporedili ekološki utjecaji različitih materijala. Prva zgrada je izrađena od betonskih okvira, druga od čeličnih okvira, a treća koristi spregnutu konstrukciju. Sve zgrade imaju iste tlocrtne dimenzije od 40,0 x 18,0 metara i visinu od 21,6 metara, s ukupno šest etaža. Razlikuju se ne samo po vrsti materijala, već i po dispozicijskom rješenju: čelični okvir projektiran je kao jednostavni okvirni sustav s centričnim vezovima (slika 68.), dok je spregnuta konstrukcija u x smjeru također jednostavni okvirni sustav s centričnim vezovima, dok u y smjeru koristi okvirni sustav (slika 40.).

Analizom životnog ciklusa svake građevine obuhvaćene su sve faze, od nabave sirovina do rušenja i recikliranja otpada. Istraživanje je obuhvatilo nekoliko ekoloških utjecaja, uključujući potencijal globalnog zatopljenja u periodu od 100 godina, klimatske promjene, zakiseljavanje, eutrofikaciju, toksičnost za ljude (kancerogena i nekancerogena), zagađenje zraka te potencijal stvaranja ozona. Rezultati pokazuju da beton ima značajnije nepovoljne utjecaje na okoliš u usporedbi s drugim materijalima. S druge strane, spregnuta konstrukcija pokazuje najbolje rezultate zahvaljujući prednostima oba materijala, što omogućava smanjenje presjeka elemenata i, time, manji utrošak materijala.

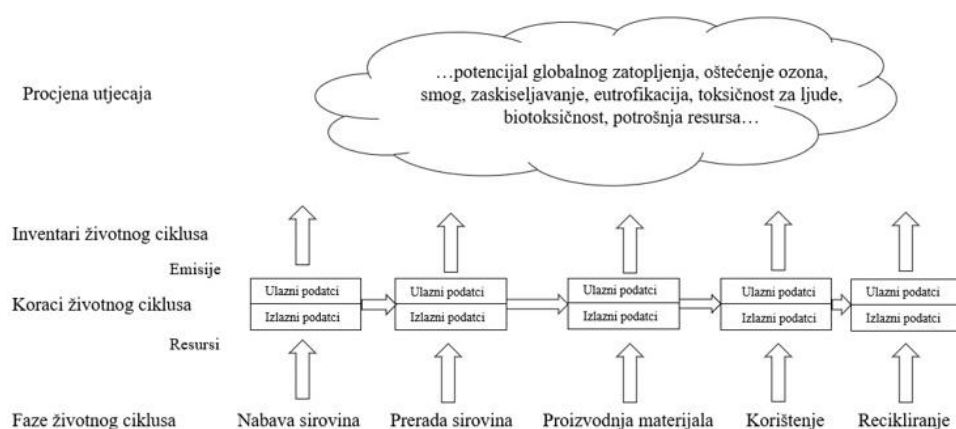


Slika 68. 3D model čeličnog okvira [15]

11.2 Softver Gabi

Program GABI (GABI Software for Life Cycle Assessment) koristi se za detaljnu procjenu životnog ciklusa (LCA) proizvoda i procesa. Ovaj sofisticirani alat omogućuje analizu ekoloških utjecaja kroz sve faze životnog ciklusa, uključujući proizvodnju, upotrebu i završnu obradbu proizvoda ili usluge. Korištenje GABI softvera omogućuje identifikaciju područja za poboljšanje održivosti te optimizaciju procesa i materijala, čime se značajno smanjuju negativni utjecaji na okoliš. Zbog svojih sveobuhvatnih funkcionalnosti i preciznosti u analizi, GABI je odabran za ovo istraživanje.

Program GaBi omogućuje strukturiranje kroz detaljan plan u kojem se definiraju procesi, uključujući njihove ulazne i izlazne podatke. Program omogućuje uspostavljanje veza između različitih procesa, što omogućava formiranje sveobuhvatnog opskrbnog lanca (slika 69.).



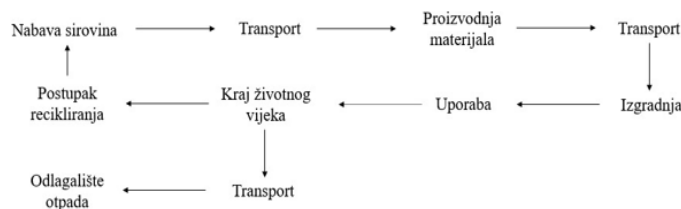
Slika 69. Način rada softvera GaBi [15]

11.3 Prikupljanje podataka

Podaci za nabavu sirovina, proizvodnju materijala i završne faze životnog ciklusa prikupljeni su iz različitih izvora, uključujući međunarodne standarde i smjernice, kao i lokalne izvore poput nacionalnih standarda, smjernica i industrijskih izvještaja.

11.4 Modeliranje životnog ciklusa

Modeliranje životnog ciklusa provedeno je prema postupku prikazanom na slici 70. Proces započinje nabavom sirovina koje se prevoze do proizvodnog pogona, gdje se prerađuju u materijale namijenjene izradi konstrukcije. Ovi materijali zatim se prevoze na gradilište, gdje se provodi gradnja objekta. Nakon završetka izgradnje, građevina se pušta u uporabu. Na kraju svog životnog vijeka, građevina se ruši. Prema vrsti otpada koji nastaje pri rušenju, materijali poput betona odlaze na odlagalište, dok se materijali kao što su čelik i armaturni čelik recikliraju i ponovno koriste u proizvodnom procesu.



Slika 70. Modeliranje životnog ciklusa [15]

11.5 Ulazni podaci

11.5.1 Nabava sirovina

Materijali korišteni za proizvodnju navedenih konstrukcija su beton, čelik i čelična armatura. Na temelju globalnih podataka o proizvodnji čelika, za proizvodnju jedne tone čelika koristi se 56% željezne rude, 28% metalurškog koksa i 16% čeličnog otpada. S druge strane, za proizvodnju jednog kubičnog metra betona, potrebno je približno 76% šljunka i 24% portland cementa. Detaljni podaci o količinama potrebnih sirovina za spregnutu konstrukciju navedeni su u tablici 51. Potrebna količina sirovina i materijala za izvedbu čeličnog i betonskog okvira preuzeti su iz diplomskog rada [15].

Tablica 51. Količina potrebnih sirovina

Spregnuta konstrukcija	
Materijal	Masa [kg]
Željezna rudača	263296
Metalurškikoks	131648
Čelični otpad	75228
Portland cement	312725
Agregat	990295

11.5.2 Proizvodnja materijala

Tijekom ove faze, sirovine se transportiraju do proizvodnih pogona gdje se proizvode građevinski materijali, a zatim se gotovi proizvodi dostavljaju na gradilište. Udaljenosti transporta materijala i vrsta vozila korištenih za prijevoz prikazani su u tablici 52. Važno je napomenuti da se zbog ograničenja u GaBi bazi podataka, za prijevoz betona korišten je kamion umjesto miješalice.

Tablica 52. Udaljenost transporta i vrsta prijevoznog sredstva

Spregnuta konstrukcija		
Materijal	Udaljenost [km]	Prijevozno sredstvo
Željezna rudača	40	Kamion
Metalurškikoks	40	Kamion
Čelični otpad	40	Kamion
Portland cement	10	Kamion
Agregat	10	Kamion

11.5.3 Faza izgradnje

Faza izgradnje definira se kao proces dostave materijala iz proizvodnih pogona na gradilište, pri čemu su ostale građevinske aktivnosti isključene iz modela. To je zbog činjenice da GaBi softver fokusira analizu isključivo na materijale i njihov transport, dok civilne operacije nisu obuhvaćene. Rezultat ove faze je spregnuta konstrukcija. Količine materijala potrebne za spregnutu konstrukciju prikazane su u tablici 53, a informacije o transportu svakog građevinskog materijala nalaze se u tablici 54.

Tablica 53. Količine materijala

Spregnuta konstrukcija	
Materijal	Masa [kg]
Beton	1303020
Armatura	34106
Čelik	470172

Tablica 54. Udaljenost transporta i vrsta prijevoznog sredstva

Spregnuta konstrukcija		
Materijal	Udaljenost [km]	Prijevozno sredstvo
Beton	10	Kamion
Armatura	40	Kamion
Čelik	40	Kamion

11.5.4 Faza uporabe

Predviđeni životni vijek konstrukcija iznosi 50 godina. Tijekom ovog razdoblja, istraživanje ne uključuje značajnije radove na obnovi ili održavanju.

11.5.5 Faza kraja životnog vijeka

S obzirom na predviđeni životni vijek konstrukcija od 50 godina, nakon isteka tog razdoblja planirano je njihovo rušenje i zbrinjavanje otpada prema utvrđenim procedurama. Čelični otpad, uključujući čeličnu armaturu, potpuno se reciklira, dok se sav betonski otpad odvozi na odlagalište. Udaljenost između mjesta rušenja i odlagališta betona iznosi 50 km, dok je udaljenost za reciklažu čeličnog otpada 10 km. Podaci o količinama otpada navedeni su u tablici 55.

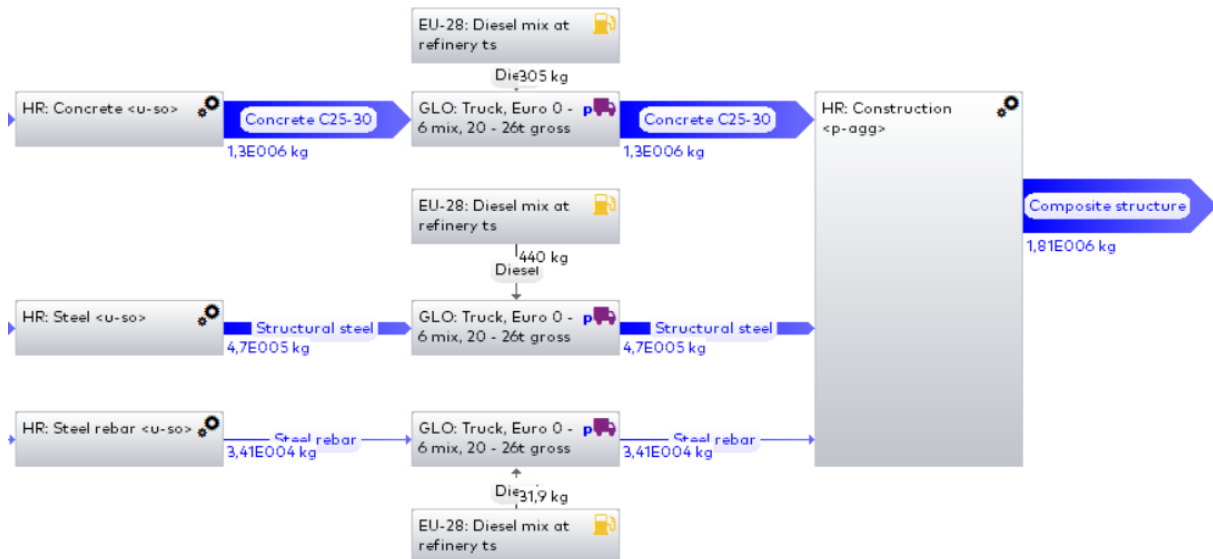
Tablica 55. Udaljenost transporta i vrsta prijevoznog sredstva

Spregnuta konstrukcija	
Materijal	Masa [kg]
Betonski otpad	1303020
Čelični otpad	504278

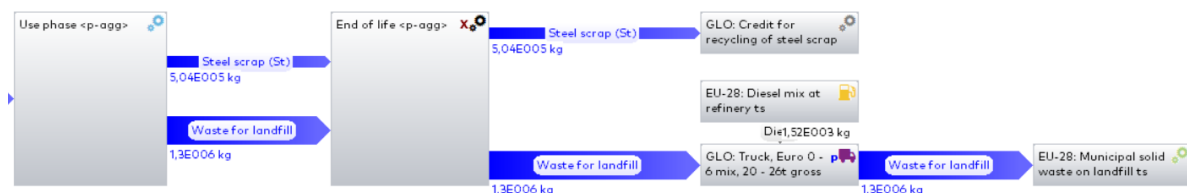
Cjelokupni proces životnog ciklusa spregnute konstrukcije prikazan je slikama 71-73.



Slika 71. Proces životnog ciklusa spregnute konstrukcije



Slika 72. Proces životnog ciklusa spregnute konstrukcije- nastavak



Slika 73. Proces životnog ciklusa spregnute konstrukcije- nastavak

11.6 Analiza rezultata

Kako je navedeno u uvodu poglavlja, analiza se fokusira na sljedeće utjecaje na okoliš: potencijal globalnog zatopljenja tijekom 100 godina, klimatske promjene, zakiseljavanje, eutrofikaciju, toksičnost za ljudi (kancerogene i nekancerogene), zagađenje zraka, anorganske respiratorne tvari te potencijal stvaranja ozona. Ovi utjecaji razmatrani su za tri vrste konstrukcija: betonsku, čeličnu i spregnutu.

Analizom rezultata utvrđeno je da betonski okvir ima najveći negativan utjecaj na okoliš, slijedi čelični okvir, dok spregnuti okvir ima najmanji utjecaj. Konkretno, betonski okvir doprinosi globalnom zatopljenju i klimatskim promjenama emisijom CO₂ 52% više nego spregnuti okvir, i 42% više u usporedbi s čeličnim okvirom. Razlika između čeličnog i spregnutog okvira iznosi 16%.

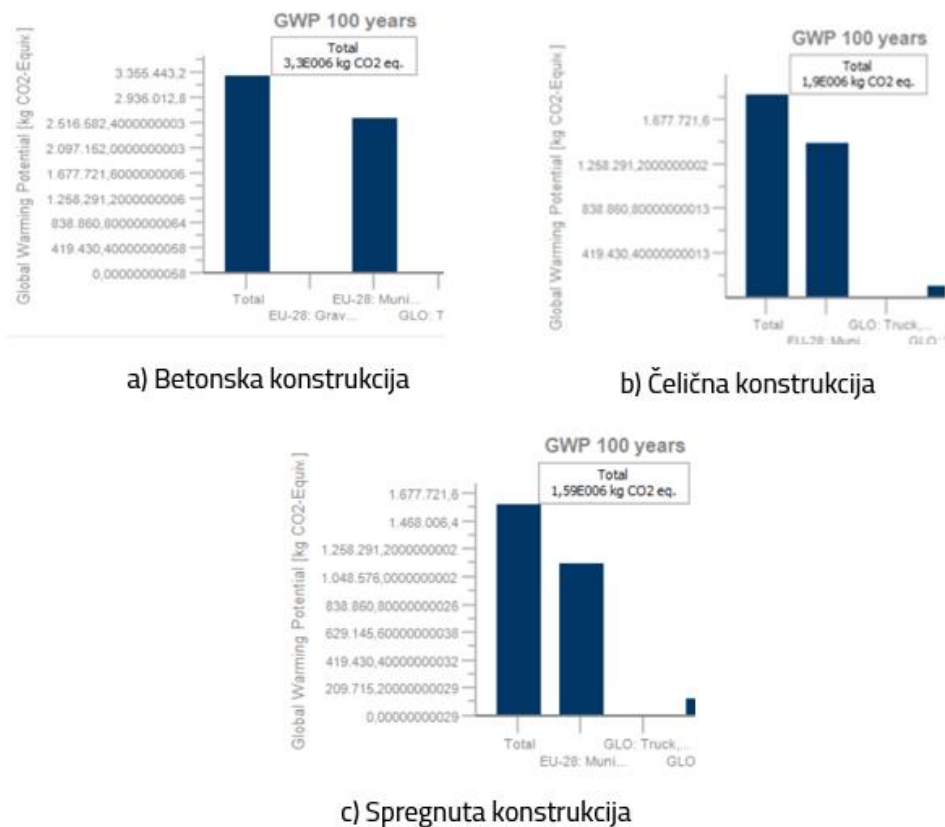
Što se tiče zakiseljavanja, izraženog količinom emisije SO₂, betonski okvir stvara 30% više emisije u odnosu na čelični ili spregnuti okvir, pri čemu je razlika između čeličnog i spregnutog okvira zanemariva.

U pogledu eutrofikacije, betonski okvir ispušta 46% više dušičnih oksida nego spregnuti okvir, odnosno 42% više nego čelični okvir, dok je razlika između spregnutog i čeličnog okvira 7%.

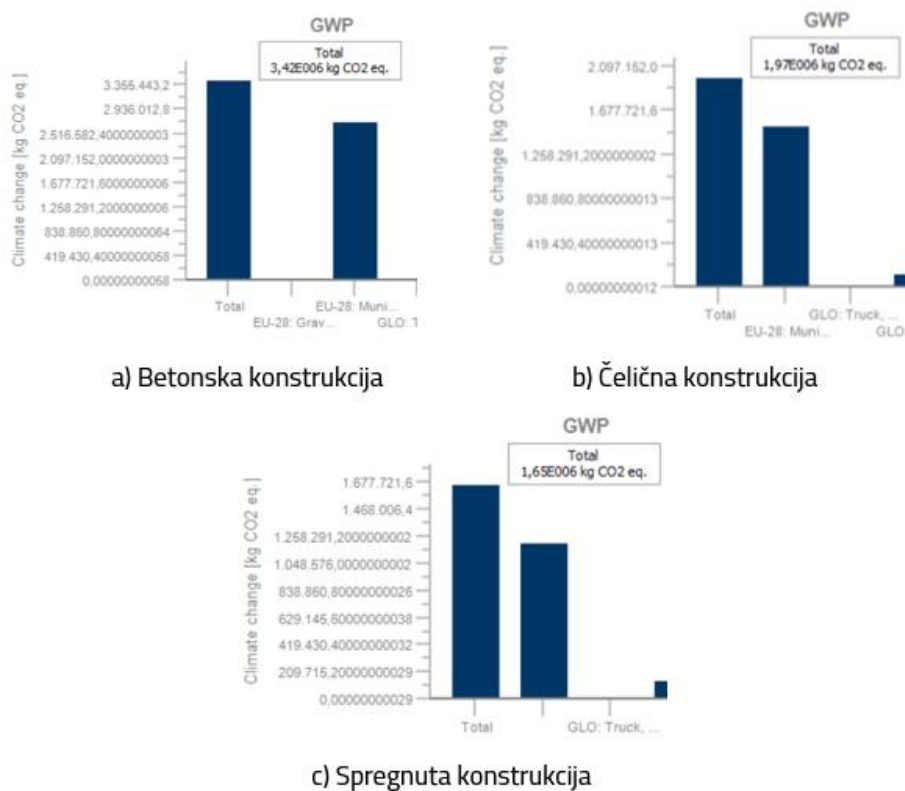
Za toksičnost prema ljudima, kancerogena i nekancerogena, betonska konstrukcija proizvodi 63% više toksičnih tvari nego spregnuta konstrukcija i 54% više nego čelična konstrukcija, dok čelična konstrukcija ispušta 19% više toksičnih tvari nego spregnuta.

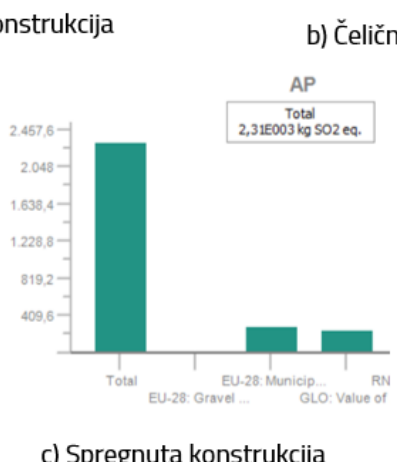
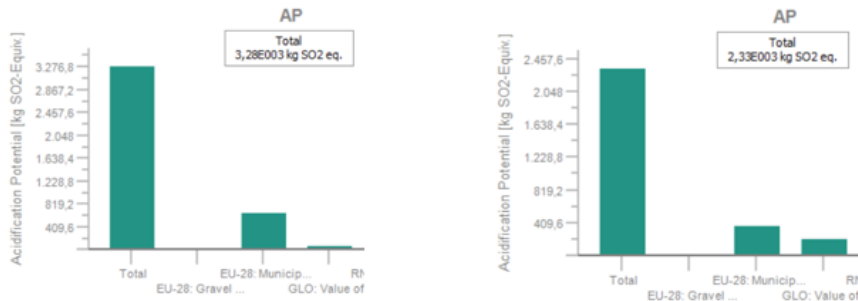
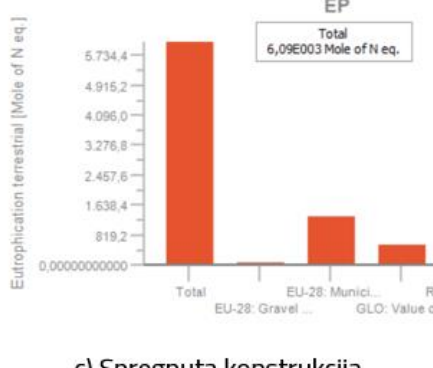
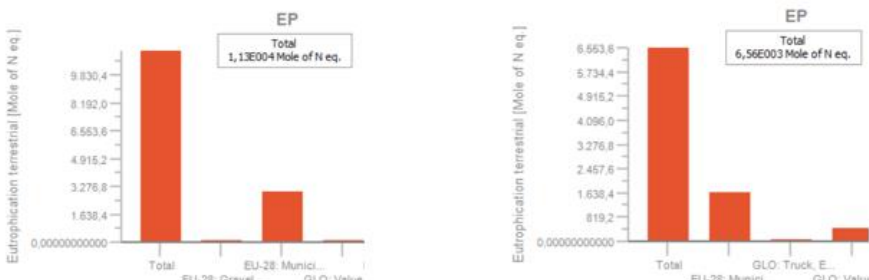
U kontekstu zagađenja zraka, betonski okvir ispušta 42% više ozona (O₃) nego spregnuti i čelični okvir. Razlika u potencijalu stvaranja ozona između betonske i spregnute konstrukcije iznosi 38%, između betonske i čelične 31%, dok je razlika između čelične i spregnute konstrukcije 10%.

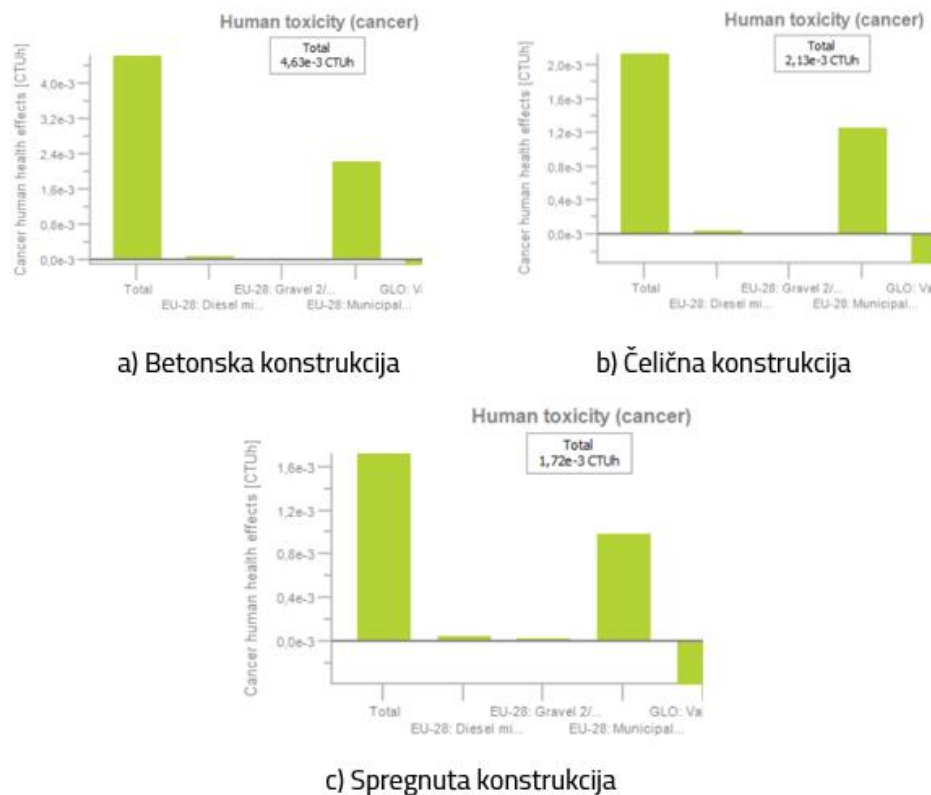
Konačno, betonski okvir ispušta oko 40% više anorganskih respiratornih tvari nego spregnuta ili čelična konstrukcija, pri čemu je razlika između njih 3%.



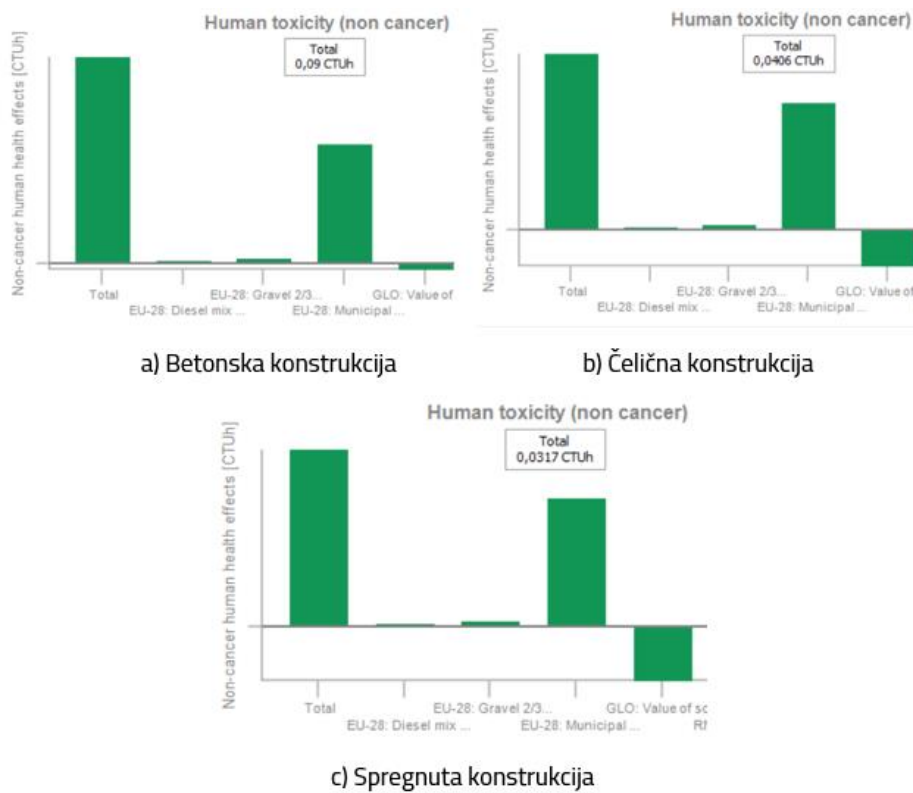
Slika 74. Utjecaj na globalno zatopljenje



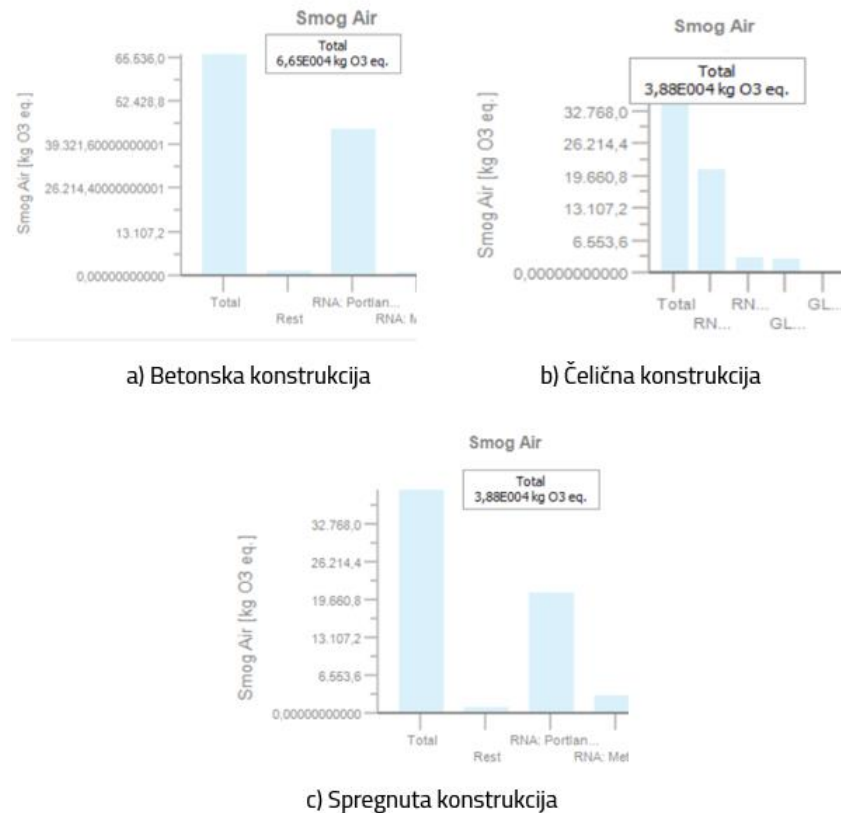
Slika 75. Utjecaj na klimatske promjene**Slika 76.** Utjecaj zakiseljavanja**Slika 77.** Utjecaj eutrofikacije



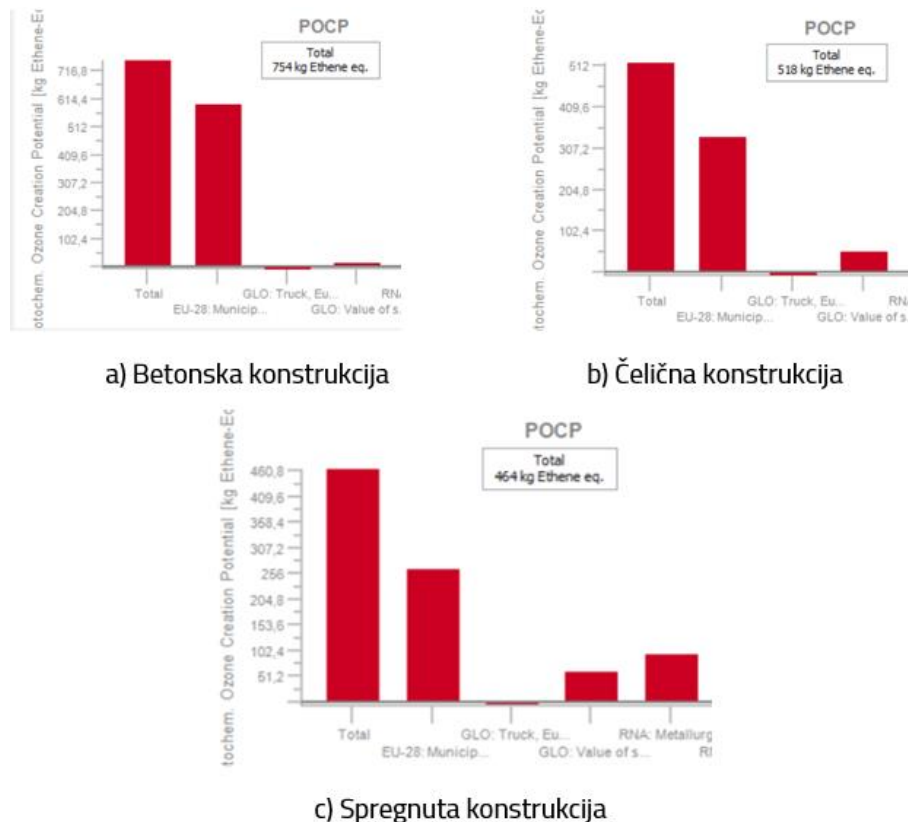
Slika 78. Utjecaj toksičnosti za ljude (kancerogena)

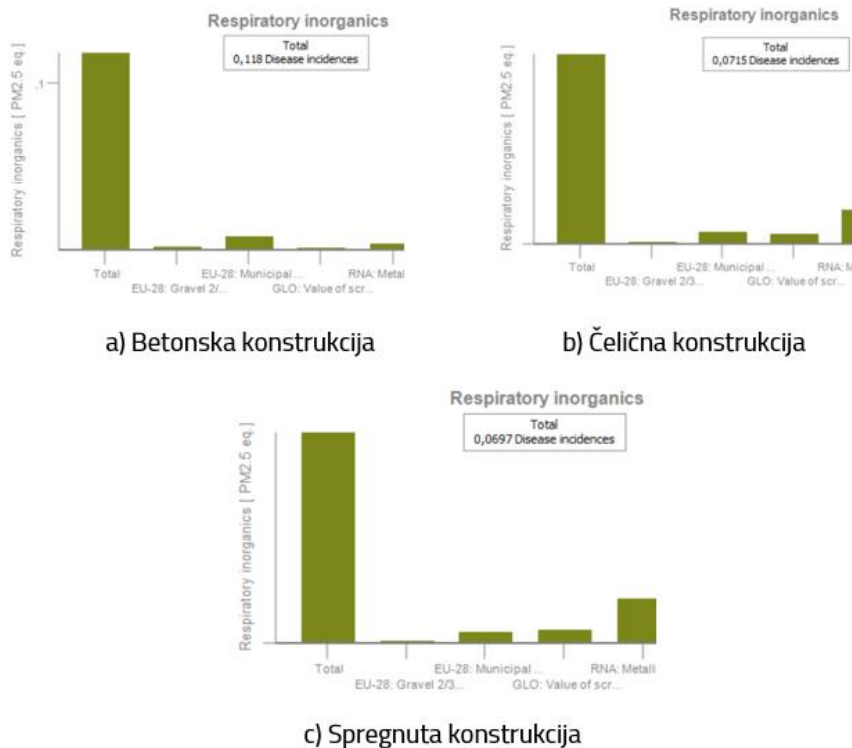


Slika 79. Utjecaj toksičnosti za ljude (nekancerogena)



Slika 80. Zagađenost zraka



Slika 81. Potencijal stvaranja ozona**Slika 82.** Utjecaj na anorganske respiratorne tvari

11.7 Zaključak

Ovim istraživanjem analiziralo se utjecaj životnog ciklusa triju višekatnih poslovnih zgrada kod kojih su korišteni različiti materijali za nosivu konstrukciju: armirani beton, čelik i spregnuta konstrukcija čelik-beton. Rezultati su jasno pokazali da vrsta materijala značajno utječe na ekološku održivost, pri čemu armirano betonska konstrukcija uzrokuje daleko veće zagađenje u odnosu na čeličnu i spregnutu konstrukciju. Faze s najvećim doprinosom onečišćenju su nabava sirovina i zbrinjavanje otpada nakon isteka životnog vijeka građevine.

Betonski otpad predstavlja veći ekološki problem jer se, za razliku od čelika, ne može reciklirati te završava na odlagalištima, čime dodatno opterećuje okoliš. Također, rezultati su pokazali da je i dispozicijski rješenje konstrukcija imao značajan utjecaj na razlike u ekološkom učinku između spregnutih i čeličnih konstrukcija. Da su konstrukcije bile projektirane na isti način, rezultati bi vjerojatno više varirali u korist spregnute konstrukcije.

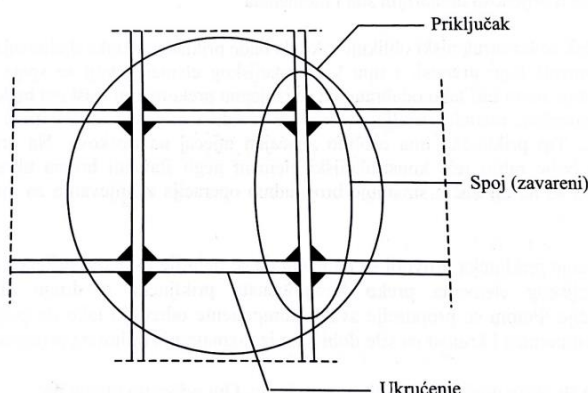
LCA analiza potvrđuje da je čelik, kao materijal, ekološki prihvatljiviji od betona. No, za potpuni uvid u održivost konstrukcijskih rješenja potrebno je razmotriti i ekonomski te društvene čimbenike, budući da oni također utječu na konačni izbor materijala za izvedbu nosive konstrukcije.

12 PRORAČUN PRIKLJUČAKA

Priklučci u građevinskim konstrukcijama predstavljaju ključne komponente koje osiguravaju prijenos sila između elemenata te stabilnost i cjelovitost sustava. Kod projektiranja priključaka, posebnu pozornost potrebno je posvetiti izboru materijala, metodama spajanja i detaljima izvedbe. Priklučci mogu biti izvedeni kao zavareni, vijčani ili kombinirani spojevi, a njihova izvedba ovisi o vrsti opterećenja, tipu konstrukcije i zahtjevima normi.

Pojmovi "priključak" i "spoj" često se pogrešno koriste kao sinonimi, no među njima postoji bitna razlika. Spoj se odnosi na samu tehniku spajanja, odnosno na spojna sredstva poput vijaka, zakovica ili varova te na dijelove konstrukcijskih elemenata koji su međusobno povezani tim sredstvima. S druge strane, priključak obuhvaća širu zonu u kojoj se elementi konstrukcije povezuju. On uključuje ne samo spojna sredstva, već i dijelove konstrukcijskih elemenata koji sudjeluju u prijenosu unutarnjih sila i momenata, čime osigurava cjelokupnu stabilnost i funkcionalnost spoja [1].

S obzirom na sve veće zahtjeve za efikasnošću i održivošću u građevinarstvu, moderni pristupi projektiranju priključaka nastoje smanjiti uporabu materijala, optimizirati izvedbu i omogućiti lakšu montažu te održavanje konstrukcija.



Slika 83. Priključak i komponente priključka [1]

12.1 Priključak stope stupa

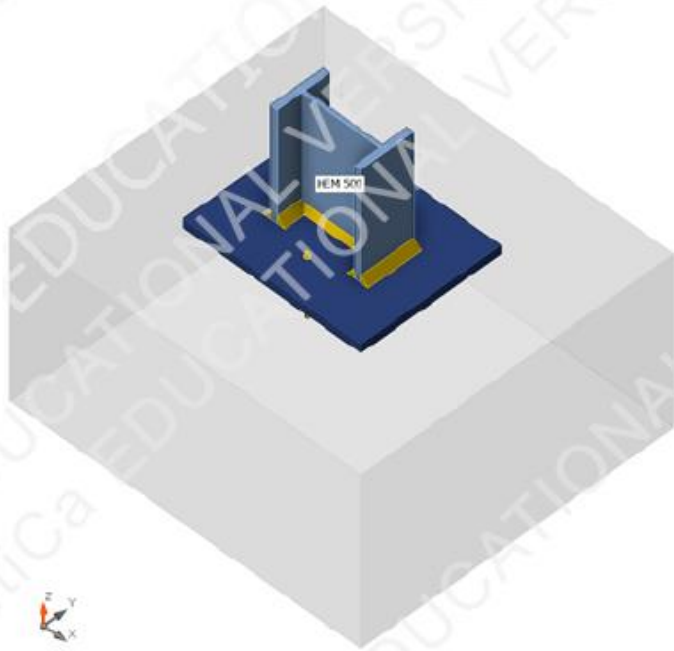
Members

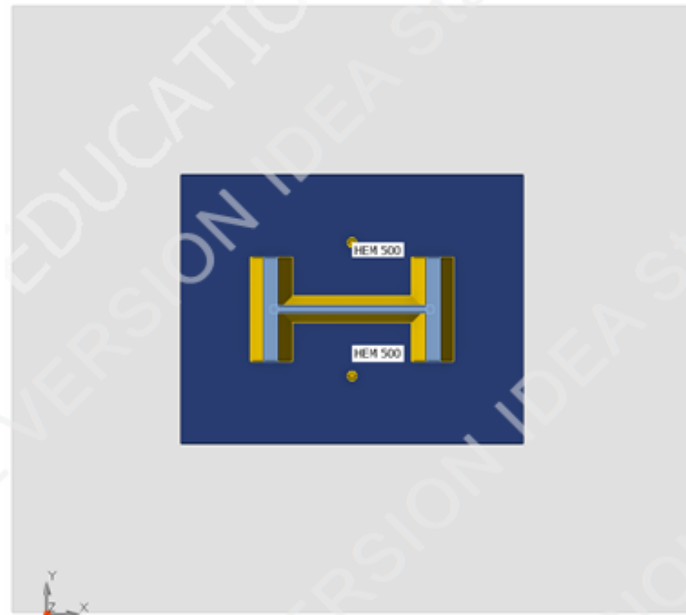
Geometry

Name	Cross-section	β - Direction [°]	γ - Pitch [°]	α - Rotation [°]	Offset ex [mm]	Offset ey [mm]	Offset ez [mm]
HEM 500	1 - stup(HEM500)	0.0	90.0	0.0	0	0	0

Supports and forces

Name	Support	Forces in	X [mm]
HEM 500 / end	Node		0



**Cross-sections**

Name	Material
1 - stup(HEM500)	S 355

Anchors

Name	Diameter [mm]	f _y [MPa]	f _u [MPa]	Gross area [mm ²]
M16 8.8	16	640.0	800.0	201

Load effects (forces in equilibrium)

Name	Member	N [kN]	Vy [kN]	Vz [kN]	Mx [kNm]	My [kNm]	Mz [kNm]
LE1	HEM 500 / End	-9524.3	14.2	0.0	0.0	0.0	0.0

Unbalanced forces

Name	X [kN]	Y [kN]	Z [kN]	Mx [kNm]	My [kNm]	Mz [kNm]
LE1	0.0	14.2	-9524.3	0.0	0.0	0.0

Foundation block

Item	Value	Unit
CB 1		
Dimensions	1806 x 2024	mm
Depth	1000	mm
Anchor	M16 8.8	
Anchoring length	300	mm
Shear force transfer	Friction	

Check**Summary**

Name	Value	Check status
Analysis	100.0%	OK
Plates	0.4 < 5.0%	OK
Anchors	0.0 < 100%	OK
Welds	98.0 < 100%	OK
Concrete block	96.1 < 100%	OK
Shear	0.6 < 100%	OK
Buckling	Not calculated	

Plates

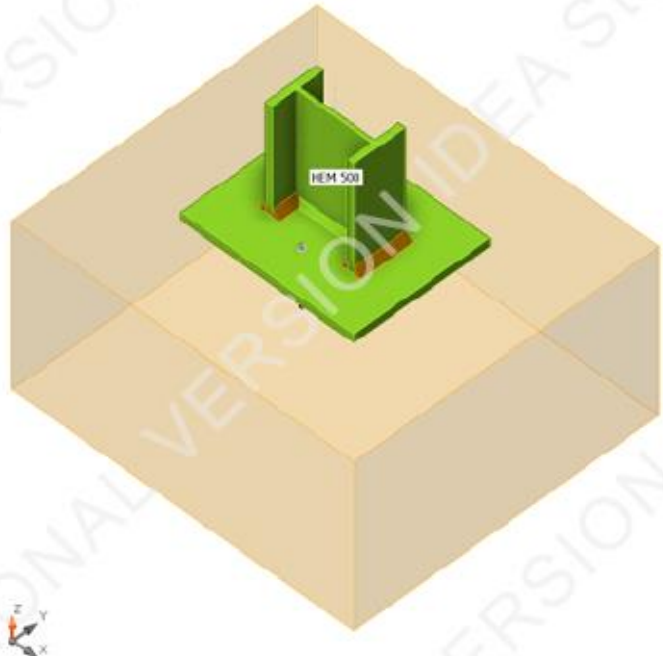
Name	Material	t _p [mm]	Loads	σ _{Ed} [MPa]	ε _{PI} [%]	σ _{c,Ed} [MPa]	Status
HEM 500-bfl 1	S 355	40.0	LE1	355.8	0.4	0.0	OK
HEM 500-tfl 1	S 355	40.0	LE1	355.8	0.4	0.0	OK
HEM 500-w 1	S 355	21.0	LE1	355.0	0.0	0.0	OK
BP1	S 355 - 1	50.0	LE1	335.1	0.1	0.0	OK

Design data

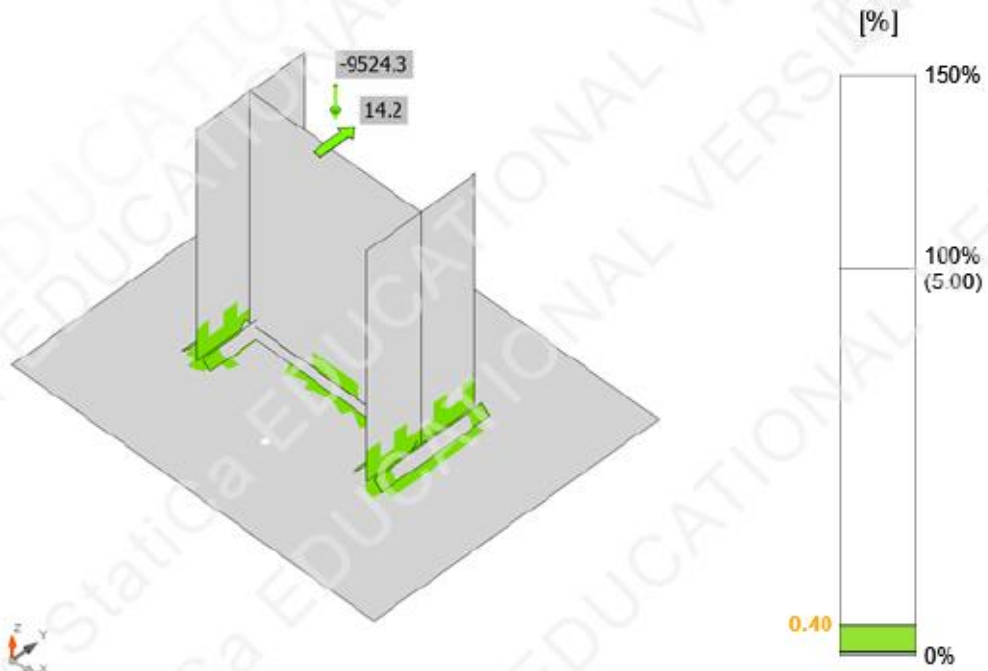
Material	f _y [MPa]	ε _{lim} [%]
S 355	355.0	5.0

Symbol explanation

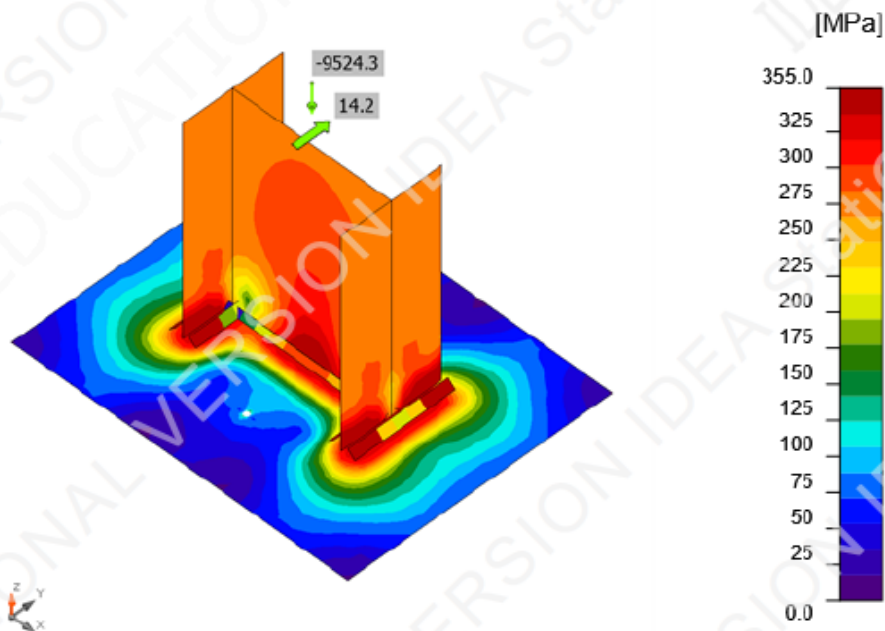
t _p	Plate thickness
σ _{Ed}	Equivalent stress
ε _{PI}	Plastic strain
σ _{c,Ed}	Contact stress
f _y	Yield strength
ε _{lim}	Limit of plastic strain



Overall check, LE1



Strain check, LE1



Equivalent stress, LE1

Anchors

Shape	Item	Loads	N_{Ed} [kN]	V_{Ed} [kN]	$V_{Rd,op}$ [kN]	U_{t} [%]	U_{s} [%]	U_{ts} [%]	Detailing	Status
	A1	LE1	0.0	0.0	421.3	0.0	0.0	0.0	OK	OK
	A2	LE1	0.0	0.0	421.3	0.0	0.0	0.0	OK	OK

Design data

Grade	$N_{Rd,s}$ [kN]	$V_{Rd,s}$ [kN]
M16 8.8 - 1	71.2	64.3

Symbol explanation

- N_{Ed} Tension force
- V_{Ed} Resultant of bolt shear forces V_y and V_z in shear planes
- $V_{Rd,op}$ Design resistance in case of concrete pryout failure - EN 1992-4 – 7.2.2.4
- U_t Utilization in tension
- U_s Utilization in shear
- U_{ts} Utilization in tension and shear
- $N_{Rd,s}$ Design tensile resistance of a fastener in case of steel failure - EN 1992-4 – 7.2.1.3
- $V_{Rd,s}$ Design shear resistance of a fastener in case of steel failure - EN 1992-4 – 7.2.2.3.1

Welds

Item	Edge	T_w [mm]	L [mm]	Loads	$\sigma_{w,Ed}$ [MPa]	ϵ_{Pl} [%]	σ_{\perp} [MPa]	T_{\perp} [MPa]	$T_{ }$ [MPa]	Ut [%]	U_{tc} [%]	Detailing	Status
BP1	HEM 500-bfl 1	▲ 30.0 ▾	306	LE1	396.7	0.0	-172.8	-161.3	128.3	98.0	89.6	OK	OK
		▲ 30.0 ▾	306		396.7	0.1	-161.4	171.9	-119.3	98.0	89.5	OK	OK
BP1	HEM 500-tfl 1	▲ 30.0 ▾	306	LE1	396.7	0.1	-161.2	-171.8	-119.5	98.0	89.5	OK	OK
		▲ 30.0 ▾	306		396.7	0.0	-172.7	161.2	128.5	98.0	89.7	OK	OK
BP1	HEM 500-w 1	▲ 20.0 ▾	483	LE1	287.6	0.0	-143.6	-143.8	-0.1	71.1	33.1	OK	OK
		▲ 20.0 ▾	483		287.4	0.0	-143.9	143.7	0.1	71.0	33.0	OK	OK

Design data

Material	f_u [MPa]	β_w [-]	$\sigma_{w,Rd}$ [MPa]	0.9 σ [MPa]
S 275	430.0	0.85	404.7	309.6

Symbol explanation

T_w	Throat thickness a
L	Length
$\sigma_{w,Ed}$	Equivalent stress
ϵ_{Pl}	Strain
σ_{\perp}	Perpendicular stress
T_{\perp}	Shear stress perpendicular to weld axis
$T_{ }$	Shear stress parallel to weld axis
Ut	Utilization
U_{tc}	Weld capacity estimation
▲	Fillet weld
f_u	Ultimate strength of weld
β_w	Correlation factor EN 1993-1-8 – Tab. 4.1
$\sigma_{w,Rd}$	Equivalent stress resistance
0.9 σ	Perpendicular stress resistance: $0.9 \cdot f_u / \gamma M_2$

Concrete block

Item	Loads	c [mm]	A_{eff} [mm ²]	σ [MPa]	k_j [-]	f_{jd} [MPa]	Ut [%]	Status
CB 1	LE1	83	247332	38.6	3.00	40.2	96.1	OK

Symbol explanation

c	Bearing width
A_{eff}	Effective area
σ	Average stress in concrete
k_j	Concentration factor
f_{jd}	The ultimate bearing strength of the concrete block
Ut	Utilization

Shear in contact plane

Name	Loads	V_y [kN]	V_z [kN]	$V_{Rd,y}$ [kN]	$V_{Rd,z}$ [kN]	U_t [%]	Status
BP1	LE1	14.2	0.0	2388.9	2388.9	0.6	OK

Symbol explanation

V_y	Shear force in base plate V_y
V_z	Shear force in base plate V_z
$V_{Rd,y}$	Shear resistance
$V_{Rd,z}$	Shear resistance
U_t	Utilization

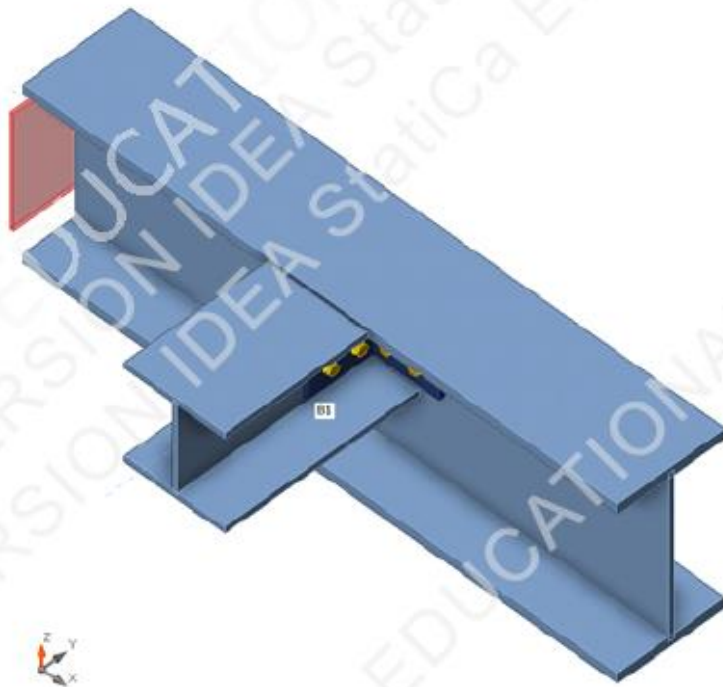
12.2 Priključak glavnog i sekundarnog nosača

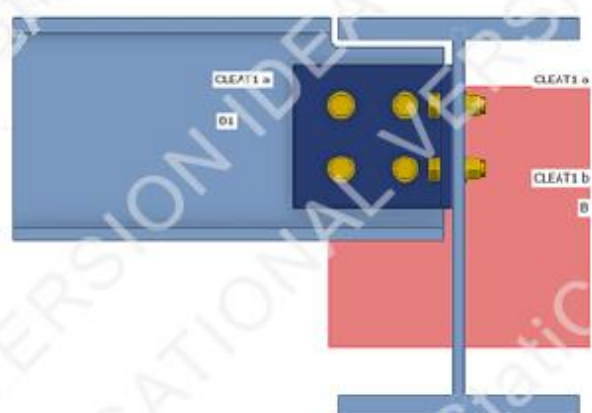
Geometry

Name	Cross-section	β - Direction [°]	γ - Pitch [°]	α - Rotation [°]	Offset ex [mm]	Offset ey [mm]	Offset ez [mm]
B	1 - glavni nosac(HEB500)	0.0	0.0	0.0	0	0	0
B1	3 - sekundarni(HEB280)	-90.0	0.0	0.0	0	0	110

Supports and forces

Name	Support	Forces in	X [mm]
B / begin	N-Vy-Vz-Mx-My-Mz	Node	0
B / end		Node	0
B1 / end		Bolts	107





Cross-sections

Name	Material
1 - glavni nosac(HEB500)	S 355
3 - sekundarni(HEB280)	S 355
4 - L200X16	S 355

Bolts

Name	Diameter [mm]	f_y [MPa]	f_u [MPa]	Gross area [mm^2]
M18 8.8	18	640.0	800.0	254

Load effects (forces in equilibrium)

Name	Member	N [kN]	Vy [kN]	Vz [kN]	Mx [kNm]	My [kNm]	Mz [kNm]
LE1	B / Begin	-90.0	0.0	-506.0	0.0	-384.0	0.0
	B / End	90.0	0.0	253.0	0.0	384.0	0.0
	B1 / End	0.0	0.0	-180.0	0.0	0.0	0.0

Unbalanced forces

Name	X [kN]	Y [kN]	Z [kN]	Mx [kNm]	My [kNm]	Mz [kNm]
LE1	0.0	0.0	-433.0	19.3	0.0	0.0

Check**Summary**

Name	Value	Check status
Analysis	100.0%	OK
Plates	0.5 < 5.0%	OK
Bolts	88.2 < 100%	OK
Buckling	Not calculated	

Plates

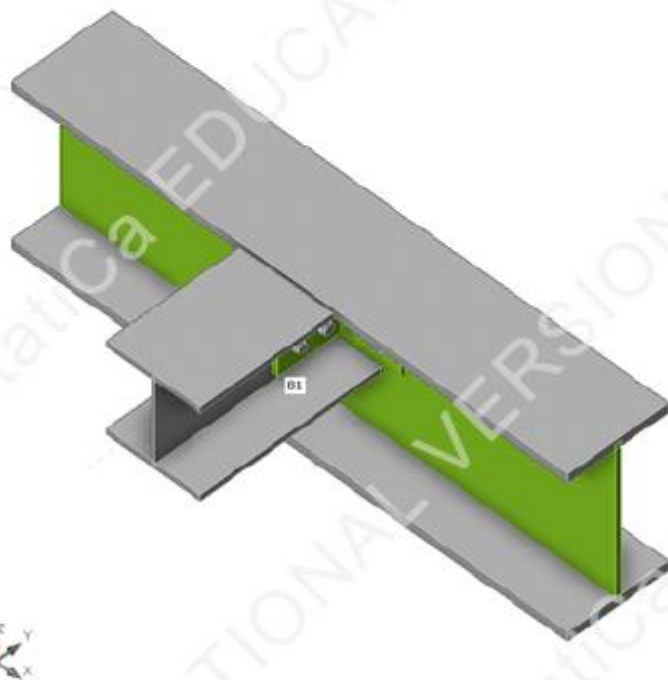
Name	t_p [mm]	Loads	σ_{Ed} [MPa]	ϵ_{PI} [%]	$\sigma_{c,Ed}$ [MPa]	Status
B-bfl 1	28.0	LE1	172.3	0.0	0.0	OK
B-tfl 1	28.0	LE1	179.3	0.0	0.0	OK
B-w 1	14.5	LE1	356.0	0.5	59.7	OK
B1-bfl 1	18.0	LE1	64.4	0.0	0.0	OK
B1-tfl 1	18.0	LE1	65.2	0.0	0.0	OK
B1-w 1	10.5	LE1	266.4	0.0	153.2	OK
CLEAR1 a-bfl 1	16.0	LE1	355.2	0.1	303.7	OK
CLEAR1 a-w 1	16.0	LE1	355.1	0.1	303.7	OK
CLEAR1 b-bfl 1	16.0	LE1	355.3	0.1	294.5	OK
CLEAR1 b-w 1	16.0	LE1	355.2	0.1	294.5	OK

Design data

Material	f_y [MPa]	ϵ_{lim} [%]
S 355	355.0	5.0

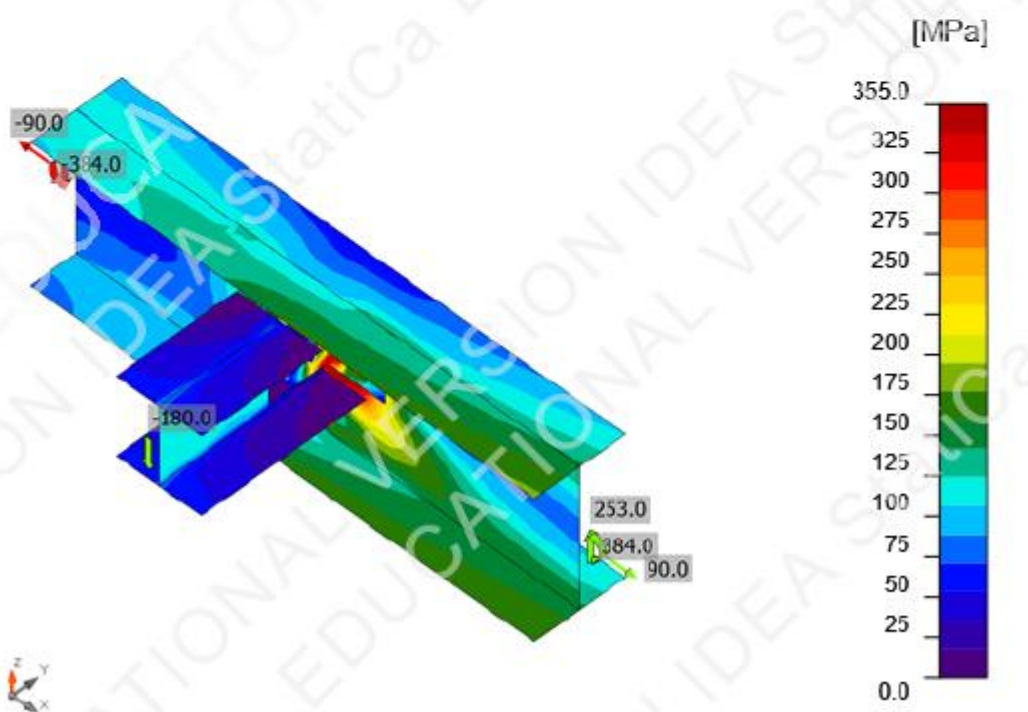
Symbol explanation

t_p	Plate thickness
σ_{Ed}	Equivalent stress
ϵ_{Pl}	Plastic strain
$\sigma_{c,Ed}$	Contact stress
f_y	Yield strength
ϵ_{lim}	Limit of plastic strain

*Overall check, LE1*



Strain check, LE1



Equivalent stress, LE1

Bolts

Shape	Item	Grade	Loads	$F_{t,Ed}$ [kN]	$F_{v,Ed}$ [kN]	$F_{b,Rd}$ [kN]	$U_{t,t}$ [%]	$U_{t,s}$ [%]	$U_{t,ts}$ [%]	Detailing	Status
 	B1	M18 8.8 - 1	LE1	29.9	22.5	185.2	27.0	30.5	49.8	OK	OK
	B2	M18 8.8 - 1	LE1	20.3	22.2	185.2	18.3	30.1	43.2	OK	OK
	B3	M18 8.8 - 1	LE1	0.4	23.6	185.2	0.4	32.0	32.2	OK	OK
	B4	M18 8.8 - 1	LE1	0.7	23.8	185.2	0.7	32.3	32.8	OK	OK
 	B5	M18 8.8 - 2	LE1	27.5	34.4	255.8	24.9	46.7	64.5	OK	OK
	B6	M18 8.8 - 2	LE1	75.2	29.0	235.2	68.0	39.3	87.9	OK	OK
	B7	M18 8.8 - 2	LE1	11.7	25.5	255.8	10.6	34.5	42.1	OK	OK
	B8	M18 8.8 - 2	LE1	19.4	16.0	235.2	17.6	21.7	34.3	OK	OK
 	B9	M18 8.8 - 2	LE1	27.8	35.8	255.8	25.1	48.6	66.5	OK	OK
	B10	M18 8.8 - 2	LE1	73.9	29.9	235.2	66.8	40.5	88.2	OK	OK
	B11	M18 8.8 - 2	LE1	12.6	26.4	255.8	11.4	35.8	43.9	OK	OK
	B12	M18 8.8 - 2	LE1	24.8	16.6	235.2	22.4	22.5	38.4	OK	OK

Design data

Grade	$F_{t,Rd}$ [kN]	$B_{p,Rd}$ [kN]	$F_{v,Rd}$ [kN]
M18 8.8 - 1	110.6	337.8	73.7
M18 8.8 - 2	110.6	306.1	73.7

Symbol explanation

- $F_{t,Ed}$ Tension force
 $F_{v,Ed}$ Resultant of bolt shear forces V_y and V_z in shear planes
 $F_{b,Rd}$ Plate bearing resistance EN 1993-1-8 – Tab. 3.4
 $U_{t,t}$ Utilization in tension
 $U_{t,s}$ Utilization in shear
 $U_{t,ts}$ Interaction of tension and shear EN 1993-1-8 – Tab. 3.4
 $F_{t,Rd}$ Bolt tension resistance EN 1993-1-8 – Tab. 3.4
 $B_{p,Rd}$ Punching shear resistance EN 1993-1-8 – Tab. 3.4
 $F_{v,Rd}$ Bolt shear resistance EN 1993-1-8 – Tab. 3.4

12.3 Priključak glavnog i sekundarnog nosača na stup

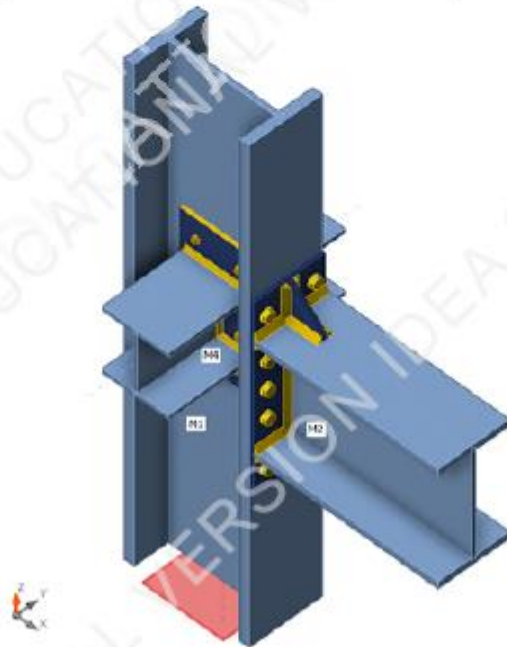
Members

Geometry

Name	Cross-section	β - Direction [°]	γ - Pitch [°]	α - Rotation [°]	Offset ex [mm]	Offset ey [mm]	Offset ez [mm]
M1	8 - stup(HEM500)	0.0	90.0	0.0	0	0	0
M2	1 - glavni nosac(HEB500)	0.0	0.0	0.0	0	0	0
M3	3 - sekundarni(HEB280)	90.0	0.0	0.0	0	0	110
M4	3 - sekundarni(HEB280)	-90.0	0.0	0.0	0	0	110

Supports and forces

Name	Support	Forces in	X [mm]
M1 / begin	N-Vy-Vz-Mx-My-Mz	Node	0
M1 / end		Node	0
M2 / end		Node	0
M3 / end		Node	0
M4 / end		Node	0





Cross-sections

Name	Material
8 - stup(HEM500)	S 355
1 - glavni nosac(HEB500)	S 355
3 - sekundarni(HEB280)	S 355

Bolts

Name	Diameter [mm]	f _y [MPa]	f _u [MPa]	Gross area [mm ²]
M27 8.8	27	640.0	800.0	573
M18 8.8	18	640.0	800.0	254

Load effects (forces in equilibrium)

Name	Member	N [kN]	V _y [kN]	V _z [kN]	M _x [kNm]	M _y [kNm]	M _z [kNm]
LE1	M1 / Begin	9524.3	0.0	14.0	0.0	21.0	0.0
	M1 / End	-8384.0	0.0	-14.0	0.0	-21.0	0.0
	M2 / End	-504.0	0.0	-603.0	0.0	964.0	0.0
	M3 / End	73.0	0.0	-107.0	0.0	-20.0	0.0
	M4 / End	-117.0	0.0	107.0	0.0	-20.0	0.0

Unbalanced forces

Name	X [kN]	Y [kN]	Z [kN]	M _x [kNm]	M _y [kNm]	M _z [kNm]
LE1	-504.0	190.0	537.3	-20.9	964.0	0.0

Check**Summary**

Name	Value	Check status
Analysis	100.0%	OK
Plates	3.2 < 5.0%	OK
Bolts	71.3 < 100%	OK
Welds	99.2 < 100%	OK
Buckling	Not calculated	

Plates

Name	Material	t_p [mm]	Loads	σ_{Ed} [MPa]	ϵ_{Pl} [%]	$\sigma_{c,Ed}$ [MPa]	Status
M1-bfl 1	S 355	40.0	LE1	356.2	0.6	99.2	OK
M1-tfl 1	S 355	40.0	LE1	355.1	0.0	0.0	OK
M1-w 1	S 355	21.0	LE1	355.7	0.3	99.2	OK
M2-bfl 1	S 355	28.0	LE1	338.7	0.0	0.0	OK
M2-tfl 1	S 355	28.0	LE1	295.9	0.0	0.0	OK
M2-w 1	S 355	14.5	LE1	299.9	0.0	0.0	OK
M3-bfl 1	S 355	18.0	LE1	63.9	0.0	0.0	OK
M3-tfl 1	S 355	18.0	LE1	51.0	0.0	0.0	OK
M3-w 1	S 355	10.5	LE1	142.5	0.0	0.0	OK
M4-bfl 1	S 355	18.0	LE1	88.4	0.0	0.0	OK
M4-tfl 1	S 355	18.0	LE1	212.7	0.0	0.0	OK
M4-w 1	S 355	10.5	LE1	224.9	0.0	0.0	OK
EP1	S 355	18.0	LE1	355.3	0.1	88.4	OK
EP2	S 355	10.0	LE1	355.2	0.1	63.8	OK
EP3	S 355	10.0	LE1	355.0	0.0	24.5	OK
WID1a	S 420 NH/NLH	30.0	LE1	426.7	3.2	0.0	OK
WID1b	S 420 NH/NLH	30.0	LE1	424.0	1.9	0.0	OK

Design data

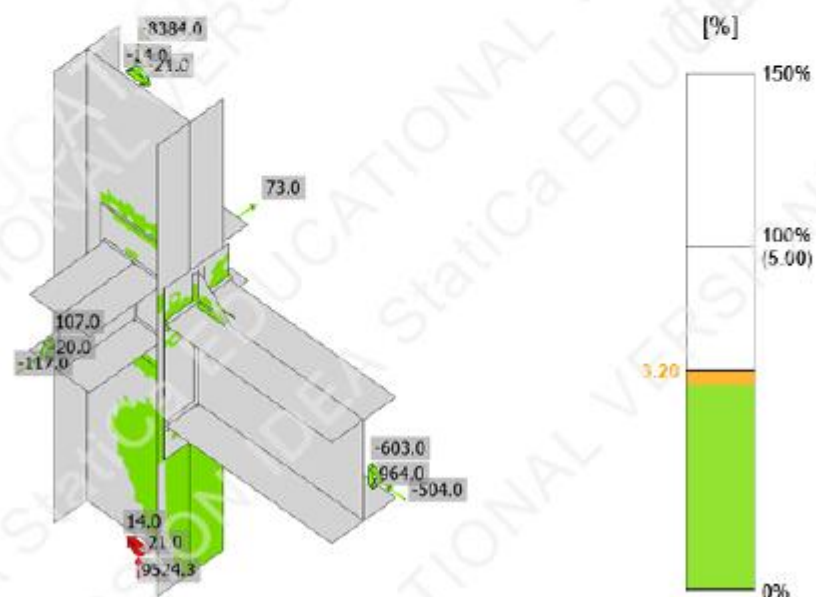
Material	f_y [MPa]	ϵ_{lim} [%]
S 355	355.0	5.0
S 420 NH/NLH	420.0	5.0

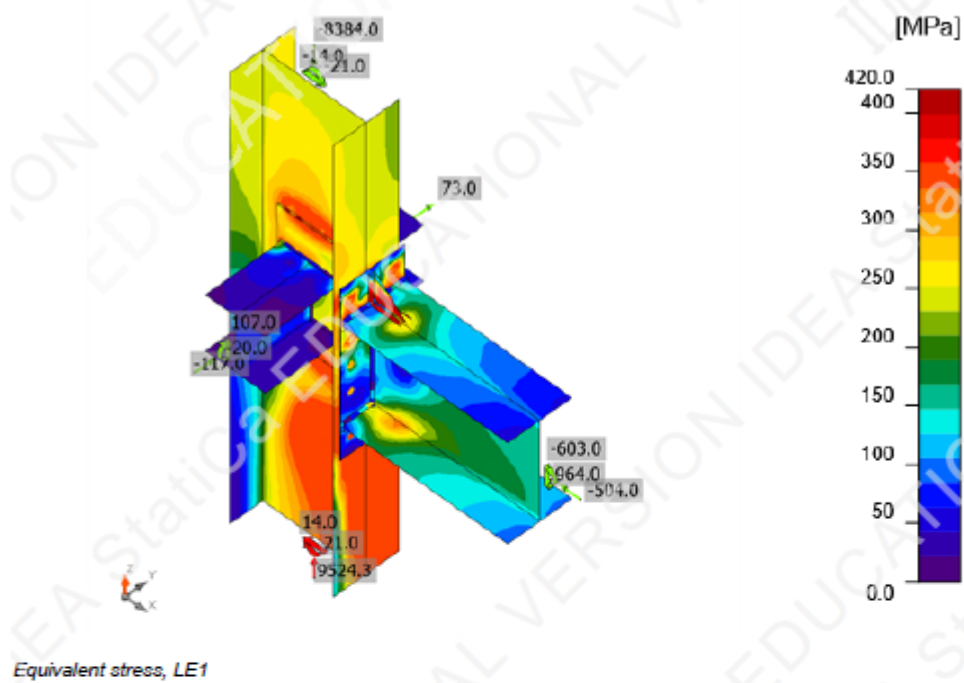
Symbol explanation

t_p	Plate thickness
σ_{Ed}	Equivalent stress
ϵ_{Pl}	Plastic strain
$\sigma_{c,Ed}$	Contact stress
f_y	Yield strength
ϵ_{lim}	Limit of plastic strain



Overall check, LE1



**Bolts**

Shape	Item	Grade	Loads	$F_{t,Ed}$ [kN]	$F_{v,Ed}$ [kN]	$F_{b,Rd}$ [kN]	U_{ft} [%]	U_{ta} [%]	U_{ts} [%]	Detailing	Status
	B1	M27 8.8 - 1	LE1	168.2	41.4	423.4	63.6	23.5	69.0	OK	OK
	B2	M27 8.8 - 1	LE1	156.4	51.2	423.4	59.2	29.1	71.3	OK	OK
	B3	M27 8.8 - 1	LE1	134.1	53.3	423.4	50.7	30.3	66.5	OK	OK
	B4	M27 8.8 - 1	LE1	130.3	57.4	423.4	49.3	32.5	67.7	OK	OK
	B5	M27 8.8 - 1	LE1	40.3	31.0	353.5	15.2	17.6	28.5	OK	OK
	B6	M27 8.8 - 1	LE1	41.2	34.0	366.3	15.6	19.3	30.4	OK	OK
	B7	M27 8.8 - 1	LE1	6.2	18.4	274.5	2.3	10.5	12.1	OK	OK
	B8	M27 8.8 - 1	LE1	7.1	19.3	280.7	2.7	10.9	12.9	OK	OK
	B9	M27 8.8 - 1	LE1	13.0	43.2	284.3	4.9	24.5	28.0	OK	OK
	B10	M27 8.8 - 1	LE1	11.0	42.3	282.1	4.1	24.0	27.0	OK	OK
	B11	M18 8.8 - 2	LE1	5.8	7.6	176.4	5.3	10.3	14.1	OK	OK
	B12	M18 8.8 - 2	LE1	5.3	14.5	176.4	4.8	19.6	23.1	OK	OK
	B13	M18 8.8 - 2	LE1	5.2	3.6	176.4	4.7	4.9	8.2	OK	OK
	B14	M18 8.8 - 2	LE1	3.9	6.9	176.4	3.5	9.3	11.8	OK	OK
	B15	M18 8.8 - 2	LE1	42.7	17.7	176.4	38.6	23.9	51.5	OK	OK
	B16	M18 8.8 - 2	LE1	49.9	24.0	176.4	45.1	32.6	64.8	OK	OK
	B17	M18 8.8 - 2	LE1	41.8	20.0	176.4	37.8	27.1	54.1	OK	OK
	B18	M18 8.8 - 2	LE1	50.6	26.8	176.4	45.7	36.3	69.0	OK	OK

Design data

Grade	$F_{t,Rd}$ [kN]	$B_{p,Rd}$ [kN]	$F_{v,Rd}$ [kN]
M27 8.8 - 1	264.4	509.5	176.3
M18 8.8 - 2	110.6	211.1	73.7

Symbol explanation

$F_{t,Ed}$	Tension force
$F_{v,Ed}$	Resultant of bolt shear forces V_y and V_z in shear planes
$F_{b,Rd}$	Plate bearing resistance EN 1993-1-8 – Tab. 3.4
U_t	Utilization in tension
U_s	Utilization in shear
U_{ts}	Interaction of tension and shear EN 1993-1-8 – Tab. 3.4
$F_{t,Rd}$	Bolt tension resistance EN 1993-1-8 – Tab. 3.4
$B_{p,Rd}$	Punching shear resistance EN 1993-1-8 – Tab. 3.4
$F_{v,Rd}$	Bolt shear resistance EN 1993-1-8 – Tab. 3.4

Welds

Item	Edge	Material	T _w [mm]	L [mm]	Loads	σ _{w,Ed} [MPa]	ε _{P1} [%]	σ _⊥ [MPa]	T _⊥ [MPa]	T [MPa]	U _t [%]	U _{t,c} [%]	Detailing	Status
EP1	M2-bfl 1	S 275	▲ ▼ 15.0	299	LE1	267.3	0.0	-139.9	-127.4	32.7	66.0	32.0	OK	OK
		S 275	▲ ▼ 15.0	299	LE1	326.5	0.0	-151.1	163.7	-33.6	80.7	38.6	OK	OK
EP1	M2-tfl 1	S 275	▲ ▼ 15.0	299	LE1	155.0	0.0	83.6	57.1	49.2	38.3	16.2	OK	OK
		S 275	▲ ▼ 15.0	299	LE1	146.7	0.0	-11.8	-74.3	40.2	36.3	17.2	OK	OK
EP1	M2-w 1	S 275	▲ ▼ 15.0	471	LE1	190.0	0.0	-87.7	-92.6	29.8	46.9	31.6	OK	OK
		S 275	▲ ▼ 15.0	471	LE1	191.1	0.0	-95.6	90.6	-30.1	47.2	31.7	OK	OK
EP2	M3-bfl 1	S 275	▲ ▼ 10.0	279	LE1	50.0	0.0	21.1	18.3	18.7	12.4	11.4	OK	OK
		S 275	▲ ▼ 10.0	279	LE1	72.3	0.0	38.0	-26.4	23.7	17.9	14.0	OK	OK
EP2	M3-tfl 1	S 275	▲ ▼ 10.0	279	LE1	62.1	0.0	-31.3	-29.6	9.1	15.4	9.6	OK	OK
		S 275	▲ ▼ 10.0	279	LE1	50.3	0.0	-22.1	23.8	-10.5	12.4	8.7	OK	OK
EP2	M3-w 1	S 275	▲ ▼ 10.0	261	LE1	84.4	0.0	-18.4	-14.2	-45.4	20.9	16.1	OK	OK
		S 275	▲ ▼ 10.0	261	LE1	85.4	0.0	-11.2	15.4	46.4	21.1	16.2	OK	OK
EP3	M4-bfl 1	S 275	▲ ▼ 10.0	279	LE1	95.8	0.0	16.8	23.5	-49.1	23.7	17.2	OK	OK
		S 275	▲ ▼ 10.0	279	LE1	118.2	0.0	35.7	-29.0	58.2	29.2	18.8	OK	OK
EP3	M4-tfl 1	S 275	▲ ▼ 10.0	279	LE1	221.9	0.0	-107.7	-90.8	65.6	54.8	30.8	OK	OK
		S 275	▲ ▼ 10.0	279	LE1	146.0	0.0	-51.7	68.7	-38.8	36.1	26.0	OK	OK
EP3	M4-w 1	S 275	▲ ▼ 10.0	261	LE1	122.1	0.0	-9.4	-13.6	68.9	30.2	17.0	OK	OK

Item	Edge	Material	T _w [mm]	L [mm]	Loads	σ _{w,Ed} [MPa]	ε _{pl} [%]	σ _⊥ [MPa]	T _⊥ [MPa]	T [MPa]	U _t [%]	U _{t,c} [%]	Detailing	Status
		S 275	▲ 10.0 ▼	261	LE1	96.6	0.0	-9.1	4.9	-55.3	23.9	15.9	OK	OK
M1-w ₁	EP3	S 355	▲ 7.0 ▼	319	LE1	427.3	0.3	-147.2	161.4	-166.1	98.1	74.0	OK	OK
M1-w ₁	EP3	S 355	▲ 7.0 ▼	579	LE1	427.2	0.2	-152.7	130.6	189.8	98.1	76.4	OK	OK
M1-w ₁	EP3	S 355	▲ 7.0 ▼	319	LE1	426.8	0.0	-198.1	188.8	-109.5	98.0	56.1	OK	OK
M1-w ₁	EP3	S 355	▲ 7.0 ▼	579	LE1	372.1	0.0	-93.7	79.7	192.0	85.4	57.0	OK	OK
M1-bfl ₁	WID1a	S 275	▲ 15.0 ▼	138	LE1	401.4	3.0	200.9	200.0	-15.6	99.2	88.6	OK	OK
		S 275	▲ 15.0 ▼	138	LE1	401.3	2.9	199.7	-200.7	10.7	99.2	88.2	OK	OK
M2-tfl ₁	WID1a	S 275	▲ 15.0 ▼	148	LE1	401.1	2.8	132.7	133.0	173.4	99.1	88.0	OK	OK
		S 275	▲ 15.0 ▼	148	LE1	401.2	2.8	134.0	-133.7	-172.6	99.1	88.4	OK	OK
M1-bfl ₁	WID1b	S 275	▲ 15.0 ▼	139	LE1	401.3	2.9	-121.3	-121.1	184.7	99.2	99.2	OK	OK
		S 275	▲ 15.0 ▼	139	LE1	401.4	2.9	-120.5	120.7	-185.2	99.2	99.2	OK	OK
M2-bfl ₁	WID1b	S 275	▲ 15.0 ▼	149	LE1	397.8	0.7	-116.5	-116.4	-186.2	98.3	83.8	OK	OK
		S 275	▲ 15.0 ▼	149	LE1	397.8	0.7	-116.8	116.8	185.9	98.3	84.0	OK	OK

Design data

Material	f _u [MPa]	β _w [-]	σ _{w,Rd} [MPa]	0.9 σ [MPa]
S 275	430.0	0.85	404.7	309.6
S 355	490.0	0.90	435.6	352.8

12.4 Priključak dijagonala na sekundarni nosač i stup

Members

Geometry

Name	Cross-section	β - Direction [°]	γ - Pitch [°]	α - Rotation [°]	Offset ex [mm]	Offset ey [mm]	Offset ez [mm]
C	8 - stup(HEM500)	0.0	90.0	90.0	0	0	0
B	3 - sekundarni(HEB280)	0.0	0.0	0.0	0	0	0
D1	12 - CHS219.1/8.0	0.0	24.0	0.0	350	0	220
D2	12 - CHS219.1/8.0	0.0	-24.0	0.0	350	0	-220

Supports and forces

Name	Support	Forces in	X [mm]
C / begin	N-Vy-Vz-Mx-My-Mz	Node	0
C / end		Node	0
B / end		Node	0
D1 / end		Node	0
D2 / end		Node	0





Cross-sections

Name	Material
8 - stup(HEM500)	S 355
3 - sekundarni(HEB280)	S 355
12 - CHS219.1/8.0	S 355

Bolts

Name	Diameter [mm]	f_y [MPa]	f_u [MPa]	Gross area [mm^2]
M27 8.8	27	640.0	800.0	573
M20 8.8	20	640.0	800.0	314

Load effects (forces in equilibrium)

Name	Member	N [kN]	Vy [kN]	Vz [kN]	Mx [kNm]	My [kNm]	Mz [kNm]
LE1	C / Begin	9524.0	0.0	0.0	0.0	16.0	0.0
	C / End	-8384.0	0.0	0.0	0.0	-20.8	0.0
	B / End	117.0	0.0	107.5	0.0	0.0	0.0
	D1 / End	880.0	0.0	0.0	0.0	0.0	0.0
	D2 / End	-1082.0	0.0	0.0	0.0	0.0	0.0
LE3	C / Begin	9524.0	0.0	0.0	0.0	16.0	0.0
	C / End	-8384.0	0.0	0.0	0.0	-20.8	0.0
	B / End	117.0	0.0	107.5	0.0	0.0	0.0
	D1 / End	-950.0	0.0	0.0	0.0	0.0	0.0
	D2 / End	980.0	0.0	0.0	0.0	0.0	0.0

Unbalanced forces

Name	X [kN]	Y [kN]	Z [kN]	Mx [kNm]	My [kNm]	Mz [kNm]
LE1	-67.5	0.0	2045.5	4.8	431.6	0.0
LE3	144.4	0.0	462.5	4.8	-424.6	0.0

Check**Summary**

Name	Value	Check status
Analysis	100.0%	OK
Plates	2.2 < 5.0%	OK
Loc. deformation	0.3 < 3%	OK
Bolts	99.7 < 100%	OK
Welds	86.5 < 100%	OK
Buckling	Not calculated	

Plates

Name	t_p [mm]	Loads	σ_{Ed} [MPa]	ϵ_{Pl} [%]	$\sigma_{c,Ed}$ [MPa]	Status
C-bfl 1	40.0	LE3	355.8	0.4	0.0	OK
C-tfl 1	40.0	LE3	355.9	0.4	0.0	OK
C-w 1	21.0	LE3	359.7	2.2	164.3	OK
B-bfl 1	18.0	LE1	176.5	0.0	0.0	OK
B-tfl 1	18.0	LE3	104.0	0.0	0.0	OK
B-w 1	10.5	LE1	250.2	0.0	0.0	OK
D1	8.0	LE3	357.2	1.0	0.0	OK
D2	8.0	LE1	359.4	2.1	0.0	OK
EP1	20.0	LE3	356.5	0.7	164.3	OK
WID1a	25.0	LE3	287.1	0.0	12.5	OK
WID1b	25.0	LE1	344.5	0.2	10.9	OK
CPL3a	20.0	LE3	330.3	0.0	0.0	OK
CPL3b	20.0	LE1	212.1	0.0	13.3	OK
CPL3c	20.0	LE1	212.0	0.0	13.2	OK
CPL2a	20.0	LE1	355.1	0.1	0.0	OK
CPL2b	20.0	LE3	236.4	0.0	14.9	OK
CPL2c	20.0	LE3	236.0	0.0	15.0	OK

Design data

Material	f_y [MPa]	ϵ_{lim} [%]
S 355	355.0	5.0

Symbol explanation

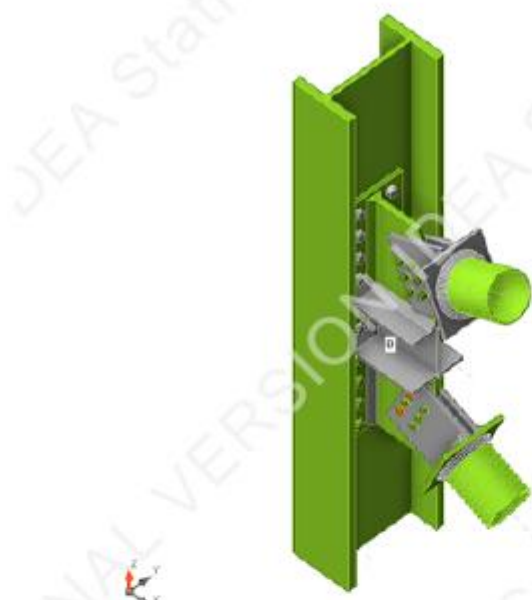
t_p	Plate thickness
σ_{Ed}	Equivalent stress
ϵ_{Pl}	Plastic strain
$\sigma_{c,Ed}$	Contact stress
f_y	Yield strength
ϵ_{lim}	Limit of plastic strain

Loc. deformation

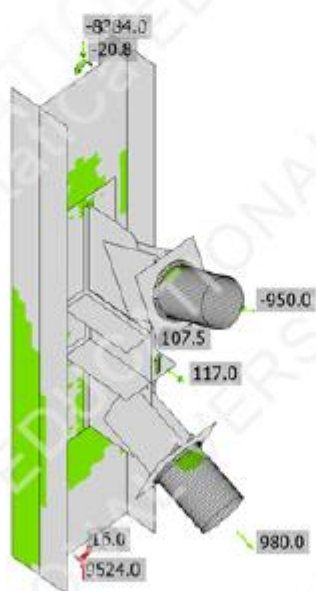
Name	d_0 [mm]	Loads	δ [mm]	δ_{lim} [mm]	δ/d_0 [%]	Check status
D1	219	LE3	1	7	0.3	OK
D2	219	LE1	1	7	0.3	OK

Symbol explanation

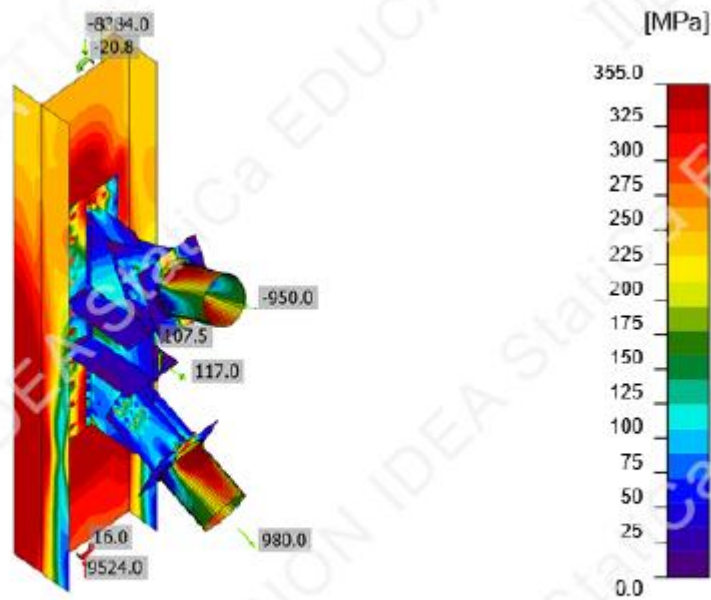
d_0	Cross-section size
δ	Local cross-section deformation
δ_{lim}	Allowed deformation



Overall check, LE3



Strain check, LE3



Equivalent stress, LE3

Symbol explanation

$F_{t,Ed}$	Tension force
$F_{v,Ed}$	Resultant of bolt shear forces V_y and V_z in shear planes
$F_{b,Rd}$	Plate bearing resistance EN 1993-1-8 – Tab. 3.4
U_{t_1}	Utilization in tension
U_{t_6}	Utilization in shear
U_{t_6s}	Interaction of tension and shear EN 1993-1-8 – Tab. 3.4
$F_{t,Rd}$	Bolt tension resistance EN 1993-1-8 – Tab. 3.4
$B_{p,Rd}$	Punching shear resistance EN 1993-1-8 – Tab. 3.4
$F_{v,Rd}$	Bolt shear resistance EN 1993-1-8 – Tab. 3.4

Bolts

Shape	Item	Grade	Loads	F_t,Ed [kN]	F_v,Ed [kN]	$F_{b,Rd}$ [kN]	U_{t_t} [%]	U_{t_s} [%]	$U_{t_{ts}}$ [%]	Detailing	Status
	B1	M27 8.8 - 1	LE1	57.4	67.6	455.7	21.7	38.4	53.9	OK	OK
	B2	M27 8.8 - 1	LE1	56.0	67.8	455.7	21.2	38.4	53.6	OK	OK
	B3	M27 8.8 - 1	LE1	76.4	79.4	529.2	28.9	45.0	65.7	OK	OK
	B4	M27 8.8 - 1	LE1	75.0	79.9	529.2	28.4	45.3	65.6	OK	OK
	B5	M27 8.8 - 1	LE1	48.2	93.3	529.2	18.2	52.9	66.0	OK	OK
	B6	M27 8.8 - 1	LE1	48.5	93.8	529.2	18.3	53.2	66.3	OK	OK
	B7	M27 8.8 - 1	LE1	41.1	105.5	529.2	15.5	59.8	70.9	OK	OK
	B8	M27 8.8 - 1	LE1	41.5	106.0	529.2	15.7	60.1	71.3	OK	OK
	B9	M27 8.8 - 1	LE1	106.5	112.8	529.2	40.3	64.0	92.8	OK	OK
	B10	M27 8.8 - 1	LE1	105.8	113.2	529.2	40.0	64.2	92.8	OK	OK
	B11	M27 8.8 - 1	LE3	71.6	54.2	455.7	27.1	30.7	50.1	OK	OK
	B12	M27 8.8 - 1	LE3	69.6	54.6	455.7	26.3	31.0	49.8	OK	OK
	B13	M27 8.8 - 1	LE3	96.6	71.6	529.2	36.6	40.6	68.7	OK	OK
	B14	M27 8.8 - 1	LE3	94.6	72.5	529.2	35.8	41.2	68.7	OK	OK
	B15	M27 8.8 - 1	LE3	72.5	91.7	498.1	27.4	52.1	71.6	OK	OK
	B16	M27 8.8 - 1	LE3	71.5	92.8	500.6	27.0	52.7	72.0	OK	OK
	B17	M27 8.8 - 1	LE3	71.1	114.3	473.7	26.9	64.9	84.1	OK	OK
	B18	M27 8.8 - 1	LE3	71.6	115.8	475.5	27.1	65.7	85.1	OK	OK
	B19	M27 8.8 - 1	LE3	148.6	91.4	455.8	56.2	51.8	92.0	OK	OK
	B20	M27 8.8 - 1	LE3	148.5	91.8	457.1	56.2	52.1	92.2	OK	OK
	B21	M20 8.8 - 2	LE3	2.8	77.4	490.0	2.0	82.3	83.7	OK	OK
	B22	M20 8.8 - 2	LE3	11.8	77.1	471.4	8.4	81.9	87.9	OK	OK
	B23	M20 8.8 - 2	LE1	16.3	74.2	471.4	11.5	78.9	87.1	OK	OK
	B24	M20 8.8 - 2	LE3	12.2	80.5	471.4	8.6	85.6	91.8	OK	OK
	B25	M20 8.8 - 2	LE1	16.2	74.4	471.4	11.5	79.1	87.3	OK	OK
	B26	M20 8.8 - 2	LE3	12.0	79.9	471.4	8.5	84.9	91.0	OK	OK
	B27	M20 8.8 - 2	LE1	3.0	92.4	490.0	2.2	98.2	99.7	OK	OK
	B28	M20 8.8 - 2	LE1	11.4	87.8	471.4	8.0	93.4	99.1	OK	OK
	B29	M20 8.8 - 2	LE1	3.1	92.4	490.0	2.2	98.2	99.7	OK	OK
	B30	M20 8.8 - 2	LE1	11.0	88.0	471.4	7.8	93.6	99.2	OK	OK
	B31	M20 8.8 - 2	LE1	3.1	92.3	490.0	2.2	98.1	99.7	OK	OK
	B32	M20 8.8 - 2	LE1	11.0	88.1	471.4	7.8	93.6	99.2	OK	OK

Design data

Grade	F_t,Rd [kN]	B_p,Rd [kN]	F_v,Rd [kN]
M27 8.8 - 1	264.4	636.9	176.3
M20 8.8 - 2	141.1	469.4	94.1

13 ZAKLJUČAK

Spregnute konstrukcije predstavljaju učinkovito rješenje koje kombinira prednosti betona i čelika, omogućujući optimalnu raspodjelu opterećenja i smanjenje količine materijala. U seizmički aktivnim područjima, poput Hrvatske, djelovanje potresa je ključno i često presudno za dimenzioniranje konstrukcija. Potresi uzrokuju dinamička opterećenja koja značajno utječu na konstrukciju, pri čemu se posebna pažnja mora posvetiti otpornosti na horizontalne sile. Upravo seizmičko opterećenje, koje generira kombinaciju horizontalnih pomaka i momenata savijanja, često definira dimenzije konstrukcijskih elemenata, kao i njihovih spojeva, te diktira raspored i izvedbu nosivih sustava kako bi se osigurala potrebna pouzdanost i stabilnost građevine.

U projektiranju je važno integrirati aspekte održivosti, gdje analiza životnog ciklusa (LCA) igra ključnu ulogu. LCA omogućuje sveobuhvatnu procjenu ekoloških utjecaja građevine, od faze proizvodnje materijala do rušenja i recikliranja. Održivost postaje sve važniji kriterij pri odabiru materijala i rješenja, osiguravajući smanjenje emisija i racionalnu upotrebu resursa. Na taj način, građevine se ne samo prilagođavaju zahtjevima otpornosti na potrese, već i dugoročno pridonose očuvanju okoliša kroz održivo projektiranje.

POPIS LITERATURE

- [1] Androić, B.; Dujmović, D.; Džeba, I.: „Čelične konstrukcije 1“, Zagreb: IA Projektiranje; 2009.
- [2] HRN EN 1994
- [3] Androić, B.; Dujmović, D.; Lukačević, I.: „Projektiranje spregnutih konstrukcija prema Eurocode 4“, Zagreb: IA Projektiranje; 2012.
- [4] Horvatić D. „S pregnute konstrukcije ČELIK-BETON“, Zagreb: Masmedia; 2003.
- [5] <https://worldsteel.org/steel-topics/life-cycle-thinking/> (pristupano dana 9. rujna 2024.)
- [6] Rigueiro C.: „SBRI+: Valorizacija spoznaja o održivosti spregnutih mostova u izgrađenom okolišu - Priručnik za projektiranje I: Opće informacije i riješeni primjeri“ / Dujmović, D. ; Lukačević, I. (ur.). Zagreb: Građevinski fakultet Sveučilišta u Zagrebu, 2018
- [7] HRN EN 1990
- [8] HRN EN 1998
- [9] Lukačević, I. „Osobitost projektiranja čeličnih visokih zgrada kod potresa“, Prezentacija s kolegija Visoke građevine, Sveučilište u Zagrebu, Građevinski fakultet
- [10] HRN EN 1993
- [11] HRN EN 1991
- [12] Biškup, D. „Nelinearna seizmička analiza visoke čelične građevine s konstrukcijskim sustavima potpornih rešetki“; Diplomski rad, Sveučilište u Zagrebu, Građevinski fakultet, 2021.
- [13] Dujmović, D.; Androić, B. ; Lukačević, I. : „Primjeri proračuna spregnutih konstrukcija prema Eurocode 4. “, Zagreb: IA Projektiranje, 2014
- [14] Štirmer, N. „Utjecaj građevnog materijala na okoliš“, Radovi Zavoda za znanstveni i umjetnički rad u Požegi, 2012. (1), str. 293-311
- [15] Potočki, M. „Projektiranje i ocjena životnog ciklusa čelične višekatne zgrade sa različitim sustavima stabilizacije“; Diplomski rad, Sveučilište u Zagrebu, Građevinski fakultet, 2022.

PRILOG A

Kombinacije opterećenja za granično stanje nosivosti, granično stanje uporabljivosti i potresno djelovanje:

- CO1 - 1,35 stalno+1,5 korisno+0,9 vjetar1+0,75 snijeg+1 imp X
CO2 - 1,35 stalno+1,5 korisno+0,9 vjetar1+0,75 snijeg+1 imp Y
CO3 - 1,35 stalno+1,5 korisno+0,9 vjetar2+0,75 snijeg+1 imp X
CO4 - 1,35 stalno+1,5 korisno+0,9 vjetar2+0,75 snijeg+1 imp Y
CO5 - 1,35 stalno+1,5 korisno+0,9 vjetar3+0,75 snijeg+1 imp X
CO6 - 1,35 stalno+1,5 korisno+0,9 vjetar3+0,75 snijeg+1 imp Y
CO7 - 1,35 stalno+1,5 korisno+0,9 vjetar4+0,75 snijeg+1 imp X
CO8 - 1,35 stalno+1,5 korisno+0,9 vjetar4+0,75 snijeg+1 imp Y
CO9 - 1,35 stalno+1,05 korisno+1,5 vjetar1+0,75 snijeg+1 imp X
CO10 - 1,35 stalno+1,05 korisno+1,5 vjetar1+0,75 snijeg+1 imp Y
CO11 - 1,35 stalno+1,05 korisno+1,5 vjetar2+0,75 snijeg+1 imp X
CO12 - 1,35 stalno+1,05 korisno+1,5 vjetar2+0,75 snijeg+1 imp Y
CO13 - 1,35 stalno+1,05 korisno+1,5 vjetar3+0,75 snijeg+1 imp X
CO14 - 1,35 stalno+1,05 korisno+1,5 vjetar3+0,75 snijeg+1 imp Y
CO15 - 1,35 stalno+1,05 korisno+1,5 vjetar4+0,75 snijeg+1 imp X
CO16 - 1,35 stalno+1,05 korisno+1,5 vjetar4+0,75 snijeg+1 imp Y
CO17 - 1,35 stalno+1,05 korisno+0,9 vjetar1+1,5 snijeg+1 imp X
CO18 - 1,35 stalno+1,05 korisno+0,9 vjetar1+1,5 snijeg+1 imp Y
CO19 - 1,35 stalno+1,05 korisno+0,9 vjetar2+1,5 snijeg+1 imp X
CO20 - 1,35 stalno+1,05 korisno+0,9 vjetar2+1,5 snijeg+1 imp Y
CO21 - 1,35 stalno+1,05 korisno+0,9 vjetar3+1,5 snijeg+1 imp X
CO22 - 1,35 stalno+1,05 korisno+0,9 vjetar3+1,5 snijeg+1 imp Y
CO23 - 1,35 stalno+1,05 korisno+0,9 vjetar4+1,5 snijeg+1 imp X
CO24 - 1,35 stalno+1,05 korisno+0,9 vjetar4+1,5 snijeg+1 imp Y
CO25 - 1 stalno+0,7 korisno+1 vjetar1+0,5 snijeg+1 imp X
CO26 - 1 stalno+0,7 korisno+1 vjetar1+0,5 snijeg+1 imp Y
CO27 - 1 stalno+0,7 korisno+1 vjetar2+0,5 snijeg+1 imp X
CO28 - 1 stalno+0,7 korisno+1 vjetar2+0,5 snijeg+1 imp Y

CO29 - 1 stalno+0,7 korisno+1 vjetar3+0,5 snijeg+1 imp X
CO30 - 1 stalno+0,7 korisno+1 vjetar3+0,5 snijeg+1 imp Y
CO31 - 1 stalno+0,7 korisno+1 vjetar4+0,5 snijeg+1 imp X
CO32 - 1 stalno+0,7 korisno+1 vjetar4+0,5 snijeg+1 imp Y
CO33 - 1 stalno+1 korisno+0,6 vjetar1+0,5 snijeg+1 imp X
CO34 - 1 stalno+1 korisno+0,6 vjetar1+0,5 snijeg+1 imp Y
CO35 - 1 stalno+1 korisno+0,6 vjetar2+0,5 snijeg+1 imp X
CO36 - 1 stalno+1 korisno+0,6 vjetar2+0,5 snijeg+1 imp Y
CO37 - 1 stalno+1 korisno+0,6 vjetar3+0,5 snijeg+1 imp X
CO38 - 1 stalno+1 korisno+0,6 vjetar3+0,5 snijeg+1 imp Y
CO39 - 1 stalno+1 korisno+0,6 vjetar4+0,5 snijeg+1 imp X
CO40 - 1 stalno+1 korisno+0,6 vjetar4+0,5 snijeg+1 imp Y
CO41 - 1 stalno+0,7 korisno+0,6 vjetar1+1 snijeg+1 imp X
CO42 - 1 stalno+0,7 korisno+0,6 vjetar1+1 snijeg+1 imp Y
CO43 - 1 stalno+0,7 korisno+0,6 vjetar2+1 snijeg+1 imp X
CO44 - 1 stalno+0,7 korisno+0,6 vjetar2+1 snijeg+1 imp Y
CO45 - 1 stalno+0,7 korisno+0,6 vjetar3+1 snijeg+1 imp X
CO46 - 1 stalno+0,7 korisno+0,6 vjetar3+1 snijeg+1 imp Y
CO47 - 1 stalno+0,7 korisno+0,6 vjetar4+1 snijeg+1 imp X
CO48 - 1 stalno+0,7 korisno+0,6 vjetar4+1 snijeg+1 imp Y
CO49 - 1 stalno+0,3 uporabno+ 1 potres X+0,3 potres Y
CO50 - 1 stalno+0,3 uporabno+ 0,3 potres X+1 potres Y
CO51 - 1 stalno+0,3 uporabno- 1 potres X+0,3 potres Y
CO52 - 1 stalno+0,3 uporabno+1 potres X-0,3 potres Y
CO53 - 1 stalno+0,3 uporabno-1 potres X-0,3 potres Y
CO54 - 1 stalno+0,3 uporabno-1 potres Y+0,3 potres X
CO55 - 1 stalno+0,3 uporabno+1 potres Y-0,3 potres X
CO56 - 1 stalno+0,3 uporabno-1 potres Y-0,3 potres X
CO57 - GSU:1 stalno+0,3 uporabno+ 1 potres X+0,3 potres Y
CO58 - GSU:1 stalno+0,3 uporabno+ 0,3 potres X+1 potres Y
CO59 - GSU:1 stalno+0,3 uporabno- 1 potres X+0,3 potres Y
CO60 - GSU:1 stalno+0,3 uporabno+1 potres X-0,3 potres Y
CO61 - GSU:1 stalno+0,3 uporabno-1 potres X-0,3 potres Y
CO62 - GSU:1 stalno+0,3 uporabno-1 potres Y+0,3 potres X
CO63 - GSU:1 stalno+0,3 uporabno+1 potres Y-0,3 potres X
CO64 - GSU:1 stalno+0,3 uporabno-1 potres Y-0,3 potres X

CO65- izvođenje - GSN-izvođenje
CO65- izvođenje1 - GSU-izvođenje

POPIS SLIKA

Slika 1. Karakteristični poprečni presjek spregnutog nosača [3]	13
Slika 2. Ovisnost momenta savijanja i progiba za slučajeve izvedbe sa i bez podupiranja prije betoniranja[3]	14
Slika 3. Ovisnost momenta savijanja i kuta rotacije za tri slučaja izvedbe spregnutog nosača [3]	15
Slika 4. Efektivni rasponi za određivanje efektivne širine betonske pojasnice [3].....	16
Slika 5. Karakteristična spregnuta ploča koja se oslanja na spregnuti nosač [3]	17
Slika 6. Karakteristične posmične veze kod spregnutih ploča [3]	18
Slika 7. Analiza životnog ciklusa [5]	20
Slika 8. Životni ciklus građevine [6]	23
Slika 9. Koncept "trošak cijelog životnog vijeka" i "trošak životnog ciklusa" [6]	24
Slika 10. Profil jedne jedinice novca za različite vrijednosti r [6]	25
Slika 11. Prikaz formiranja plastičnih zglobova u nosačima [9]	37
Slika 12. Prikaz razgradnje energije u dijagonalama [9]	39
Slika 13. Istovrijedne nesavršenosti zbog bočnog pomaka [10]	41
Slika 14. Karta snježnih područja [11]	46
Slika 15. Karta osnovne brzine vjetra za Republiku Hrvatsku [11]	47
Slika 16. Referentna visina z_e i raspodjela vršnog tlaka po visini konstrukcije za slučaj kada je $h \leq b$ [11]	50
Slika 17. Dimenzije konstrukcije	52
Slika 18. Shema opterećenja vjetra na vertikalne stijene	52
Slika 19. Osnovni oblici konstrukcija i referentne visine z_s [11].....	54
Slika 20. Koeficijent sile za pravokutne presjeke sa oštrim rubovima bez strujanja vjetra na slobodnom kraju [11]	57
Slika 21. Shema opterećenja vjetra na ravni krov	59
Slika 22. Tlakovi vjetra za slučaj I opterećenja vjetrom	62
Slika 23. Tlakovi vjetra za slučaj I opterećenja vjetrom	64
Slika 24. Raspored opterećenja vjetra po visini [11]	65
Slika 25. Shema opterećenja vjetra na vertikalne stijene	67
Slika 26. Shema opterećenja vjetra na ravni krov	71
Slika 27. Tlakovi vjetra za slučaj III opterećenja vjetrom za $q_{p,1}=0,61 \text{ kN/m}^2$	74
Slika 28. Tlakovi vjetra za slučaj III opterećenja vjetrom za $q_{p,1}=0,61 \text{ kN/m}^2$	74
Slika 29. Tlakovi vjetra za slučaj III opterećenja vjetrom za $q_{p,1}=0,61 \text{ kN/m}^2$	75
Slika 30. Tlakovi vjetra za slučaj III opterećenja vjetrom za $q_{p,2}=0,661 \text{ kN/m}^2$	75
Slika 31. Tlakovi vjetra za slučaj III opterećenja vjetrom za $q_{p,2}=0,661 \text{ kN/m}^2$	76
Slika 32. Tlakovi vjetra za slučaj III opterećenja vjetrom za $q_{p,2}=0,661 \text{ kN/m}^2$	76
Slika 33. Tlakovi vjetra za slučaj IV opterećenja vjetrom za $q_{p,1}=0,61 \text{ kN/m}^2$	79

Slika 34. Tlakovi vjetra za slučaj IV opterećenja vjetrom za $q_{p,1}=0,61 \text{ kN/m}^2$	79
Slika 35. Tlakovi vjetra za slučaj IV opterećenja vjetrom za $q_{p,1}=0,61 \text{ kN/m}^2$	80
Slika 36. Tlakovi vjetra za slučaj IV opterećenja vjetrom za $q_{p,2}=0,661 \text{ kN/m}^2$	80
Slika 37. Tlakovi vjetra za slučaj IV opterećenja vjetrom za $q_{p,2}=0,661 \text{ kN/m}^2$	81
Slika 38. Tlakovi vjetra za slučaj IV opterećenja vjetrom za $q_{p,2}=0,661 \text{ kN/m}^2$	81
Slika 39. Elementi za preliminarno dimenzioniranje	83
Slika 40. 3D model konstrukcije	89
Slika 41. Moment savijanja za model "Kruta dijagma"	90
Slika 42. Moment savijanja za model "Standardni FEM"	90
Slika 43. Globalni mod izvijanja za kombinaciju CO7	96
Slika 44. Dijagram momenta savijanja $M_{Ed,y}$ stupa	103
Slika 45. Pomak stupa u smjeru x i y	105
Slika 46. Dijagram momenta savijanja $M_{Ed,y}$ glavnog nosača	112
Slika 47. Progib glavnog nosača	114
Slika 48. Poprečni presjek spregnutog nosača [12]	118
Slika 49. Dijagram moment savijanja $M_{Ed,y}$ sekundarnog nosača u fazi izvedbe	121
Slika 50. Određivanje uzdužnog posmika u betonskoj pojASNici [13]	127
Slika 51. Statički sustav i položaj spregnute ploče	133
Slika 52. Profil i dimenzije profiliranog lima "Multideck 50"	135
Slika 53. Dijagram maksimalnog pozitivnog momenta savijanja	136
Slika 54. Dijagram maksimalnog negativnog momenta savijanja	137
Slika 55. Dokaz nosivosti na uzdužni posmik	140
Slika 56. Deformacija za fazu izvedbe	142
Slika 57. Pomak konstrukcije u x smjeru	145
Slika 58. Pomak konstrukcije u y smjeru	146
Slika 59. Elastični spektar odziva [8]	148
Slika 60. Karta potresnih područja za povratno razdoblje od 475 godina.....	149
Slika 61. Elastični spektar tipa 1 ovisno o tipu tla uz 5% prigušenja [8]	150
Slika 62. Elastični spektar tipa 2 ovisno o tipu tla uz 5% prigušenja [8]	151
Slika 63. Horizontalni proračun spektra odziva za x i y smjer	152
Slika 64. Prvi mod osciliranja- y smjer, $T=1,68 \text{ s}$	154
Slika 65. Drugi mod osciliranja- x smjer, $T=1,25 \text{ s}$	154
Slika 66. Treći mod osciliranja- torzija, $T= 1,15 \text{ s}$	155
Slika 67. Dijagram uzdužne sile N_{Ed} za spektralnu analizu.....	158
Slika 68. 3D model čeličnog okvira [15]	178
Slika 69. Način rada softvera GaBi [15]	178
Slika 70. Modeliranje životnog ciklusa [15]	179
Slika 71. Proces životnog ciklusa spregnute konstrukcije	182
Slika 72. Proces životnog ciklusa spregnute konstrukcije- nastavak.....	182
Slika 73. Proces životnog ciklusa spregnute konstrukcije- nastavak.....	182

Slika 74. Utjecaj na globalno zatopljenje	184
Slika 75. Utjecaj na klimatske promjene.....	185
Slika 76. Utjecaj zakiseljavanja	185
Slika 77. Utjecaj eutrofikacije	185
Slika 78. Utjecaj toksičnosti za ljude (kancerogena)	186
Slika 79. Utjecaj toksičnosti za ljude (nekancerogena).....	186
Slika 80. Zagađenost zraka	187
Slika 81. Potencijal stvaranja ozona	188
Slika 82. Utjecaj na anorganske respiratorne tvari	188
Slika 83. Priključak i komponente priključka [1]	190

POPIS TABLICA

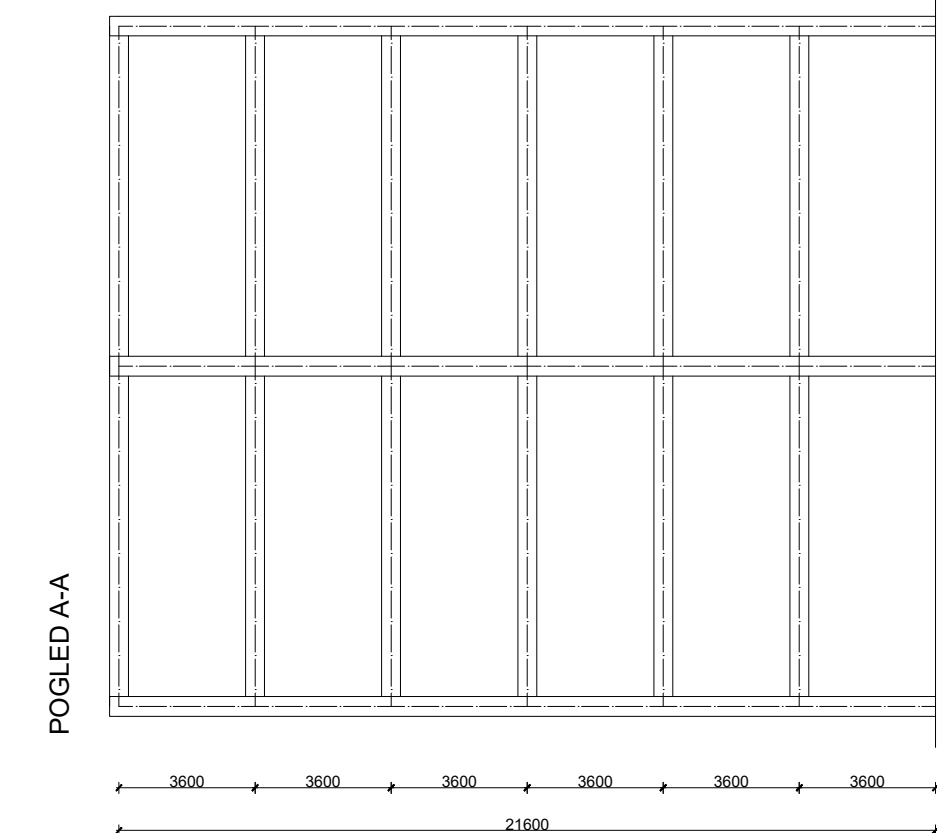
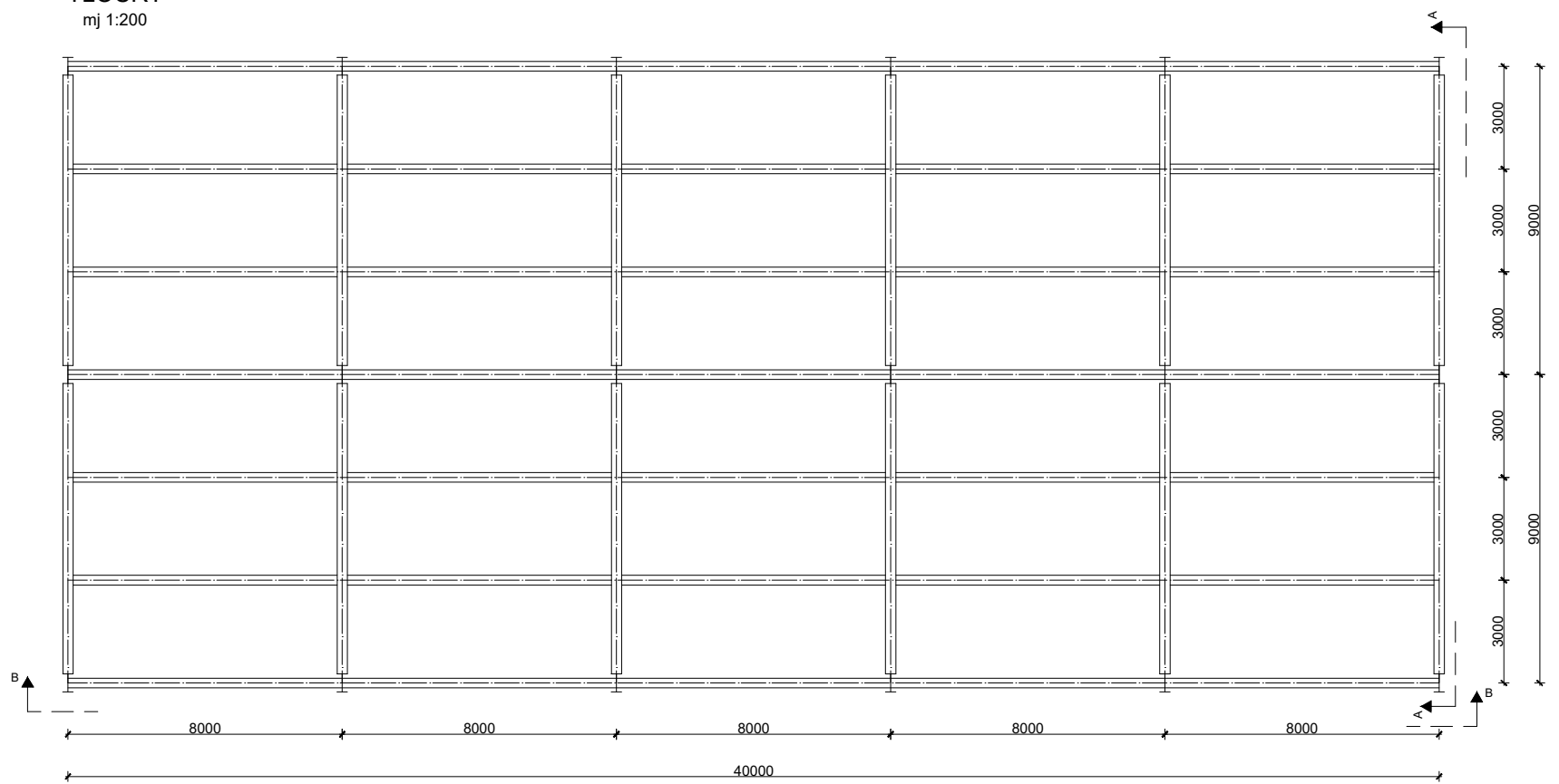
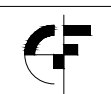
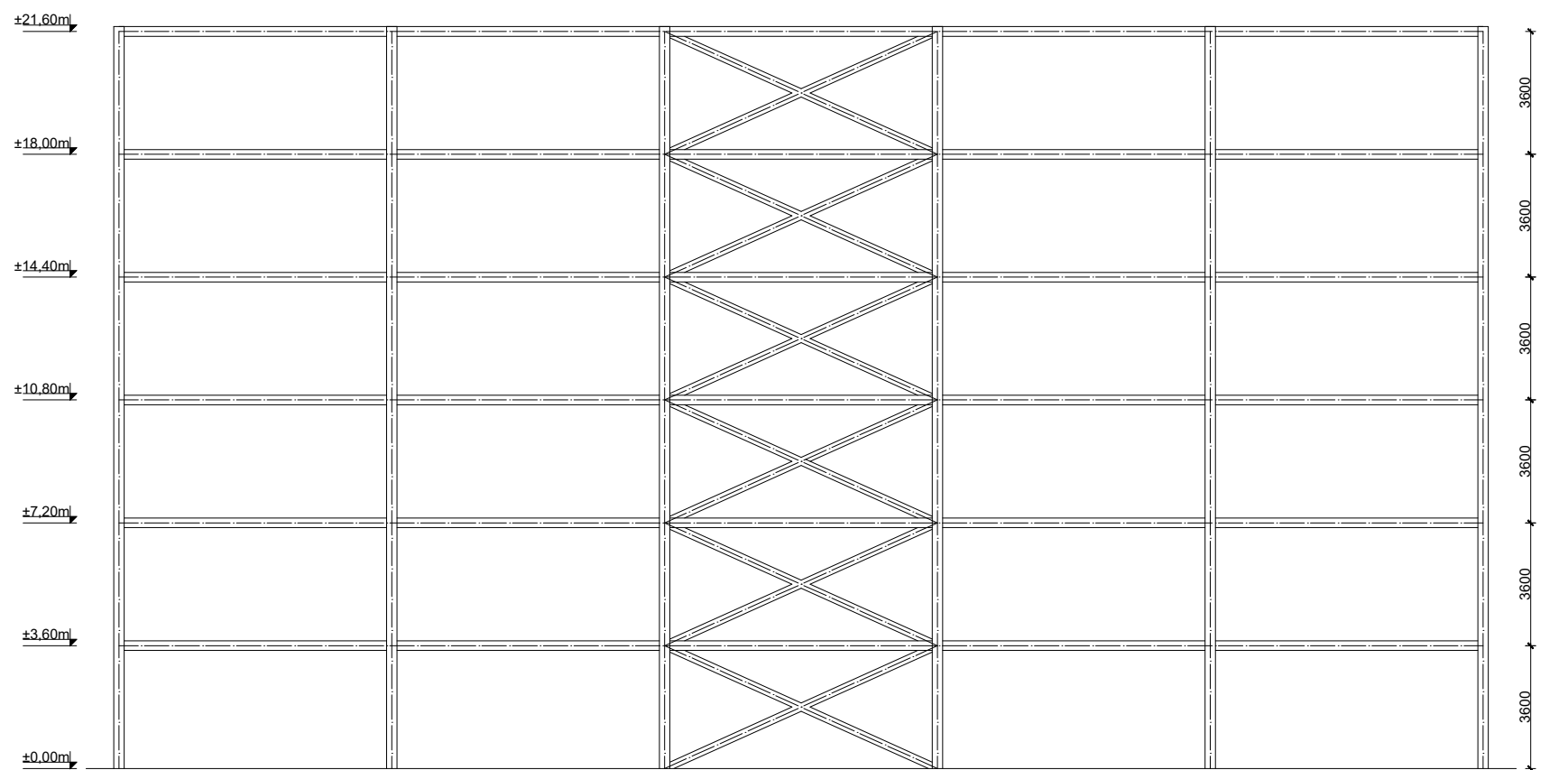
Tablica 1. Preporučene vrijednosti faktora ψ [7]	27
Tablica 2. Vrijednosti φ pri proračunu $\psi_{E,i}$ [8]	33
Tablica 3. Tipovi temeljnog tla [8]	33
Tablica 4. Klase važnosti građevine [8]	34
Tablica 5. Granične vrijednosti faktora ponašanja [8]	34
Tablica 6. Zahtijevani razred presjeka [8]	35
Tablica 7. Početne lokalne imperfekcije oblika luka [10]	42
Tablica 8. Uporabno opterećenja stropova [11]	45
Tablica 9. Karakteristična uporabna opterećenja za krov [11]	45
Tablica 10. Kategorije terena i parametri terena [11]	49
Tablica 11. Preporučene vrijednosti koeficijenta vanjskog tlaka za vertikalne zidove tlocrtno pravokutne zgrade [11]	53
Tablica 12. Preporučene vrijednosti koeficijenta vanjskog tlaka za ravne krovove s oštrim zabatom [11]	60
Tablica 13. Sila vjetra kada vjetra djeluje okomito na uzdužnu stranu objekta	82
Tablica 14. Sila vjetra kada vjetra djeluje okomito na poprečnu stranu objekta	82
Tablica 15. Karakteristike profiliranog lima	84
Tablica 16. Karakteristike spregnute ploče	84
Tablica 17. Rasponi ovisni o debljini ploče i opterećenju	84
Tablica 18. Tlačne sile u stupovima po etažama za opterećenje od vlastite težine	90
Tablica 19. Tlačne sile u stupovima po etažama za dodatno stalno opterećenje	91
Tablica 20. Tlačne sile u stupovima po etažama za korisno opterećenje	92
Tablica 21. Tlačne sile u stupovima po etažama za korisno opterećenje	93
Tablica 22. Opterećenja na konstrukciju	94
Tablica 23. Slučaj opterećenja za kombinaciju mase	95
Tablica 24. Kombinacija mase	95
Tablica 25. Geometrijske karakteristike poprečnog presjeka	97
Tablica 26. Mjerodavne sile za dimenzioniranje stupa	97
Tablica 27. Geometrijske karakteristike poprečnog presjeka	106
Tablica 28. Mjerodavne sile za dimenzioniranje glavnog nosača	107
Tablica 29. Geometrijske karakteristike poprečnog presjeka	115
Tablica 30. Mjerodavne sile za dimenzioniranje sprega	115
Tablica 31. Geometrijske karakteristike poprečnog presjeka	118
Tablica 32. Mjerodavne sile za dimenzioniranje sekundarnog nosača u fazi izvedbe	118
Tablica 33. Mjerodavne sile za dimenzioniranje sekundarnog nosača u uporabnoj fazi	123
Tablica 34. Minimalne duljine oslanjanja profiliranog lima	136

Tablica 35. Iskoristivost odabralih profila	144
Tablica 36. Maksimalni pomaci konstrukcije u x smjeru	145
Tablica 37. Maksimalni pomaci konstrukcije u x smjeru	146
Tablica 38. Parametri temeljnog tla za horizontalni tip spektra 1 [8]	150
Tablica 39. Parametri temeljnog tla za horizontalni tip spektra 2 [8]	150
Tablica 40. Rezultati modalne analize	153
Tablica 41. Rezultati modalne analize	153
Tablica 42. Aktivirane mase u modalnoj analizi	155
Tablica 43. Proračun koeficijenta osjetljivosti	156
Tablica 44. Prikaz zahtjeva ograničenja pomaka po katovima u x i y smjeru	157
Tablica 45. Geometrijske karakteristike poprečnog presjeka	157
Tablica 46. Prikaz uvjeta homogenog trošenja energije dijagonala katova	158
Tablica 47. Geometrijske karakteristike poprečnog presjeka	159
Tablica 48. Geometrijske karakteristike poprečnog presjeka	165
Tablica 49. Geometrijske karakteristike poprečnog presjeka	167
Tablica 50. Iskoristivost odabralih profila	175
Tablica 51. Količina potrebnih sirovina	179
Tablica 52. Udaljenost transporta i vrsta prijevoznog sredstva	180
Tablica 53. Količine materijala	181
Tablica 54. Udaljenost transporta i vrsta prijevoznog sredstva	181
Tablica 55. Udaljenost transporta i vrsta prijevoznog sredstva	181

NACRTI:

TLOCRT

mj 1:200

**POGLED B-B**

GRAĐEVINSKI FAKULTET
SVEUČILIŠTA U ZAGREBU

Spregnuta konstrukcija višekatne zgrade	Diplomski rad
Patricia Miljanic	mj 1:200
Dispozicija višekatne zgrade	